

Dimensjonering & detaljering av bæresystemet i armert betong og stål til en 4-etasjes boligblokk i Trondheim

Structural design & detailing of the structural system in reinforced concrete and steel of a 4-floor apartment building in Trondheim

Prosjektnr 2023-09 Musab Ahmad Abo Kalass, Arijus Ruzgys og Konstantin Koval
Intern veileder: Jan Arve Øverli Ekstern kontakt: Skibnes Arkitekt

En boligblokk er tegnet av arkitekt og skal gjennom en nøye dimensjoningsprosess av hovedbæresystemer.

Dimensjonering er gjort etter de europeiske standardene og nasjonale krav. Kapasiteter er beregnet på konservative måter og alt er nøye dokumentert.

Etter krevende og nøye arbeid er det ferdige hovedbæresystemet presentert i både detalj og helhet

Structural Details:

- Steel beam section: HEB-280
- Concrete wall thickness: 177 mm
- Reinforcement: 20 Ø16 mm
- Column detail: HEB-260, Sveitk, HEB-260
- Foundation detail: Bolte: 18.9 M14, Betongpøle, Beyle, Armertingsjern

Handwritten Calculation Notes:

Forankringslengde i soylestripene

$$L_{b,rig} = \frac{\phi \cdot \sigma_{ad}}{4 \cdot f_{yd}}$$

$$\sigma_{ad} = \frac{262 \cdot 10^6}{186.5 + 244 \cdot 10^3}$$

$$M_{ad} = 262 \cdot 10^6 \cdot 186.5 \cdot \pi \cdot 8^2 = 512 \text{ MPa} > f_{yd}$$

$$f_{yd} = 2.25 \cdot \eta_1 \cdot \eta_2 \cdot f_{cd} = 2.25 \cdot 1.0 \cdot 1.0 \cdot 2.2 \text{ MPa} = 3.3 \text{ MPa}$$

$$I_{b,rig} = \frac{16 \text{ mm}}{4} \cdot 410 \text{ MPa} = 497 \text{ mm}$$

I.h.t. EC2-1-8.4.3 gir:

$$L_{b,rig} = \frac{\phi \cdot \sigma_{ad}}{4 \cdot f_{yd}}$$

$$\sigma_{ad} = \frac{262 \cdot 10^6}{186.5 + 244 \cdot 10^3}$$

$$M_{ad} = 262 \cdot 10^6 \cdot 186.5 \cdot \pi \cdot 8^2 = 512 \text{ MPa} > f_{yd}$$

$$f_{yd} = 2.25 \cdot \eta_1 \cdot \eta_2 \cdot f_{cd} = 2.25 \cdot 1.0 \cdot 1.0 \cdot 2.2 \text{ MPa} = 3.3 \text{ MPa}$$

Ny topplamring i soylestripene over akse C / x-retning:

$$A_s = 20 \text{ Ø16}$$

$$2800 \text{ mm}$$

Ih.t. EC2-1-9.2.1.3 (2) & (3) (figur 9.2) skal denne armeringen forankres etter momentnullpunktet med avstand lik:

$$l_{b,rot,bak} = l_0 + a_1 + l_{ad}$$

For konstruksjoner uten behov for skjærarmering, blir:

$$a_t = d = 201$$

Total forankringslengde av topplamring i soylestripene fra akse C mot D:

$$l_{b,rig,tot} = 1300 \text{ mm} + 201 \text{ mm} + 197 \text{ mm} \approx 2000 \text{ mm}$$

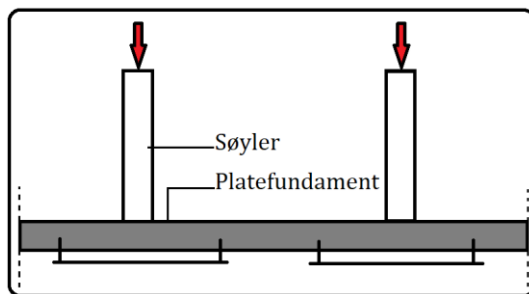
Opparmeringen løper kontinuerlig i feltet mellom akse B & C.

Artikkel

Konstruksjonsteknikk-Bæresystem

Prosjekter i bygge industrien kan deles inn i fire faser konseptutvikling/planleggingsfasen, forprosjekt, detaljprosjekt og til slutt utførelse. Dimensjonering av et bæresystem er en del av forprosjektet hvor konstruksjonsingeniører jobber med å utvikle det beste systemet ifølge informasjonen samlet i fra planleggingsfasen.

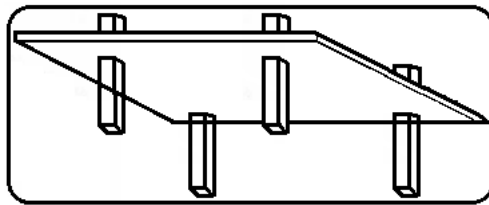
For å projektere et bæresystem er det mange ting som må tas hensyn til. For det første må det gjennomføres grundige geotekniske undersøkelser for å finne ut hvilken type fundamentering som er best egnet. I vårt prosjekt «Lade Alle 84» er det gode grunnforhold av sand og grus som tillater oss å bruke enkel platefundamentering som støpes rett på grunnen.



Figur:1. Platefundament

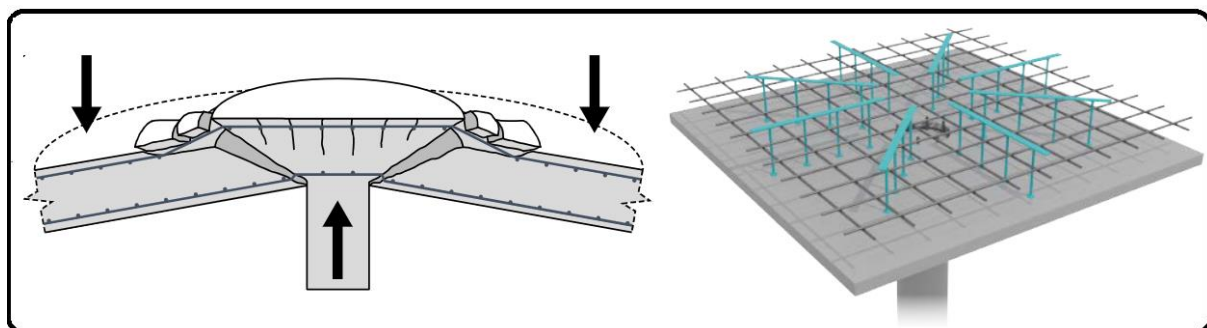
Neste steg i utvikling av et bæresystem er å finne løsning til hvordan konstruksjonslastene skal føres ned til grunnen. I betongkonstruksjoner benyttes enten betongvegger, betongsøyler eller kombinasjon av begge. For å minimalisere egenvekt har vi valgt å gå fram med betongsøyler. Positivt med det er at CO₂-utslippen fra bygget reduseres og alle skillevegger kan bygges av tre materialer som vil gi bedre innemiljø. Likevel må det være noen større vertikale bæresystemer i betong for å gi nok stivhet. I vårt prosjekt er dette problemet løst av trapperom, heissjakt og noen veggskiver. Det er kritisk å ha med for å stabilisere bygget spesielt når konstruksjonen er påvirket av horisontale krefter som vindlast.

Nest siste konstruksjonsdel som vi skal ta for oss i denne artikkelen er dekker. Denne delen av bæresystemet dimensjoneres for å bære lasten i enten en eller to retninger i planet ut ifra spennforholdet mellom x og y retning. I våres oppgave har vi bestemt å benytte toveis flatdekker som ligger direkte på søylene. På den måten brukes ikke betongbjelker for å støtte platene. Fordeler med dette er at det gir byggherren friheten til å sette innvendige skilleveggene hvor som helst hvis egenvektene til disse er tatt med i dimensjoneringen, samt friheten for å endre veggernes plassering når som helst. Flatdekken kan dimensjoneres ifølge ekvivalent rammemetoden hvor momentkretene blir fordelt i søylestriper og feltstriper. Disse momentene sammen med trykksonekapasitet (M_{Rd}) brukes til å finne tverrsnittets indre momentarm (z). Videre føres det inn i formel for nødvendig armering (As). Vi har valgt å bruke slakk lengdearmering som er nødvendig siden betong er et materiale som tåler mye trykk, men lite strekk. Dette minimaliserer risiko for riss og reduserer nedbøyning.



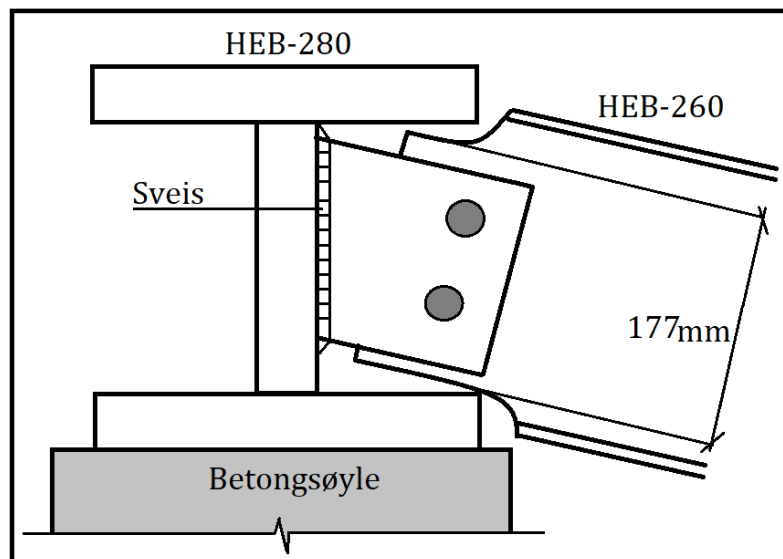
Figur:2. Flatdekker som hviler direkte på søylene

Ifølge statikk, momentfordeling i søylestripene er størst på grunn av lastene (primær nytelast og egenlast) som belaster konstruksjonen. Derfor noen dekker trenger ekstra skjærarmering for at søylen ikke skal penetrere flatdekkene. Kontroll av gjennomlokkingskapasitet til prosjektet «Lade Alle 84» resulterte at en del kantsøyler og innersøyler trenger ekstra skjærarmering. For å hindre gjennomlokking har vi dimensjonert gjennomlokksarmering ifølge Peikko som er ledende leverandør for dekkekonstruksjoner. Eksempelet av skjærarmeringsmønster vises i figur 3.



Figur:3. Gjennomlokksbrudd og anbefalt armerings metode for å unngå dette.

Til slutt kommer taket som skal kunne bære snø og vind laster i tillegg til sin egenlast. Denne delen av konstruksjonen er valgt å bli bygd i stål primært. Stålbjelker i både primær og sekundær retning med korrugerte stålplater på toppen og isolasjon samt tekking. De bærende elementene i denne delen er stålbjelker. De primære bjelkene ligger opp på betongsøylene med forankring og de sekundære bjelkene er festet til de primære ved hjelp av bolter og sveis. Denne løsningen sørger for at laster som blir påført takkonstruksjonen blir ført ned i grunnen gjennom forbindelser og systemer. Både de minste og de største detaljene er dimensjonert på en sikker måte. Med andre ord konservativ dimensjonering som sørger for at selv noe så smått som skrueplater og bolter har tilstrekkelig kapasitet for de mulige belastningene.



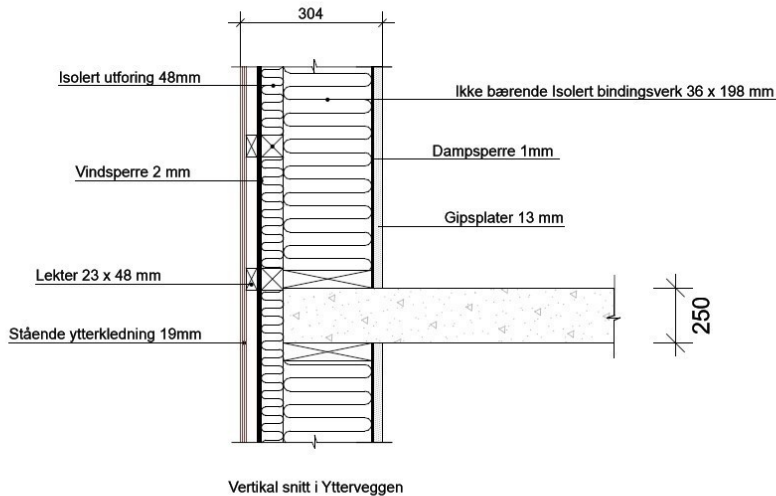
Figur:4. Forankring av stålbjelker

Vedlegg

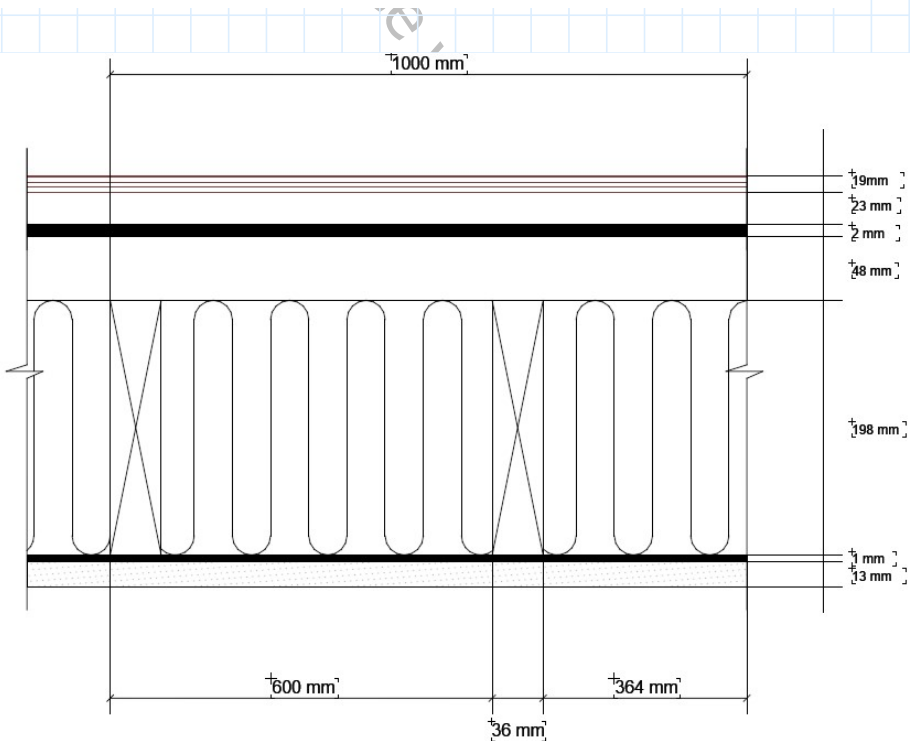
Vedlegg 1: Egenlaster til kosntruksjonsdeler i boligblokken

I - Yttervegger

Ytterveggene- Typiske detaljer



Vertikal snitt i Ytterveggen



Horisontal snitt i ytterveggen

Tyngdetettheter til de ulike materialene i sjiktene (ETTER EN 1991-1-1:2002, Tillegg A:

$$\text{Gips } \gamma_{gips} = 2.3 \frac{kN}{m^3}$$

$$\text{Vind & Dampsperre } \gamma_{sperre} = 1.0 \frac{kN}{m^3}$$

$$\text{Tre (c-24)} \quad \gamma_{tre} = 4.2 \frac{kN}{m^3}$$

$$\text{Mineralull } \gamma_{mineralull} = 0.04 \frac{kN}{m^3}$$

- . Etasje høyde = 3.6 m
- . Vegg høyde fra U.K bunnsvill til O.K toppsvill = $3.6 - 0.250 = 3.35$ m
- . NB! Noen veger i 4-ETG er høyere enn 3.35 m, men siden disse veggene er lette veger, vil $h = 3.35$ m tas i beregninger og fører fortsatt til konservativ dimensjonering

1- Regner volumet til de ulike sjiktene per 1m lende av veggen for $h = 3.35$ m:

$$\text{Gips} \quad V_{gips} = 1 \text{ m} \cdot \frac{13}{1000} \text{ m} \cdot 3.35 \text{ m} = 0.044 \frac{m^3}{m}$$

$$\text{Dampsperre} \quad V_{damp} = 1 \text{ m} \cdot \frac{1}{1000} \text{ m} \cdot 3.6 \text{ m} = 0.0036 \frac{m^3}{m}$$

$$\text{Isloasjon} \quad V_{iso} = (0.564 \text{ m} + 0.364 \text{ m}) \cdot 0.198 \text{ m} \cdot (3.35 \text{ m} - (2 \cdot 0.198 \text{ m})) = 0.54 \frac{m^3}{m}$$

$$\text{Stendere} \quad V_{stendere} = 2 \text{ stk} \cdot (0.048 \text{ m} \cdot 0.048 \text{ m} \cdot (3.35 \text{ m} - (2 \cdot 0.198 \text{ m}))) = 0.06 \frac{m^3}{m}$$

$$\text{Utdelingsisolasjon} \quad V_{ut.iso} = (0.564 \text{ m} + 0.364 \text{ m}) \cdot 0.048 \text{ m} \cdot 3.6 \text{ m} = 0.16 \frac{m^3}{m}$$

$$\text{Utdelingslekter} \quad V_{ut.lekt} = 6 \text{ stk} \cdot 1 \text{ m} \cdot (0.048 \text{ m})^2 = 0.014 \frac{m^3}{m}$$

$$\text{Vindsperre} \quad V_{vindsperre} = 1 \text{ m} \cdot \frac{2}{1000} \text{ m} \cdot 3.6 \text{ m} = 0.0072 \frac{m^3}{m}$$

$$\text{Lekter} \quad V_{lekt} = 6 \text{ stk} \cdot 1 \text{ m} \cdot \frac{23}{1000} \text{ m} \cdot \frac{48}{1000} \text{ m} = 0.0062 \frac{m^3}{m}$$

$$\text{Kledning} \quad V_{kledning} = 1 \text{ m} \cdot \frac{19}{1000} \text{ m} \cdot 3.6 \text{ m} = 0.0684 \frac{m^3}{m}$$

$$\text{Bunn &} \quad V_{svill} = 2 \text{ stk} \cdot 1 \text{ m} \cdot \frac{36}{1000} \text{ m} \cdot 0.198 \text{ m} = 0.014 \frac{m^3}{m}$$

$$\text{Toppsvillene}$$

2- Regner sjiktenes linjelast per meter

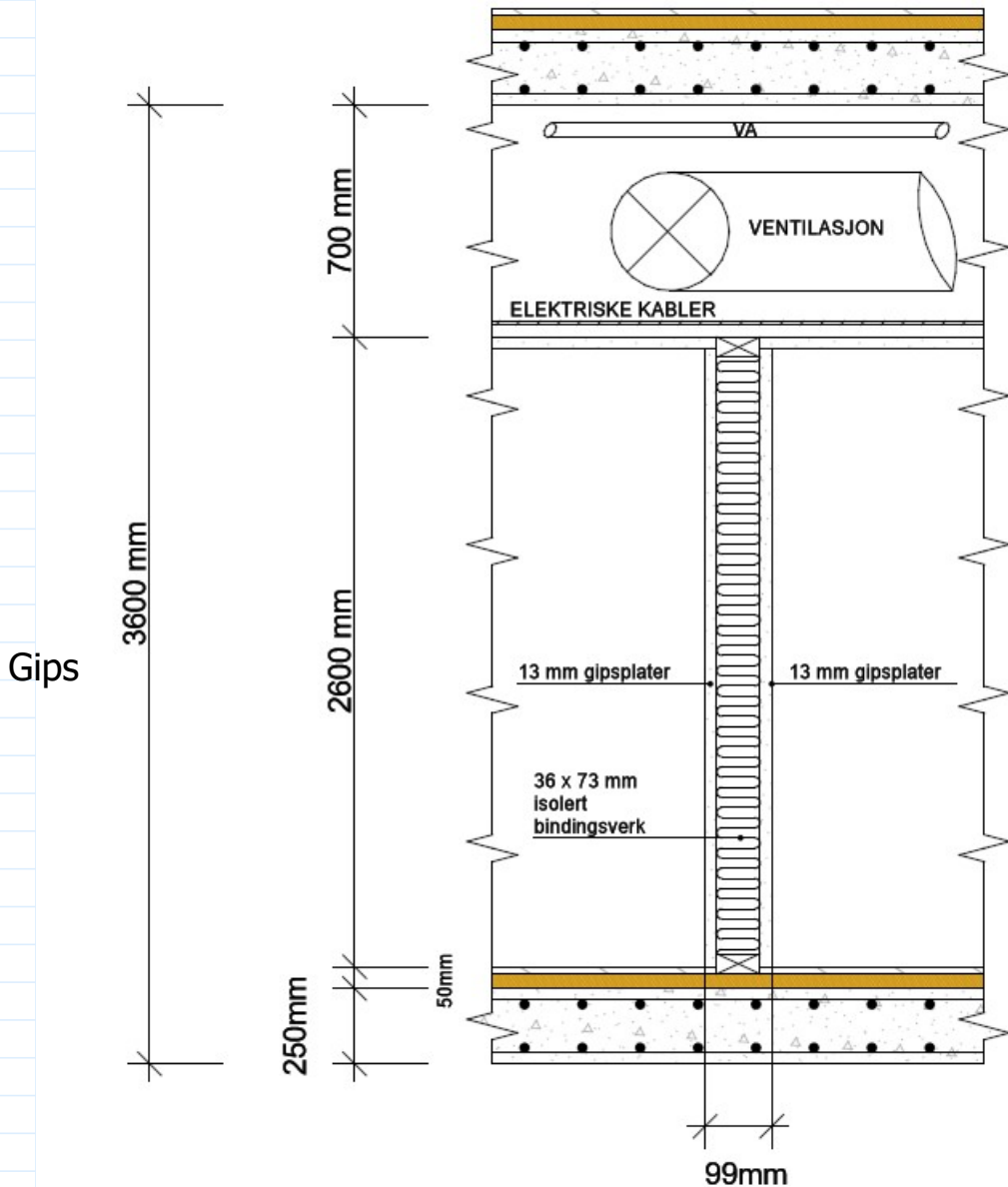
Material	Linjelast
(....)	$\left(\frac{m^3}{m} \cdot \frac{kN}{m^3} = \frac{kN}{m} \right)$
Gips	$g_{gips} = 0.0044 \cdot 2.3 = 0.1$
Dampsperre	$g_{damp} = 0.0036 \cdot 1 = 0.0036$
Isolasjon	$g_{iso} = 0.54 \cdot 0.04 = 0.0216$
Stendere	$g_{stender} = 0.252$
Utdragsisolasjon	$g_{ut.iso} = 0.16 \cdot 0.04 = 0.064$
Utdragslektre	$g_{ut.lekt} = 0.16 \cdot 0.04 = 0.060$
Vindsperrre	$g_{vindsperrre} = 0.0072 \cdot 1 = 0.0072$
Lekter	$g_{lekter} = 0.0062 \cdot 4.2 = 0.02$
Kledning	$g_{kledning} = 0.0684 \cdot 4.2 = 0.29$
Bunnøstoppsvillene	$g_{svill} = 0.014 \cdot 4.2 = 0.06$
Total-karkaterisktisk-linjelast	0.8

--> Lasten til ytterveggene innføres som linjelast over kantstripene i flatdekkene

$$g_{Y.V} = 0.8 \frac{kN}{m}$$

II - Skillevegger mellom samme boenhet (leilighet)

. Fra detaljen nedenfor, Veggens høyde er $h = 2.6 \text{ m}$



1- Regner volumet til de ulike sjiktene per 1m lende av vegg for $h = 2.6 \text{ m}$:

Gips

$$V_{gips} = 2 \text{ stk} \cdot 1 \text{ m} \cdot \frac{13}{1000} \text{ m} \cdot 2.6 \text{ m} = 0.0676 \frac{\text{m}^3}{\text{m}}$$

Bunn + Toppsvill

$$V_{svill} = 2 \text{ stk} \cdot 1 \text{ m} \cdot \frac{73}{1000} \text{ m} \cdot \frac{36}{1000} \text{ m} = 0.0053 \frac{\text{m}^3}{\text{m}}$$

Stendere

$$V_{stendere} = 2 \text{ stk} \cdot \frac{73}{1000} \text{ m} \cdot \frac{36}{1000} \text{ m} \cdot 2.532 \text{ m} = 0.014 \frac{\text{m}^3}{\text{m}}$$

$$\text{Isolasjon } V_{iso} = (0.502 \text{ m} + 0.302 \text{ m}) \cdot \frac{73}{1000} \text{ m} \cdot \left(2.6 \text{ m} - \left(2 \cdot \frac{36}{1000} \text{ m} \right) \right) = 0.148 \frac{\text{m}^3}{\text{m}}$$

2- Regner sjiktene linjelast per meter

Material	Linjelast
(....)	$\left(\frac{\text{m}^3}{\text{m}} \cdot \frac{\text{kN}}{\text{m}^3} = \frac{\text{kN}}{\text{m}} \right)$
Gipsplater	$0.07 \cdot 2.3 = 0.16$
<i>Bunn + toppsvill</i>	$0.0053 \cdot 4.2 = 0.02$
<i>Stendere</i>	$0.014 \cdot 4.2 = 0.06$
<i>Isolasjon</i>	$0.148 \cdot 0.04$
Total	0.25

--> **NS-EN1991-1-1:2002 6.2.3(8):** Dersom en dekke kan fordele lastene i begge retninger og linjelasten til en vegg er $< 1.0 \text{ kN/m}$, kan det benyttes en ekvivalent areal last fra veggen på dekket med verdi

$$g_k = 0.5 \frac{\text{kN}}{\text{m}^2}$$

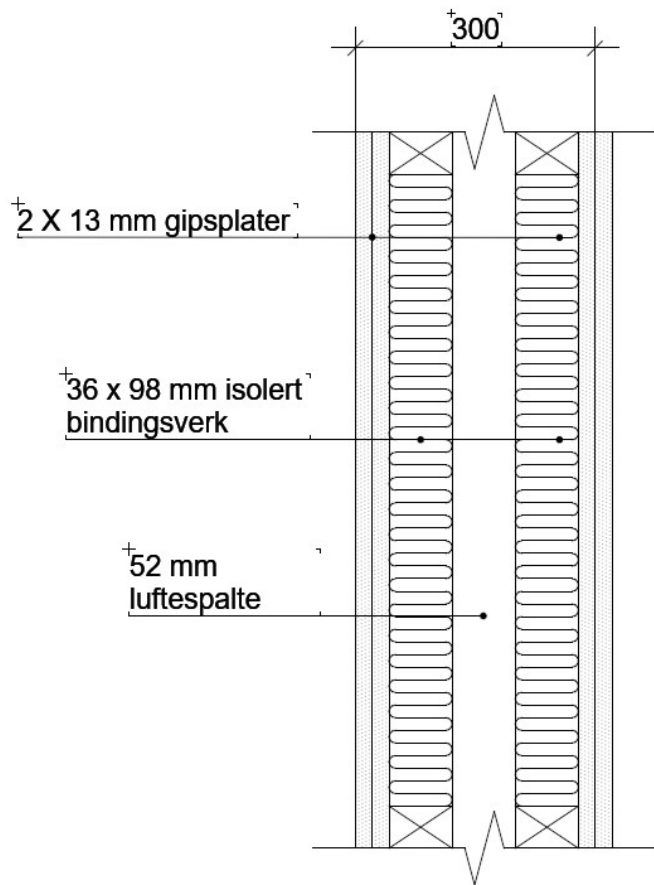
III - Skillevegger mellom boenheter (leiligheter)

. Fra detaljen til høyre (vårt valg), Veggens høyde er $h = 2.6 \text{ m}$ '

. Ved repetisjon av samme prosedyre som i de 2 forrige veggene, finner vi at lasten blir $g = 0.5 \text{ kN/m}$

. Da benytter vi en ekvivalent areal last til vegen over dekket etter EC1 med verdi

$$g_k = 0.5 \frac{\text{kN}}{\text{m}^2}$$

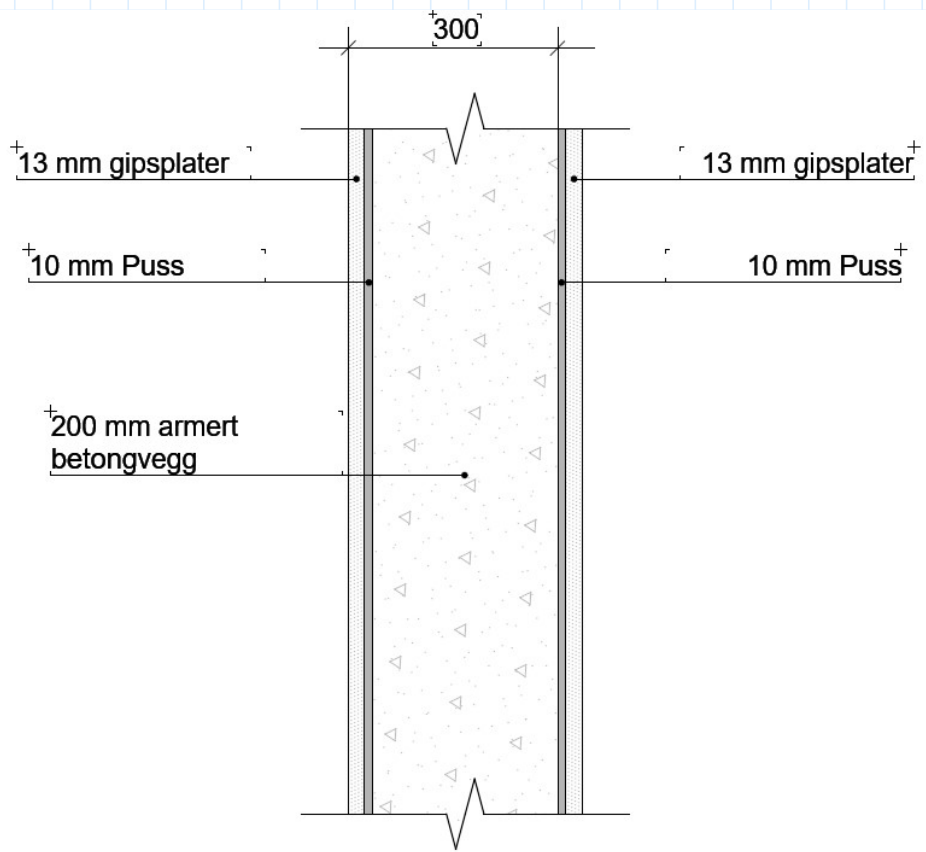


Disse veggene tilfredsstiller fortsatt TEK17 krav om brann- og lydisolasjon:

Brannmmotstand = EI60

Luftlydisolasjon = $R'_w = 55 \text{ dB}$

Arkitektens valg av skillevegger mellom leiligheter var slik:

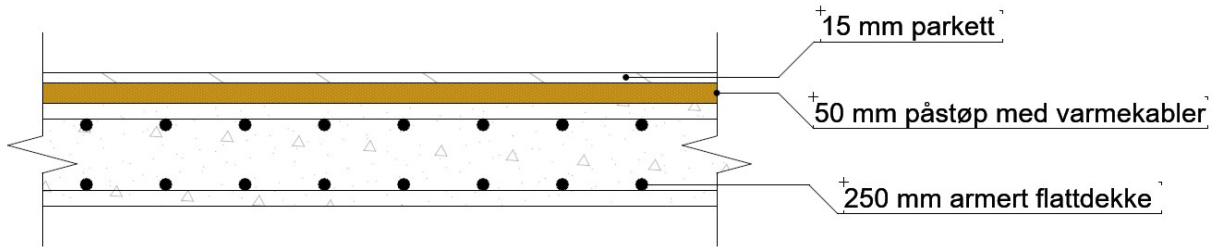


Ved en detaljert beregning av veggens egenlast, får vi ved å repitere samme prosedyre for de andre veggene en verdi på:

$$g_k = 20 \frac{kN}{m}$$

Dette er mye større last enn vårt valg

IV - Etasjedekkene (2ETG-4ETG)



$$\gamma_{betong} = 25 \frac{kN}{m^3}$$

15 mm
Parkett

$$g_{parkett} = 4.2 \frac{kN}{m^3} \cdot 0.015 m = 0.0063 \frac{kN}{m^2}$$

50 mm
Påstøp med
varmekabler

$$g_{påstøp} = 25 \frac{kN}{m^3} \cdot 0.05 m = 1.25 \frac{kN}{m^2}$$

250 mm armert
flatdekke

$$g_{betong} = 25 \frac{kN}{m^3} \cdot 0.25 m = 6.25 \frac{kN}{m^2}$$

Total karakteristisk
egenlast av dekkene

$$g_{dekk.k} = 1.25 + 6.25 = 7.6 \frac{kN}{m^2}$$

Total karakteristisk
egenlast på dekkene med
bidrag fra innvendige
skille veggene pluss
mekaniske installasjonene

$$g_{dekk.k.tot} = 7.6 + 0.5 + 0.5 = 8.6 \frac{kN}{m^2}$$

V - Takkonstruksjonen (Q-dekke)

Se tegning 21 for tak oppbygningen

Fra EC1, finnes tyngdetetthetene til ulike materialene

Dampsperre $\gamma = 1 \frac{kN}{m^3}$

XPS- isolasjon $\gamma = 0.34 \frac{kN}{m^3}$

Tak belegg $\gamma = 0.0015 \frac{kN}{m^3}$

Regner ekvivalent areal laster ved å multiplisere med tykkelsen

Dampsperre $Q = 1 \frac{kN}{m^3} \cdot 0.001 m = 0.001 \frac{kN}{m^2}$

XPS isolasjon $Q = 0.34 \frac{kN}{m^3} \cdot (0.20 + 0.050)^2 = 0.085 \frac{kN}{m^2}$

Tak belegg $Q = 0.015 \frac{kN}{m^3} \cdot 0.001 m = 0.00015 \frac{kN}{m^2}$

Stålprofil q-dekke $Q = 0.6 \frac{kN}{m^2}$ fra Sintef Byggforsk

Total karakteristisk last for tak konstruksjonen uten primære og sekundære bjelkene:

$$Q_{k,tot} = 0.001 + 0.085 + 0.00015 + 0.6 = 0.69 \frac{kN}{m^2}$$

Total karakteristisk egenlast fra bidraget av primære og sekundære bjelkene blir:

$$Q_k = 0.34 \frac{kN}{m^2}$$

Denne siden er satt med vilje tom

Vedlegg2: Snø- vind, og total dimensjonerende laster på taket

Se tegningene nr. 18 & 19 for takets geometri og mål i tillegg til rapporten mens du leser dette vedlegget for å kunne forstå prinsippet bak beregningene

Snølaster på taket

Regelverket for snølaster er NS-EN 1991-1-3 med norsk nasjonal tillegg
Informasjon om lokale forhold

Høyde over havet

$$hoh = 37 \text{ m}$$

Høyde på byggets høyeste punkt

$$h = 15.3 \text{ m} \quad (\text{Høyde til søylenestopp langs akse 3})$$

Fylke, kommune

Trøndelag, Trondheim

Siden byggetshøyde er mindre enn 150 m.o.h, skal det foretas ingen justeringer på verdien for karakteristisk snølast på mark fra tabell NA.4.1(901) og Per K. Larsen

$$s_{k;0} = 3.5 \frac{kN}{m^2}$$

$$\Delta s_{k;0} = 1.0$$

Dimensjonerende karakteristisk snølask

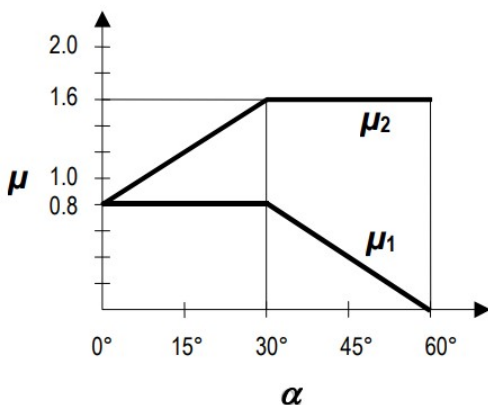
$$s = \mu C_e C_t s_k$$

$$C_e = 1.0 \quad \text{EC1 del 3 tabell 5.1}$$

$$C_t = 1.0 \quad \text{EC1 del 3 5.2(8)}$$

Fra plantegningene 17 & 18, alle vinkler i takkonstruksjonen er under 30 grader, og dermed etter figur 5.1 blir

$$\mu = 0.8$$



$$s_k = 3.5 + 1 = 4.5 \frac{kN}{m^2}$$

(Velger å legge 1kn/m² til for å være konsekvent)

$$\rightarrow s = 0.8 \cdot 1.0 \cdot 1.0 \cdot 4.5 = 3.6 \frac{kN}{m^2}$$

Vindlaster

Regelverk for vindlast: NS-EN 1991-1-4

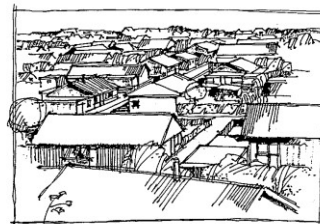
Lokasjon i Trondheim, tabell NA.4(901.1), blir referansevindhastighet

$$v_{bo} = 26 \frac{m}{s}$$

Terrenget klasifiseres etter Tillegg A.1: **kategori - III**

Terrain category III

Area with regular cover of vegetation or buildings or with isolated obstacles with separations of maximum 20 obstacle heights (such as villages, suburban terrain, permanent forest)



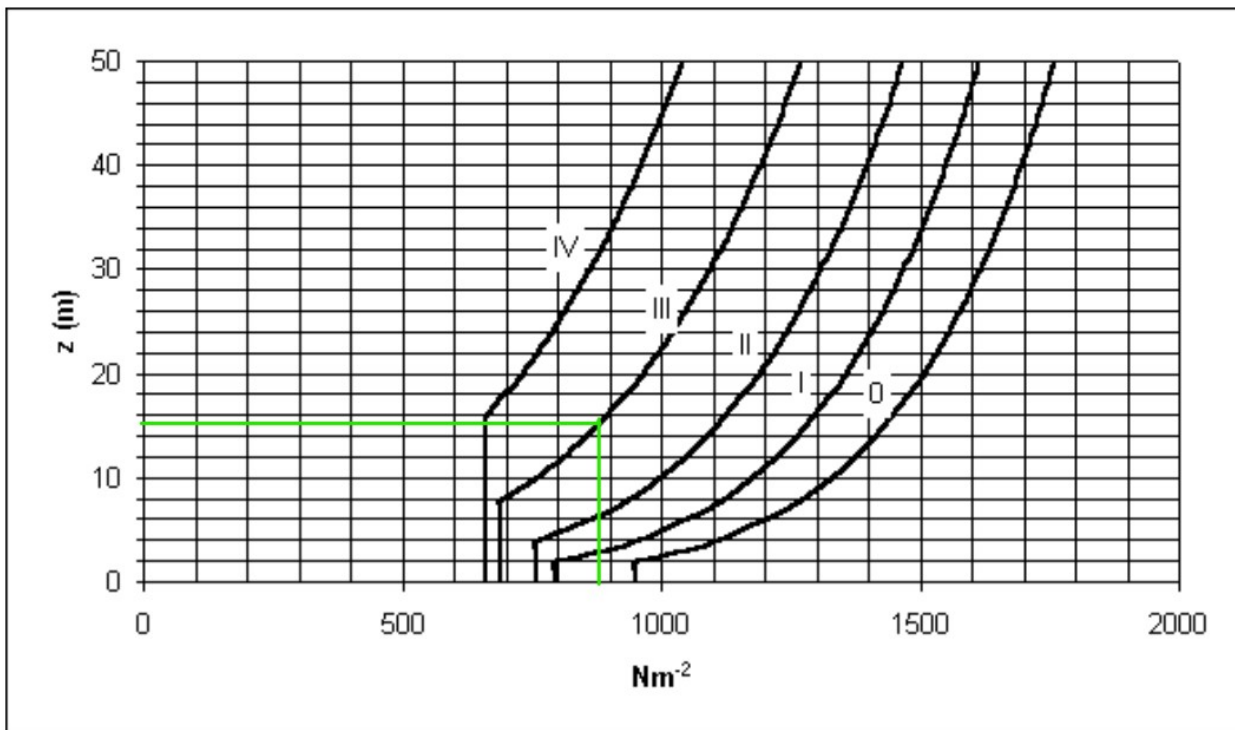
Fra tabell 4.1, finnes følgende faktorer for terrenget kategori 3

Table 4.1 — Terrain categories and terrain parameters

	Terrain category	z_0 m	z_{min} m
0	Sea or coastal area exposed to the open sea	0,003	1
I	Lakes or flat and horizontal area with negligible vegetation and without obstacles	0,01	1
II	Area with low vegetation such as grass and isolated obstacles (trees, buildings) with separations of at least 20 obstacle heights	0,05	2
III	Area with regular cover of vegetation or buildings or with isolated obstacles with separations of maximum 20 obstacle heights (such as villages, suburban terrain, permanent forest)	0,3	5
IV	Area in which at least 15 % of the surface is covered with buildings and their average height exceeds 15 m	1,0	10
NOTE: The terrain categories are illustrated in A.1.			

$$z_0 = 0.3 \text{ m} \quad \text{og} \quad z_{min} = 5 \text{ m}$$

Benytter veildeningen for forenklet berbergning av vindhastighetstrykk, V.3 c



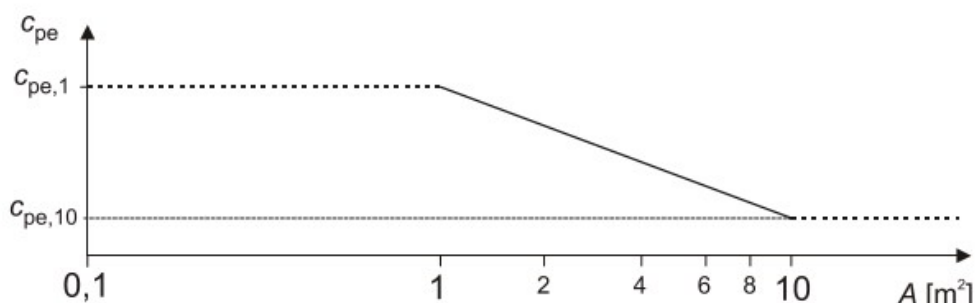
c) Grunnverdi for hastighetstrykk fra vindkast $q_{p0}(z)$ for $v_{b,0} = 26 \text{ m/s}$

Avlest fra grafen:

$$q_{p0}(z) = 0.86 \frac{kN}{m^2}$$

Ekstern trykk koeffisienter og forankringskrefter for vindlaster på taket

NS-EN 1991 7.2.1 i figur 7.2 gir anbefalinger for bestemmelse av trykkkoeffisienter for bygget basert på arealene som bæres av taksonene



The figure is based on the following:
for $1 \text{ m}^2 < A < 10 \text{ m}^2$ $C_{pe} = C_{pe,1} - (C_{pe,1} - C_{pe,10}) \log_{10} A$

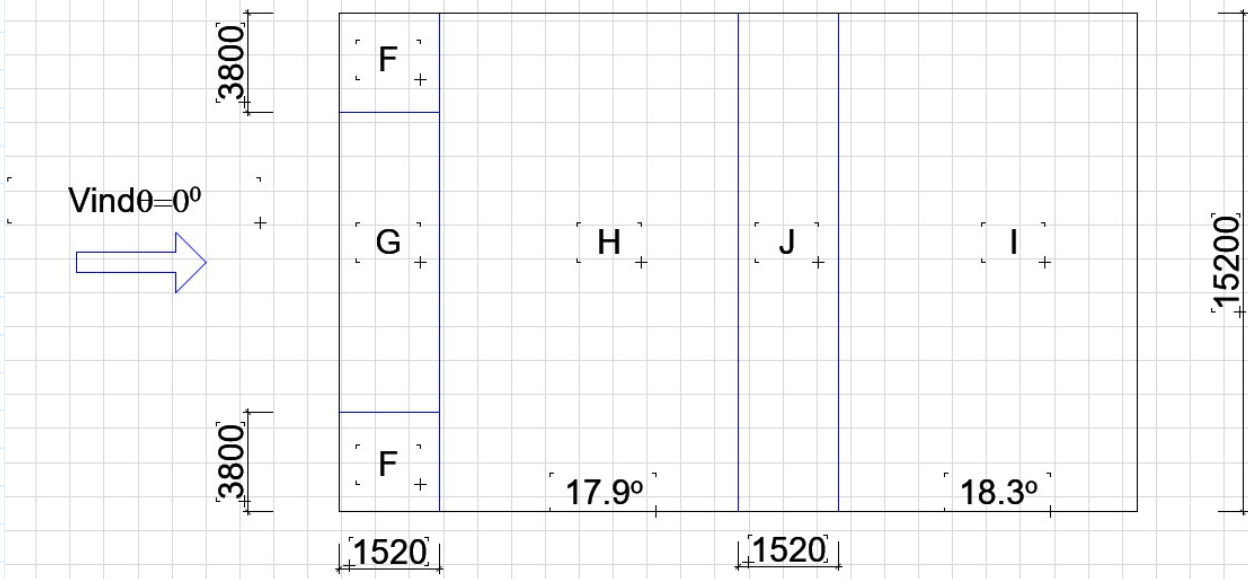
Det viser seg at alle arealene som bæres av hovedtakbjelkene er større en 10m^2 (se tegning 17), dermed blir alle trykk koeffisienter valgt lik verdien av fra tabellene 7.4a og 7.4b:

$$C_{pe} = C_{pe,10}$$

Vind 0

1- Vind 0, vestlig del i boligblokken

Betrakter spenn 1 i vestlig delen. Ser på området som saltak (Duopitch roof)



Definerer størreleser etter NS-EN 1991-1-4 figur 7.8 (for resten av lastkombinasjoner er dette ikke presentert her, siden det er bare å følge figuren for å finne de fram)

$$e = \min [2 \cdot h; b] = [2 \cdot 15.3 \text{ m} = 30.6 \text{ m}; b = 15.2 \text{ m}] = 15.2 \text{ m}$$

NS-EN1991-14 tabell 7.4a

$$\text{Sone } F ; C_{pe;10} = 0.2$$

$$\text{Sone } G ; C_{pe;10} = 0.2$$

$$\text{Sone } H ; C_{pe;10} = 0.2$$

$$\text{Sone } J ; C_{pe;10} = -0.9$$

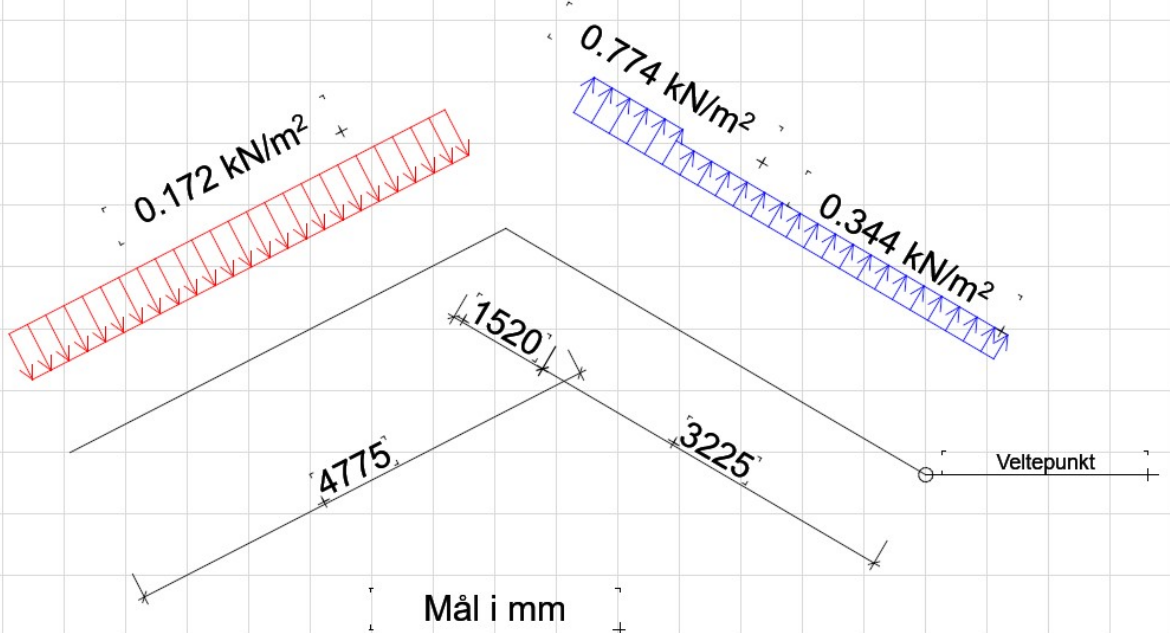
$$\text{Sone } I ; C_{pe;10} = -0.74$$

Sone F, G, & H har samme koeffisient

$$F = 0.20 \cdot 0.86 \frac{kN}{m^2} = 0.172 \frac{kN}{m^2} \text{ Trykk}$$

$$\text{Sone } J \quad F = -0.9 \cdot 0.86 \frac{kN}{m^2} = -0.774 \frac{kN}{m^2} \quad \text{Sug}$$

$$\text{Sone } I \quad F = -0.4 \cdot 0.86 \frac{kN}{m^2} = -0.344 \frac{kN}{m^2} \quad \text{Sug}$$



$$F_{tak1} = 1 \cdot 0.172 \cdot 4.775 \cdot 3 = 2.46 \text{ kN} \quad \text{Trykk}$$

$$F_{tak2} = 1 \cdot 0.774 \cdot 1.52 \cdot 3 = 3.53 \text{ kN} \quad \text{Sug}$$

$$F_{tak3} = 1 \cdot 0.344 \cdot 3.225 \cdot 3 = 3.33 \text{ kN} \quad \text{Sug}$$

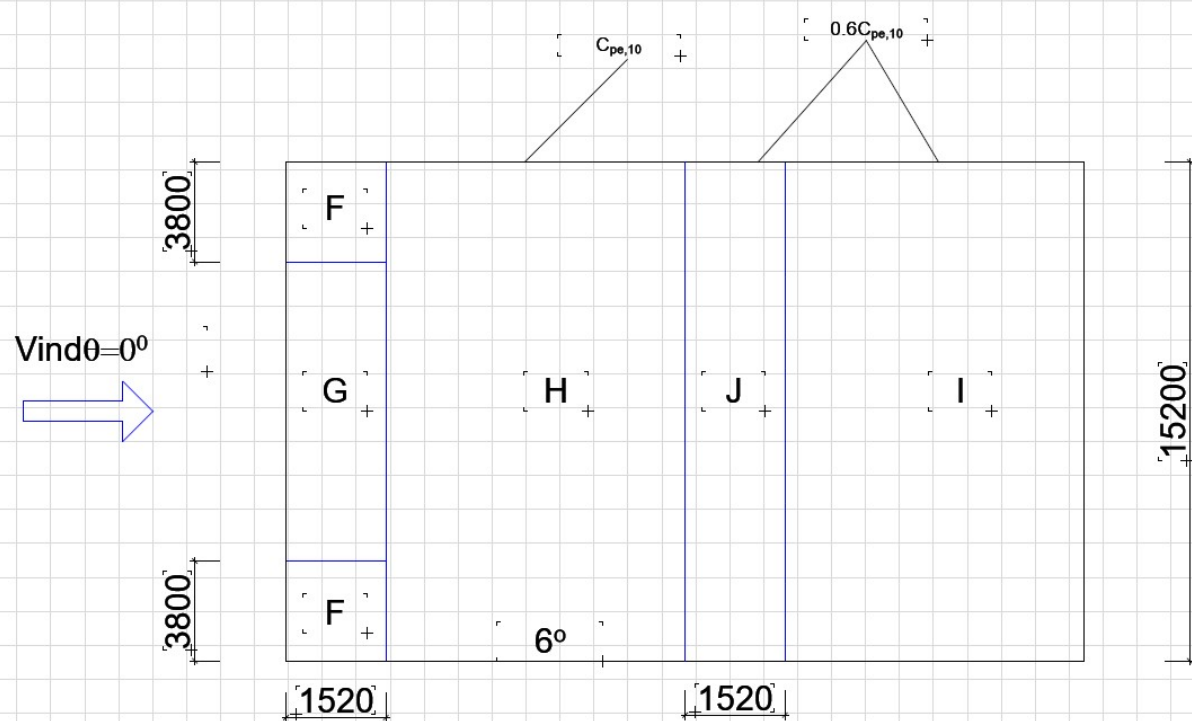
$$M_q = (3.53 \text{ kN} \cdot 3 \text{ m}) + (3.33 \text{ kN} \cdot 1.6125 \text{ m}) = 19.4 \text{ kNm} \quad \text{Veltemoment}$$

$$M_G = 0.9 \cdot 2.3725 \cdot (4.745 \cdot 51.2 \cdot 9.81) \cdot 10^{-3} = 5 \text{ kNm} \quad \text{Egenlast stabilisende moment}$$

$$F_{forankring} = \frac{1}{4.745} \cdot (19.4 - 1 \cdot 2.3725 \cdot 2.383) = 2.9 \text{ kN} \quad \text{Forankringskraft}$$

2- Vind 0, vestlig del i boligblokken

Betrakter spenn 2 i vestlig delen. Ser på området som fler-saltaks formet tak (Multispan roofs)



$$\text{NS-EN1991-1-4 figur 7.10} \quad C_{pe} = 0.6 \cdot C_{pe;10}$$

NS-EN1991-14 tabell 7.4a

$$\text{Sone } F;G;H \quad C_{pe;10} = 0.020$$

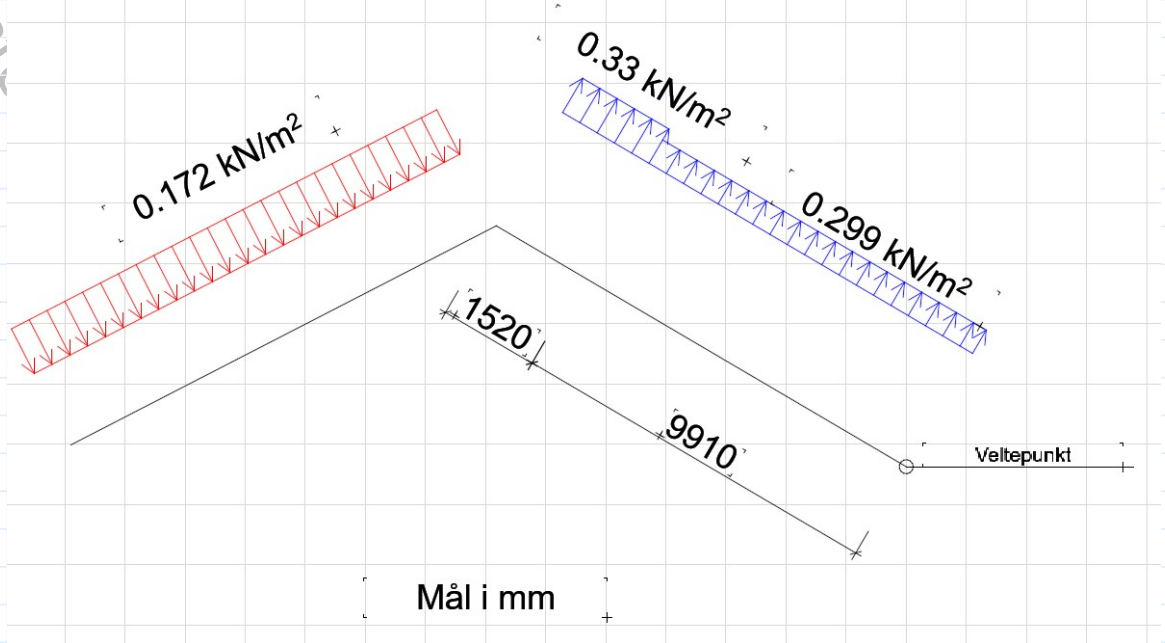
$$\text{Sone } J ; \quad C_{pe;10} = -0.58 \cdot 0.6 = -0.384$$

$$\text{Sone } I ; \quad C_{pe;10} = -0.64 \cdot 0.6 = -0.348$$

$$\text{Sone F,G, \& H har samme koeffisient} \quad F = 0.020 \cdot 0.86 \frac{kN}{m^2} = 0.0172 \frac{kN}{m^2} \quad \text{Trykk}$$

$$\text{Sone J} \quad F = -0.384 \cdot 0.86 \frac{kN}{m^2} = -0.33 \frac{kN}{m^2} \quad \text{Sug}$$

$$\text{Sone I} \quad F = -0.348 \cdot 0.86 \frac{kN}{m^2} = -0.299 \frac{kN}{m^2} \quad \text{Sug}$$



$$F_{tak1} = 1 \cdot 0.33 \cdot 1.52 \cdot 3 = 1.52 \text{ kN}$$

Sug

$$F_{tak2} = 1 \cdot 0.299 \cdot 9.91 \cdot 3 = 8.89 \text{ kN}$$

Sug

$$M_q = (1.52 \text{ kN} \cdot 10.67 \text{ m}) + (8.89 \text{ kN} \cdot 4.955 \text{ m}) = 60 \text{ kNm}$$

Veltemoment

$$M_G = 0.9 \cdot 5.715 \cdot (11.43 \cdot 51.2 \cdot 9.81) \cdot 10^{-3} = 29.53 \text{ kNm}$$

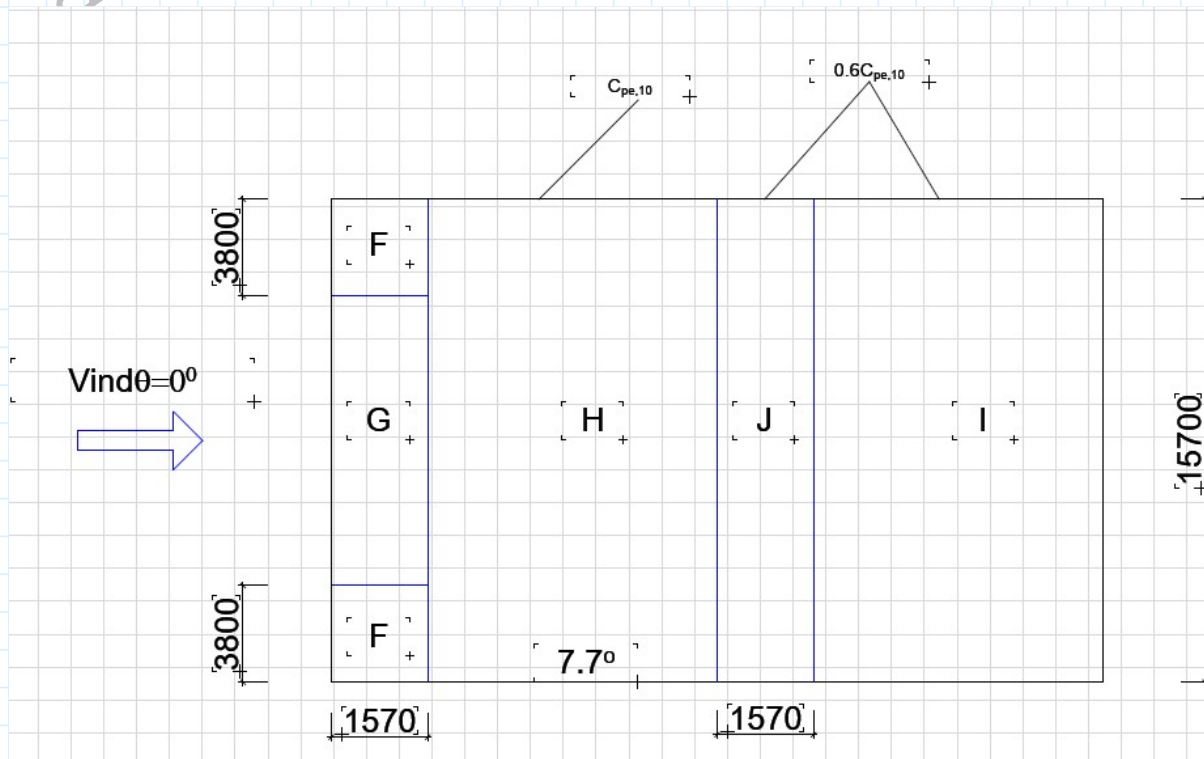
Egenlasts stabiliseringe moment

$$F_{forankring} = \frac{1}{11.43} \cdot (60 - 1 \cdot 5.715 \cdot 5.74) = 2.38 \text{ kN}$$

Forankringskraft

3- Vind 0, østlig del i boligblokken

Betrakter spenn3 i østlig delen. Ser på området som fler-saltaks formet tak (Multispan roofs)



$$\text{NS-EN1991-1-4 figur 7.10} \quad C_{pe} = 0.6 \cdot C_{pe;10}$$

NS-EN1991-14 tabell 7.4a

$$\text{Sone } F;G;H \quad C_{pe;10} = 0.054$$

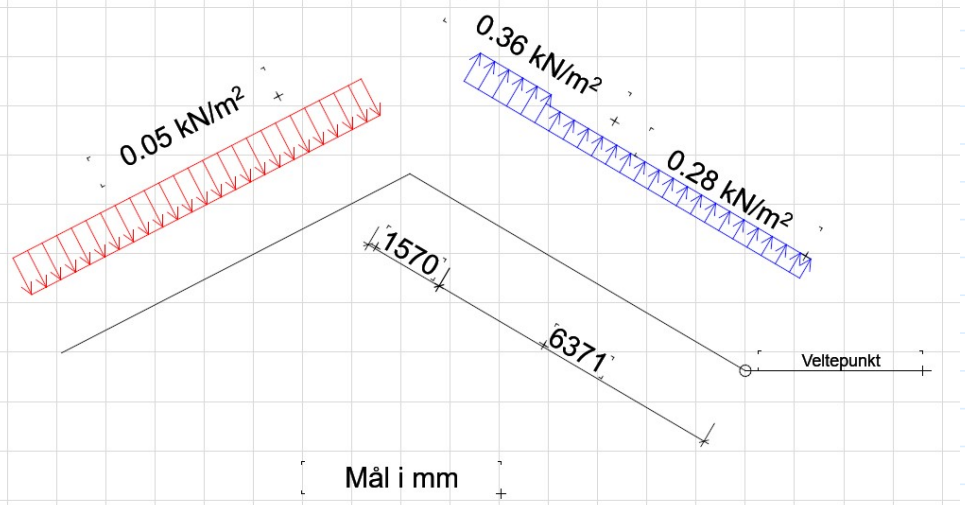
$$\text{Sone } J ; \quad C_{pe;10} = -0.71 \cdot 0.6 = -0.42$$

$$\text{Sone } I ; \quad C_{pe;10} = -0.546 \cdot 0.6 = -0.33$$

$$\text{Sone } F, G, \& H \text{ har samme koeffisient} \quad F = 0.054 \cdot 0.86 \frac{kN}{m^2} = 0.05 \frac{kN}{m^2} \quad \text{Trykk}$$

$$\text{Sone } J \quad F = -0.42 \cdot 0.86 \frac{kN}{m^2} = -0.36 \frac{kN}{m^2} \quad \text{Sug}$$

$$\text{Sone } I \quad F = -0.33 \cdot 0.86 \frac{kN}{m^2} = -0.28 \frac{kN}{m^2} \quad \text{Sug}$$



$$F_{tak1} = 1 \cdot 0.36 \cdot 1.57 \cdot 3 = 1.7 \text{ kN}$$

Sug

$$F_{tak2} = 1 \cdot 0.28 \cdot 6.371 \cdot 3 = 5.4 \text{ kN}$$

Sug

$$M_q = (1.7 \text{ kN} \cdot 7.156 \text{ m}) + (5.4 \text{ kN} \cdot 3.1855 \text{ m}) = 29.4 \text{ kNm}$$

Veltemoment

$$M_G = 0.9 \cdot 3.9705 \cdot (7.941 \cdot 51.2 \cdot 9.81) \cdot 10^{-3} = 14.25 \text{ kNm}$$

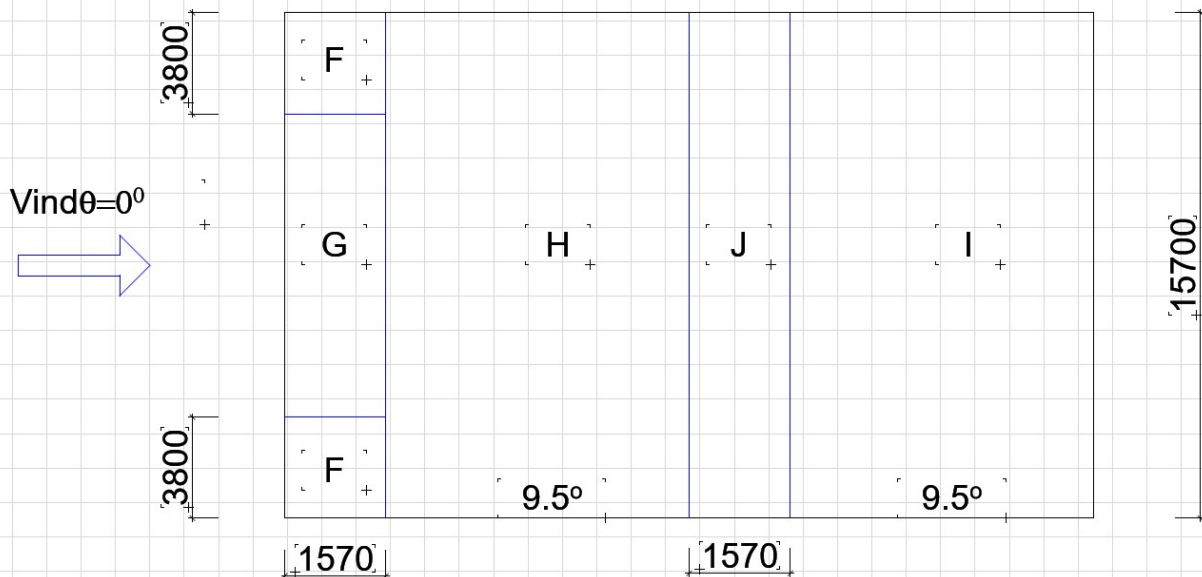
Egenlasts stabiliseringe moment

$$F_{forankring} = \frac{1}{7.941} \cdot (29.4 - 10 \cdot 3.9705 \cdot 4) = 1.7 \text{ kN}$$

Forankringskraft

4- Vind 0, østlig del i boligblokken

Betrakter spenn 4 i østlig delen. Ser på området som enkel saltak (Duopitch roof)



NS-EN1991-14 tabell 7.4a

$$\text{Sone } F;G;H \quad C_{pe;10} = 0.09$$

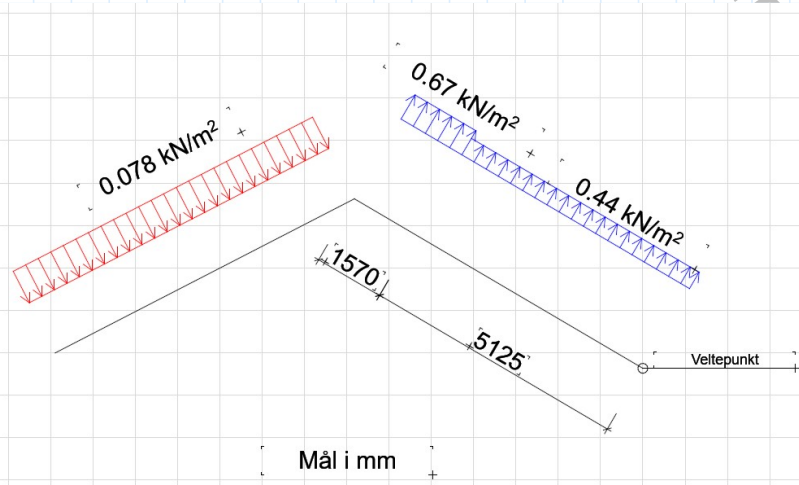
$$\text{Sone } J ; \quad C_{pe;10} = -0.51$$

$$\text{Sone } I ; \quad C_{pe;10} = -0.78$$

Sone F,G, & H har samme koeffisient $F = 0.09 \cdot 0.86 \frac{kN}{m^2} = 0.078 \frac{kN}{m^2}$ Trykk

Sone J $F = -0.78 \cdot 0.86 \frac{kN}{m^2} = -0.67 \frac{kN}{m^2}$ Sug

Sone I $F = -0.51 \cdot 0.86 \frac{kN}{m^2} = -0.44 \frac{kN}{m^2}$ Sug



$$F_{tak1} = 1 \cdot 0.67 \cdot 157 \cdot 3 = 3.6 \text{ kN} \quad \text{Sug}$$

$$F_{tak2} = 1 \cdot 0.44 \cdot 5.125 \cdot 3 = 6.77 \text{ kN} \quad \text{Sug}$$

$$M_q = (3.16 \text{ kN} \cdot 5.91 \text{ m}) + (6.77 \text{ kN} \cdot 2.56 \text{ m}) = 36 \text{ kNm} \quad \text{Veltemoment}$$

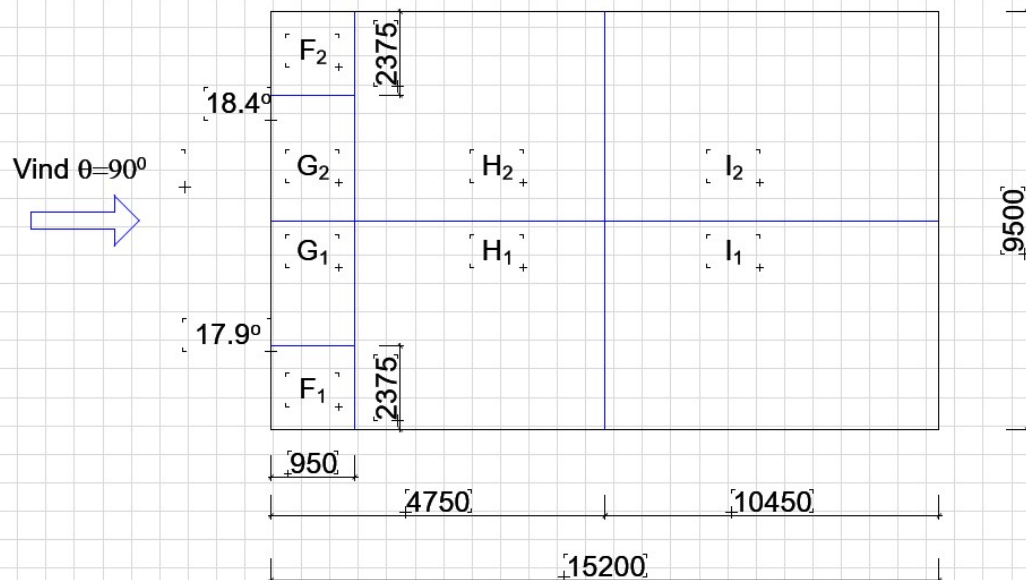
$$M_G = 0.9 \cdot 3.3475 \cdot (6.695 \cdot 51.2 \cdot 9.81) \cdot 10^{-3} = 10.13 \text{ kNm} \quad \text{Egenlasts stablilisenrende moment}$$

$$F_{forankring} = \frac{1}{6.695} \cdot (36 - 10 \cdot 3.3475 \cdot 3.36) = 3.7 \text{ kN} \quad \text{Forankringskraft per 3m bjelkesegment (i hver bjelke)}$$

Vind 90

1- Vind 90, vestlig del i boligblokken

Betrakter spenn1 i vestlig delen. Ser på området som saltak (Duopitch roof)



NS-EN1991-1-4 Fra tabell 7.4b

$$SoneG_1; C_{pe;10} = -1.3$$

$$SoneG_2; C_{pe;10} = -1.42$$

$$SoneF_1; C_{pe;10} = -1.3$$

$$SoneF_2; C_{pe;10} = -1.05$$

$$SoneH_1; C_{pe;10} = -0.6$$

$$SoneH_2; C_{pe;10} = 0. - 0.65$$

$$SoneI_1; C_{pe;10} = -0.5$$

$$SoneI_2; C_{pe;10} = -0.5$$

$\theta = 17.9^\circ$

$G_1 \quad F = -1.3 \cdot 0.86 = -1.12 \frac{kN}{m^2}$	Sug
$F_1 \quad F = -1.3 \cdot 0.86 = -1.12 \frac{kN}{m^2}$	Sug
$H_1 \quad F = -0.6 \cdot 0.86 = -0.52 \frac{kN}{m^2}$	Sug
$I_1 \quad F = -0.5 \cdot 0.86 = -0.43 \frac{kN}{m^2}$	Sug

$F_1 = 1.12 \cdot 0.952 \cdot 5 = 5.3 \text{ kN}$

$F_2 = 0.52 \cdot 3.8 \cdot 5 = 9.9 \text{ kN}$

$F_3 = 0.43 \cdot 10.45 \cdot 5 = 22.5 \text{ kN}$

$\theta = 18.4^\circ$

$G_2 \quad F = -1.42 \cdot 0.86 = -1.22 \frac{kN}{m^2}$	Sug
$F_2 \quad F = -1.05 \cdot 0.86 = -0.9 \frac{kN}{m^2}$	Sug
$H_2 \quad F = -0.65 \cdot 0.86 = -0.56 \frac{kN}{m^2}$	Sug
$I_2 \quad F = -0.5 \cdot 0.86 = -0.43 \frac{kN}{m^2}$	Sug

$F_1 = 1.06 \cdot 0.952 \cdot 5 = 5 \text{ kN}$

$F_2 = 0.56 \cdot 3.8 \cdot 5 = 10.64 \text{ kN}$

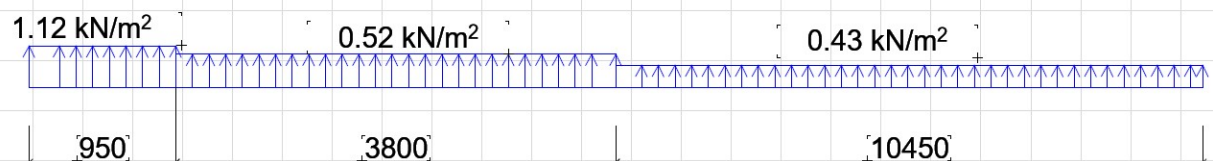
$F_3 = 0.43 \cdot 10.45 \cdot 5 = 22.4 \text{ kN}$

$$M_q = (5.3 \cdot 14.72) + (9.9 \cdot 12.34) + (22.4 \cdot 5.22)$$

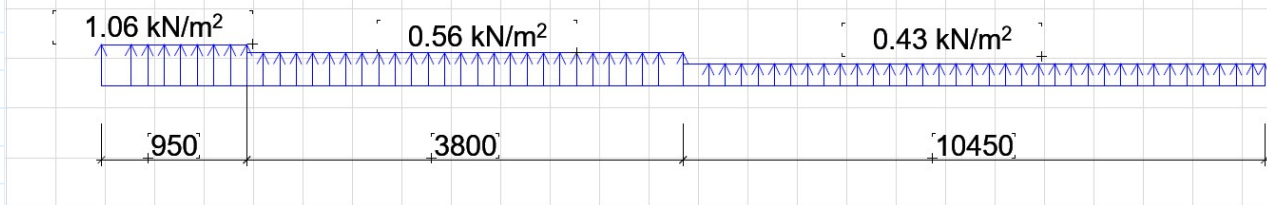
$$M_q = 317.11 \text{ kNm}$$

$$M_q = (5 \cdot 14.72) + (10.64 \cdot 12.34) + (22.4 \cdot 5.22)$$

$$M_q = 322 \text{ kNm} \quad \text{Dimensjonerende}$$



Fordelte vindlaster i sonene G1, F1, H1, & I1 (mønen sett fra side)



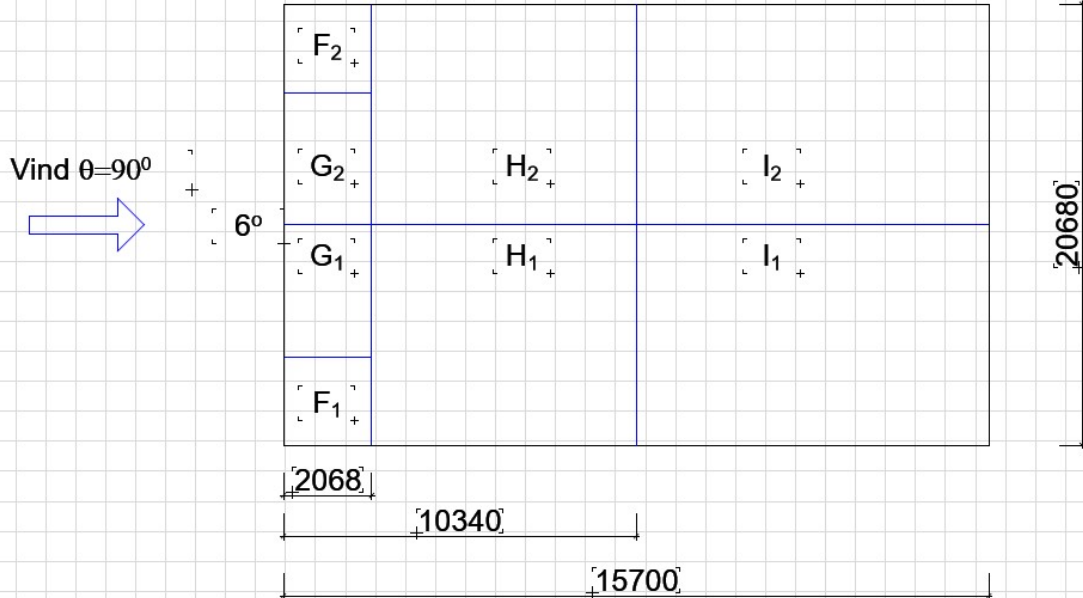
Fordelte vindlaster i sonene G2, F2, H2, & I2 (mønen sett fra side)

$$F = \frac{1}{15.2} \cdot (322.6 - 15.2 \cdot 51.2 \cdot 9.81 \cdot 10^{-3} \cdot 7.6) = 17.4 \text{ kN}$$

Forankringskraft (per m?/ per 3m?)

2- Vind 90, vestlig del i boligblokken

Betrakter spenn2 i vestlig delen av bygget. Behandler området som saltak (Duopitch roof)



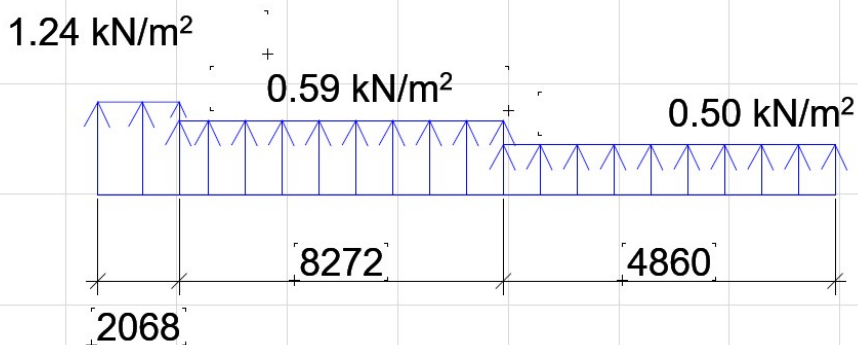
NS-EN1991-1-4 Fra tabell.....

$$SoneF ; C_{pe;10} = -1.57 ; F = -1.57 \cdot 0.86 = -1.35 \frac{kN}{m^2} \quad \text{Sug}$$

$$SoneG ; C_{pe;10} = -1.1 \cdot 3 ; F = -1.1 \cdot 0.86 = -1.12 \frac{kN}{m^2} \quad \text{Sug}$$

$$SoneH ; C_{pe;10} = -0.69 ; F = -0.69 \cdot 0.86 = -0.59 \frac{kN}{m^2} \quad \text{Sug}$$

$$SoneI ; C_{pe;10} = -0.59 ; F = -0.59 \cdot 0.86 = -0.5 \frac{kN}{m^2} \quad \text{Sug}$$



$$F_1 = 1.24 \cdot 2.068 \cdot 11.43 = 29.3 \text{ kN}$$

$$F_2 = 0.59 \cdot 8.272 \cdot 11.43 = 55.8 \text{ kN}$$

$$F_3 = 0.5 \cdot 4.86 \cdot 11.43 = 27.8 \text{ kN}$$

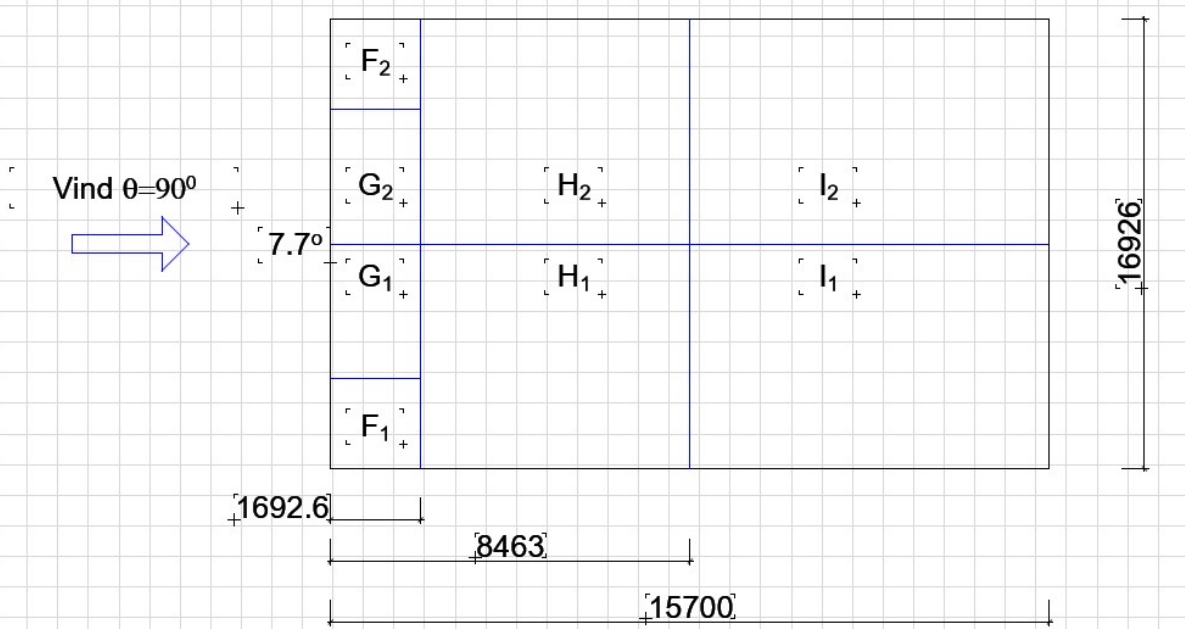
$$M_q = (29.3 \cdot 14.17) + (55.8 + 8.996) + (27.8 \cdot 2.473) = 985.9 \text{ kNm}$$

$$M_G = 15.2 \cdot 51.2 \cdot 9.81 \cdot 10^{-3} \cdot \frac{15.2}{2} = 58 \text{ kNm}$$

$$F_{forankring} = \frac{1}{15.2} \cdot (985.9 - 58) = 61 \text{ kN}$$

3- Vind 90, østlig del i boligblöcken

Betrakter spenn 3 i vestlig delen av bygget. Behandler området som saltak (Duopitch roof)



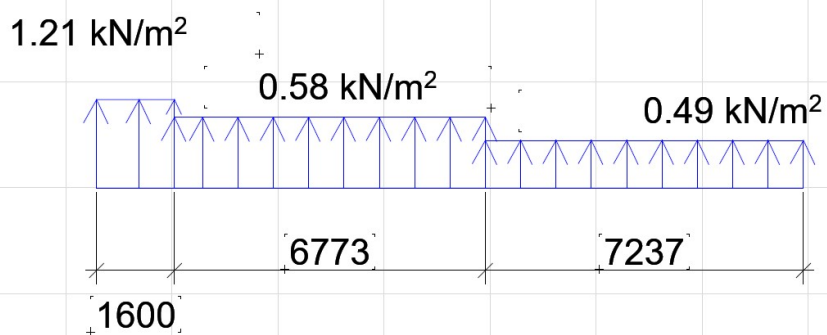
NS-EN1991-1-4 Fra tabell 7.4b

$$SoneF ; C_{pe;10} = -1.52 ; F = -1.52 \cdot 0.86 = -1.3 \frac{\text{kN}}{\text{m}^2} \quad \text{Sug}$$

$$SoneG ; C_{pe;10} = -1.3 ; F = -1.3 \cdot 0.86 = -1.12 \frac{\text{kN}}{\text{m}^2} \quad \text{Sug}$$

$$SoneH ; C_{pe;10} = -0.6 ; F = -0.67 \cdot 0.86 = -0.58 \frac{\text{kN}}{\text{m}^2} \quad \text{Sug}$$

$$SoneI ; C_{pe;10} = -0.57 ; F = -0.59 \cdot 0.86 = -0.49 \frac{\text{kN}}{\text{m}^2} \quad \text{Sug}$$



Vindlaster over taket sett fra side (mønen sett fra side)

$$F_1 = 1.21 \cdot 1.69 \cdot 8.99 = 18.4 \text{ kN}$$

$$F_2 = 0.58 \cdot 6.773 \cdot 8.99 = 35.3 \text{ kN}$$

$$F_3 = 0.49 \cdot 7.237 \cdot 8.99 = 31.9 \text{ kN}$$

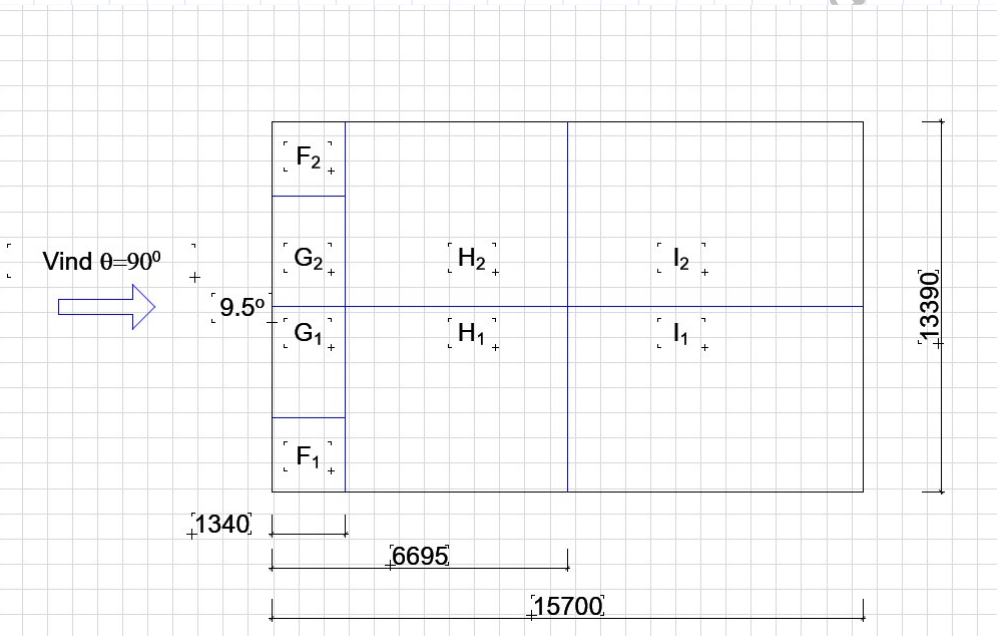
$$M_q = (18.4 \cdot 14.86) + (35.3 \cdot 10.624) + (31.9 \cdot 3.62) = 764 \text{ kNm}$$

$$M_G = 15.7 \cdot 51.2 \cdot 9.81 \cdot 10^{-3} \cdot 7.85 = 62 \text{ kNm}$$

$$F_{forankring} = \frac{1}{15.7} \cdot (764 - 62) = 44.7 \text{ kN}$$

4- Vind 90, østlig del i boligblokken

Betrakter spenn 4 i vestlig delen av bygget. Behandler området som.....



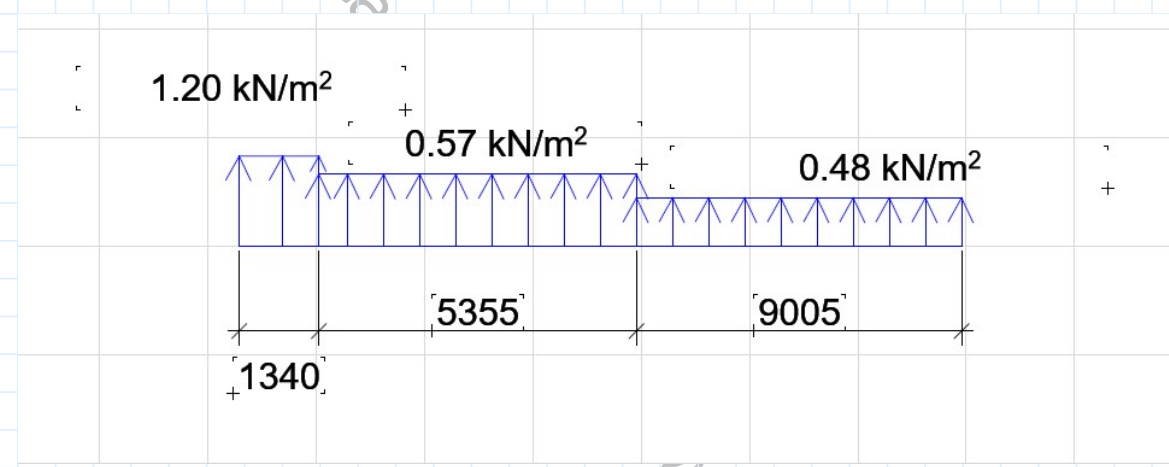
NS-EN1991-1-4 Fra tabell7.4b

$$SoneF ; C_{pe;10} = -1.47 ; F = -1.47 \cdot 0.86 = -1.26 \frac{kN}{m^2} \quad \text{Sug}$$

$$SoneG ; C_{pe;10} = -1.3 ; F = -1.3 \cdot 0.86 = -1.12 \frac{kN}{m^2} \quad \text{Sug}$$

$$SoneH ; C_{pe;10} = -0.66 ; F = -0.66 \cdot 0.86 = -0.57 \frac{kN}{m^2} \quad \text{Sug}$$

$$SoneI ; C_{pe;10} = -0.56 ; F = -0.56 \cdot 0.56 = -0.48 \frac{kN}{m^2} \quad \text{Sug}$$



Vindlaster over sine mønen sett fra side

$$F_1 = 1.2 \cdot 1.34 \cdot 6.695 = 10.77 \text{ kN}$$

$$F_2 = 0.57 \cdot 5.355 \cdot 6.695 = 20.44 \text{ kN}$$

$$F_3 = 0.48 \cdot 9.005 \cdot 6.695 = 28.9 \text{ kN}$$

$$M_q = (10.77 \cdot 15.03) + (20.44 \cdot 11.68) + (28.9 \cdot 4.5) = 530.8 \text{ kNm}$$

$$M_G = 62 \text{ kNm}$$

$$F_{forankring} = \frac{1}{15.7} \cdot (530.8 - 62) = 28.86 \text{ kN}$$

Konklusjon vind laster på taket

Vind som kommer fra 90 vil være dimensjonerende for sug, men gir ingen trykk.

Dermed er den ikke tatt med i total beregning av dimensjonerende last, fordi sug avlaster konstruksjonen. Det blir beregnet nødvendig forankring for sug. Vindtrykk fra 0 vil bli tatt med i dimensjonerende last.

Total dimensjonerende last på taket i bruddgrensetilstand

Karakteristiske laster

Vind: $Q_{vind;k} = 0.077 \frac{kN}{m^2}$ se øverst i dette vedlegget

Snø: $Q_{vind;k} = 3.6 \frac{kN}{m^2}$ se øverst i dette vedlegget

Egenlast: $G_{,k} = 0.34 \frac{kN}{m^2}$ Sintef Byggforsk

Belegg: $G_{belegg;k} = 0.69 \frac{kN}{m^2}$ Sintef Byggforsk?

Dimensjonerende verdi

Benytter linking 6.10a i NS-EN1990 siden kun 1 varaibellast er dominenrende (snølasten)

$$\gamma_G = 1.35 \quad \text{og} \quad \gamma_Q = 1.50$$

$$Q_{Ed} = (1.50 \cdot 0.077) + (1.50 \cdot 3.6) + (1.35 \cdot 0.34) + (1.35 \cdot 0.69) = 6.91 \frac{kN}{m^2}$$

Denne siden er satt med vilje tom

Vedlegg3: Tak beregninger i bruddgrensetilstand

Innledning:

Dette vedlegget var laget før den endelige nummerering av akser og konstruksjonsdelene i tegningene 1-21 ble fastsatt. Forfatteren har benyttet andre symboler på hoved bjelker enn det som står på **tegning 18**. Det presenteres nedenfor sammenhengen mellom symbolene benyttet av forfatteren benyttet ved beregningene (grønt) og det som står på **tegning 18** (sort).

Hovedtakbjelker:

Vestligdel i boligblokken

1= hovedtakbjelke langs akse 2

2= hovedtakbjelke langs akse 3

3= hovedtakbjelke langs akse 4

4= hovedtakbjelke langs akse 5

5= hovedtakbjelke langs akse 6

6= hovedtakbjelke langs akse 8

Østligdel i boligblokken

Hjørnebjelke= hovedtakbjelke langs akse 10

7= hovedtakbjelke langs akse 15

8= hovedtakbjelke langs akse 16

9= hovedtakbjelke langs akse 17

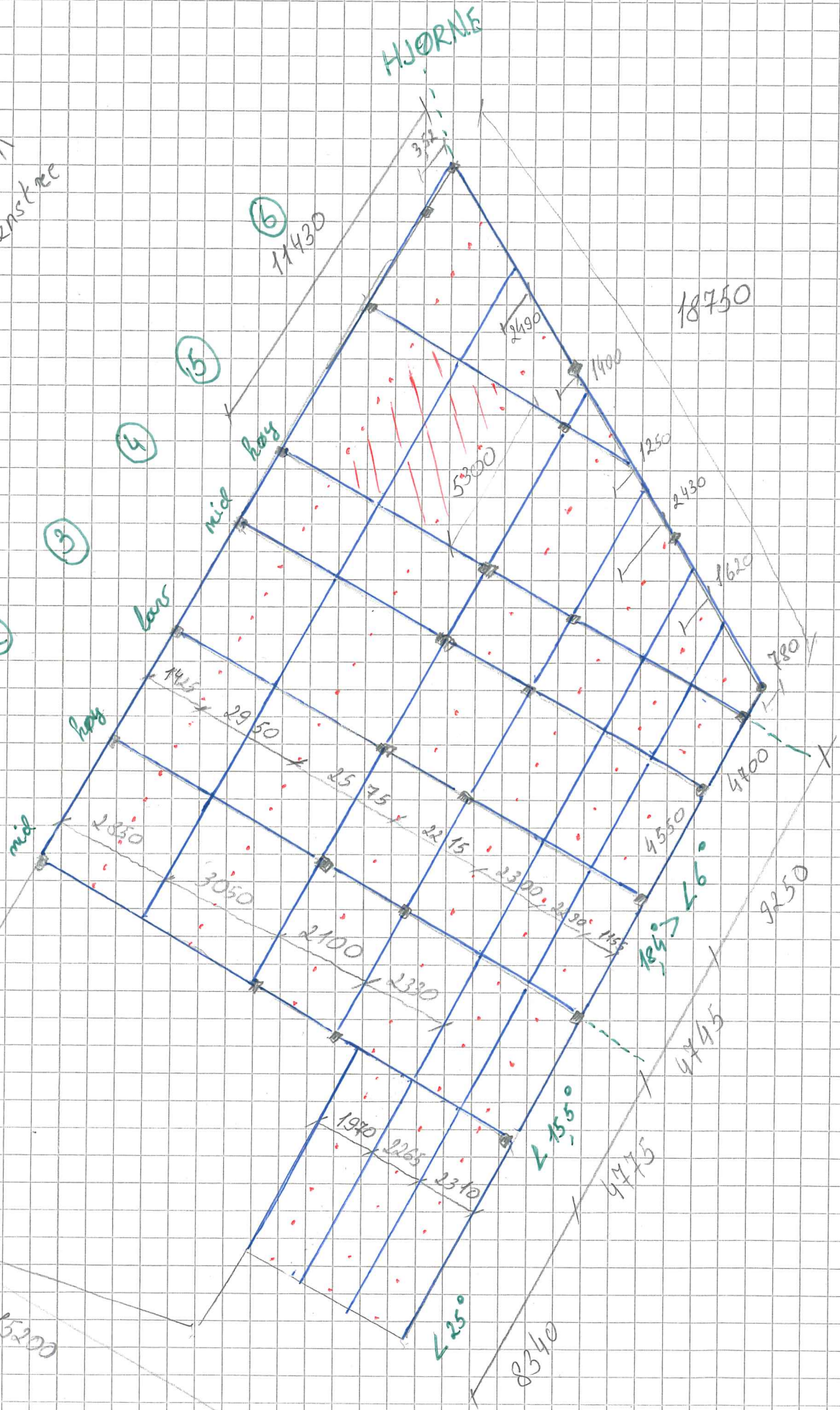
10= hovedtakbjelke langs akse 18

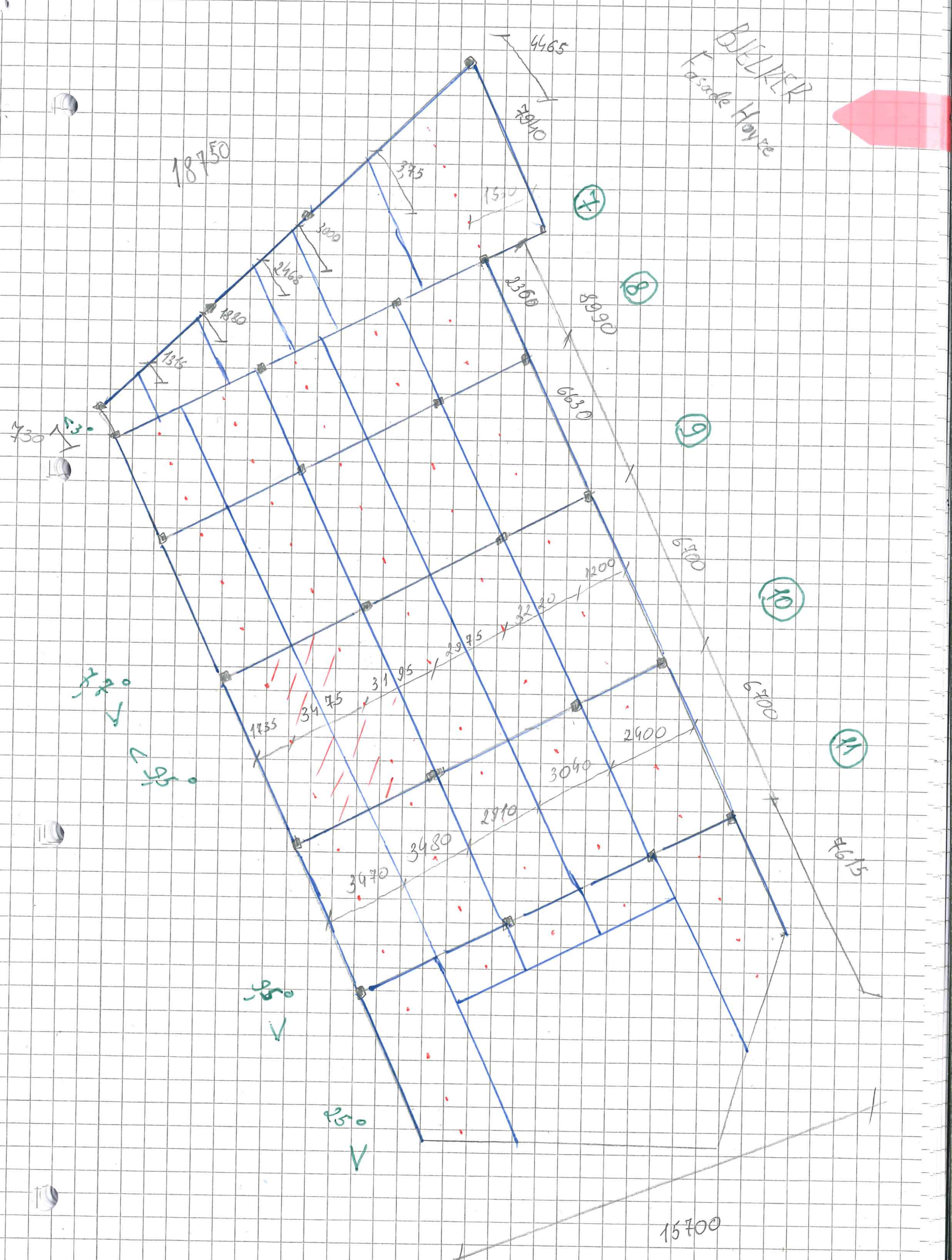
11= hovedtakbjelke langs akse 19

Den beregnede sekundærbjelke tilsvarer bjelkene som spenner mellom aksene 17-18 og 18-19 på **tegning 19**

JEL KEP
Søde Venstre
[mm]

HJØRNEN





BJELKER

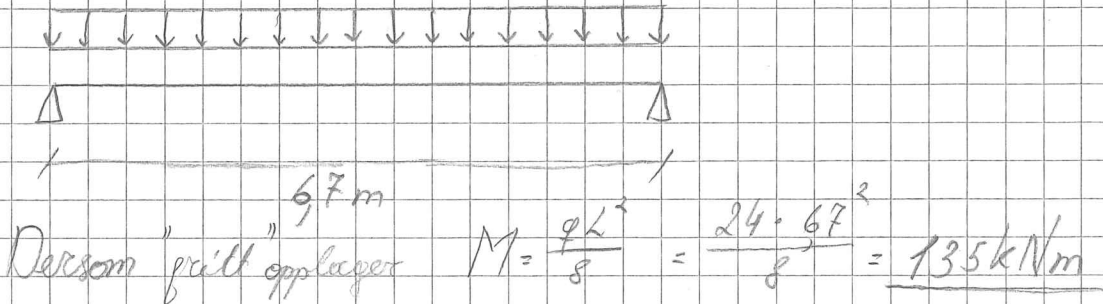
Førsteser på sekundære bjelker og laster i denne

Den mest kritiske bjelken vil være den som får størst last på øg. I dette tilfellet så er det bjelken som bærer 3475 mm av areal lasten og spenner over 6700 mm.

$$\Rightarrow 6,91 \text{ kN/m}^2 \cdot 3475 \text{ m} = 24 \text{ kN/m}$$

Sekundær bjelke

$$q = 24 \text{ kN/m}$$



135

Bjelken vil være fristt opplagt på grunn av infestingsmåten.

Dermed en fristt opplagt beregning av konsekvenser

$$f_{dl} = \frac{f_y}{f_{mo}} = \frac{355}{105} = 338 \text{ N/mm}^2$$

$$I_m = \frac{M}{W_y} \leq f_{dl} \Rightarrow \frac{135 \cdot 10^6}{W_y} \leq 338$$

$$\Rightarrow W_y = \frac{135 \cdot 10^6}{338} = 339406,28 \text{ mm}^3$$

Stålkonstruksjoner, profiler og formler - velger HEB-180

$$W_y = 426 \cdot 10^3 \text{ mm}^3 > 339 \cdot 10^3$$

Først tar skjærkapasitets kontroll. Plotter inn i Focus

HEB-180 Får at $V = 73,25 \text{ kN}$ eller $\approx 73 \text{ kN}$

$291 \cdot 10^3 \text{ mm}^3$, Dersom jeg ville brukt en flat gielke, ville jeg fått

$$383 \cdot 10^6 \text{ mm}^4 \cdot \frac{q \cdot L}{I_2} = \frac{24,67}{L} = 80,4 \text{ kN} \quad \text{velger å bruke denne verdiene}$$

$$85 \text{ mm} \quad T_v = \frac{V_z \cdot S_y}{I_y \cdot f} = \frac{804 \cdot 10^3 \cdot 291 \cdot 10^3}{383 \cdot 10^6 \cdot 85} = 59,52 \text{ N/mm}^2$$

Siden gielken er skråstilt, vil det være øksial kreft N i tillegg.
Focus får at største kreft på $36,63 \approx 37 \text{ kN}$

$$\sigma_N = \frac{N}{A} = \frac{37 \cdot 10^3}{653 \cdot 10^3} = 567 \text{ N/mm}^2$$

$$\sigma_M = \frac{135 \cdot 10^6}{426 \cdot 10^3} = 316,9 \text{ N/mm}^2$$

Mises:

$$\sqrt{(\sigma_M + \sigma_N)^2 + 3\tau_v^2} = \sqrt{(316,9 + 567)^2 + 3 \cdot 59,52^2} = 338,6 \text{ N/mm}^2$$

$338,6 > 338$ så kapasitet ikke ok

Focus konstruksjonen gir ikke tilstrekkelig kapasitet ved bruk av HEB-180. I følge programmet så er uligningen på

1,11 og dermed ikke grønt. Det er største sum beregnet.

Øker til HEB-200 og får ulignelse på 98.

Det trengs ikke nye hånd beregninger for HEB-200

siden det er en gjennomsnittlig mark, mens HEB-180 allerede nesten tilfredsstiller kapasiteten i følge overforrige gjort håndberegning.

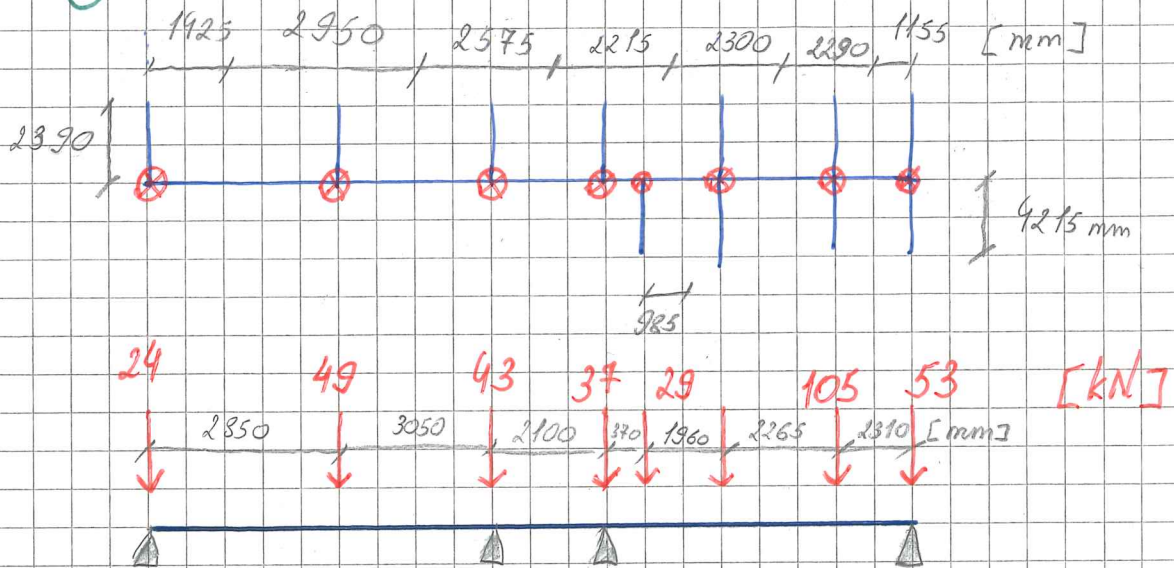
Det er sannsynlig at gielke-sagle innbringer i denne tilfellet

Primer Bjelker

Forskt: - finne ut hvilken av de bjelkene vil få størst belastning

Går gjennom alle bjelker. Punktlaster som kommer fra er beregnet ved å bruke halve lengde av sekundær bjelke, gange med bredde og areal-last. Bruker skrå lengder (konsekvensert)

①



$$1925 \cdot 239 \cdot 6,91 = 2353 \approx 29 \text{ kN}$$

$$295 \cdot 239 \cdot 6,91 = 487 \approx 49 \text{ kN}$$

$$2575 \cdot 239 \cdot 6,91 = 925 \approx 93 \text{ kN}$$

$$2215 \cdot 239 \cdot 6,91 = 366 \approx 37 \text{ kN}$$

$$9985 \cdot 4,215 \cdot 6,91 = 287 \approx 29 \text{ kN}$$

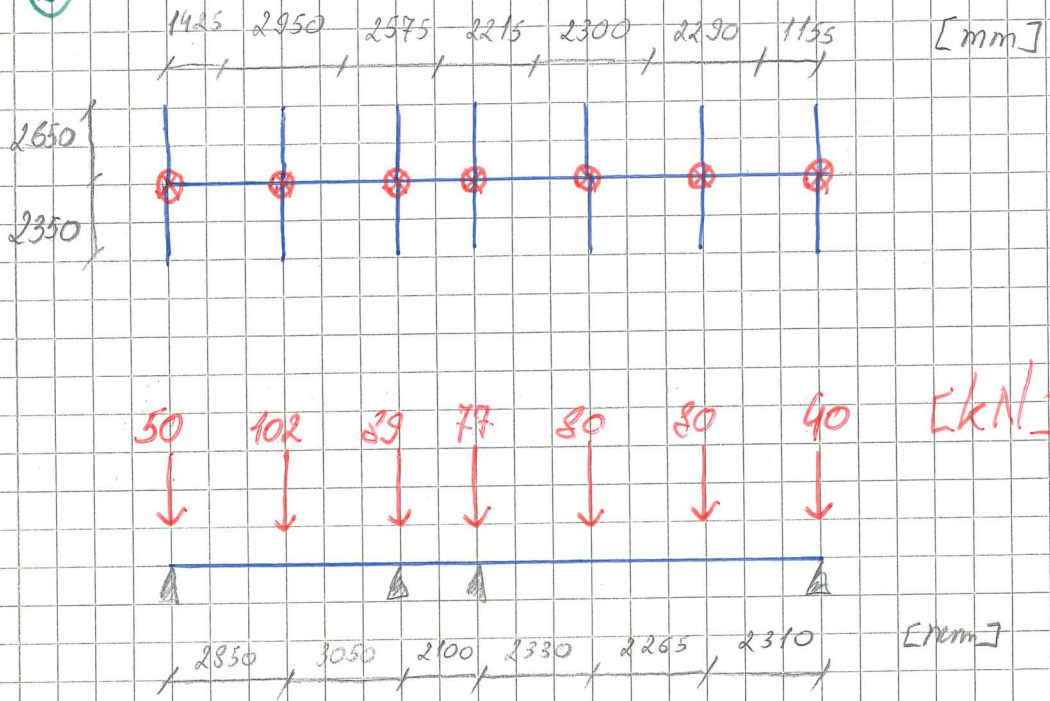
$$(239 \cdot 23 + 23 \cdot 9215) \cdot 6,91 = 1099 \approx 105 \text{ kN}$$

$$(1155 \cdot 239 + 1155 \cdot 9215) \cdot 6,91 = 527 \approx 53 \text{ kN}$$

- Blant bjelke ② ③ ④ ⑤ og ⑥ vil vi få størst belastning der sekundære bjelker på hver side er lengst totalt

Dette vil da være bjelke ⑤, med konservalis tillegg til alle belastningsområder der firkantler

⑤



$$(235 \cdot 1425 + 265 \cdot 1425) \cdot 6,91 = 492 \approx 50 \text{ kN} \quad (\text{konservativt})$$

$$(235 \cdot 2950 + 265 \cdot 2950) \cdot 6,91 = 102 \text{ kN}$$

$$(235 \cdot 2575 + 265 \cdot 2575) \cdot 6,91 = 88,96 \approx 89 \text{ kN}$$

$$(235 \cdot 2215 + 265 \cdot 2215) \cdot 6,91 = 76,5 \approx 77 \text{ kN}$$

$$(235 \cdot 23 + 265 \cdot 23) \cdot 6,91 = 79,9 \approx 80 \text{ kN} \quad (\text{konservativt})$$

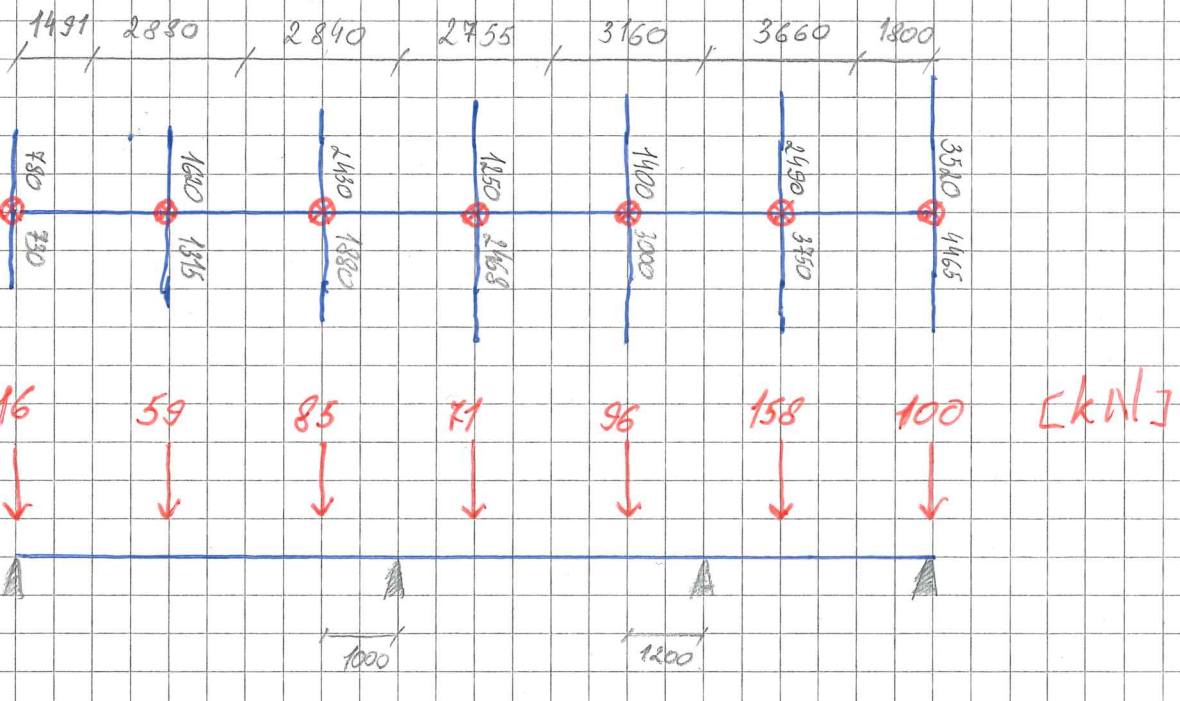
$$(235 \cdot 229 + 265 \cdot 229) \cdot 6,91 = 79,9 \approx 80 \text{ kN} \quad (\text{konservativt})$$

$$(235 \cdot 1155 + 265 \cdot 1155) \cdot 6,91 = 39,9 \approx 40 \text{ kN}$$

HJØRNEBJELKEN

- Det er vanligvis geometri gitt med målene bjelkene kommer inn på

$\text{---} \Rightarrow$ og dermed blir areallast beregninger mye mer komplisert
 - spør om konsekvens av forenkling: $\text{---} = \text{---}$, dette vil medføre
 sterkere belastning på bjelken, men man er på sikker side



$$(1491 \cdot 0780 + 1491 \cdot 073) \cdot 6,91 = 15,55 \approx 16 \text{ kN}$$

$$(288 \cdot 162 + 288 \cdot 1315) \cdot 6,91 = 584 \approx 59 \text{ kN}$$

$$(284 \cdot 2430 + 284 \cdot 188) \cdot 6,91 = 846 \approx 85 \text{ kN}$$

$$(2755 \cdot 125 + 2755 \cdot 2468) \cdot 6,91 = 70,78 \approx 71 \text{ kN}$$

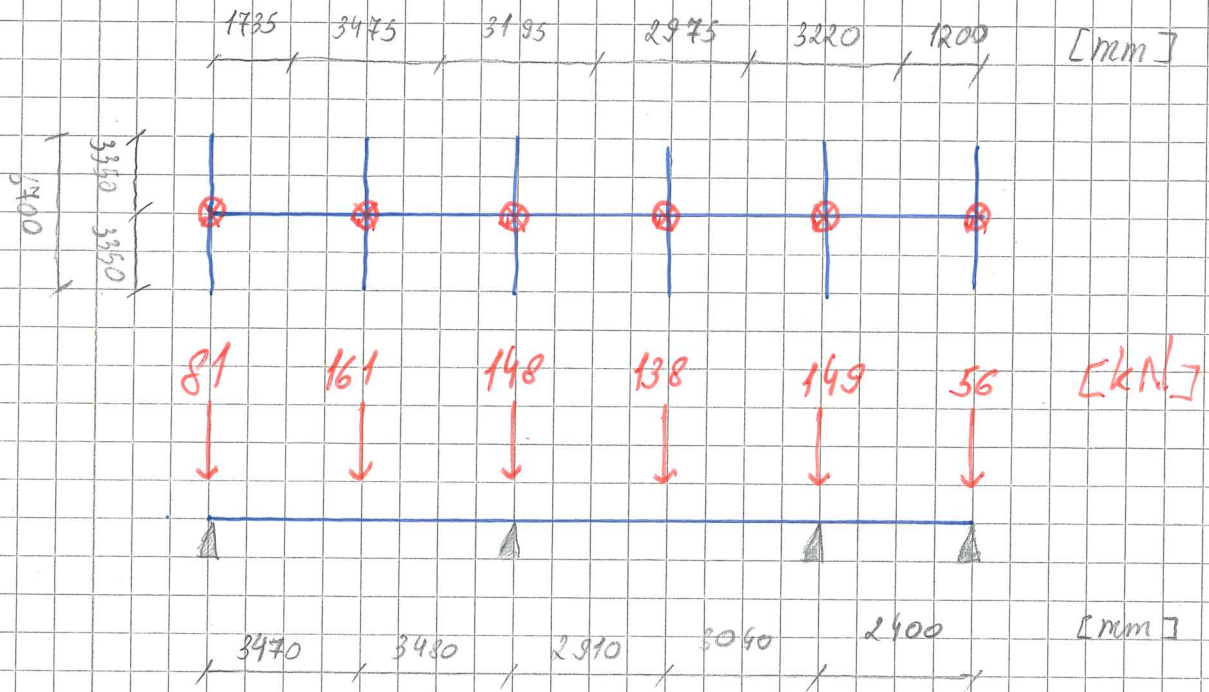
$$(316 \cdot 14 + 316 \cdot 30) \cdot 6,91 = 96 \text{ kN}$$

$$(366 \cdot 249 + 366 \cdot 375) \cdot 6,91 = 1578 \approx 158 \text{ kN}$$

$$(1800 \cdot 352 + 18 \cdot 4465) \cdot 6,91 = 993 \approx 100 \text{ kN}$$

Til slutt, sett på bølge ⑩ førdel den til få mest belastning
på høyre siden

⑩



$$1735 \cdot 6,7 \cdot 6,91 = 803 \approx 81 \text{ kN}$$

$$3475 \cdot 6,7 \cdot 6,91 = 1608 \approx 161 \text{ kN}$$

$$3195 \cdot 6,7 \cdot 6,91 = 1479 \approx 148 \text{ kN}$$

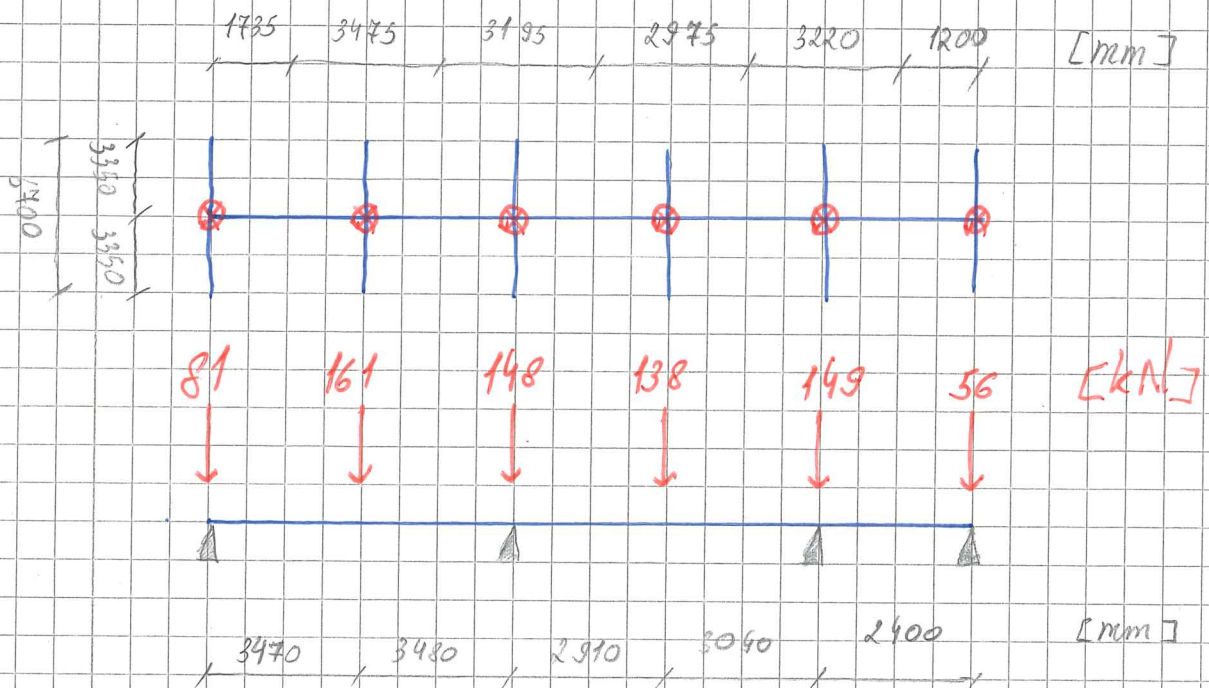
$$2975 \cdot 6,7 \cdot 6,91 = 1377 \approx 138 \text{ kN}$$

$$3220 \cdot 6,7 \cdot 6,91 = 149 \approx 149 \text{ kN}$$

$$12 \cdot 6,7 \cdot 6,91 = 55,5 \approx 56 \text{ kN}$$

Til slutt, ser på bølge ⑩ fordi den vil få mest belastning
på høyre siden

⑩



$$1735 \cdot 6,7 \cdot 6,91 = 803 \approx 81 \text{ kN}$$

$$3475 \cdot 6,7 \cdot 6,91 = 1608 \approx 161 \text{ kN}$$

$$3195 \cdot 6,7 \cdot 6,91 = 1479 \approx 148 \text{ kN}$$

$$2975 \cdot 6,7 \cdot 6,91 = 1377 \approx 138 \text{ kN}$$

$$3220 \cdot 6,7 \cdot 6,91 = 149 \approx 149 \text{ kN}$$

$$12 \cdot 6,7 \cdot 6,91 = 55,5 \approx 56 \text{ kN}$$

Bielke ⑤ inn i Focus konstruksjon gir følgende:

$$M_{max} = 193,72 \approx 194 \text{ kNm}$$

$$V_{max} = 105,11 \text{ kN}$$

$$N_{max} = 0$$

$$f_d = 338 \text{ N/mm}^2 \quad \sigma_m = \frac{M}{W_y} \leq 338$$

$$W_y = \frac{M}{f_d} = \frac{144 \cdot 10^6}{338} = 426035,5 \text{ mm}^3$$

Velger HEB-200 for videre gjekk. $W_y = 570 \cdot 10^3 \text{ mm}^3$

$$S_y = 321 \cdot 10^3 \text{ mm}^3 \quad I_y = 57 \cdot 10^6 \text{ mm}^4 \quad s = 9 \quad A = 781 \cdot 10^{-3}$$

Værliget er moment dimensjonerende. Skjærkraft som blir brukt i kapasitetskontrollen da den som oppslår det momentet er størst. Velger istedet å bruke den største mulige skjærkraft som oppleier og regner som om den oppslår i samme punkt som maksimal moment. Konservativ antagelse.

$$C_v = \frac{V_z \cdot S_y}{I_y \cdot t} = \frac{105 \cdot 10^3 \cdot 321 \cdot 10^3}{57 \cdot 10^6 \cdot 9} = 65,7 \text{ N/mm}^2$$

$$\sigma_N = 0 \quad \sigma_M = \frac{144 \cdot 10^6}{570 \cdot 10^3} = 252 \text{ N/mm}^2$$

Res:

$$\sqrt{\sigma_M^2 + 3C_v^2} \leq 338 \Rightarrow \sqrt{252^2 + 3 \cdot 65,7^2} = 277 < 338$$

Kapasitet er OK i følge beregning. Focus gir overstegning i kapasitet. Øker til HEB-280

Bjelke ⑩ inn i focus konstruksjon gir følgende:

$$M_{max} = 196,95 \approx 197 \text{ kNm}$$

$$V_{max} = 107,66 \approx 108 \text{ kN}$$

$$N = 0$$

$$W_g = \frac{M}{f_{el}} = \frac{197 \cdot 10^6}{338} = 582840,20$$

Velger HEB-220 for sidegre sjekk. $W_g = 736 \cdot 10^3 \text{ mm}^3$

$$S_g = 414 \cdot 10^3 \text{ mm}^3 \quad I_y = 899 \cdot 10^6 \quad t = 95 \text{ mm} \quad A = 91 \cdot 10^3 \text{ mm}^2$$

- Samme konstruktiv sentrallinje som bjelke ⑤

$$c_v = \frac{V \cdot S_y}{I_y \cdot t} = \frac{108 \cdot 10^3 \cdot 414 \cdot 10^3}{899 \cdot 10^6 \cdot 95} = 38,2 \text{ N/mm}^2$$

$$\sigma_N = 0 \quad \sigma_M = \frac{197 \cdot 10^6}{736 \cdot 10^3} = 267,7 \text{ N/mm}^2$$

Mus:

$$\sqrt{\sigma_M^2 + 3c_v^2} \leq f_{el} \quad \sqrt{267,7^2 + 3 \cdot 38,2^2} = 286,1 < 338$$

Kapasitet er OK i følge beregning.

Focus derimot gir en overskjøring av kapasitet og dette er sannsynligvis pga. rippning.

Øker dimensjon til HEB-280 og får tilstrekkelig kapasitet

Hørne Bøjle

$$M_{\max} = 12958 \approx 130 \text{ kNm}$$

$$V_{\max} = 126,98 \approx 127 \text{ kN}$$

$$N = 0$$

$$W_y = \frac{M}{F_d} = \frac{130 \cdot 10^6}{338} = 384615,38 \text{ mm}^3$$

Velger HEB-280 siden det var det endelige resultatet på de to andre bøjlekene. $W_y = 1380 \cdot 10^3 \text{ mm}^3$ $I_y = 1927 \cdot 10^6 \text{ mm}^4$

$$S_g = 768 \cdot 10^3 \text{ mm}^3 A = 131 \cdot 10^3 \text{ mm}^2 t = 105 \text{ mm}$$

$$C_v = \frac{127 \cdot 10^3 \cdot 768 \cdot 10^3}{1927 \cdot 10^6 \cdot 105} = 48,1 \text{ N/mm}^2$$

$$\sigma_N = 0 \quad \sigma_M = \frac{130 \cdot 10^6}{1380 \cdot 10^3} = 94 \text{ N/mm}^2$$

Måles:

$$\sqrt{94^2 + 3 \cdot 481^2} = 1256 < 338$$

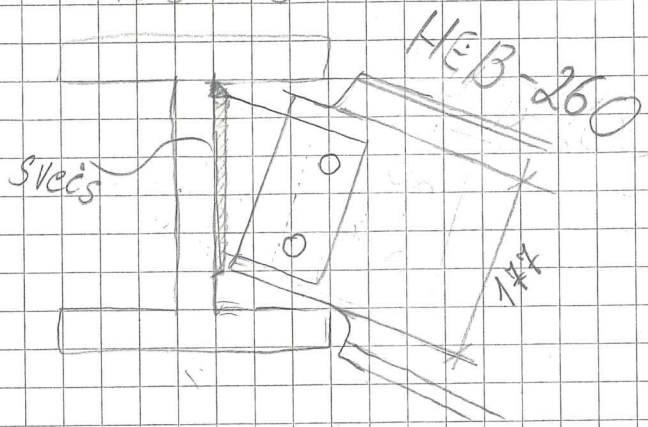
Kapaciteten er OK, også ifølge Forces

Bolter og sveis, sekunderbjelker

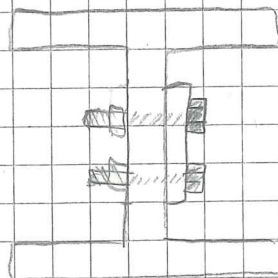
Den vinklede løsninger for å bønde sekundær og primær

bjelker til en enkelt og svært plumbell. Maltte øke til HEB-260
pga. hullkant

HEB-280



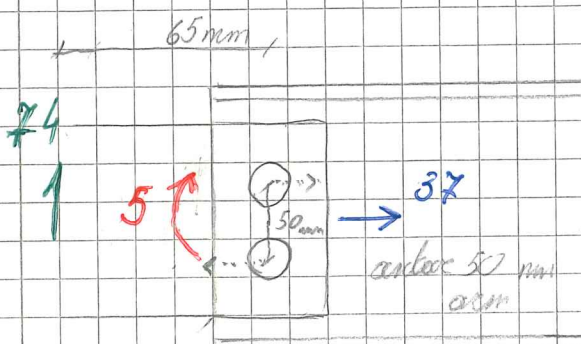
HEB-260



$$N_{max} = 3663 \approx 37 \text{ kN}$$

$$V_{max} = 7325 \approx 74 \text{ kN}$$

$$M_{max} = 74 \cdot 0.065 = 5 \text{ kNm}$$



Total brøyt:

$$\text{Fra moment: } \frac{5}{0.065} = 100 \text{ kN} \quad (100+19)^2 + 37^2$$

$$\text{Fra aksial: } \frac{37}{2} = 19 \text{ kN} \quad = 125 \text{ kN}$$

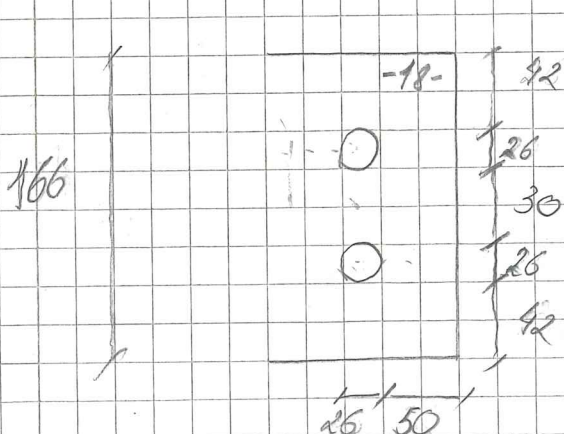
$$\text{Fra skjeer: } \frac{74}{2} = 37 \text{ kN}$$

Vilger følgende: Skruer 10.9 M24 per Reguler og formler.

$$F_{d, t} = 254,2 \text{ kN} \quad F_{d, V}^* = 141,2 \text{ kN} \quad (\text{arkfjering i gjengel del})$$

Plastisk lykkelse med lykkelse 18 mm.

Dimensionerer frengir over tegning:



$F_{d, V} > F_{d, aksialen er ok.}$
 $141,2 > 125$

Kjellkarbreykk

$$F_{b,Rd} = \frac{k_1 \cdot x_b \cdot f_a \cdot d \cdot t}{\gamma_M 2}$$

NS-EN 1993-1-8

Tabell 3.4

$$\chi_b = \text{MIN} \left\{ \begin{array}{l} \frac{e_1}{3d_0} = \frac{42}{3 \cdot 26} = 0,53 \\ \frac{f_{ck}}{f_a} = \frac{1000}{510} = 1,96 \\ 1 \end{array} \right.$$

16.

$$k_1 = \text{MIN} \left\{ \begin{array}{l} 28 \cdot \frac{e_2}{d_0} - 17 = 28 \cdot 26 - 17 = 37 \\ 14 \cdot \frac{P_2}{d_0} - 17 = \text{oppblæs ikke} \\ 1,5 = 2,5 \end{array} \right.$$

t skal være den krymste av alle. Det skal være steget.

$$t = 3 \text{ mm} \quad d = 26 \quad \gamma_M 2 = 1,25$$

$$F_{b,Rd} = \frac{1,5 \cdot 0,53 \cdot 510 \cdot 26 \cdot 9}{1,25} = 126,5 \text{ kN} > 125 \text{ kN}$$

OK

Kapasitet over zbrekk slors



Den nærmeste længden er på 134 mm.

Velger å beregne med full V og N på det nærmeste snittet og M

$$X_N = \frac{N}{f_a \cdot t} = \frac{37 \cdot 10^3}{338 \cdot 18} = 61 \text{ mm}$$

$$X_M = \frac{M}{f_a \cdot t \cdot (l - x_M)} = \frac{5 \cdot 10^6}{338 \cdot 18 \cdot (134 - 61)} = 7 \text{ mm}$$

$$X_V = \frac{V}{f_a \cdot t} = \frac{74 \cdot 10^3}{195 \cdot 18} = 21 \text{ mm}$$

$$= \frac{5 \cdot 10^6}{338 \cdot 18 \cdot (134 - 7)} = 7 \text{ mm}$$

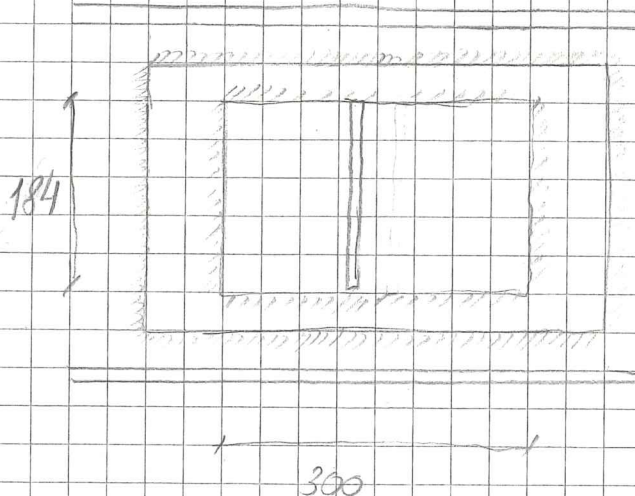
CAS

$2 \cdot 7 + 21 + 61 \text{ mm} = 91,1 \text{ mm}$ nødvendig og vi har 177 mm

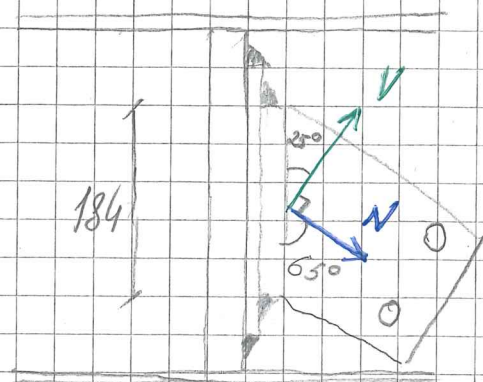
til rådighet = kapasitet er OK

Sveis

HEB-280



HEB-280



Dekomponerer kragter: (focustallene vinkel 25°)

$$V \cdot \cos(25) = 304 \cdot \cos(25) = 273 \text{ kN}$$

$$V \cdot \sin(25) = 304 \cdot \sin(25) = 34 \text{ kN} \quad \dots \rightarrow$$

$$N \cdot \cos(65) = 37 \cdot \cos(65) = 16 \text{ kN}$$

$$N \cdot \sin(65) = 37 \cdot \sin(65) = 34 \text{ kN} \quad \dots \rightarrow$$

$$V_s = 273 + 16 = 289 \text{ kN}$$

$$N_s = 34 + 34 = 68 \text{ kN}$$

$$V_s = 89$$

$$\rightarrow N_s = 68$$

Velger å regne på den minste sveise lengden.

Brekket parabolisk metode:

$$q_N = \frac{V}{e} = \frac{68 \cdot 10^3 \text{ N}}{(2 \cdot 184 + 2 \cdot 300) \text{ mm}} = 70,25 \text{ N/mm}$$

$$q_V = \frac{V}{e} = \frac{89 \cdot 10^3 \text{ N}}{2 \cdot 184} = 24,184 \text{ N/mm}$$

$$q_R \leq f_{sveis} \cdot \alpha$$

$$f_{sveis} = \frac{510}{1,25 \cdot 9,9 \cdot \sqrt{3}} = 262$$

$$q_R = \sqrt{q_N^2 + q_V^2} = \sqrt{70,25^2 + 24,184^2} = 25,84$$

$$25,84 \leq 262 \cdot \alpha \quad \alpha = 0,96 \quad \Rightarrow \text{dølper } \underline{\alpha = 3 \text{ mm konstant over hele sveis lengden.}}$$

Sjekk om kapasitet til avskjært skje



$$M = 5 \text{ kNm}$$

$$I = \frac{10 \cdot 177^3}{12} = 46 \cdot 10^6 \text{ mm}^4$$

$$V = 74 \text{ kN}$$

$$N = 37 \text{ kN}$$

$$S = \frac{10 \cdot 177^2}{4} = 78323 \text{ mm}^3$$

$$\sigma_M = \frac{5 \cdot 10^6}{46 \cdot 10^6 \cdot 92} = 100 \text{ N/mm}^2$$

$$C_V = \frac{74 \cdot 10^3 \cdot 78323}{46 \cdot 10^6 \cdot 10} = 126 \text{ N/mm}^2$$

$$\sigma_N = \frac{37 \cdot 10^3}{10 \cdot 177} = 21 \text{ N/mm}^2$$

Mises:

$$\sqrt{(100+21)^2 + 3 \cdot 126^2} = 299,5 \text{ MPa} < 338 \text{ MPa}$$

Kapasitet er OK

Denne siden er satt med vilje tom

Vedlegg 4:

Flattdekke, laster

2-ETG --> 4-ETG er like, bortsett at det er flere antall balkonger i 2- og 3-ETG som, og det er flattdekke som analyseres og armeres, hvor 4-ETG dekke får samme armering som disse etasjene for å avgrense tidsbruk på oppgaven

Fra vedlegg 1, karkateriske egenlaster over etasjeskillere:

$$g_{parkett} = 0.0063 \frac{kN}{m^2} \quad g_{påstøp} = 1.3 \frac{kN}{m^2} \quad g_{dekk} = 6.3 \frac{kN}{m^2}$$

$$g_{innvendigeskillevegger} = 0.5 \frac{kN}{m^2} \quad g_{mekanisk} = 0.5 \frac{kN}{m^2}$$

$$g_{yttervegger} = 0.8 \frac{kN}{m}$$

Karakteriske nyttelaster

$$p_{k.dekk} = 2.0 \frac{kN}{m^2} \quad p_{k.balkong} = 4.0 \frac{kN}{m^2}$$

$$t_{dekk} = 250 \text{ mm} \quad t_{balkong} = 200 \text{ mm}$$

Flattdekke, RS1. Lastpåføring i Focus og STRIAN/ manuell kontroll

X-retning

$$b_{max} = 5.6 \text{ m}$$

Største bredde blant alle ekvivalente rammer i x-retning,
bruker kun denne for å spare tid

- * Ingen laster fra yttervegger opptrer i denne retningen
- * største karakteristisk egenlast på balkongene

$$g_{k.balkong} = 25 \frac{kN}{m^3} \cdot 0.20 \text{ m} = 5 \frac{kN}{m^2}$$

- * Karakteristisk nyttelast på balkongene (NS-EN 1991 kategori A)

$$p_{k.balkong} = 4 \frac{kN}{m^2} \quad \text{NS-EN 1991 TABELL 6.2}$$

- * Laster som påføres i **Focus konstruksjon**

I Focus, lages en kombinasjon hvor programmet tar med lastfaktorer, dermed vil alle egenlaster uten selve dekkets egenlast og nytte laster påføres uten lastfaktorer

$$g_k = 0.0063 + 1.3 + 0.5 + 0.5 = 2.3 \frac{kN}{m^2}$$

Uten platens egenvekt !

$$p_{k.dekke} = 2.0 \frac{kN}{m^2}$$

--> I focus skrives inn:

$$g_k = \left(2.3 \frac{kN}{m^2} \cdot 5.6 \text{ m} \right) = 12.9 \frac{kN}{m}$$

$$p_k = \left(2.0 \frac{kN}{m^2} \cdot 5.6 \text{ m} \right) = 11.2 \frac{kN}{m}$$

--> I STRIAN skrives inn:

$$g_{ED} = \left(((2.3 + 6.3) \cdot 5.6) \frac{kN}{m} \right) \cdot 1.2 = 57.8 \frac{kN}{m}$$

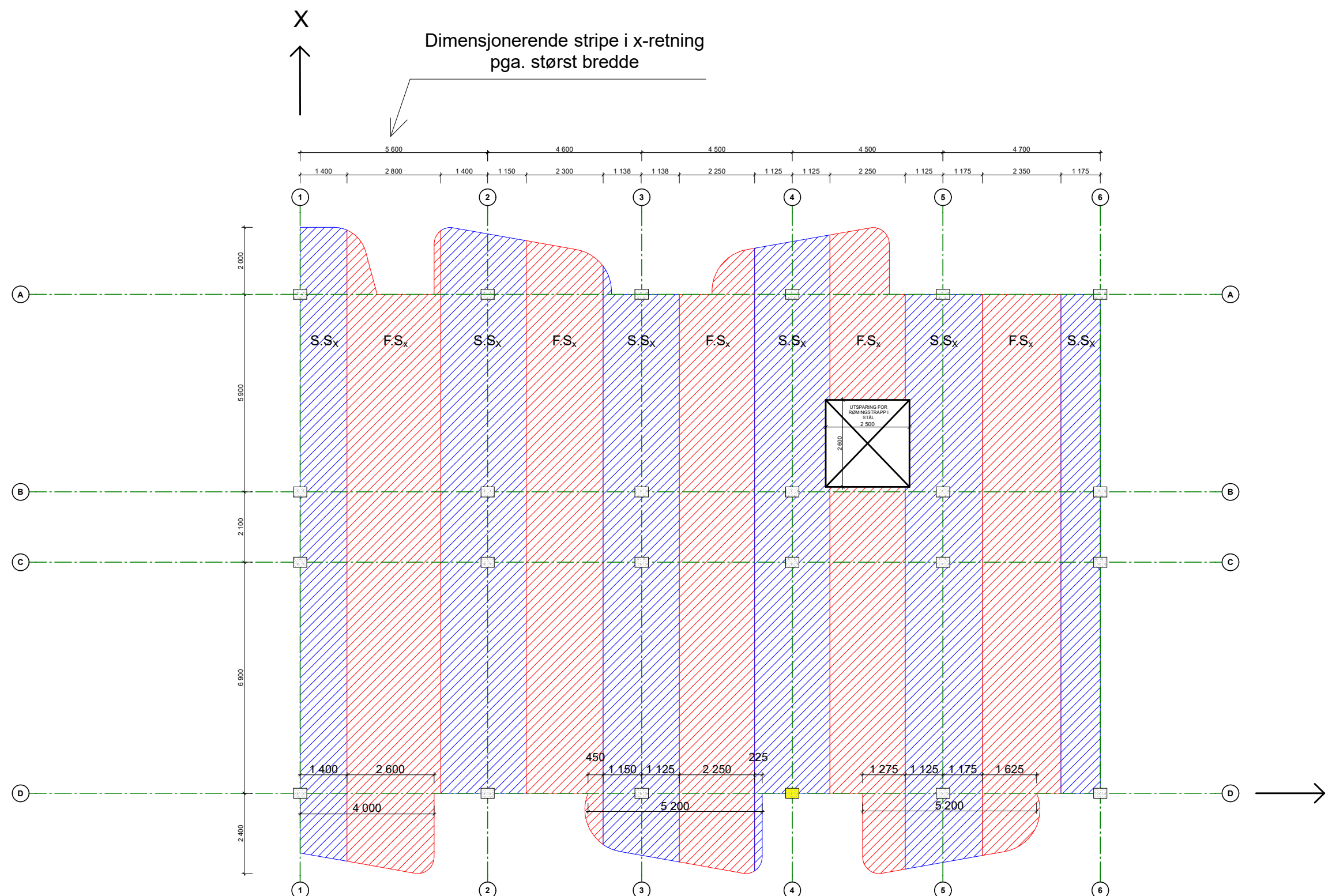
$$p_{ED} = \left(2.0 \frac{kN}{m^2} \cdot 5.6 \text{ m} \right) \cdot 1.5 = 16.8 \frac{kN}{m}$$



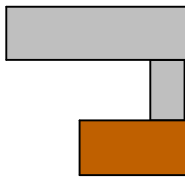
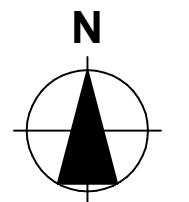
S.S.= Søyle stripe



F.S.= Felt stripe



Lokalisering:



Prosjekteringsgruppen

- ARK : Skibnes Arkitekter Dronningens gate 66
7012 Trondheim
Tlf.: 735 15 830
arkitekt@skibnes.no
- RIB : K.K, A.R, & M.A NTNU, Institutt for
konstruksjonsteknikk
- Veileder Jan Arve Øverli NTNU, Institutt for
konstruksjonsteknikk

Fase

Detaljprisjektering

Tiltakshavere

Arijus Ruzgys, Konstantin Koval, & Musab Ahmad

Prosjekt

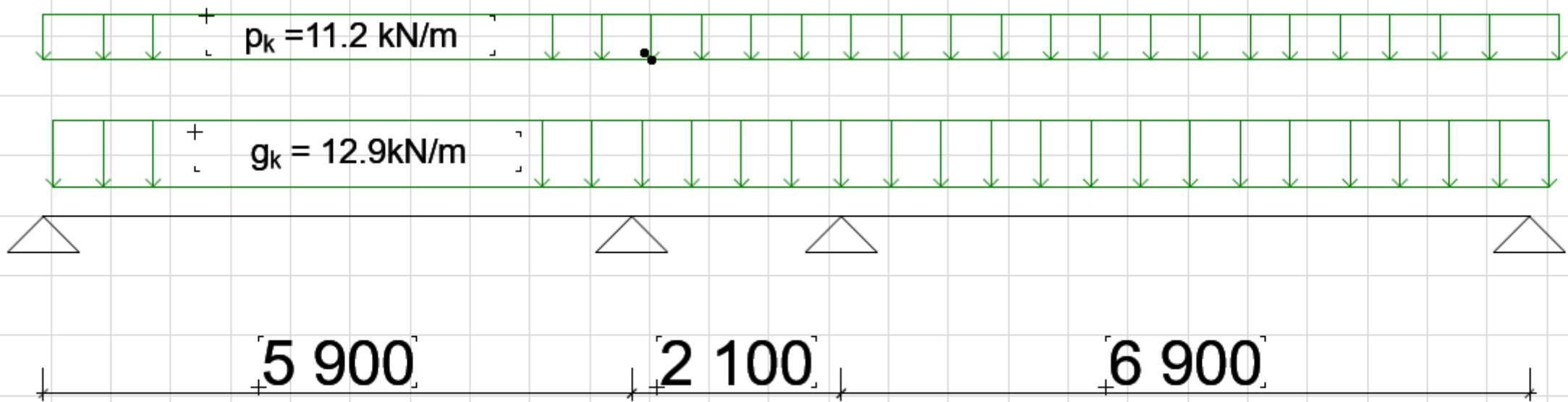
Bachelor oppgave Lade Alle
Lade Alle 84
7041 Trondheim

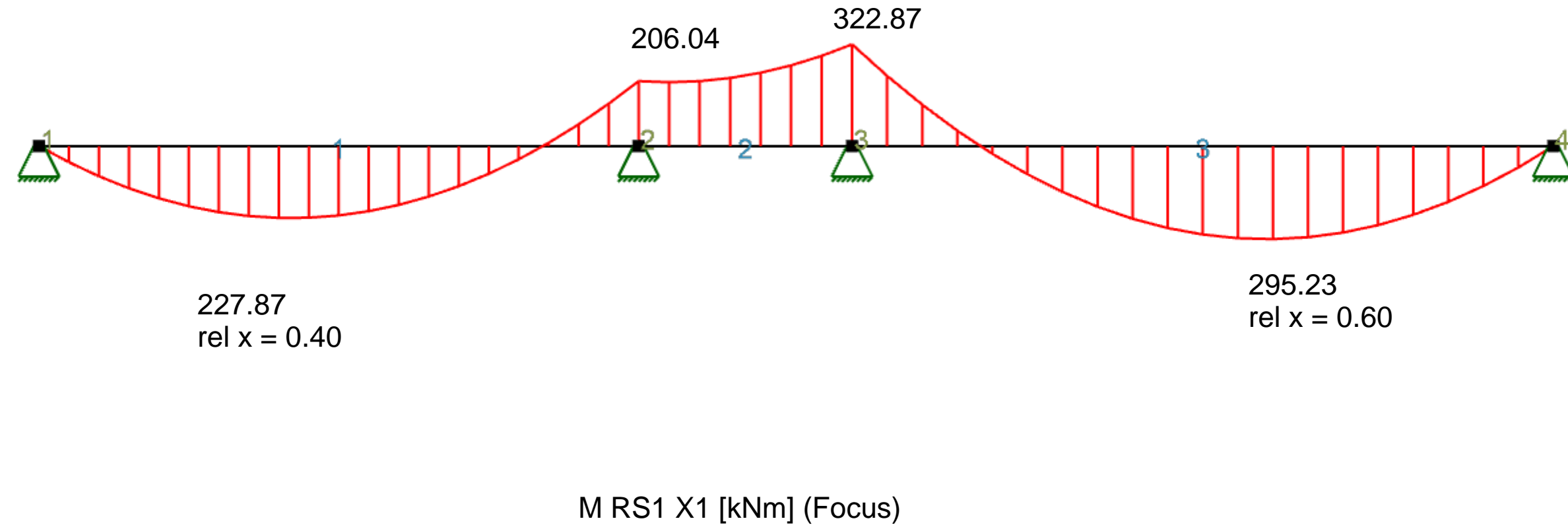
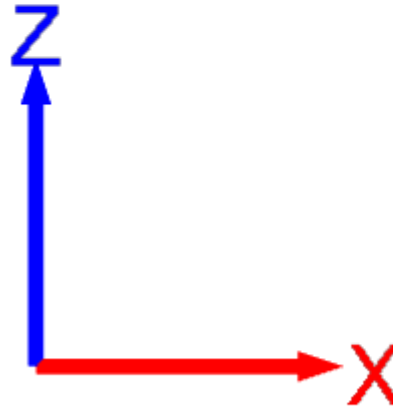
Prosjektnr.: Gruppe9	Dato 25.03.2023
--------------------------------	---------------------------

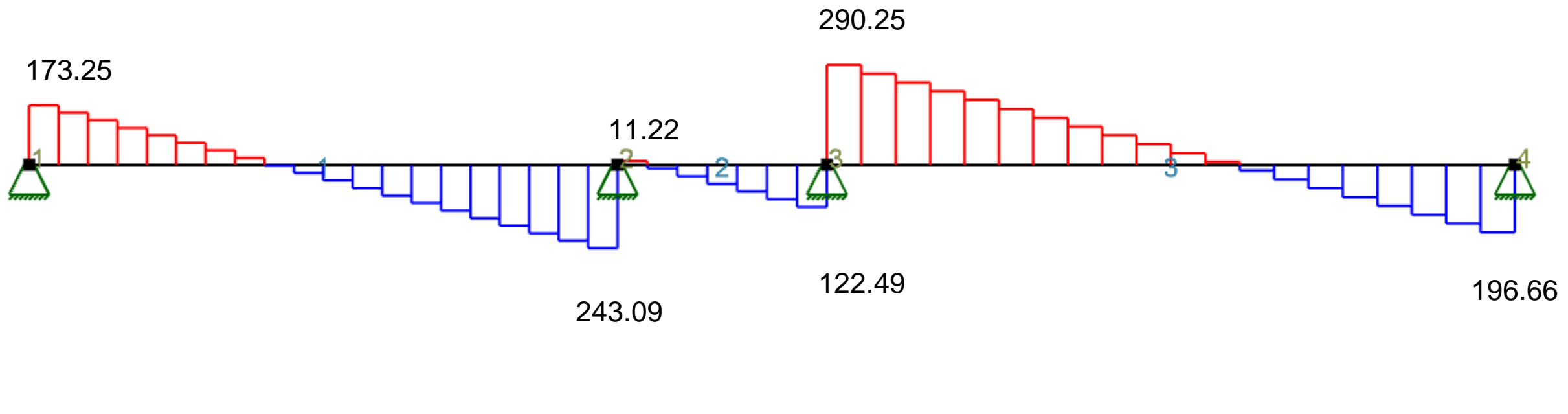
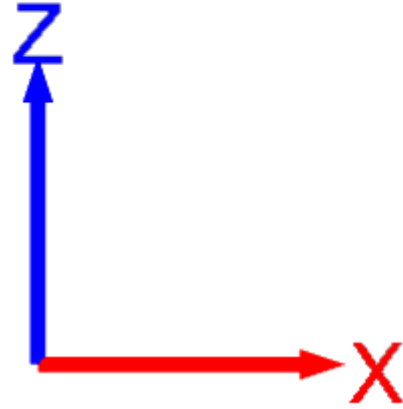
Type tegning: Stripeinnndeling RS1 X-retning	Målestokk 1:50
--	--------------------------

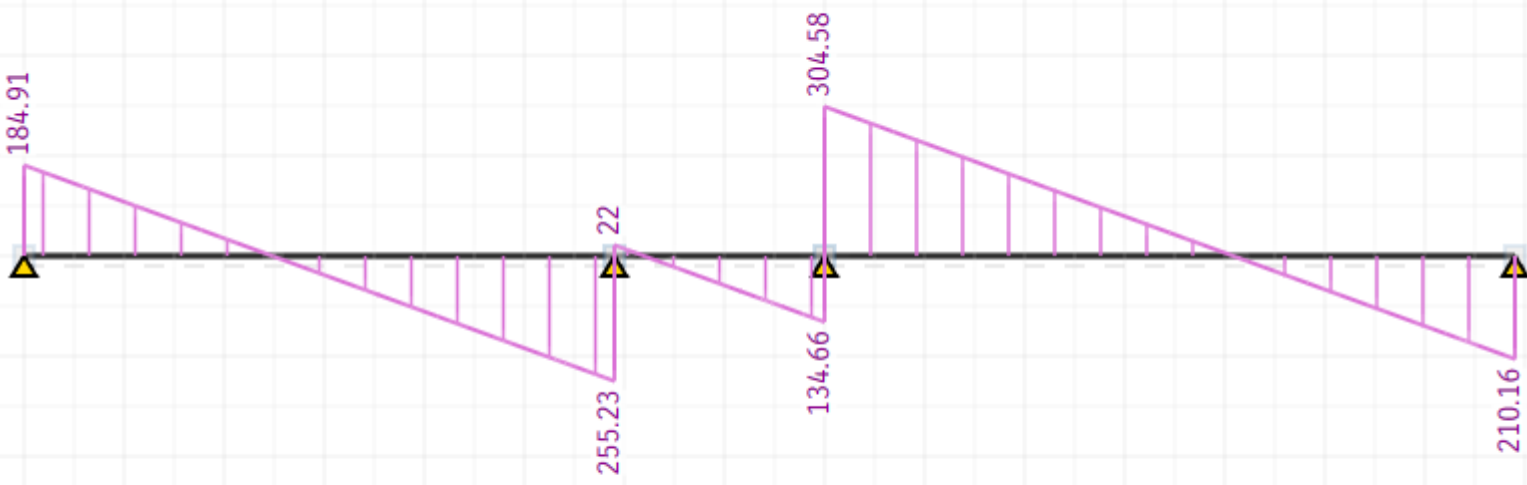
Dimensjonerende dekkestripe i RS1 i X-retning. $b_{max} = 5.6$ m

Kombinasjon 1

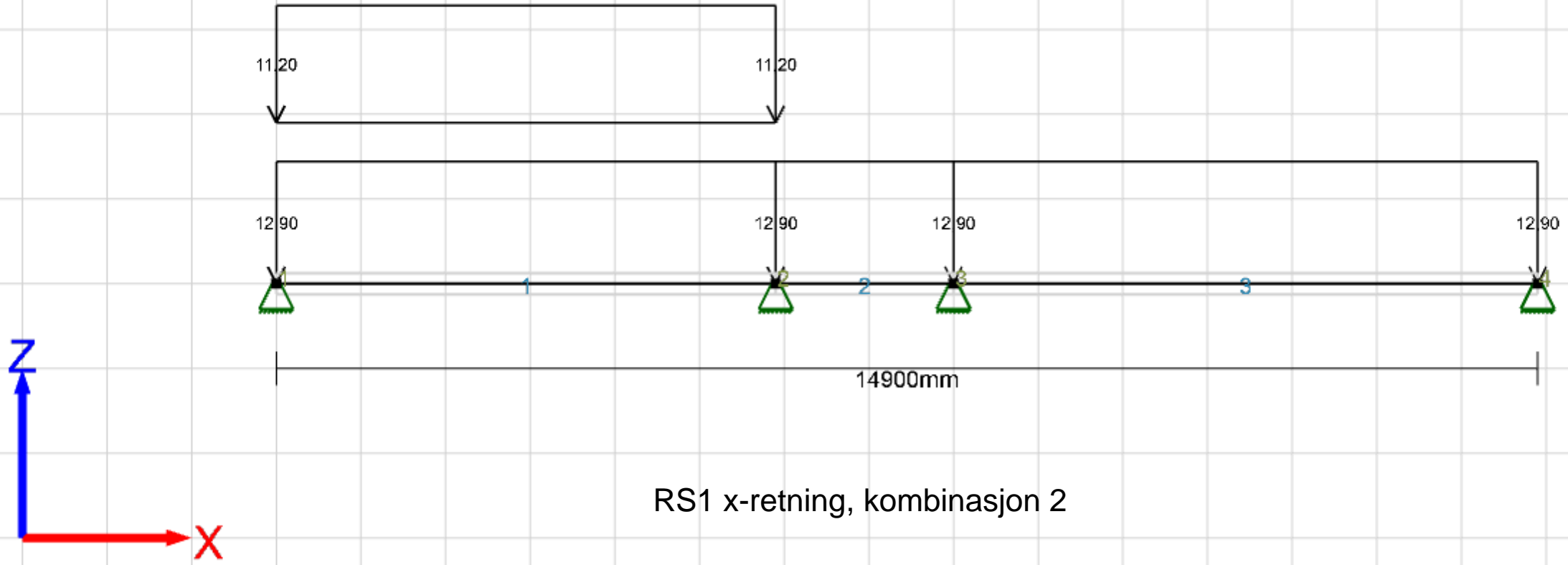


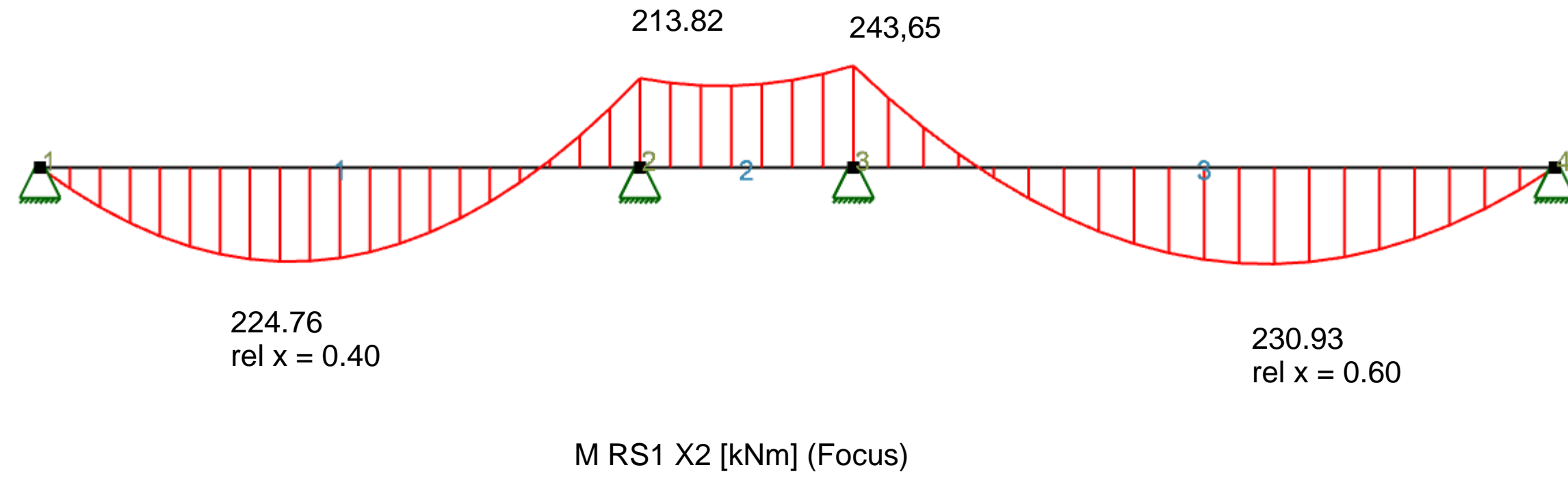
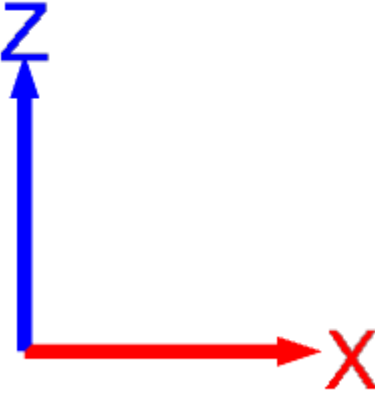






V RS1 X1 [kN] (STRIAN)







171.93

37.52

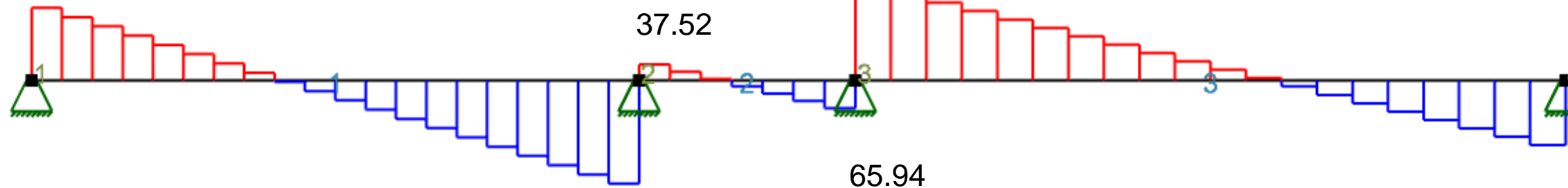
223.70

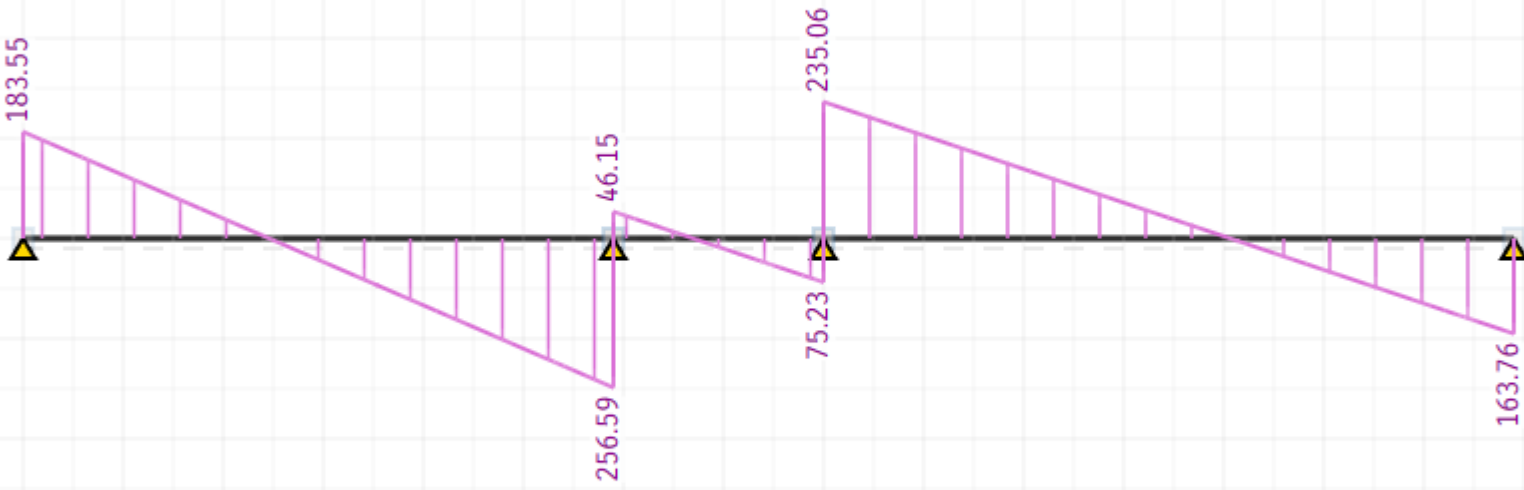
65.94

244.41

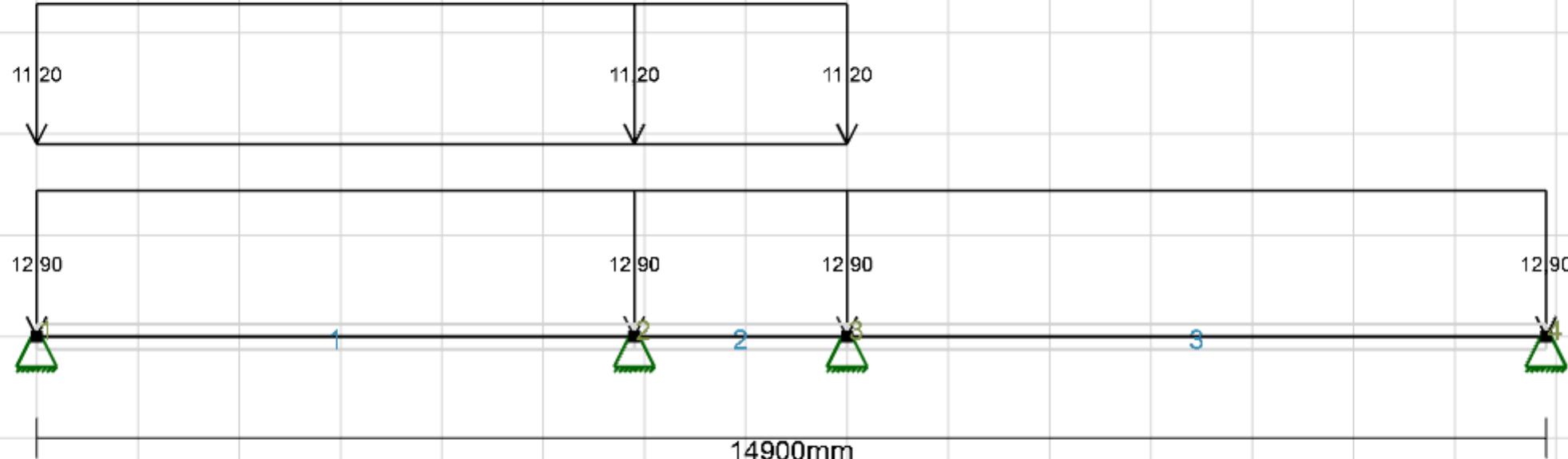
153.08

V RS1 X2 [kN] (Focus)

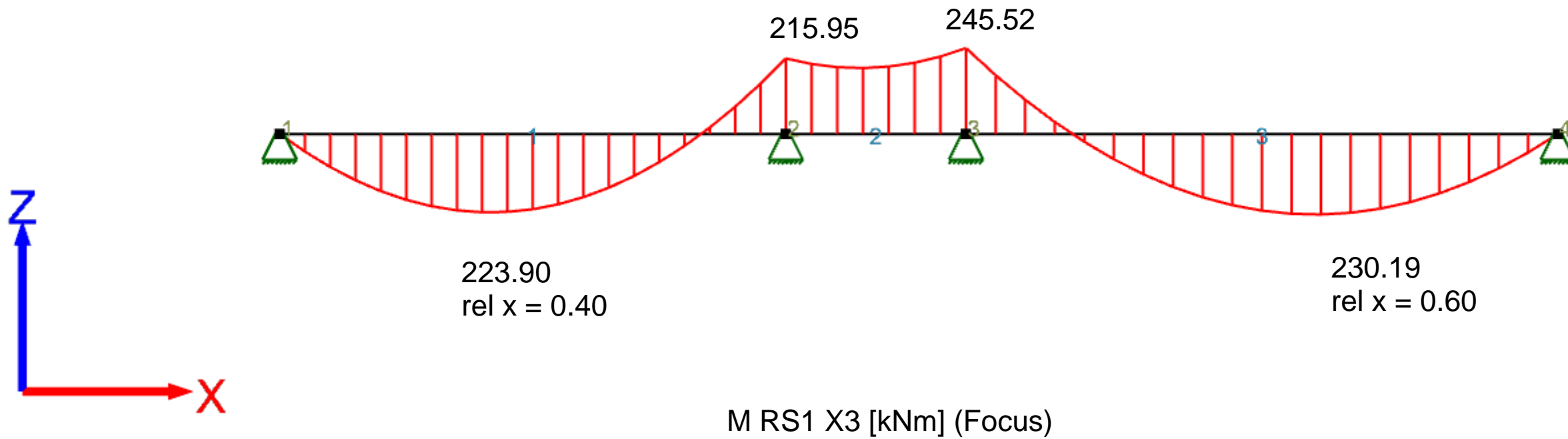


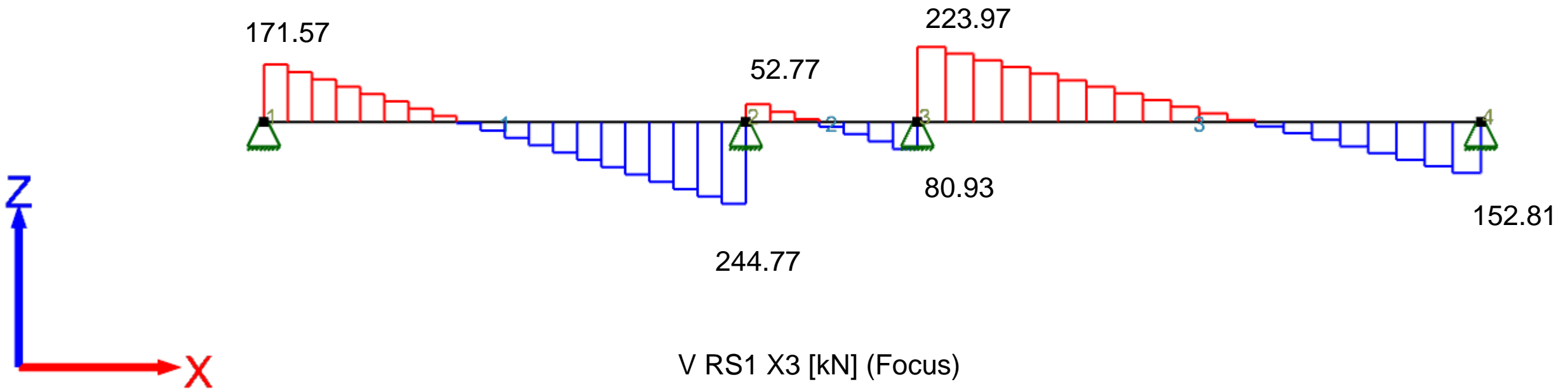


V RS1 X2 [kN] (STRIAN)



RS1 x-retning, kombinasjon 3





183.18

256.96

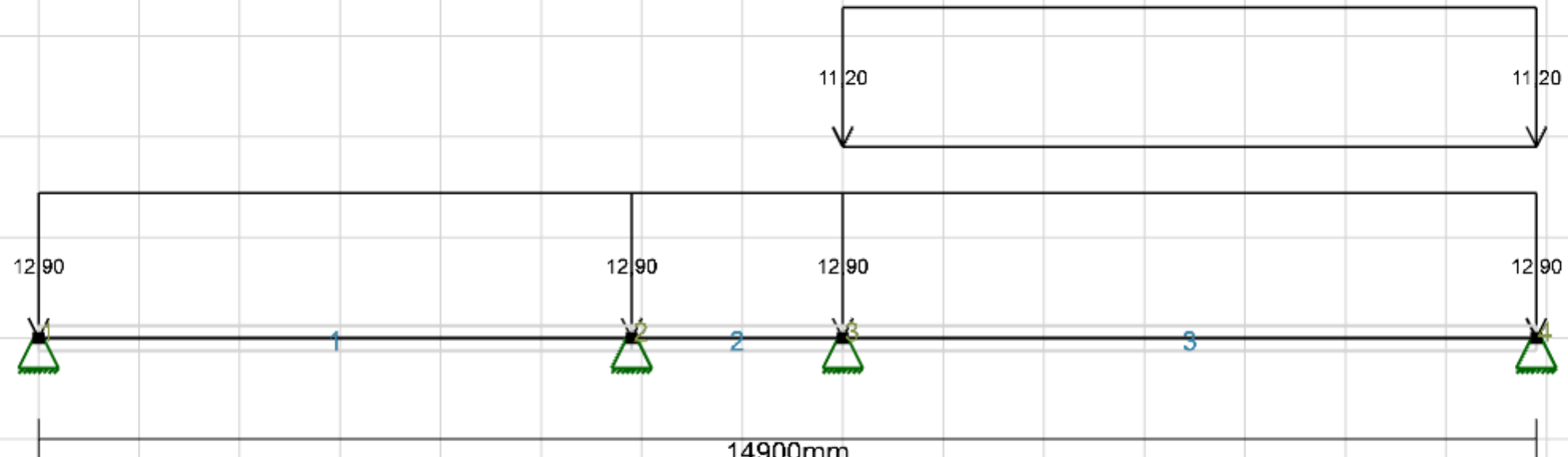
63.92

92.74

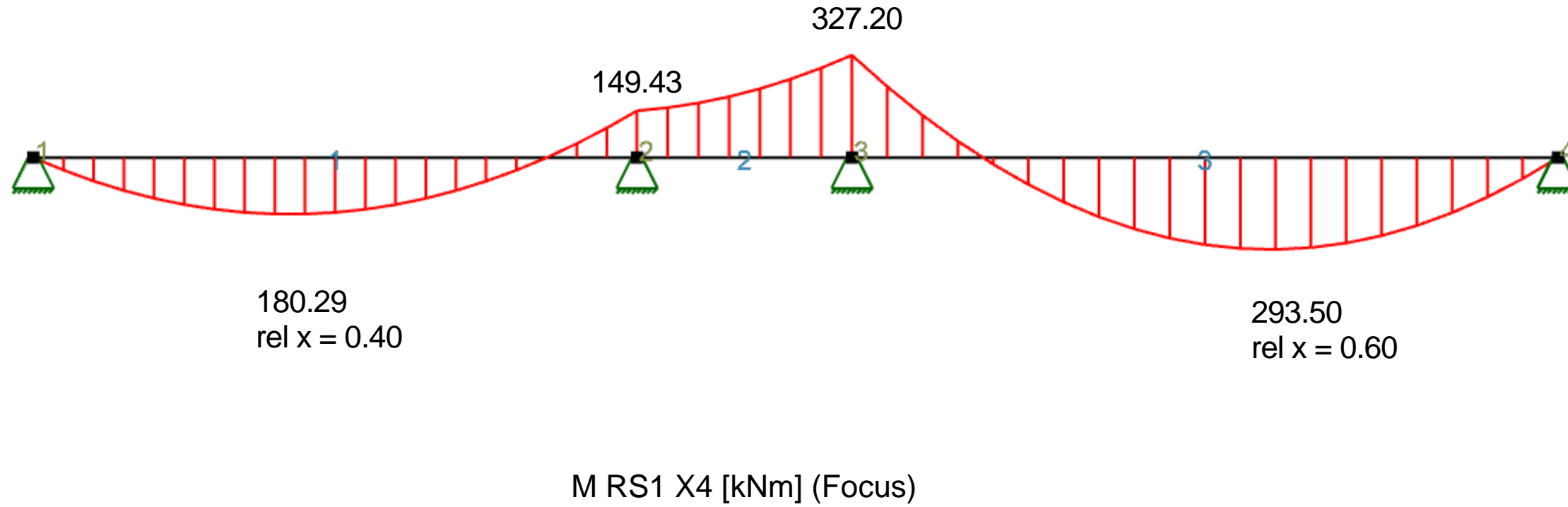
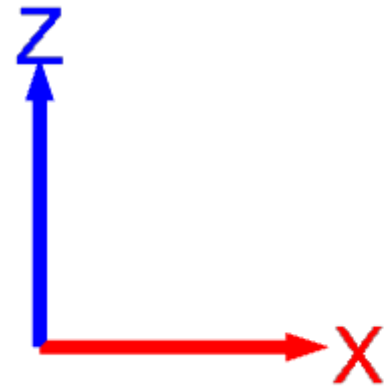
235.34

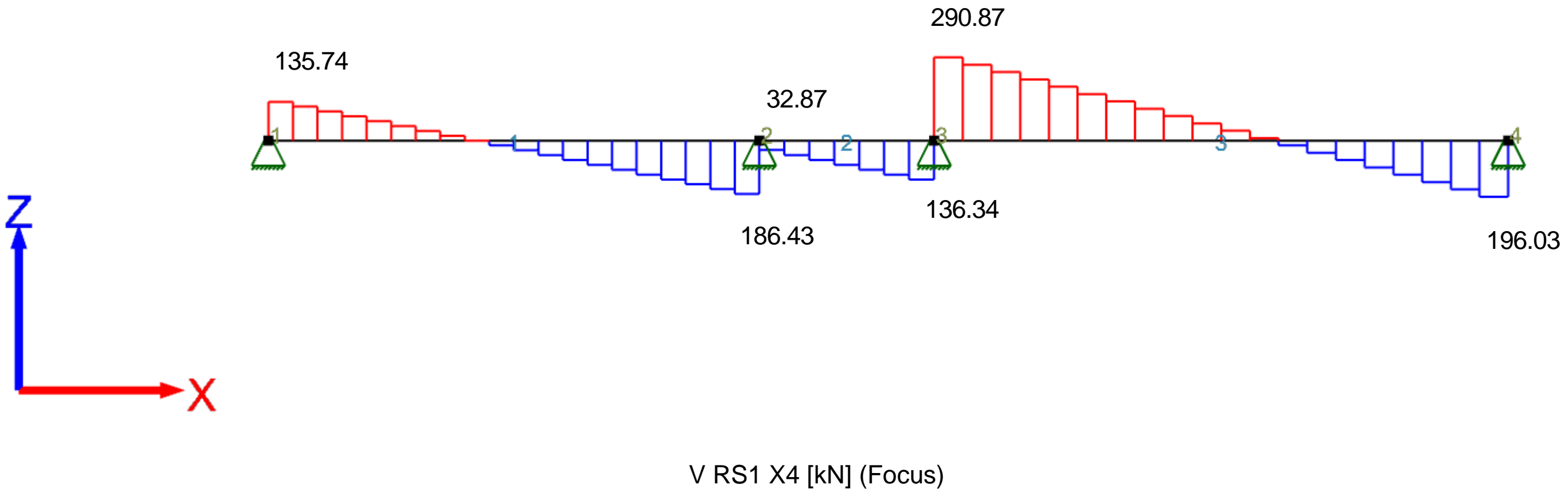
163.48

V RS1 X3 [kN] (STRIAN)



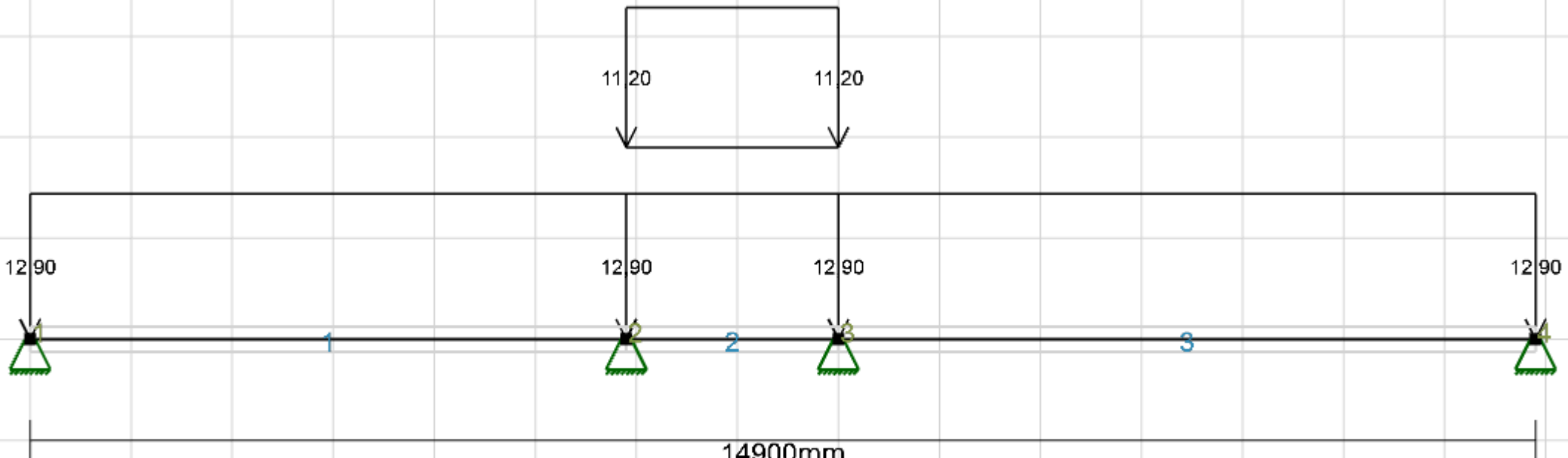
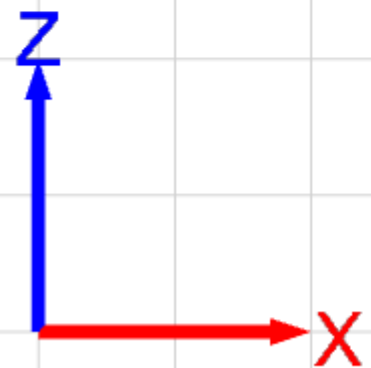
RS1 x-retning, kombinasjon 4



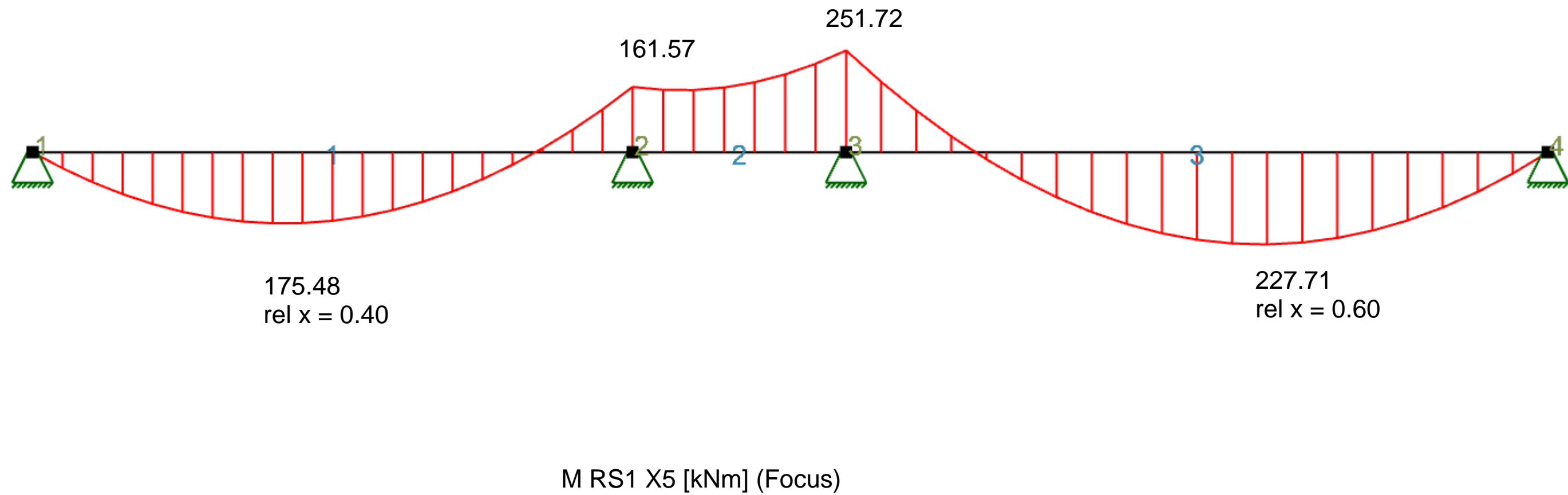
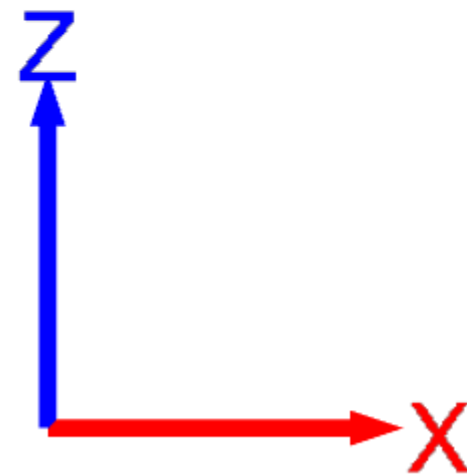


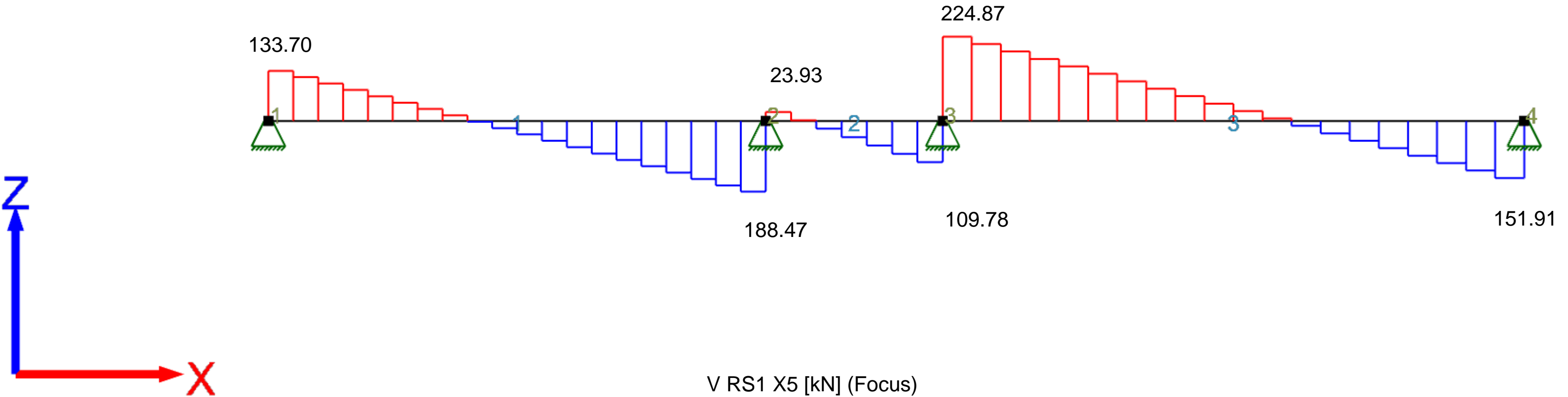


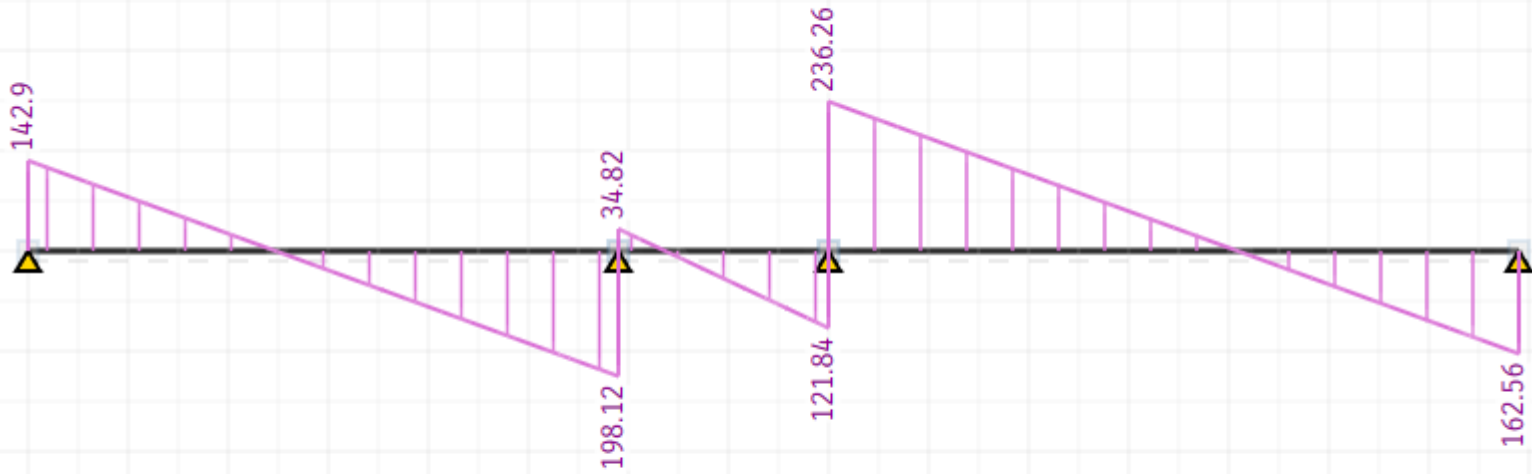
V RS1 X4 [kN] (STRIAN)



RS1 x-retning, kombinasjon 5







V RS1 X5 [kN] (STRIAN)

Y-retning

$$b_{max} = 6.9 \text{ m}$$

Største bredde blant alle ekvivalente rammer i y-retning, bruker kun denne for å spare tid

$$g_{yttervegg} = 0.8 \frac{kN}{m^2}$$

Ytterveggenes egenlaster tas med

--> I focus skrives inn:

$$g_k = \left(2.3 \frac{kN}{m^2} \cdot 6.9 \text{ m} \right) + 0.8 \frac{kN}{m} = 16.7 \frac{kN}{m}$$

$$p_k = 2 \frac{kN}{m^2} \cdot 6.9 \text{ m} = 13.8 \frac{kN}{m}$$

--> I STRIAN skrives inn:

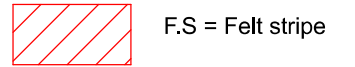
$$g_{ED} = (((2.3 + 6.3) \cdot 6.9) + 0.8) \cdot 1.2 = 72.2 \frac{kN}{m}$$

$$q_{ED} = \left(2.0 \frac{kN}{m^2} \cdot 6.9 \text{ m} \right) \cdot 1.5 = 20.7 \frac{kN}{m}$$

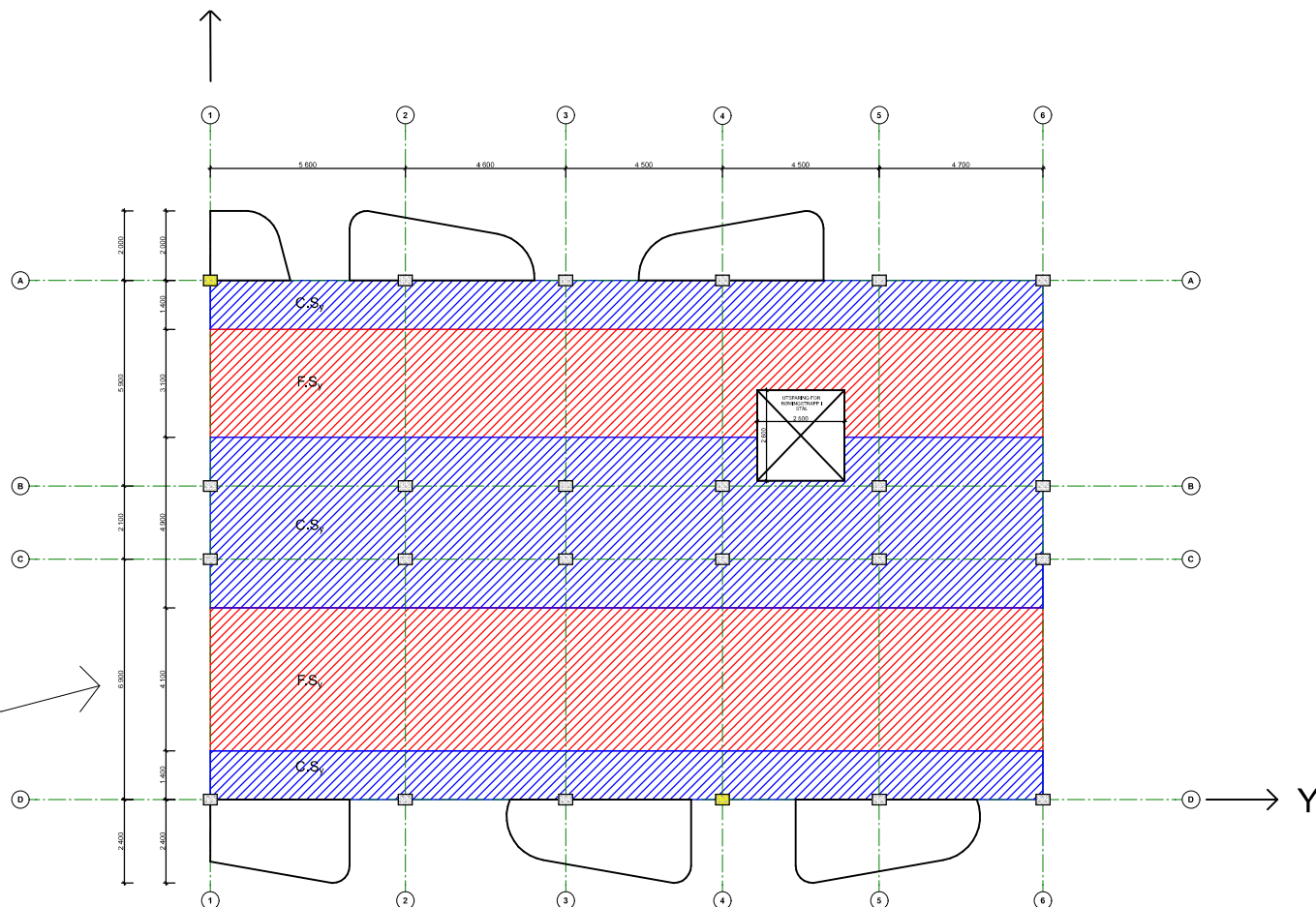
Merknader:



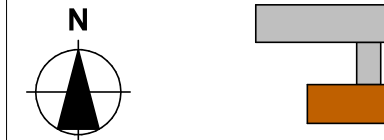
S.S = Søyle stripe



F.S = Felt stripe



Lokalisering:



Prosjekteringsgruppen

● ARK : Skibnes Arkitekter

Dronningens gate 66
7012 Trondheim
Tlf.: 735 15 830
arktek@skibnes.no

● RIB : K.K, A.R, & M.A

NTNU, Institutt for
konstruksjonsteknikk

● Veileder Jan Arve Øverli

NTNU, Institutt for
konstruksjonsteknikk

Fase

Detaljprisjektering

Tiltakshavere

Arijus Ruzgys, Konstantin Koval, & Musab Ahmad

Prosjekt

Bachelor oppgave Lade Alle
Lade Alle 84
7041 Trondheim

Prosjektnr.:
Gruppe9

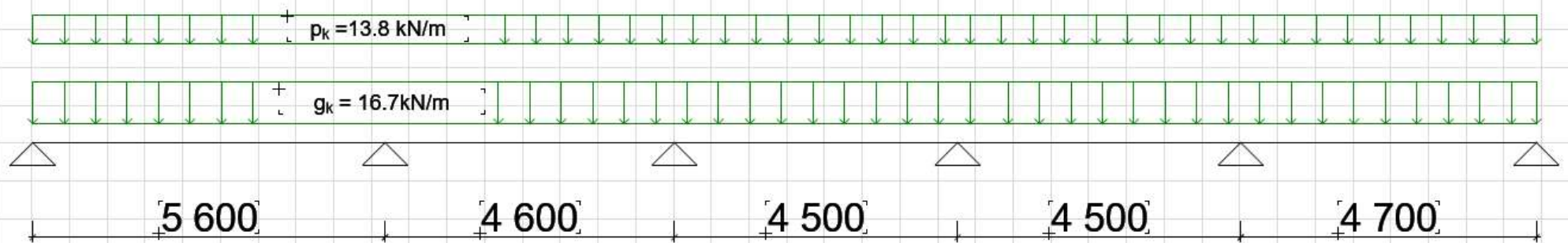
Dato
25.03.2023

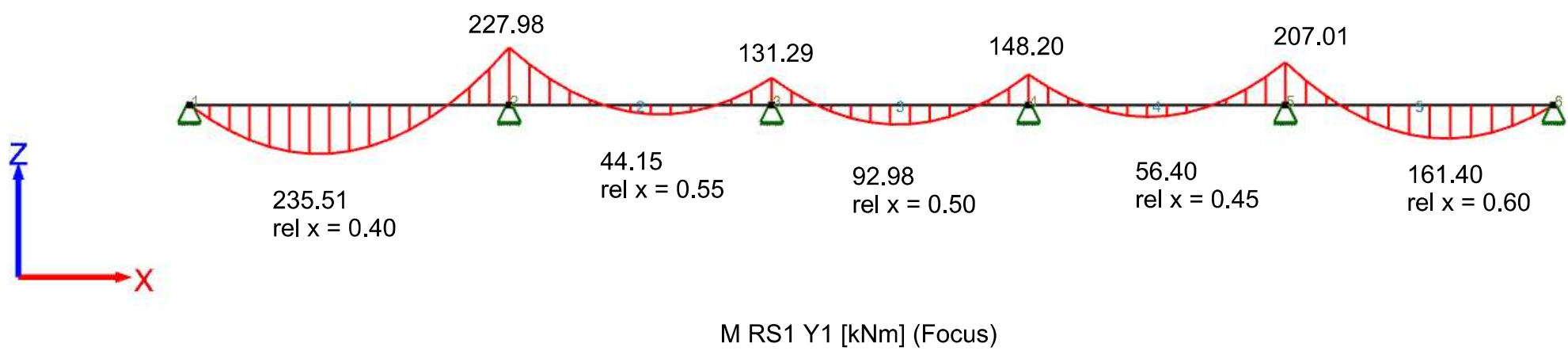
Type tegning:
Stripeinndeling RS1 Y-retning

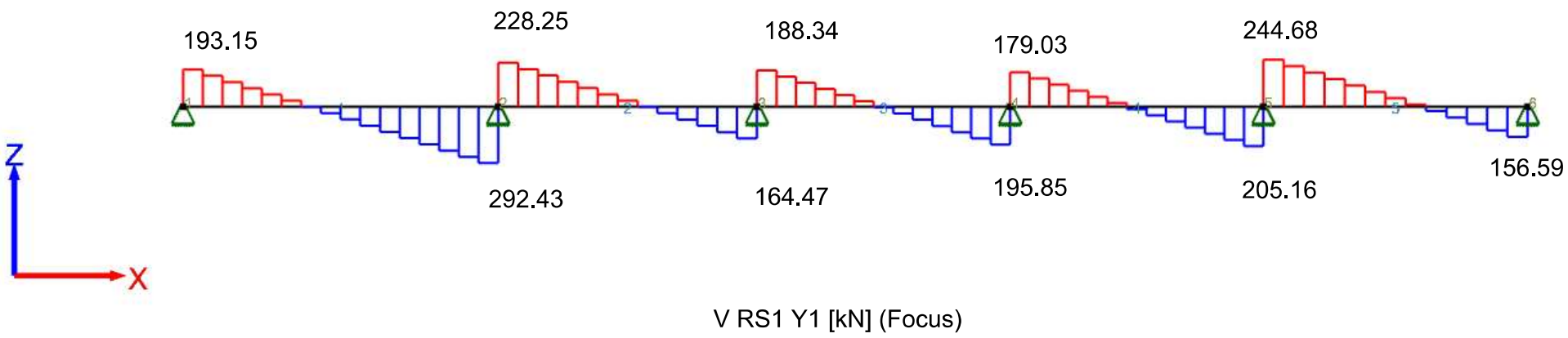
Målestokk
1:50

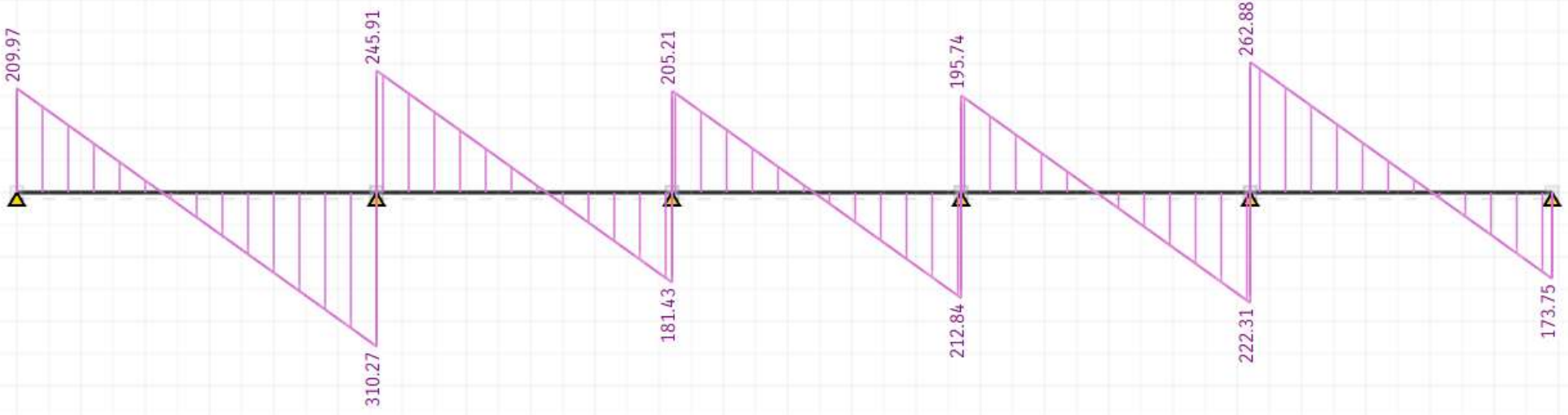
+ Dimensjonerende dekkestripe i RS1 i Y-retning pga. $b_{max} = 6.9m$

+ Kombinasjon 1

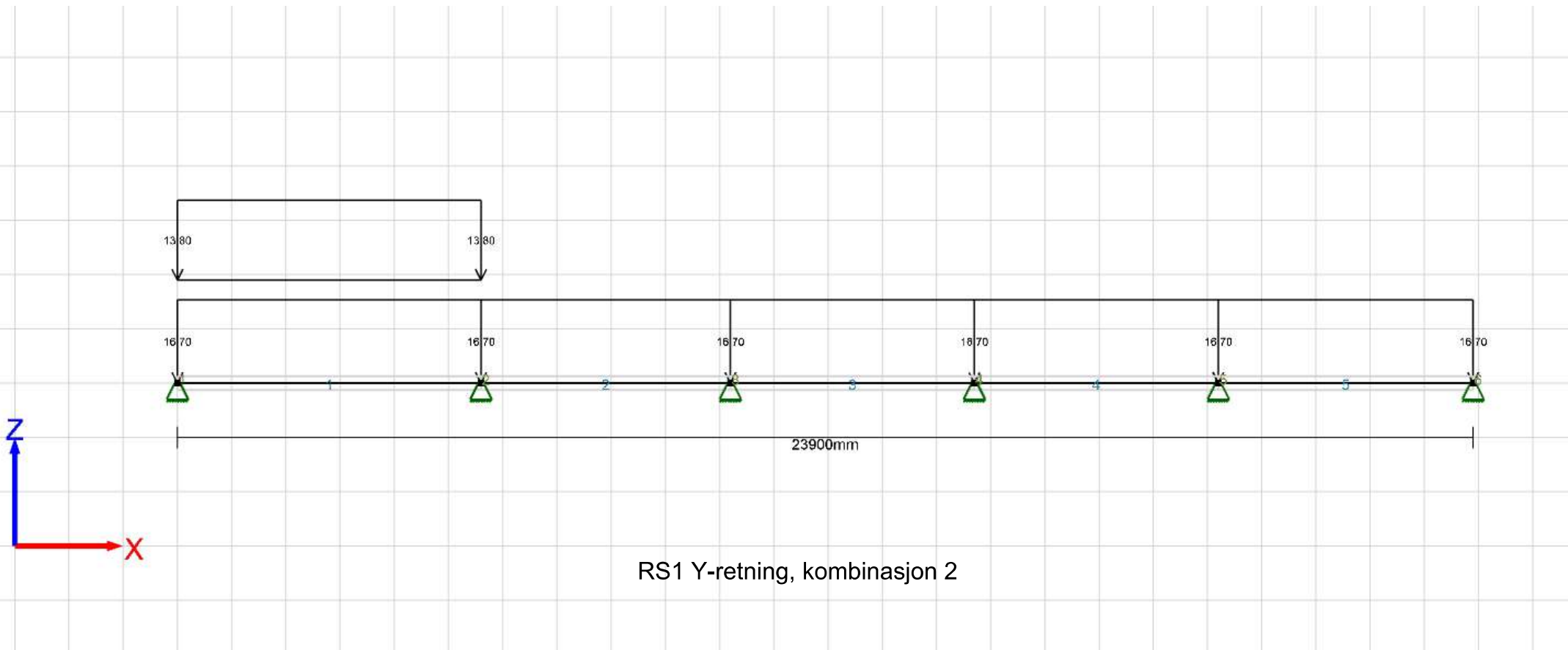


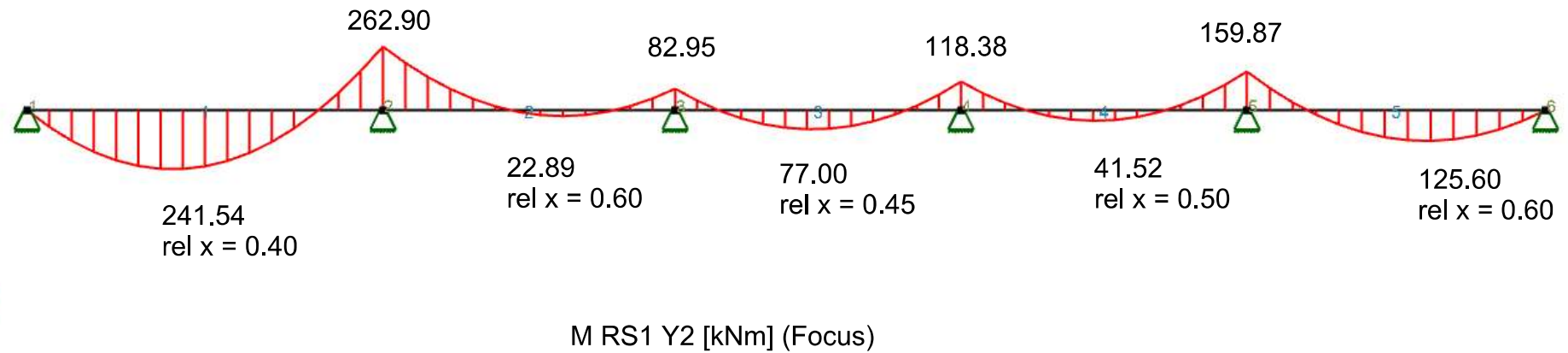
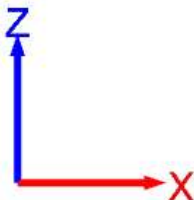


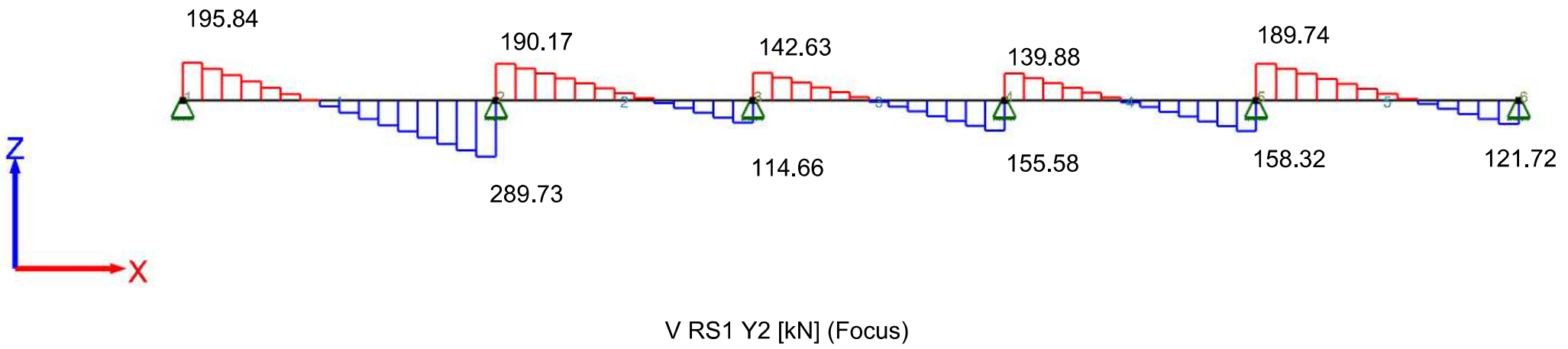


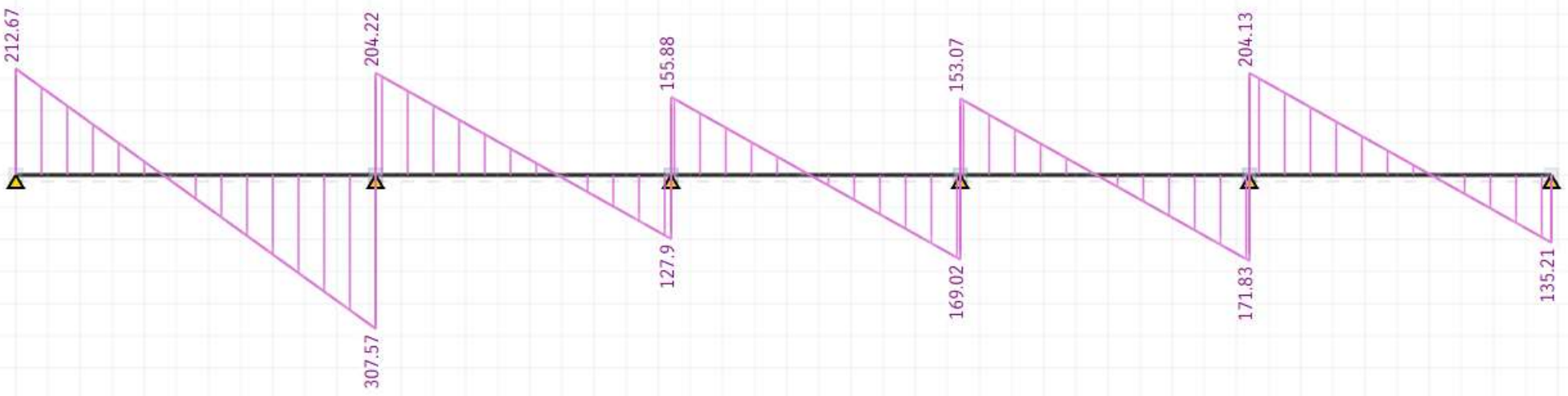


V RS1 Y1 [kN] (STRIAN)

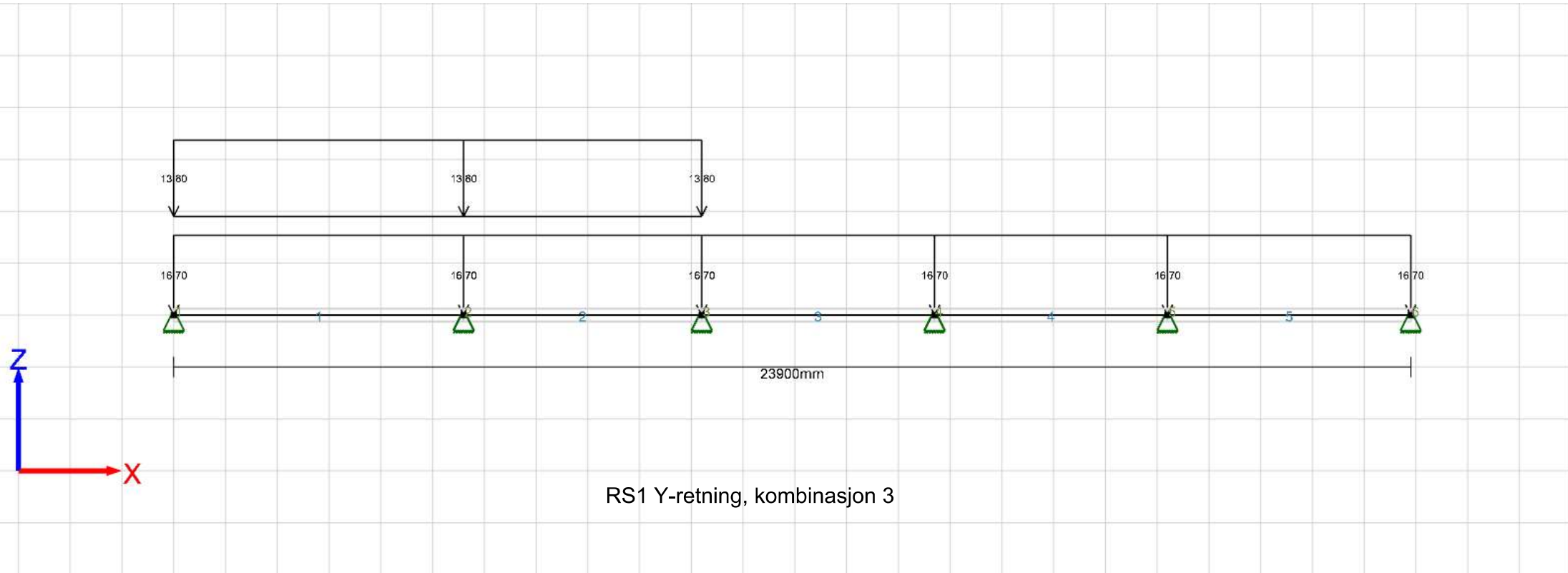


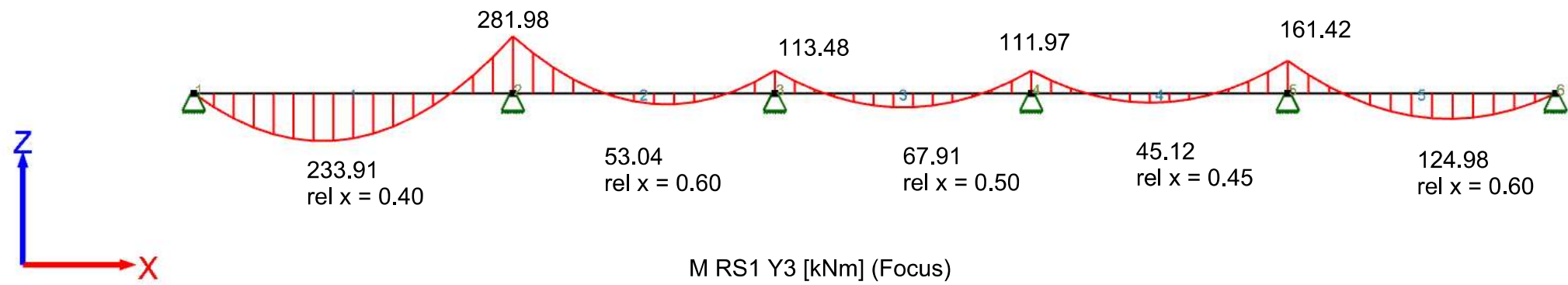


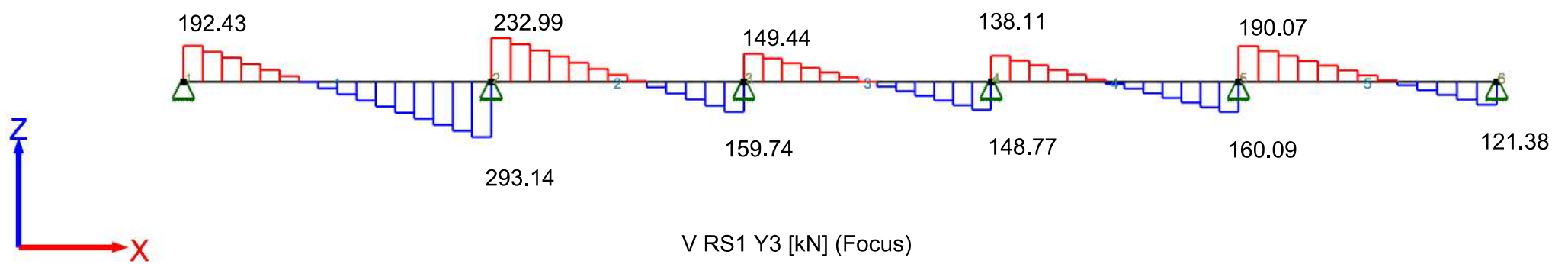


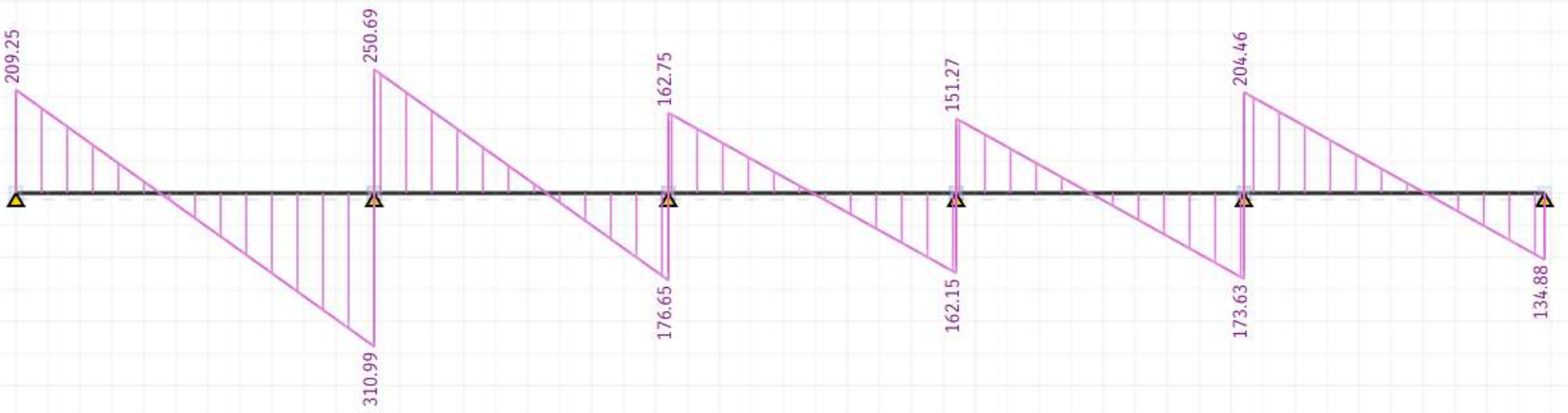


V RS1 Y2 [kN] (STRIAN)

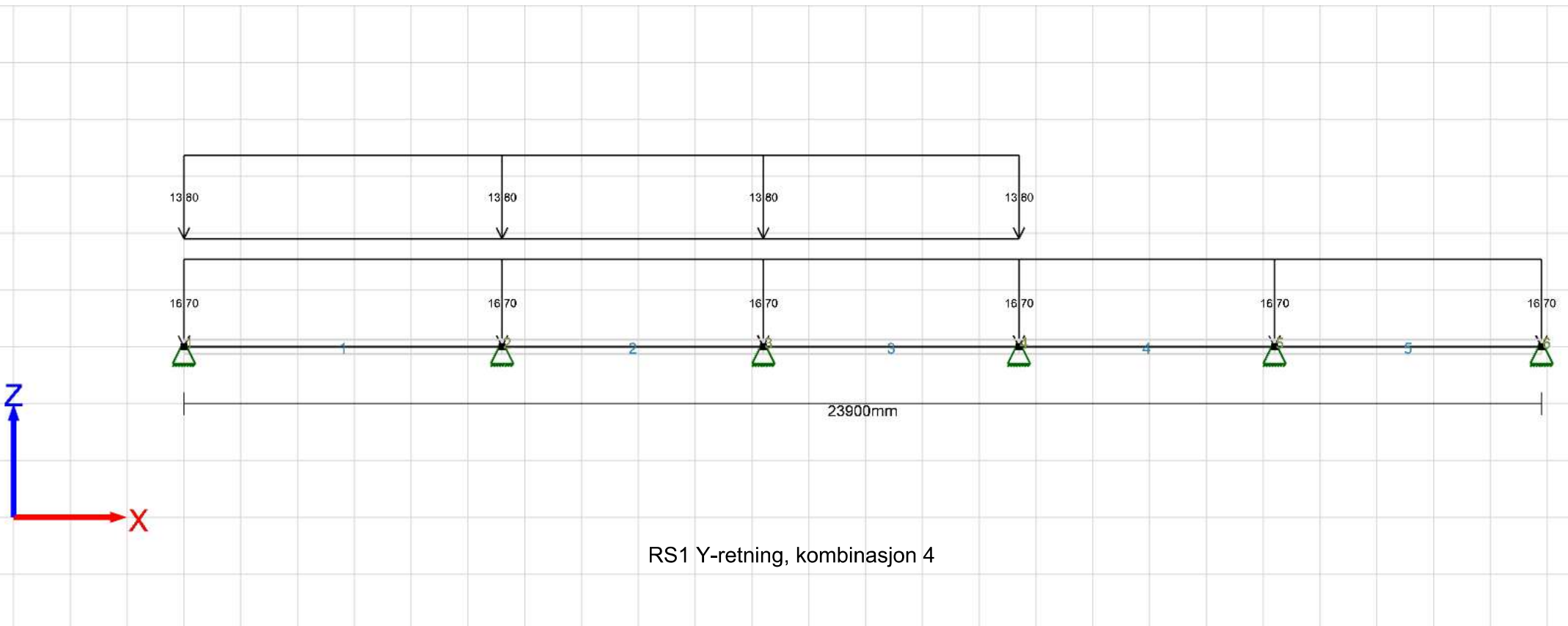


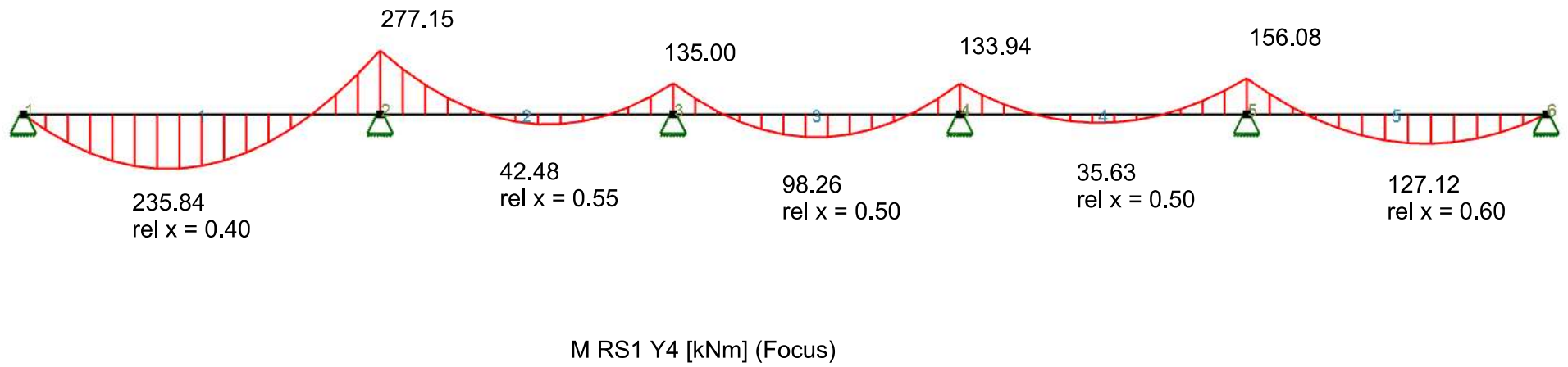


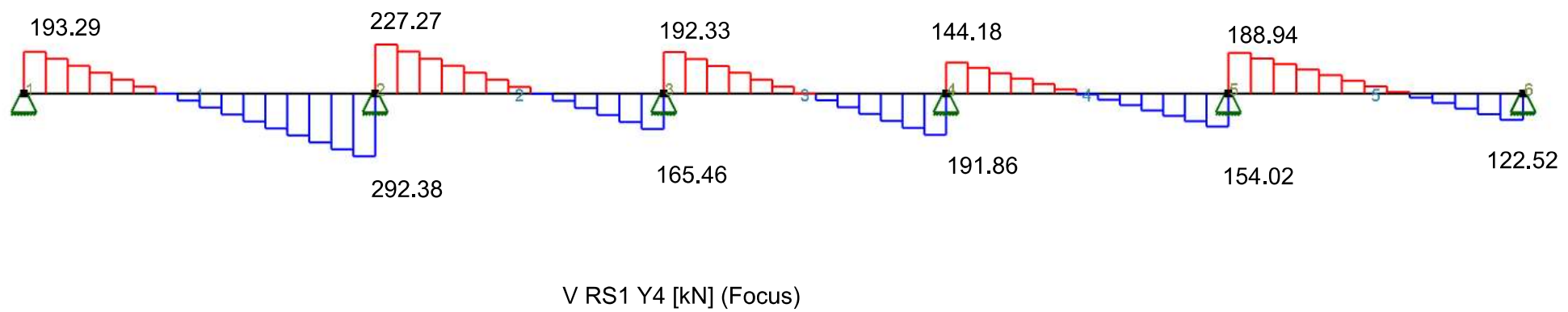


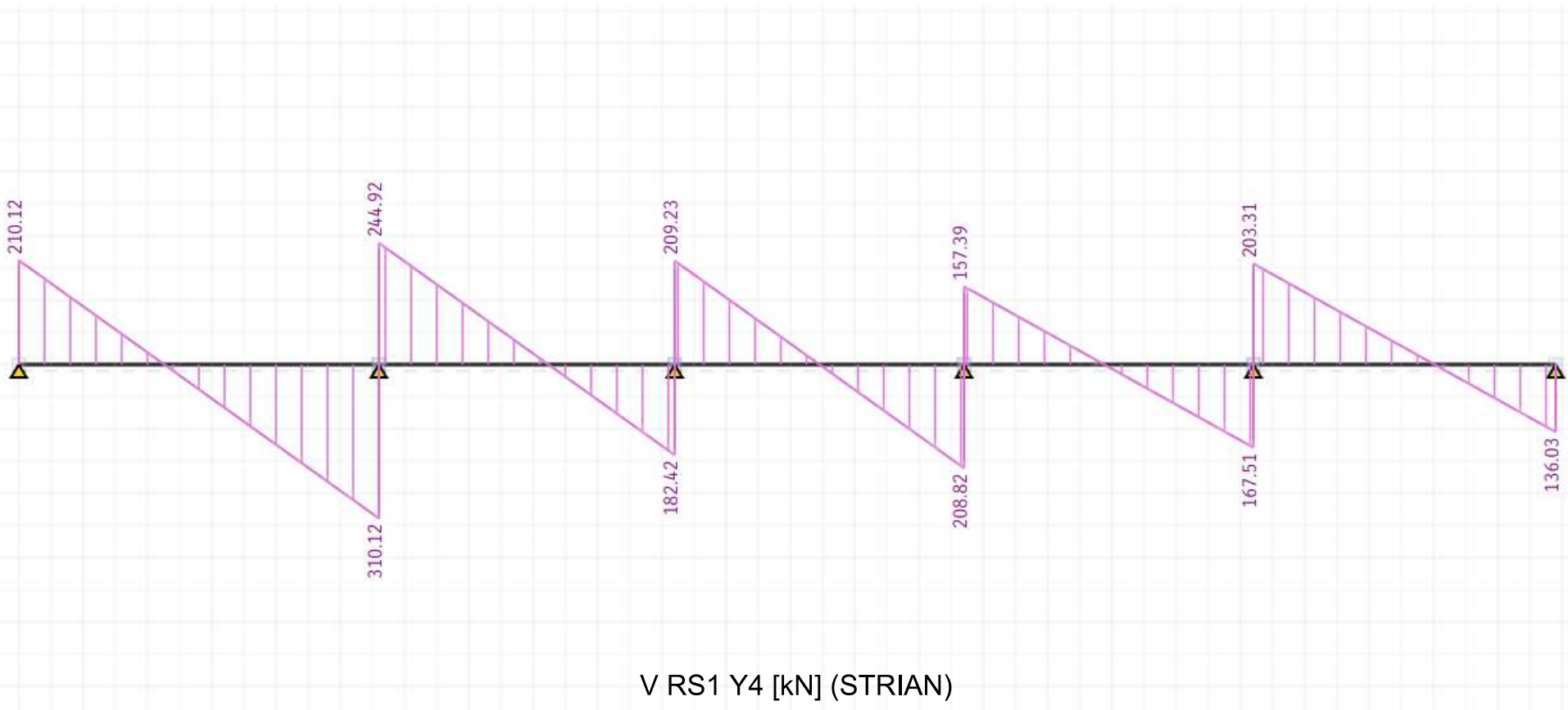


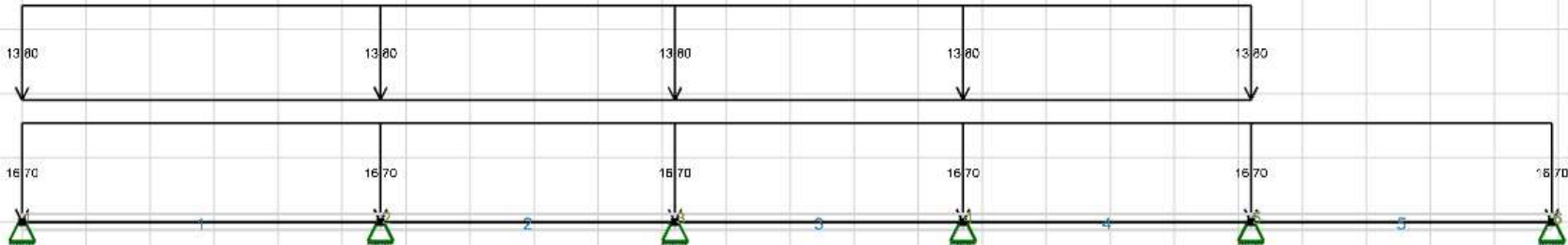
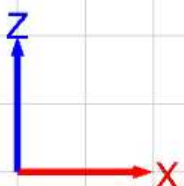
V RS1 Y3 [kN] (STRIAN)



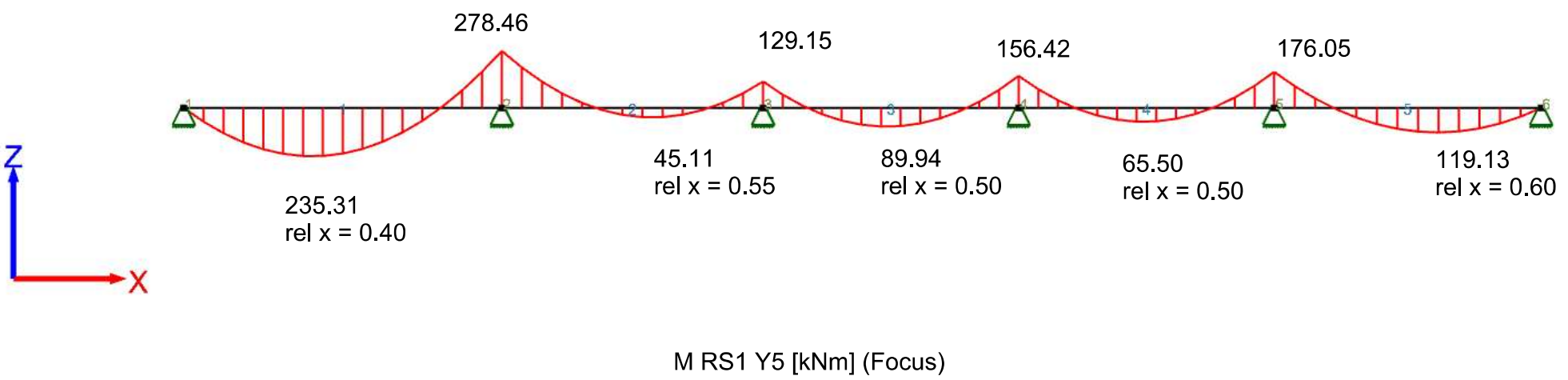


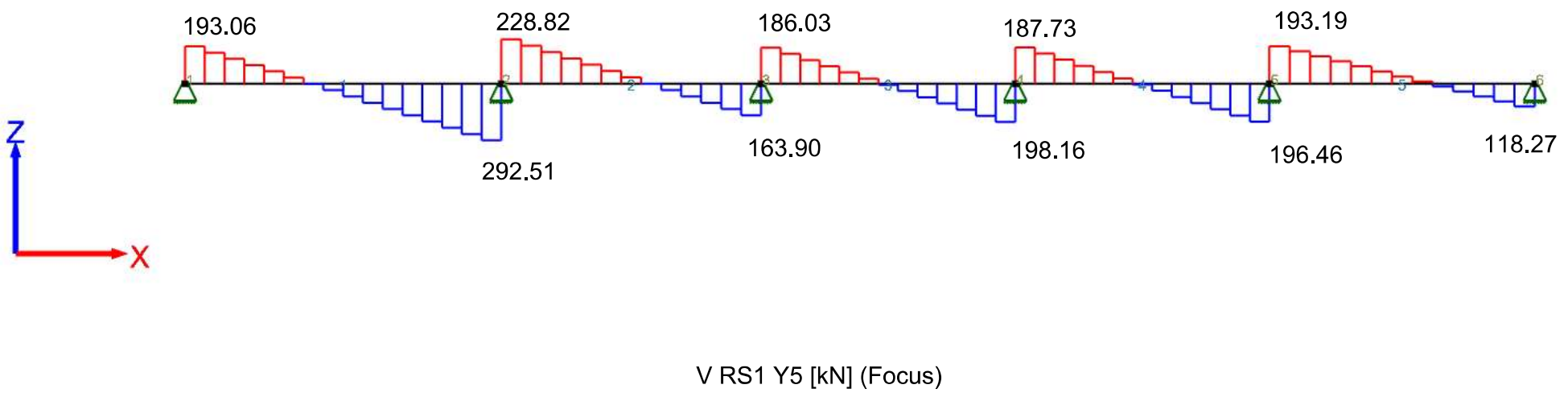


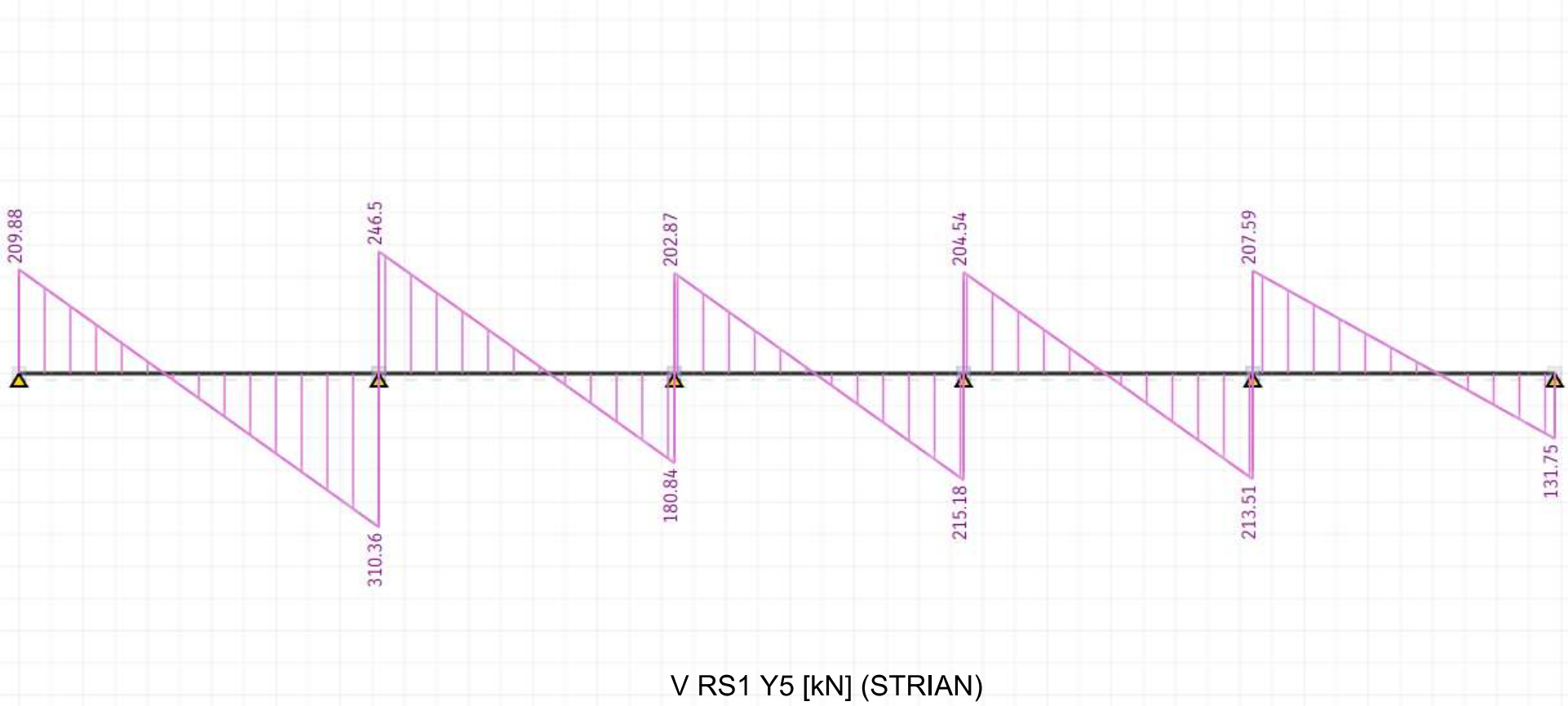


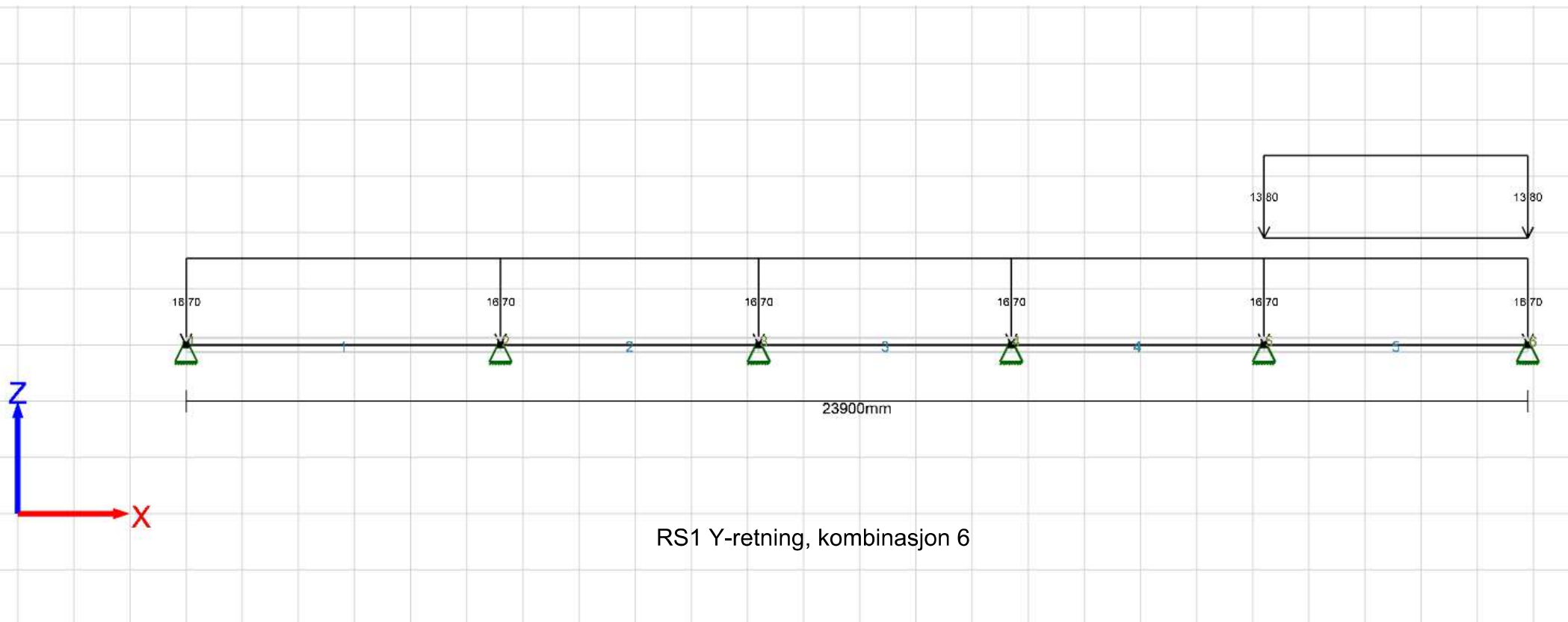


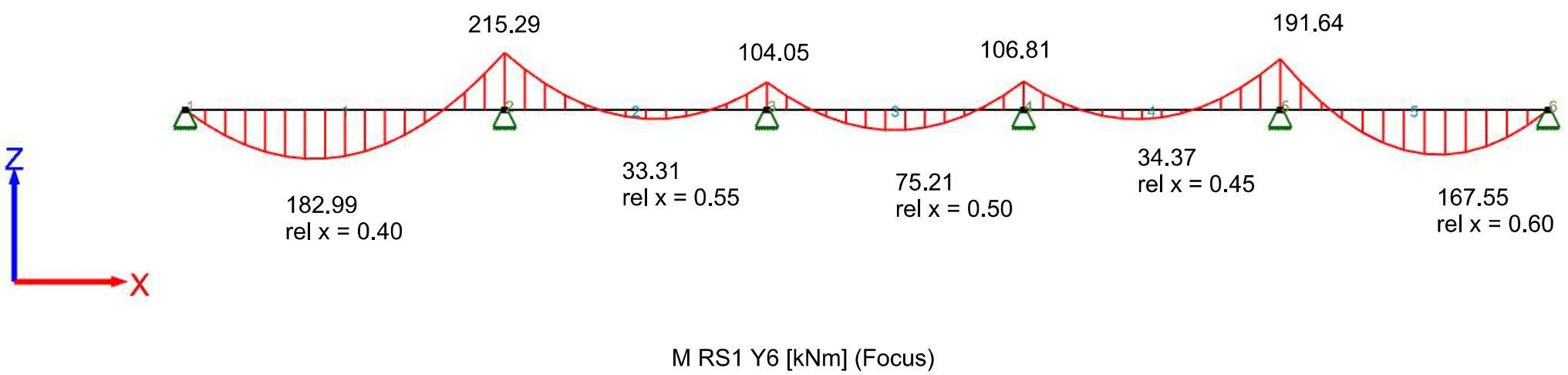
RS1 Y-retning, kombinasjon 5

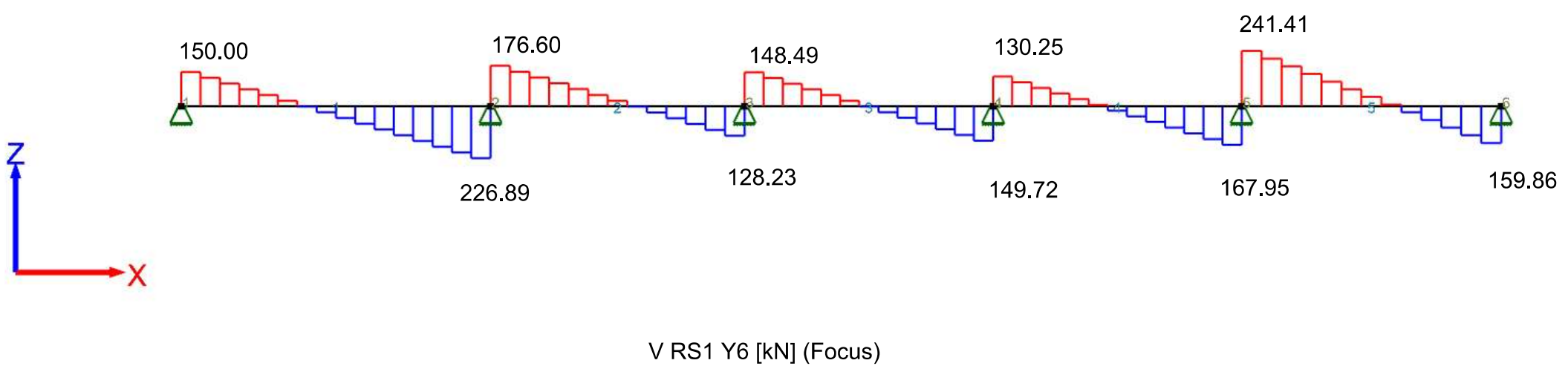


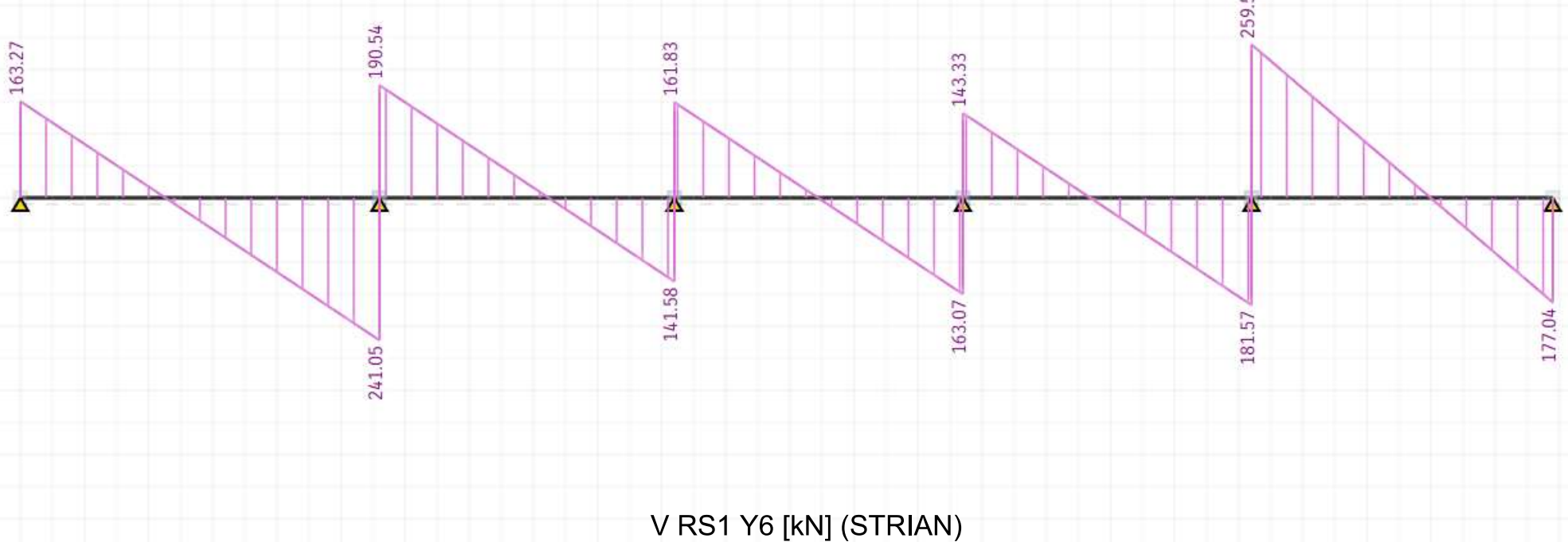












Vedlegg 4 (Forts.:)

Flattdekke, RS2. Lastpåføring i Focus og STRIAN/ manuell kontroll

X-retning

$$b_{max} = 6.6 \text{ m}$$

Største bredde blant alle ekvivalente rammer i i x-retning, bruker kun denne for å spare tid

* Ingen laster fra yttervegger opptrer i x-retning

* Laster som påføres i **Focus konstruksjon**

I Focus, lages en kombinasjon hvor programmet tar med lastfaktorer, dermed vil alle egenlaster uten selve dekkets egenlast og nytte laster påføres uten lastfaktorer

$$g_k = 0.0063 + 1.3 + 0.5 + 0.5 = 2.3 \frac{kN}{m^2}$$

Uten platens egenvekt !

$$p_{k.dekke} = 2.0 \frac{kN}{m^2}$$

--> I focus skrives inn:

$$g_k = \left(2.3 \frac{kN}{m^2} \cdot 6.6 \text{ m} \right) = 15.2 \frac{kN}{m}$$

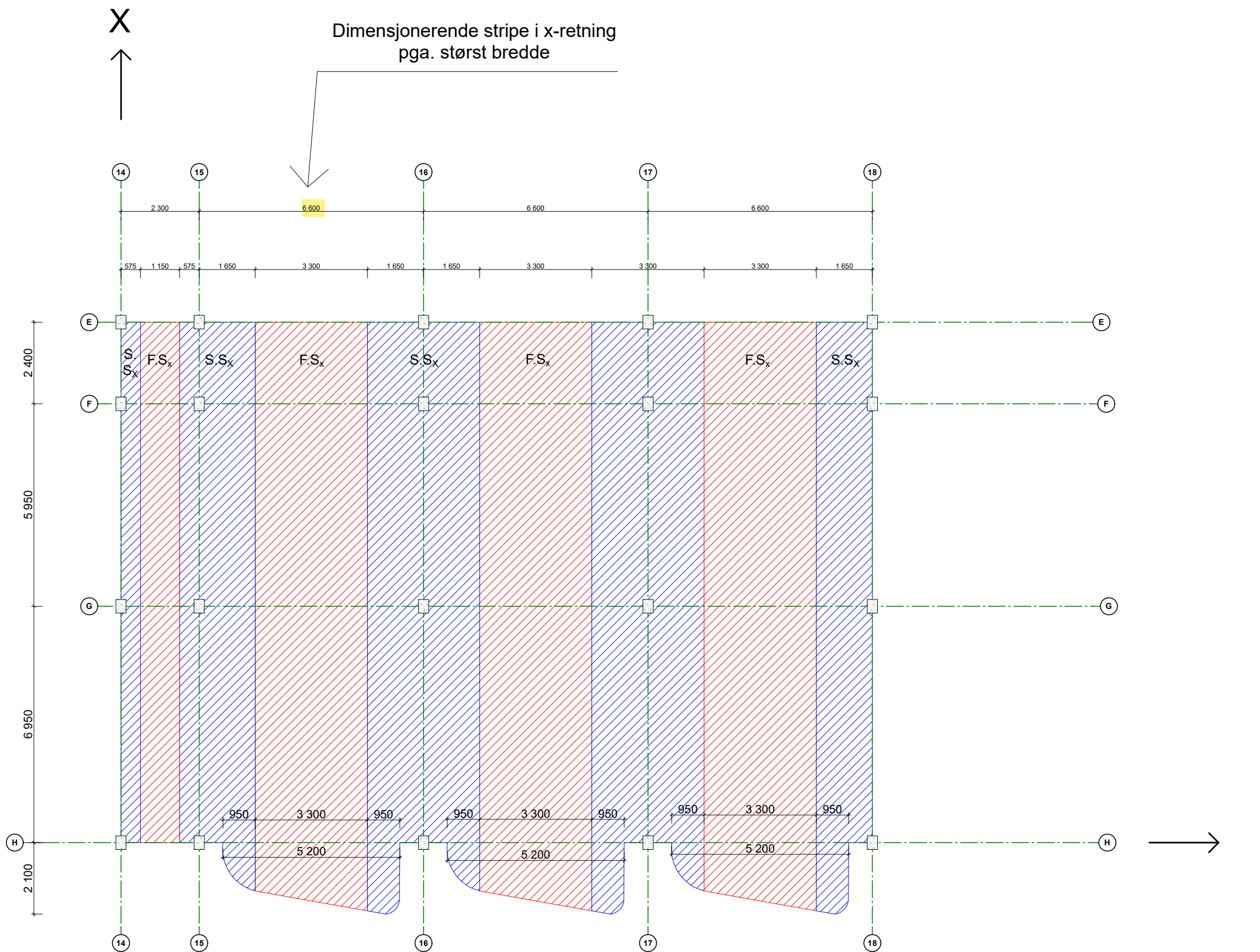
$$p_k = \left(2.0 \frac{kN}{m^2} \cdot 6.6 \text{ m} \right) = 13.2 \frac{kN}{m}$$

--> I STRIAN skrives inn:

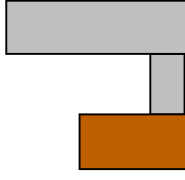
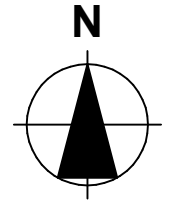
$$g_{ED} = \left(((2.3 + 6.3) \cdot 6.6) \frac{kN}{m} \right) \cdot 1.2 = 68.112 \frac{kN}{m}$$

$$p_{ED} = \left(2.0 \frac{kN}{m^2} \cdot 6.6 \text{ m} \right) \cdot 1.5 = 19.8 \frac{kN}{m}$$

 S.S.= Søyle stripe

 F.S.= Felt stripe


Lokalisering:



Prosjekteringsgruppen

- ARK : Skibnes Arkitekter Dronningens gate 66
7012 Trondheim
Tlf.: 735 15 830
arkitekt@skibnes.no
- RIB : K.K, A.R, & M.A NTNU, Institutt for
konstruksjonsteknikk
- Veileder Jan Arve Øverli NTNU, Institutt for
konstruksjonsteknikk

Fase
Detaljprisjektering

Tiltakshavere

**Arijus Ruzgys, Konstantin
Koval, & Musab Ahmad**

Prosjekt

Bachelor oppgave Lade Alle
Lade Alle 84
7041 Trondheim

Prosjektnr.:
Gruppe9

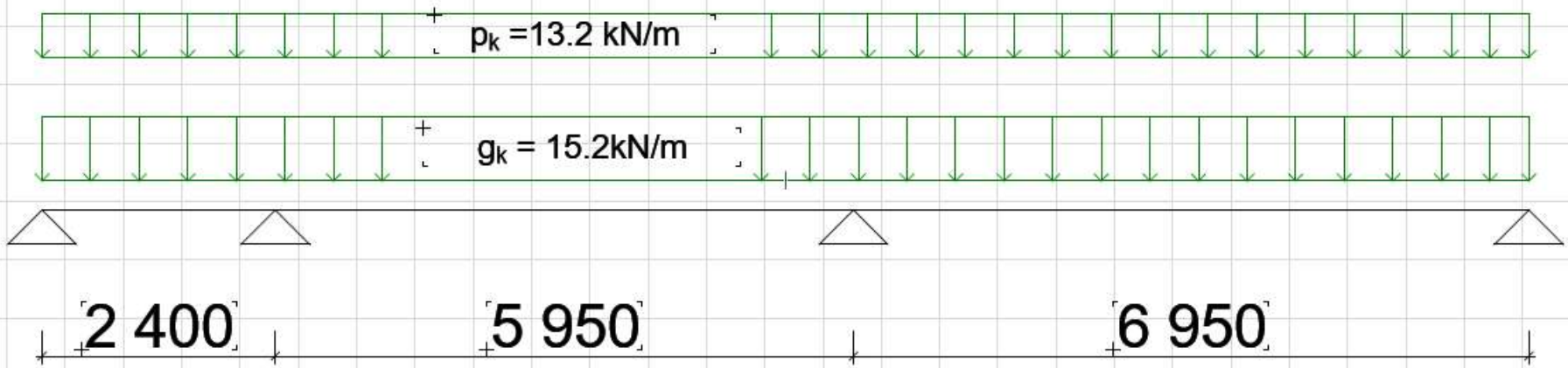
Dato
25.03.2023

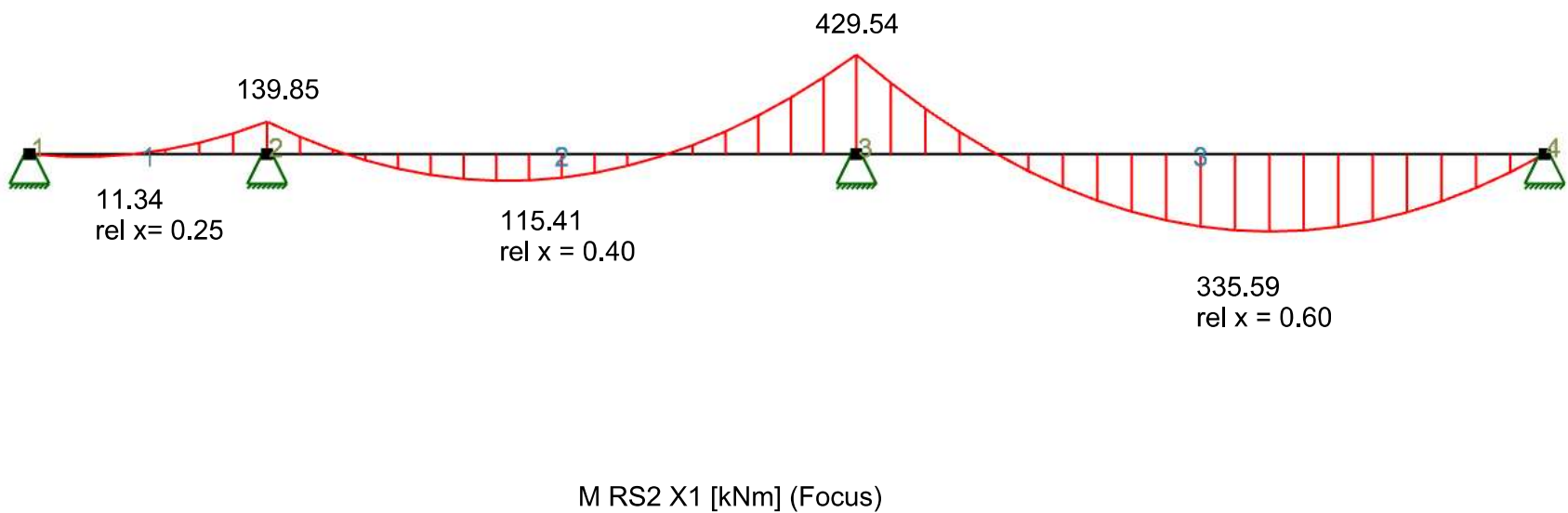
Type tegning:
Stripeinnndeling RS2 X-retning

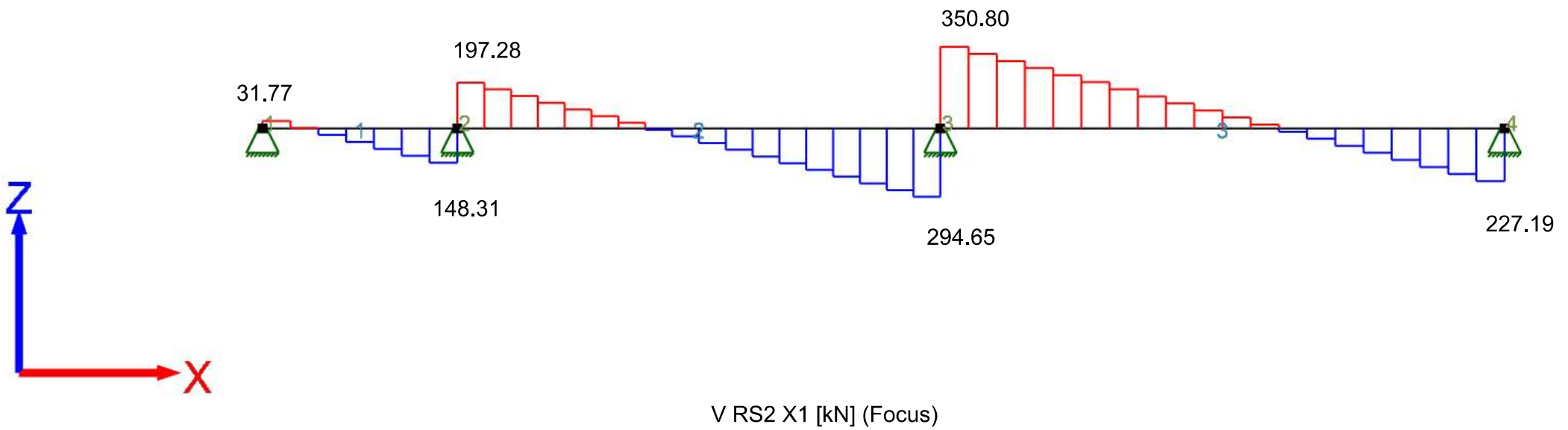
Målestokk
1:50

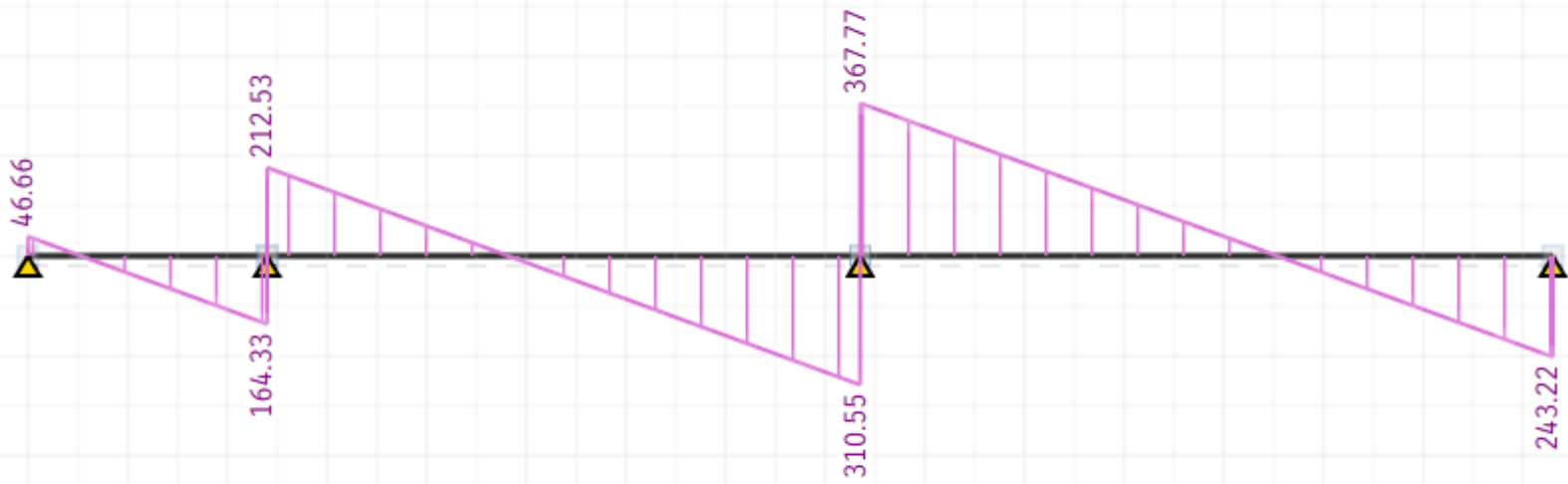
Dimensjonerende dekkestripe i RS2 i X-retning. $b_{max} = 6.6$ m

Kombinasjon 1

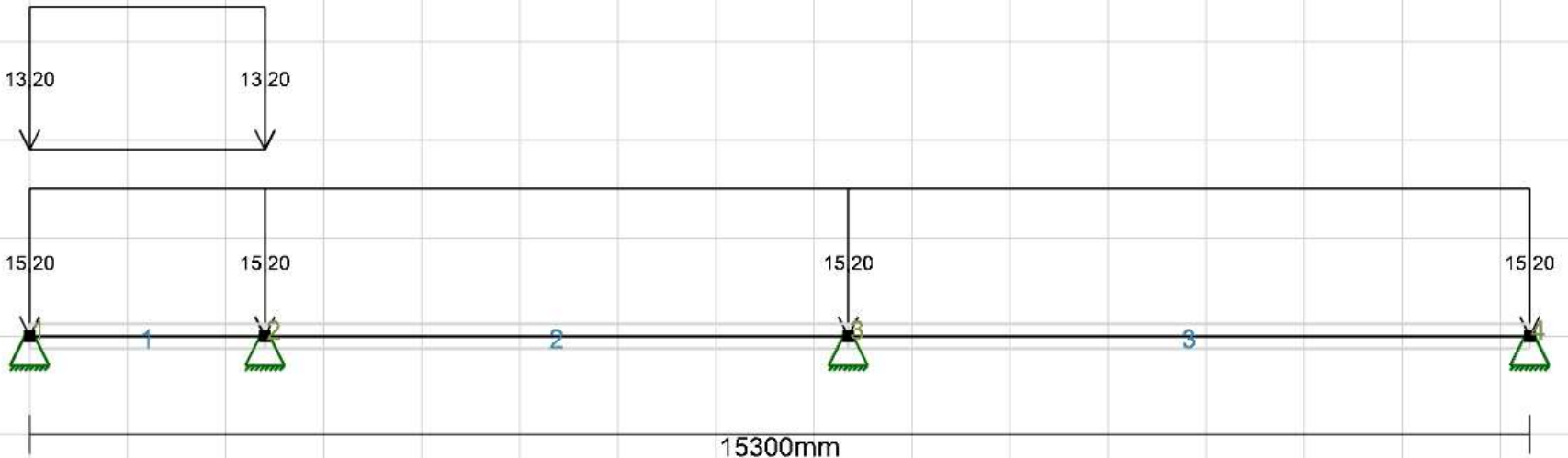
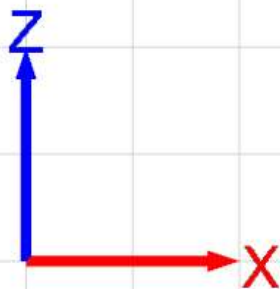




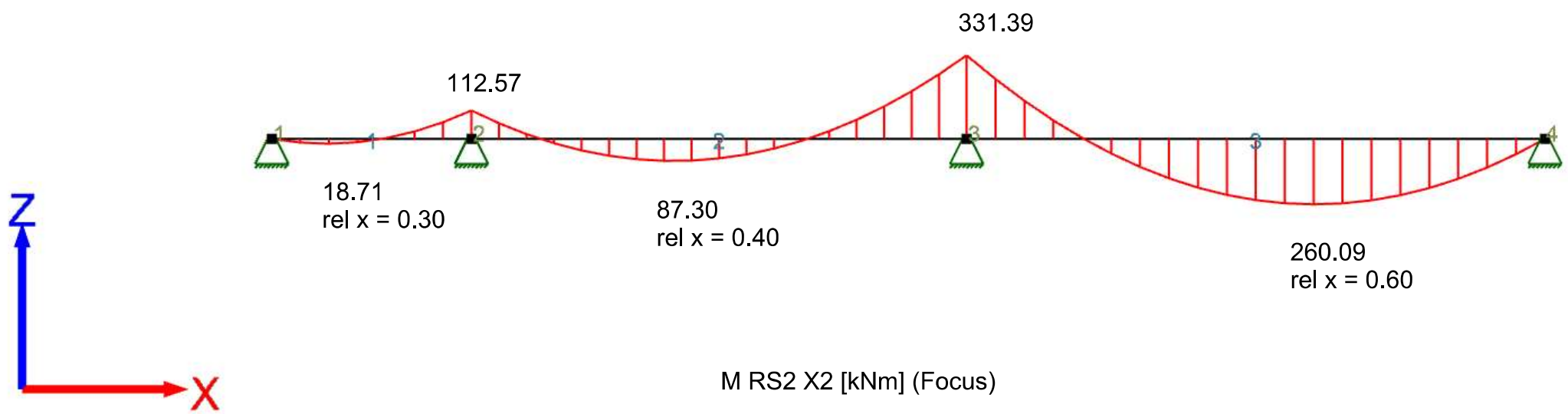


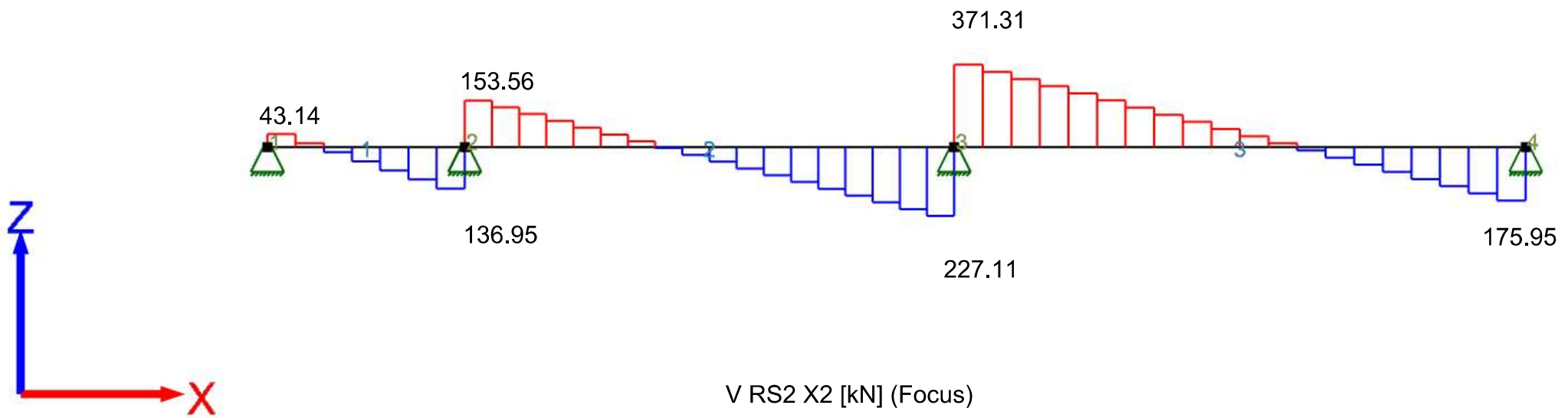


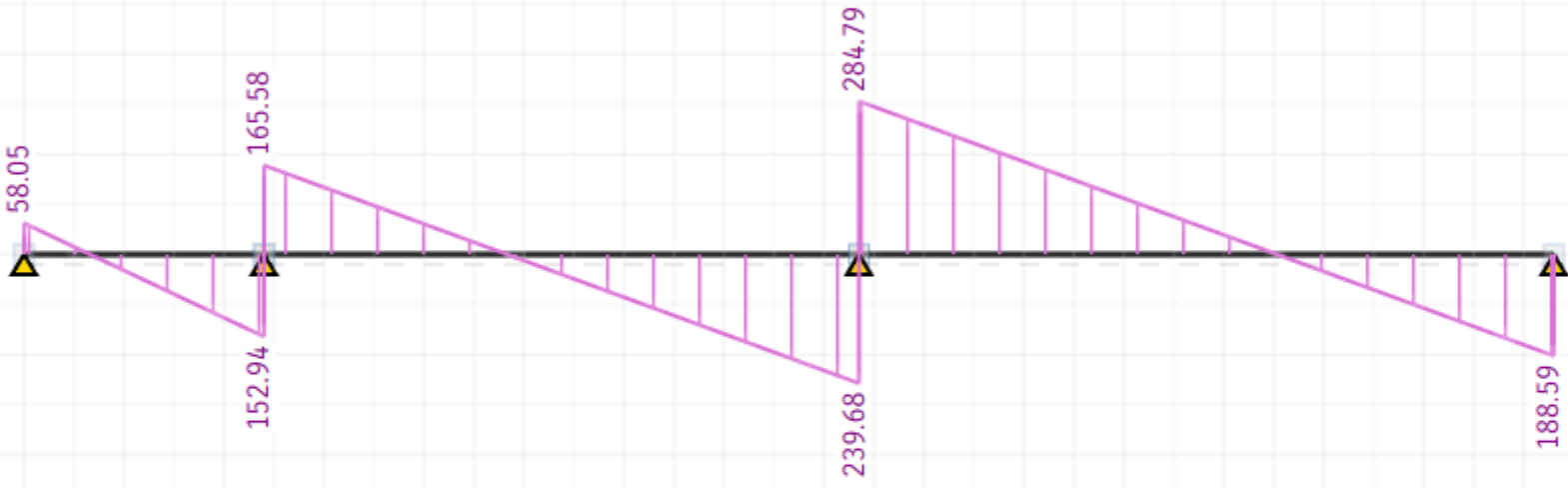
V RS2 X1 [kN] (STRIAN)



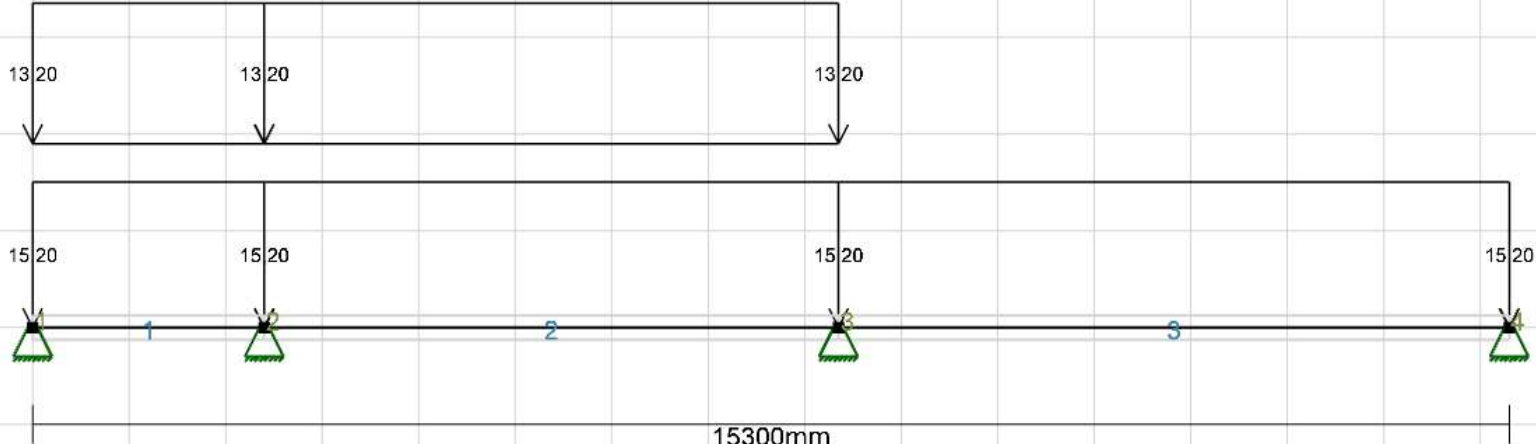
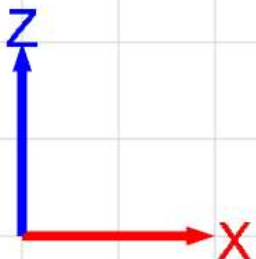
RS2 x-retning, kombinasjon 2



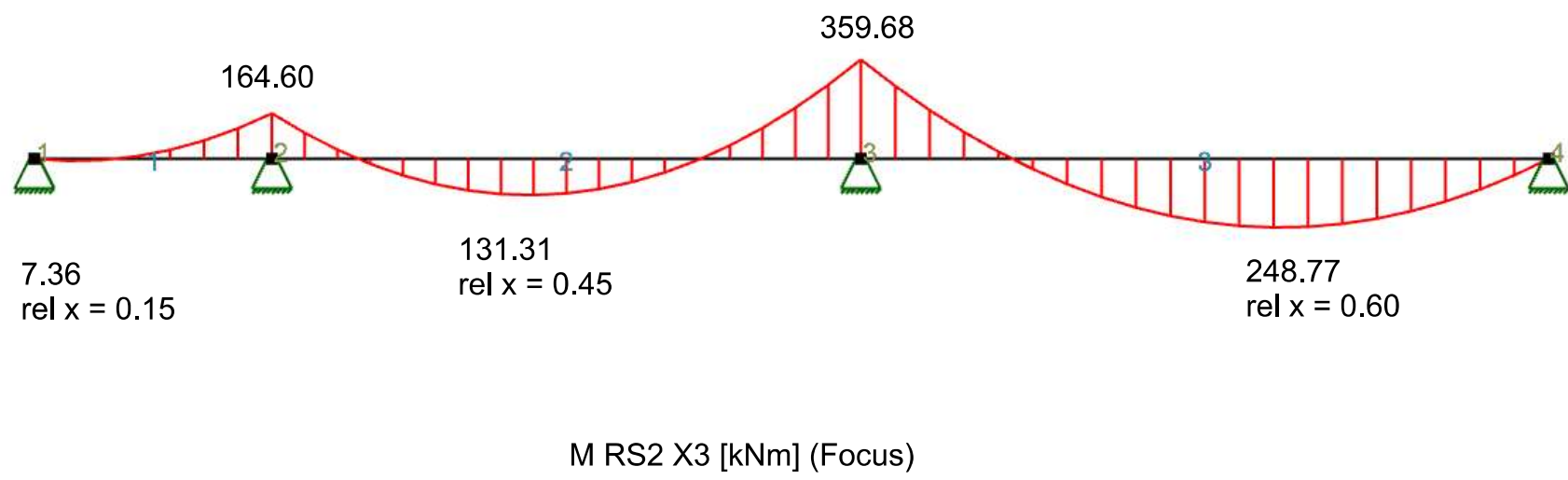


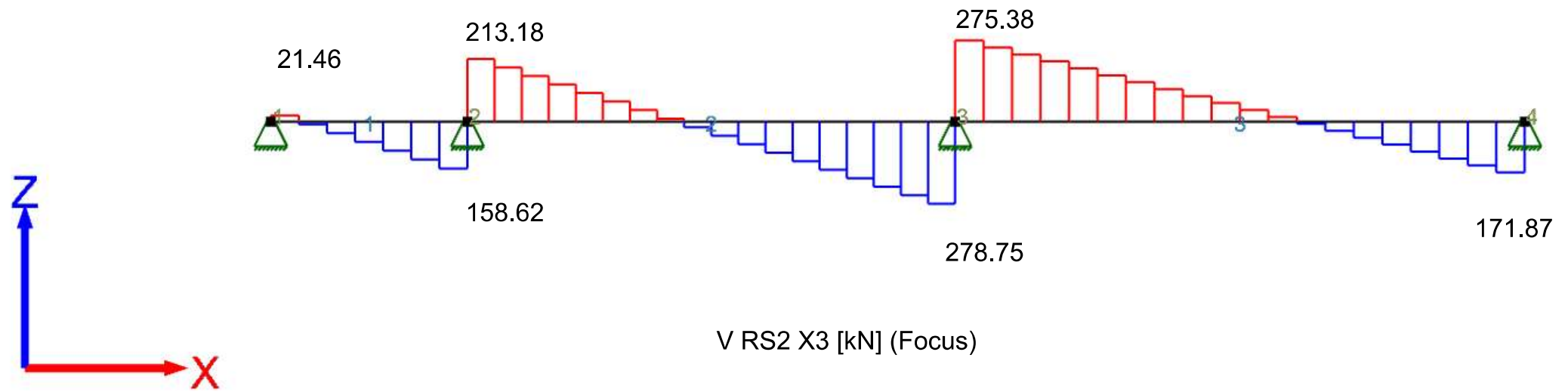


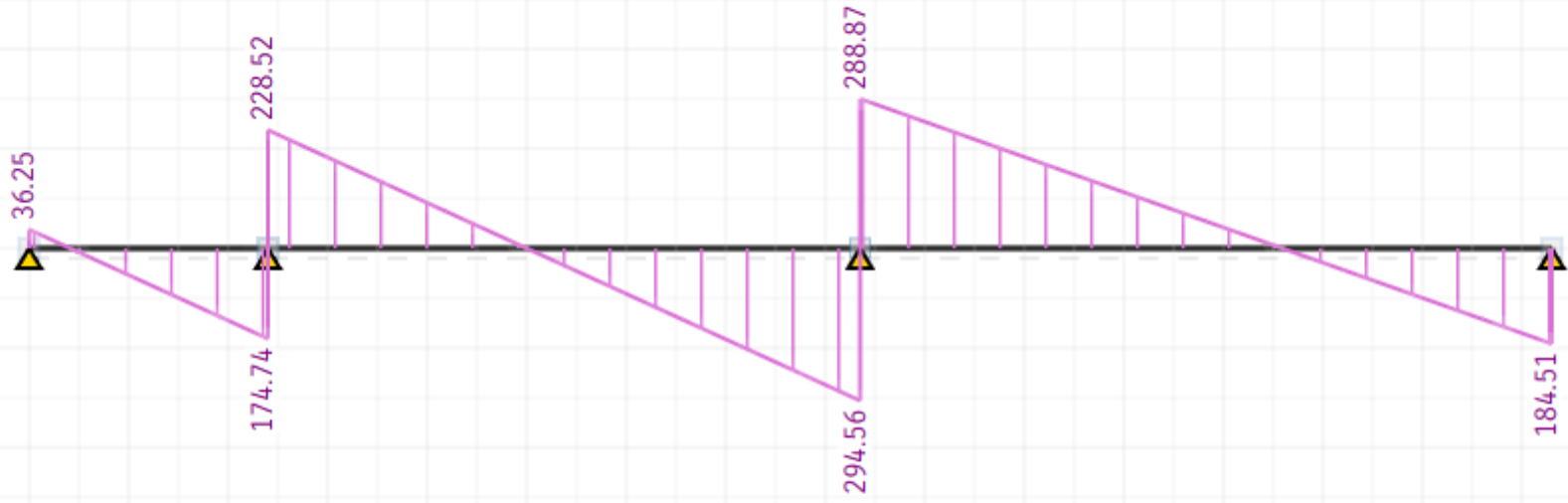
V RS2 X3 [kN] (STRIAN)



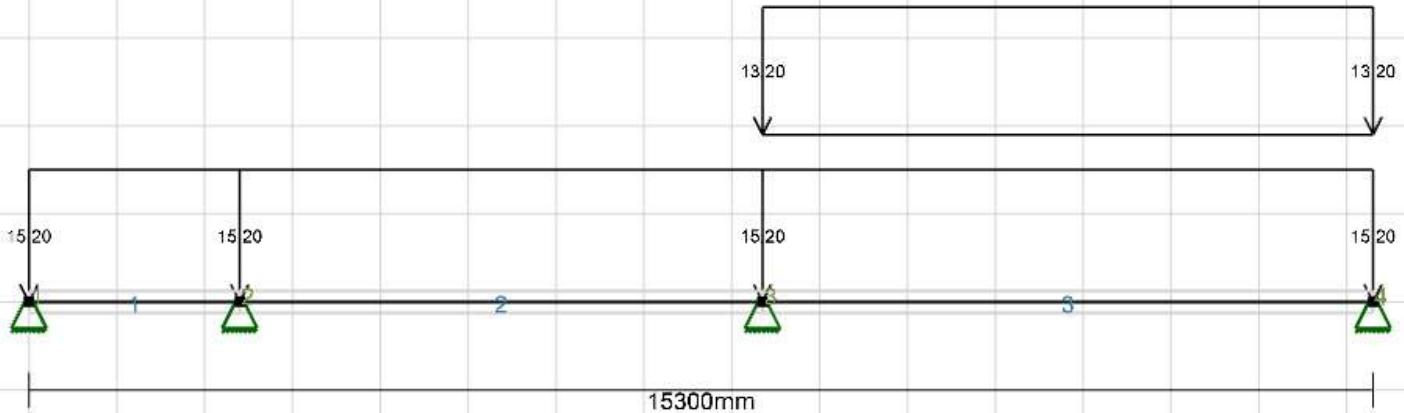
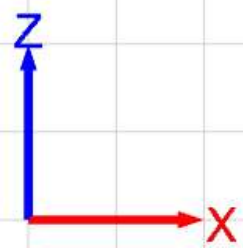
RS2 x-retning, kombinasjon 3



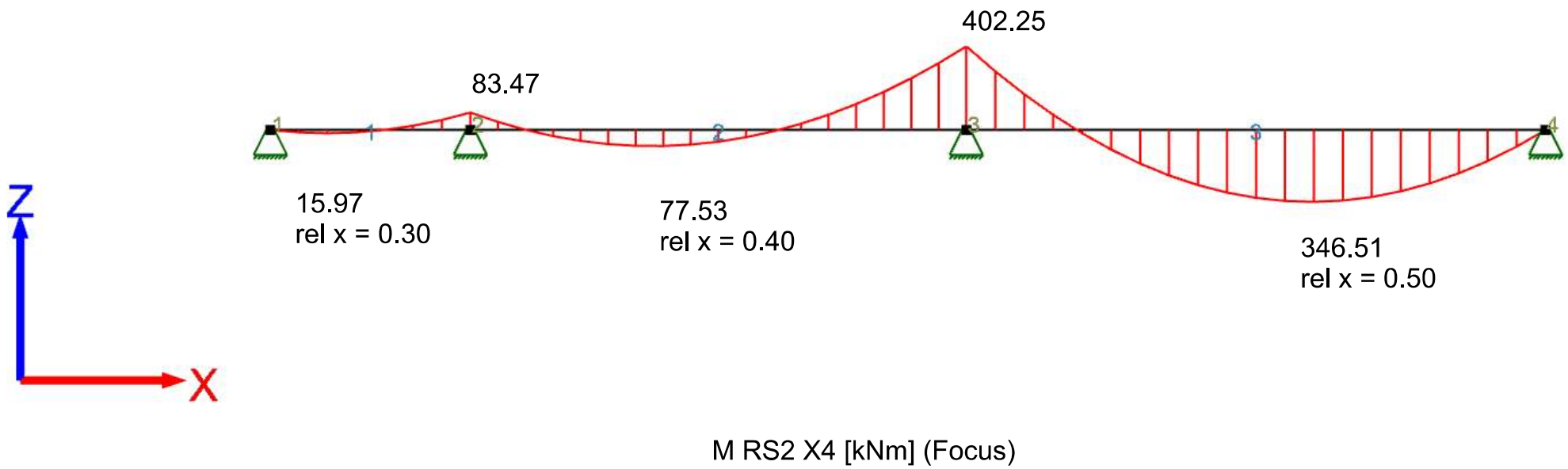


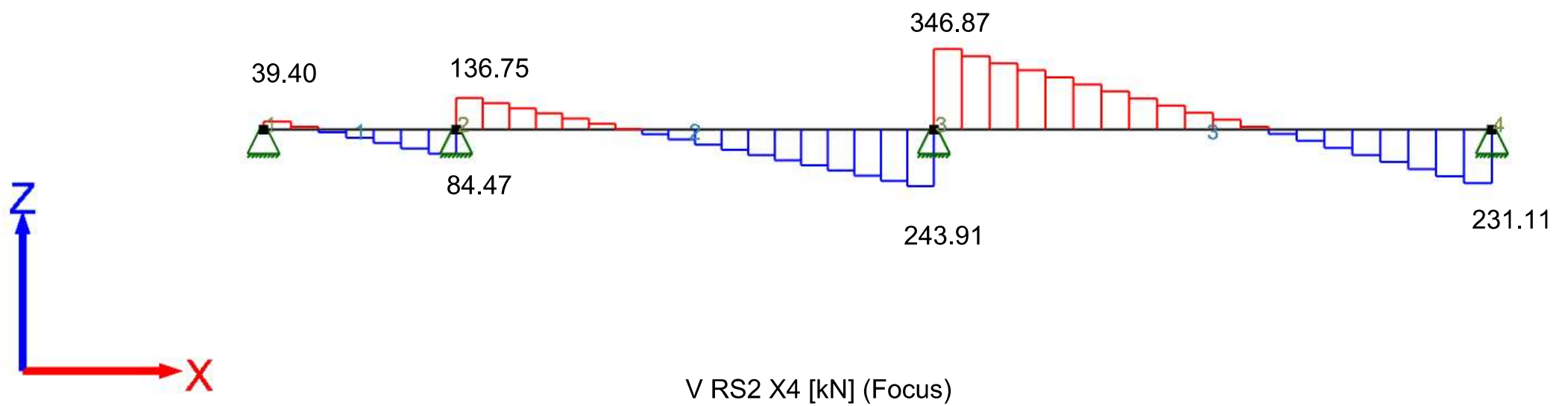


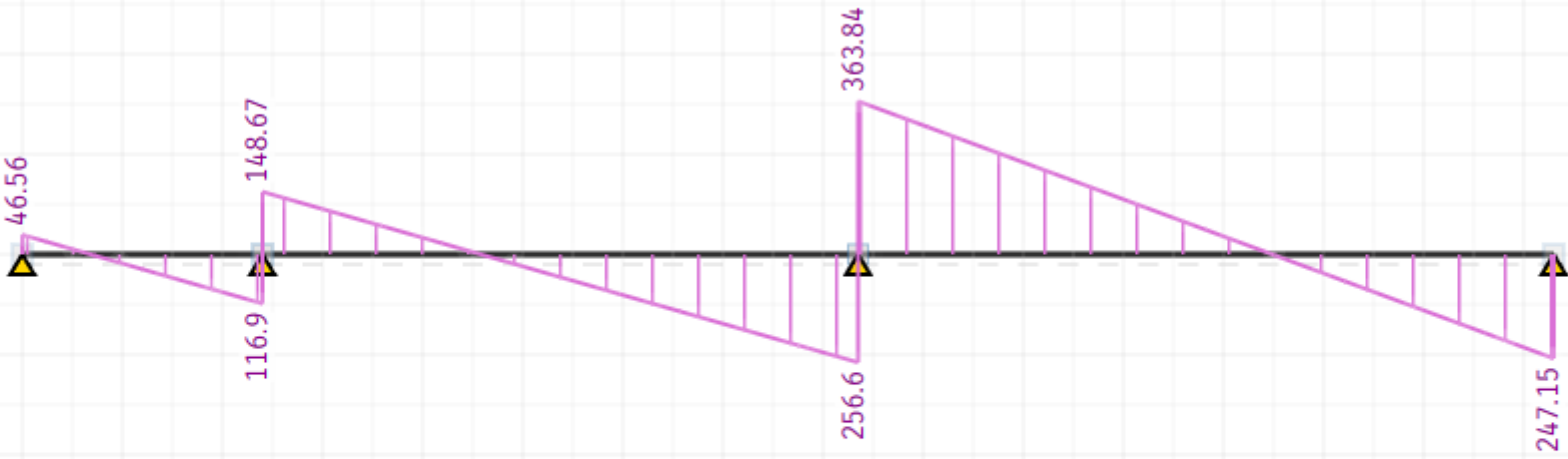
V RS2 X3 [kN] (STRIAN)



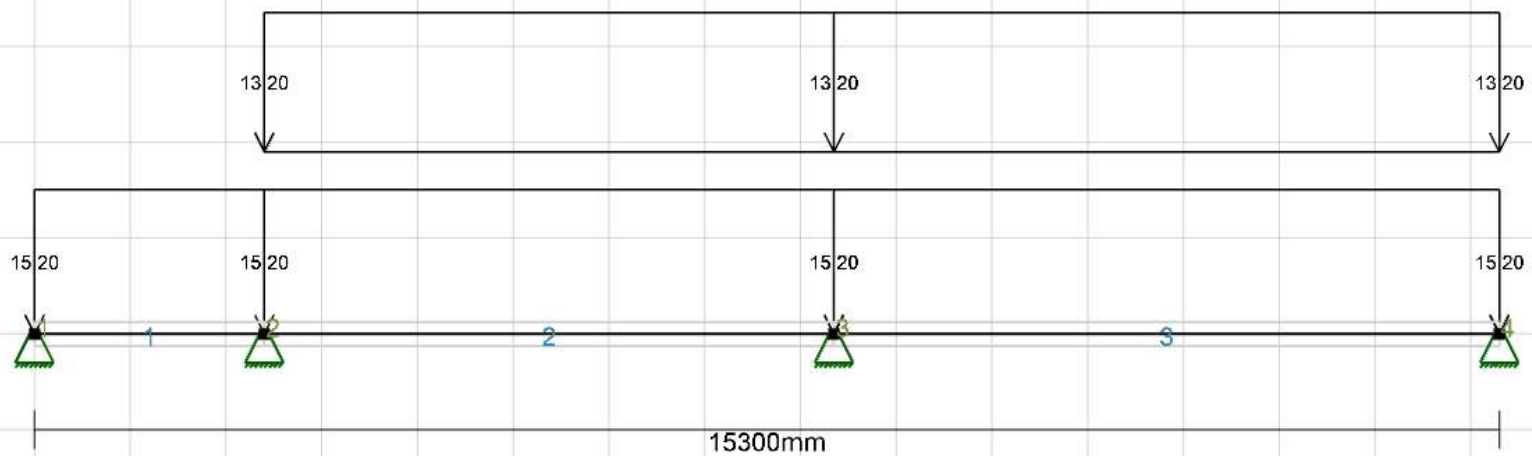
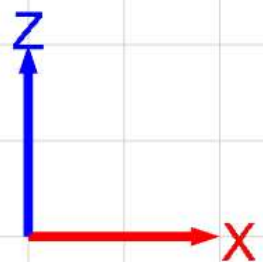
RS2 x-retning, kombinasjon 4



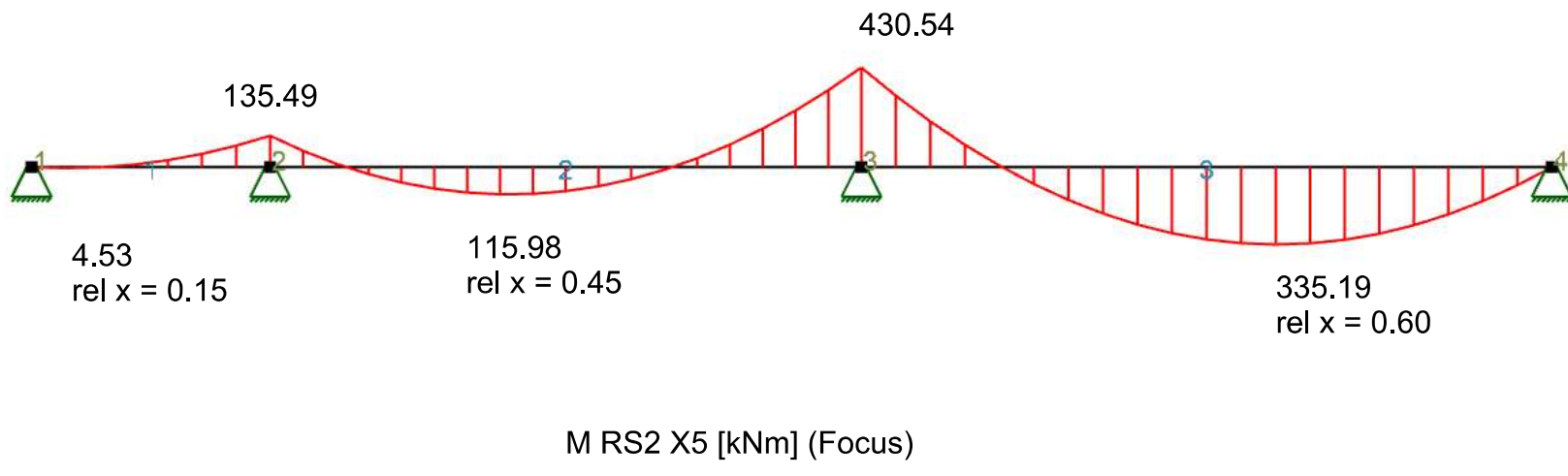
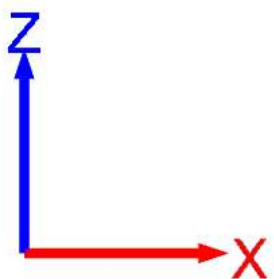


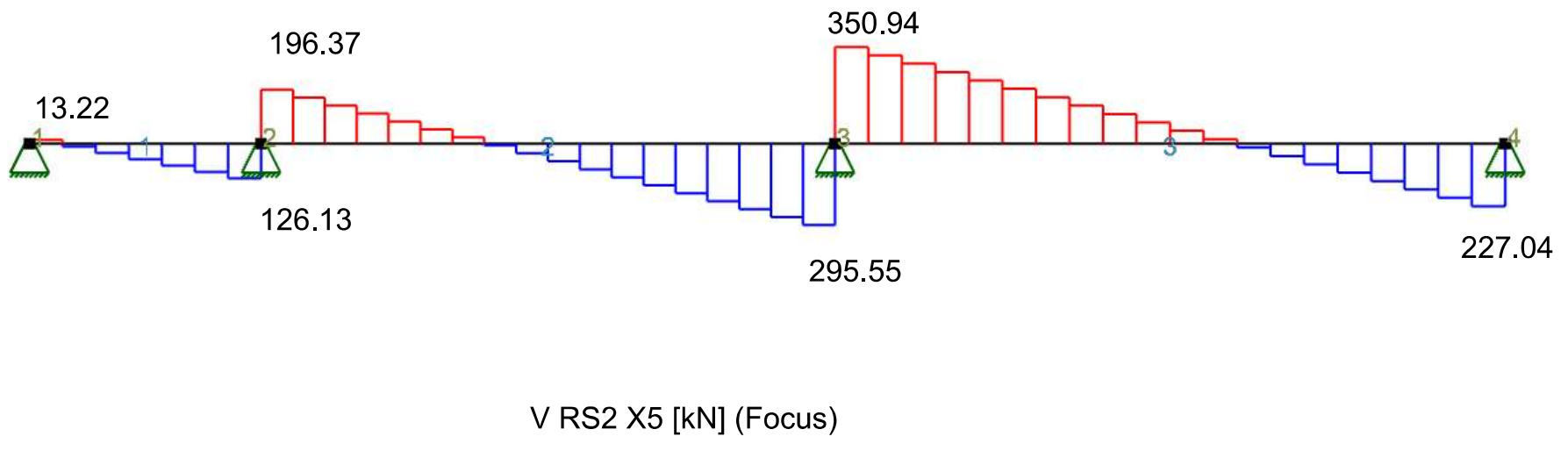
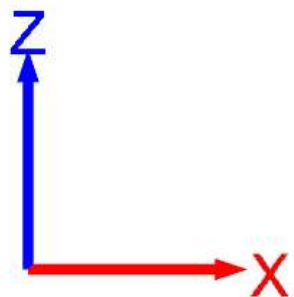


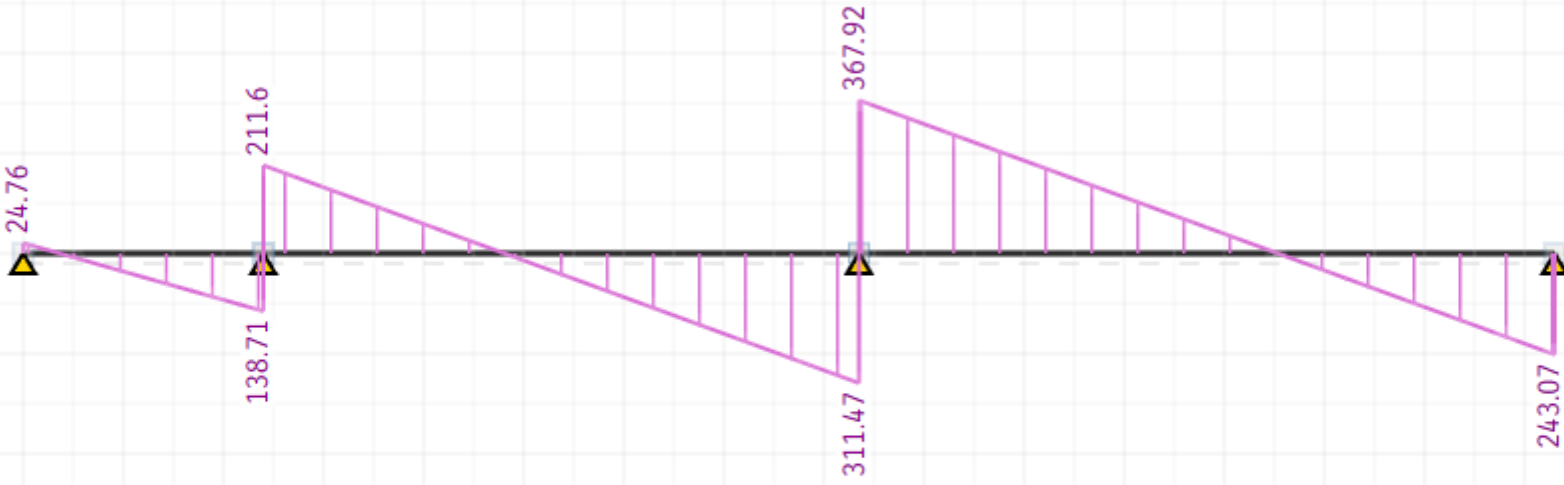
V RS2 X4 [kN] (STRIAN)



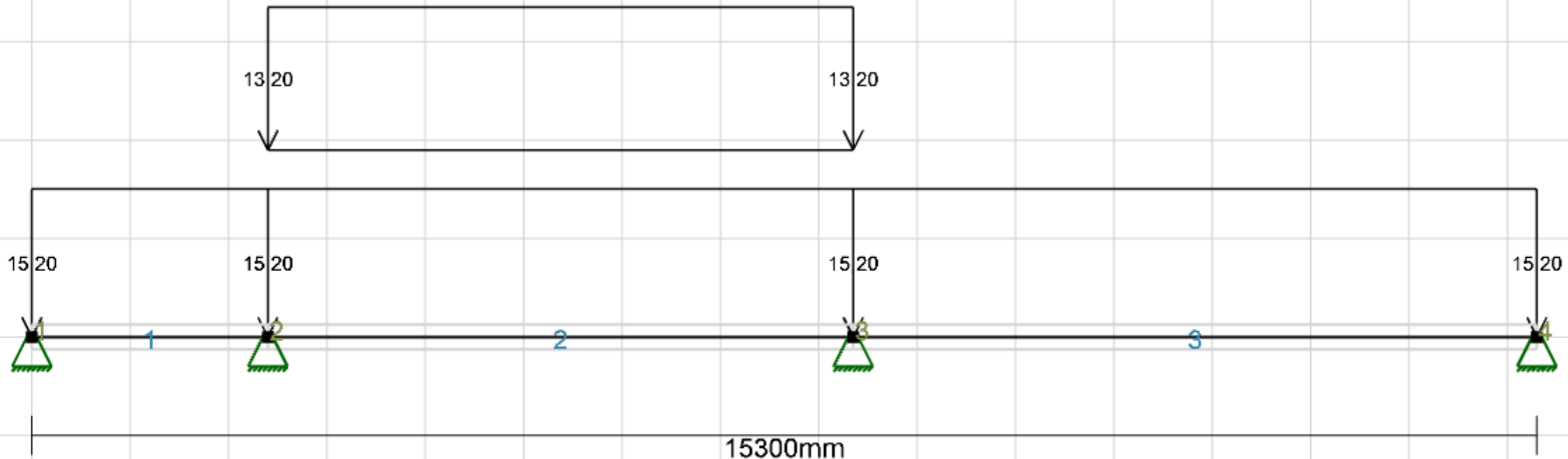
RS2 x-retning, kombinasjon 5



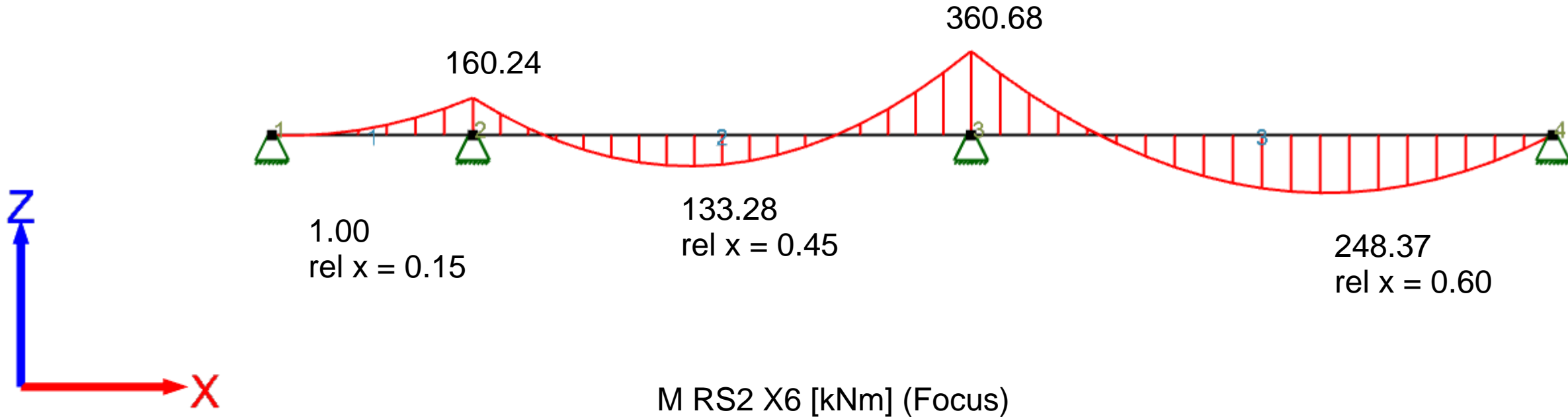


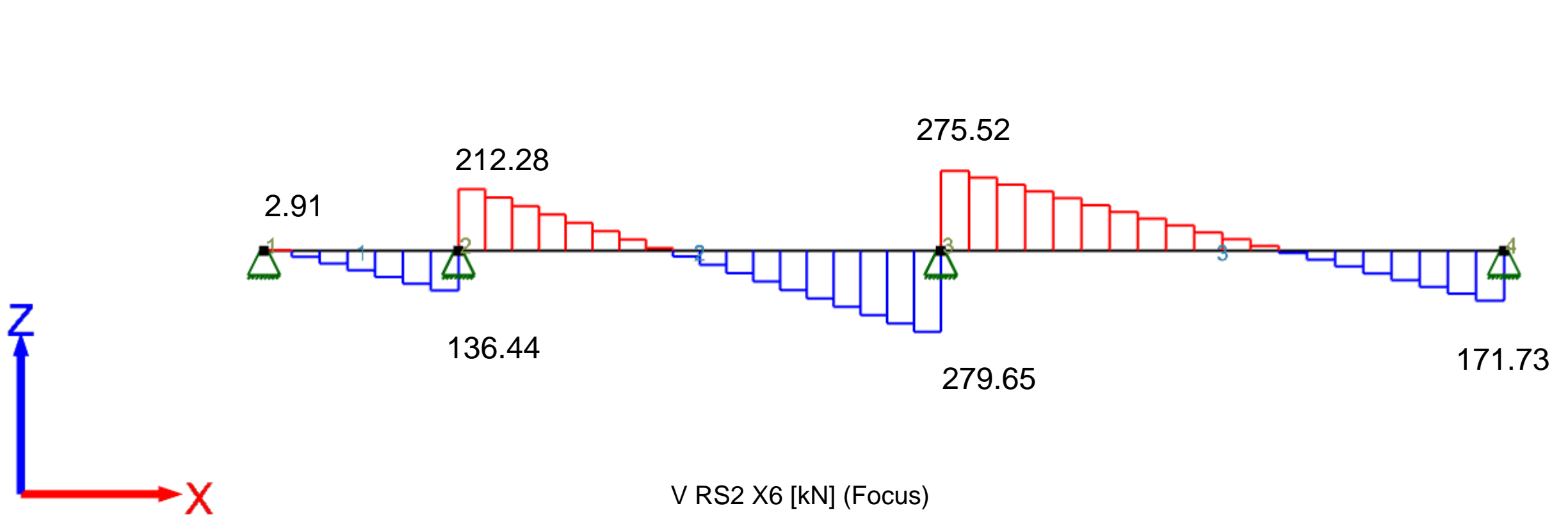


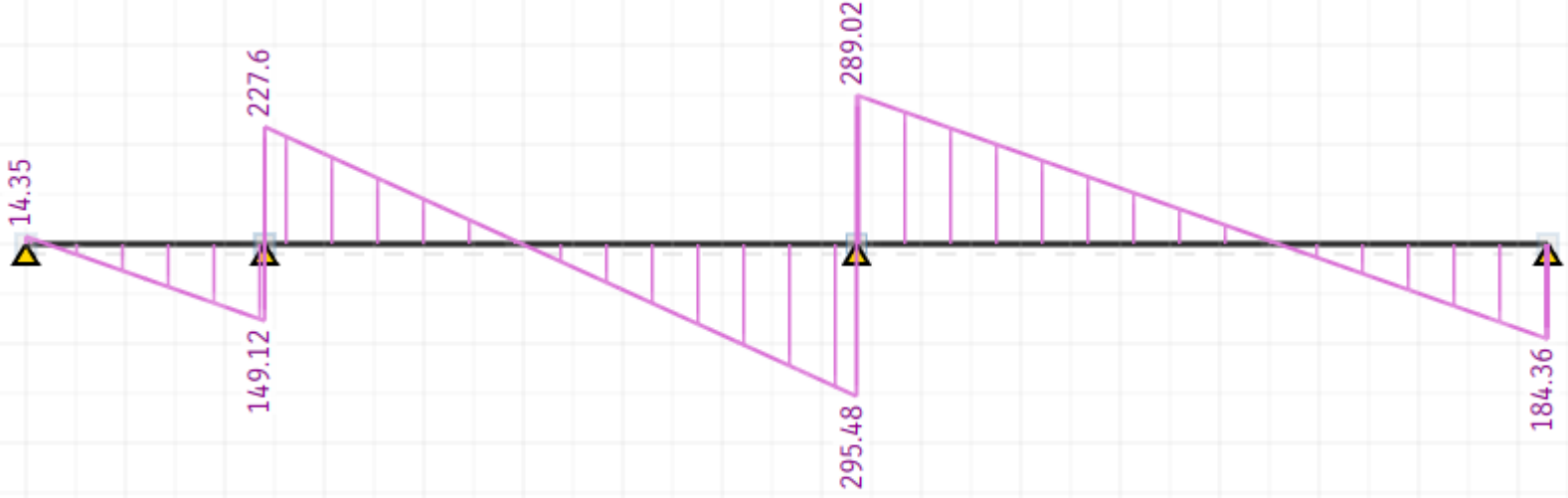
V RS2 X5 [kN] (STRIAN)



RS2 x-retning, kombinasjon 6







V RS2 X6 [kN] (STRIAN)

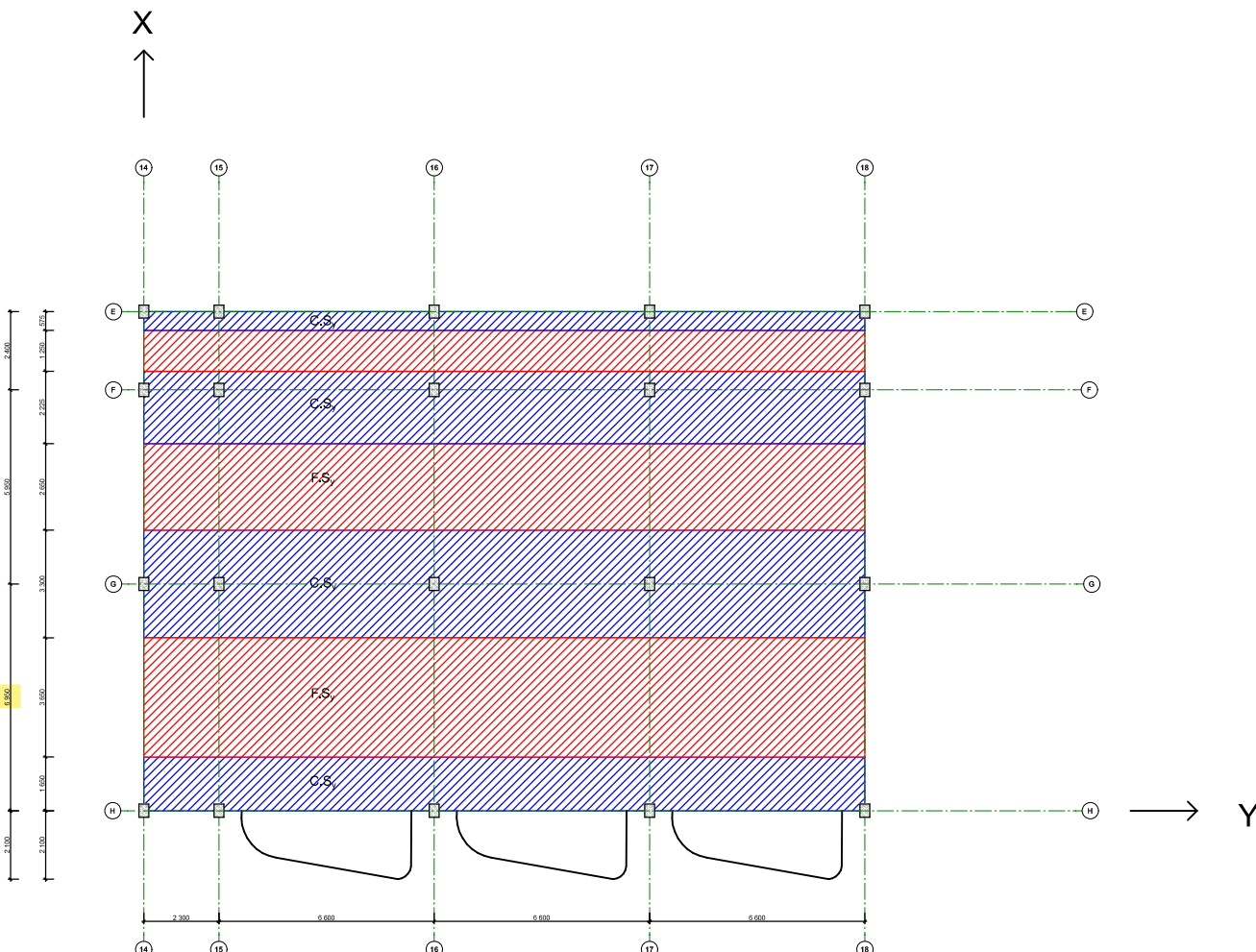
Merknader:



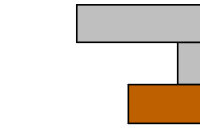
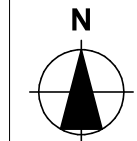
S.S = Søyle stripe



F.S = Felt stripe



Lokalisering:



Prosjekteringsgruppen

● ARK : Skibnes Arkitekter Dronningens gate 66
7012 Trondheim Tlf.: 735 15 830 arkitek@skibnes.no

● RIB : K.K, A.R, & M.A NTNUI Institutt for
konstruksjonsteknikk

● Veileder Jan Arve Øverli NTNUI Institutt for
konstruksjonsteknikk

Fase

Detaljprisjektering

Tiltakshavere

**Arijus Ruzgys, Konstantin
Koval, & Musab Ahmad**

Prosjekt

Bachelor oppgave Lade Alle
Lade Alle 84
7041 Trondheim

Prosjektnr.:
Gruppe9

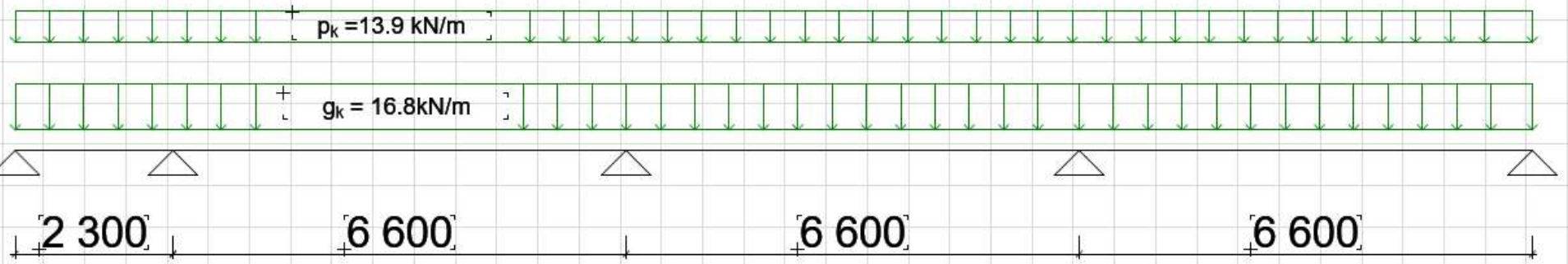
Dato
25.03.2023

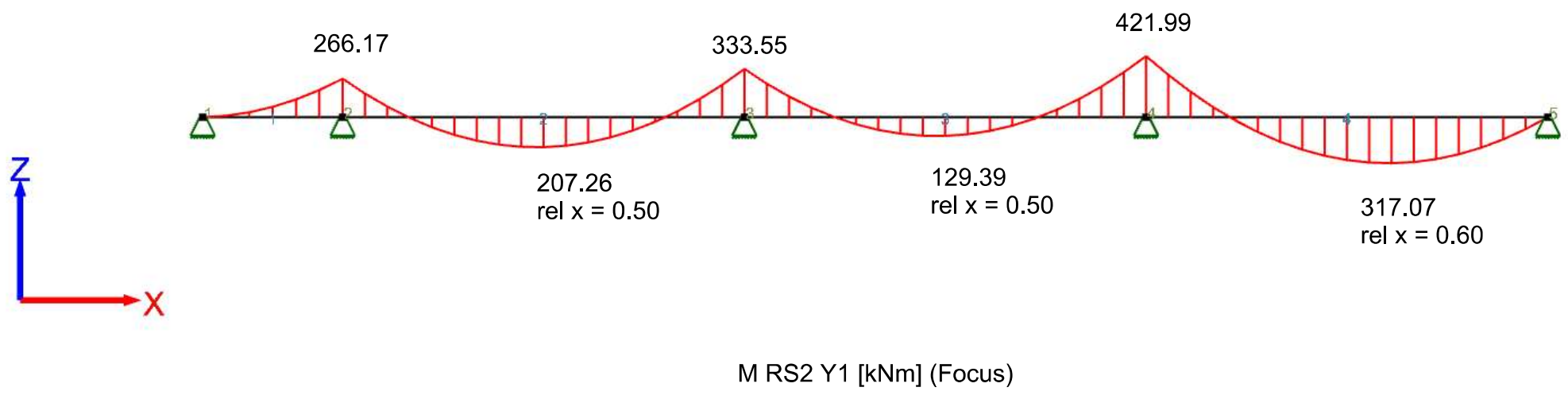
Type tegning:
Stripeinnndeling RS2 Y-retning

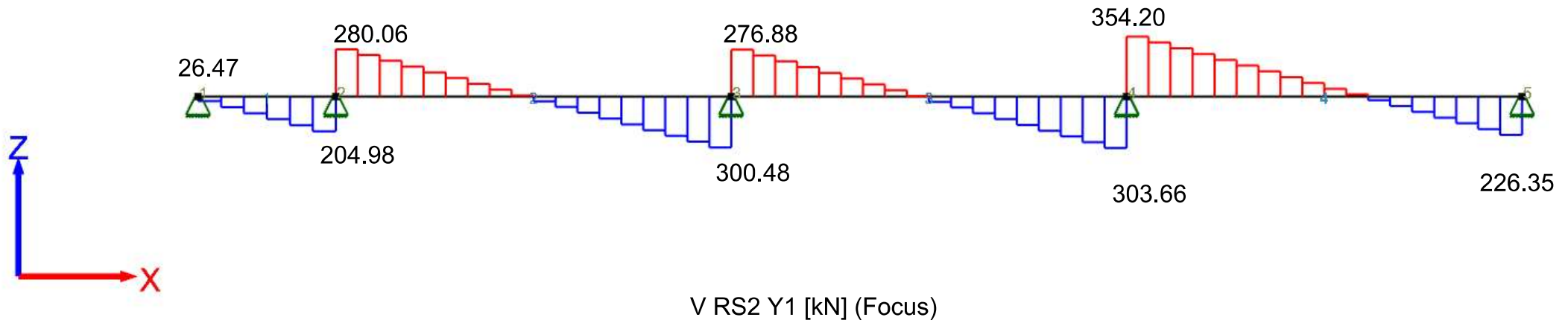
Målestokk
1:50

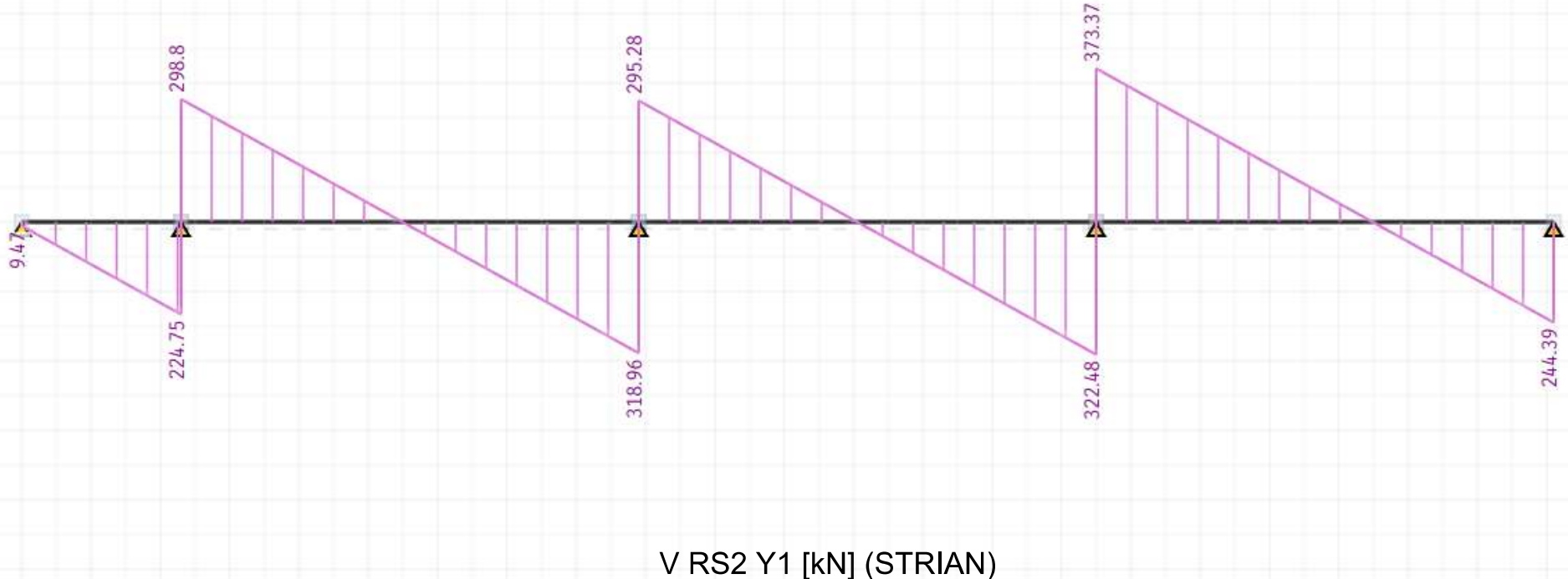
Dimensjonerende dekkestripe i RS2 i Y-retning. $b_{max} = 6.95$ m

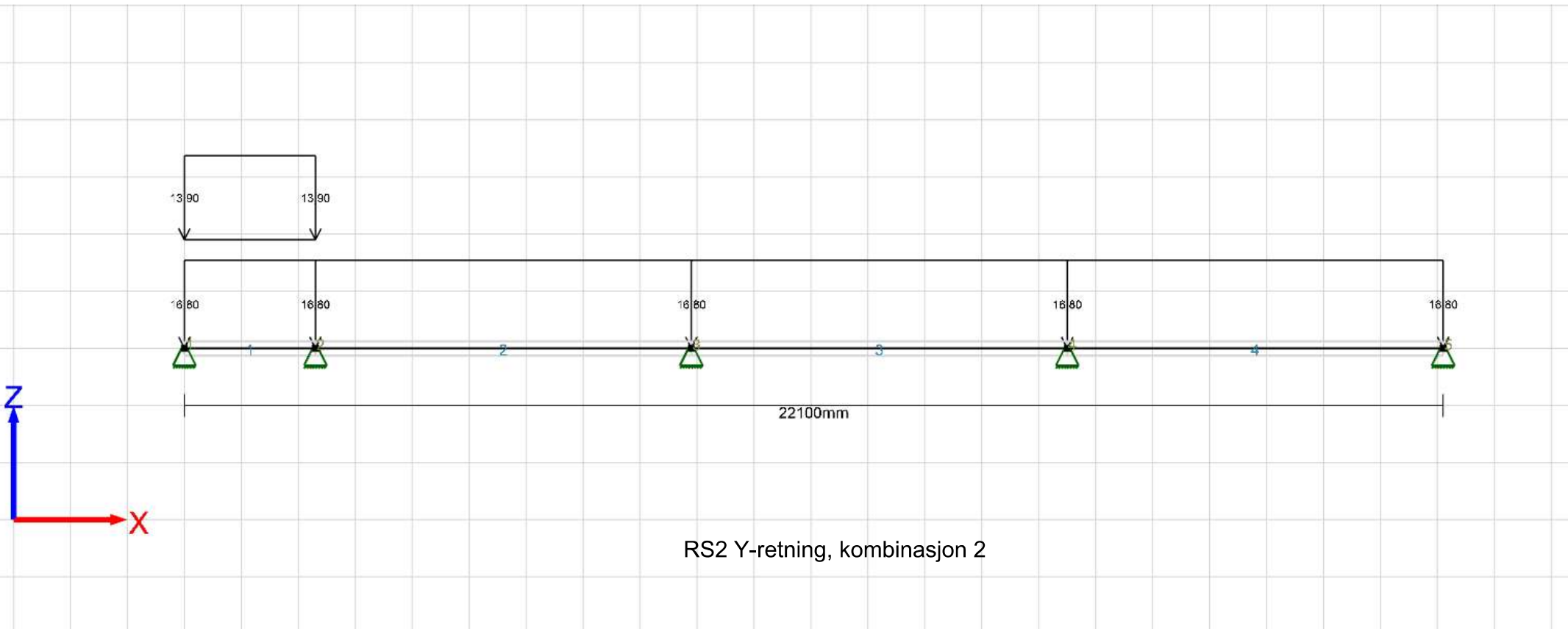
Kombinasjon 1

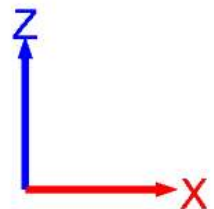
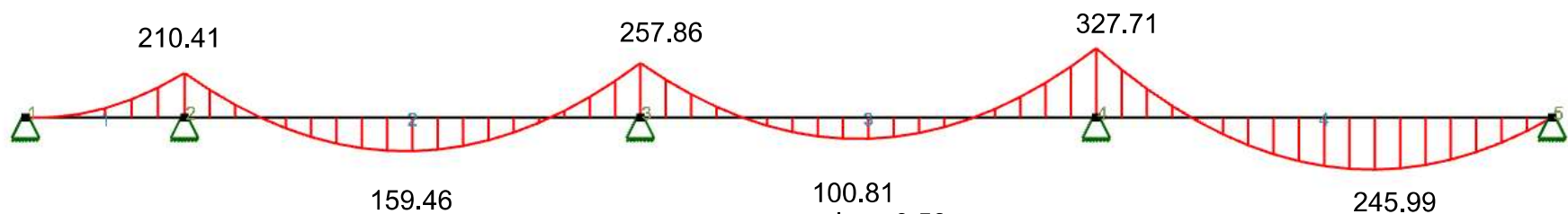




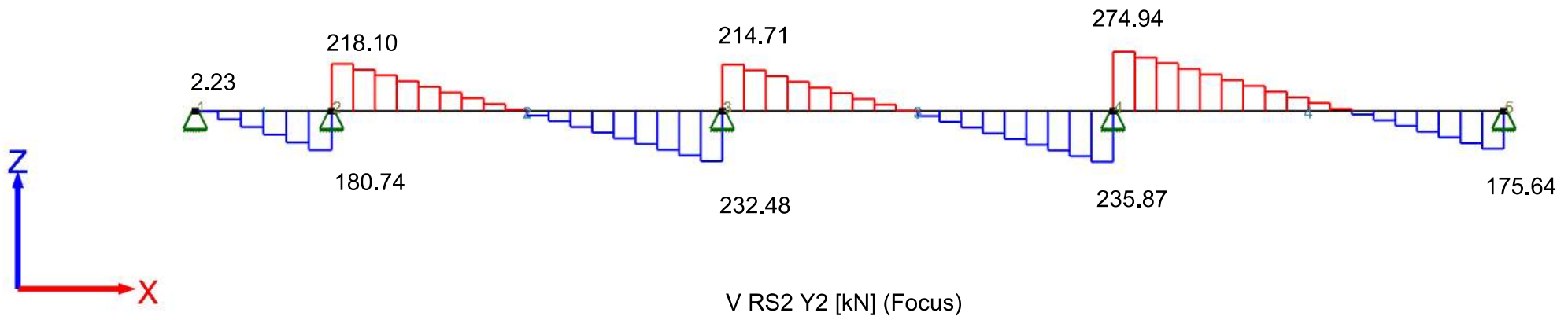


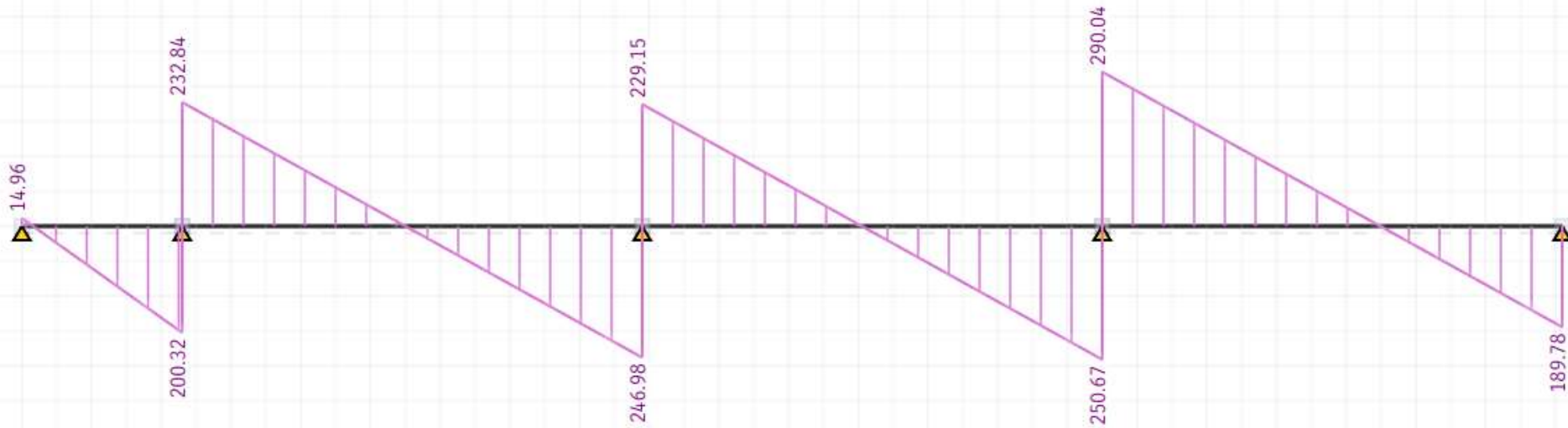




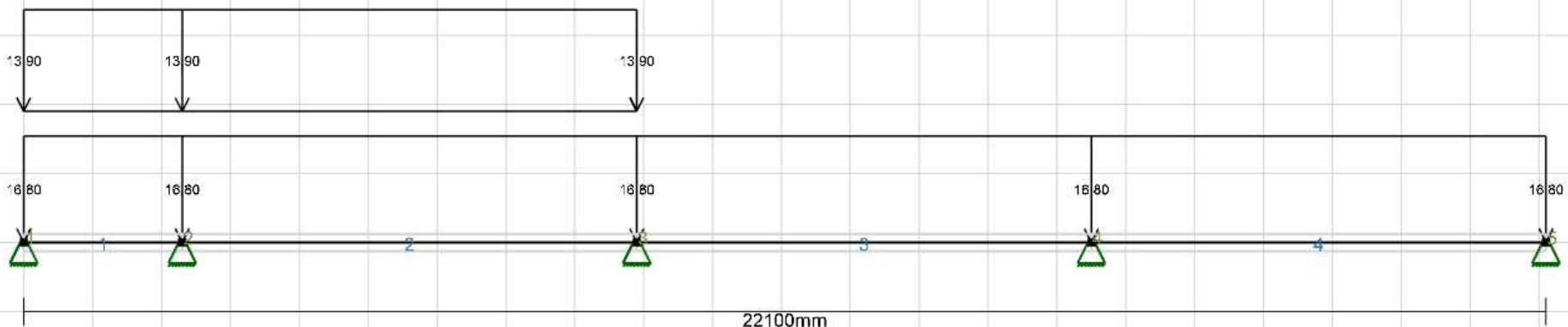
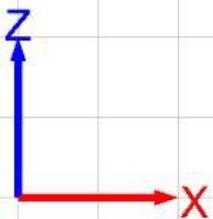


M RS2 Y2 [kNm] (Focus)

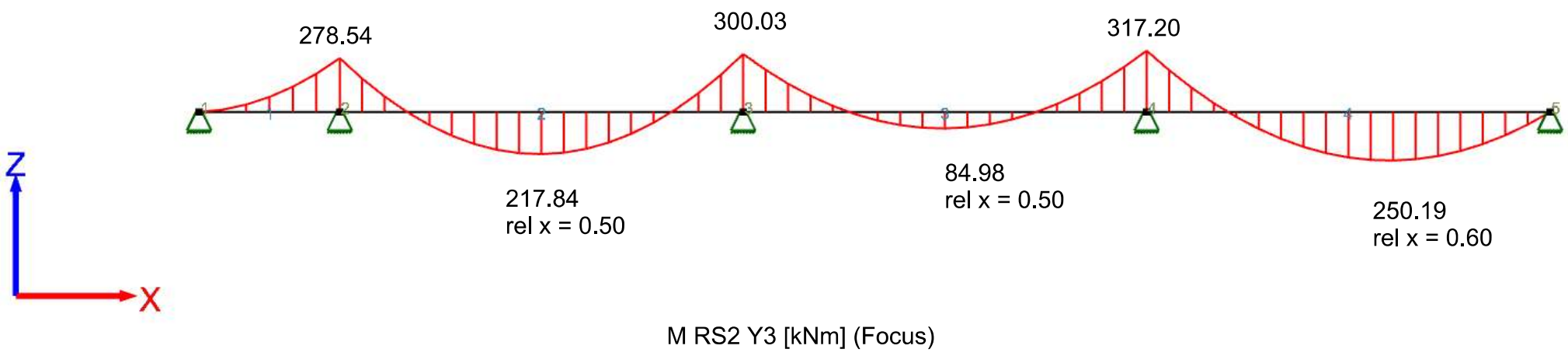


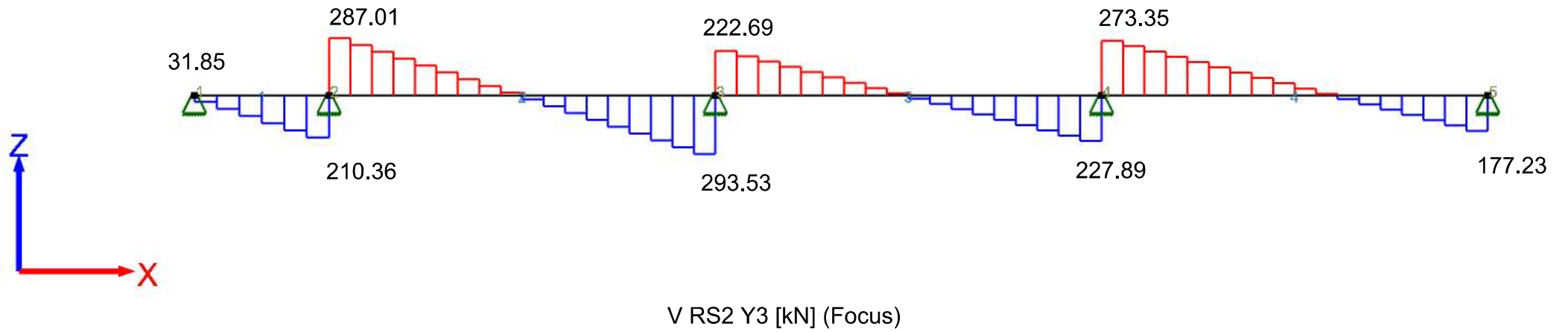


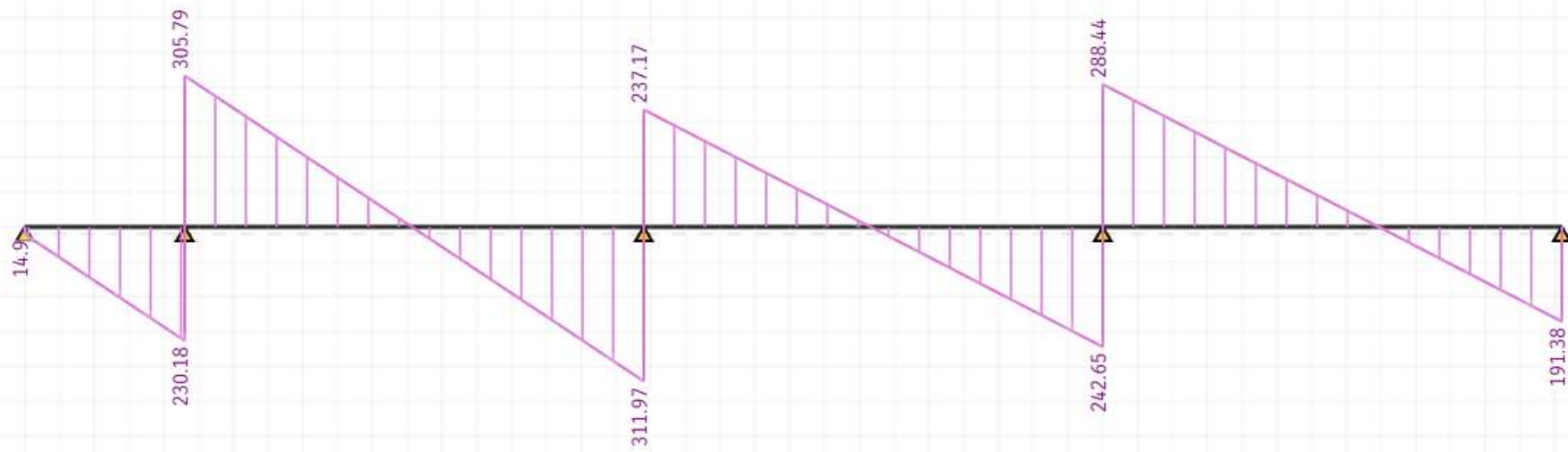
V RS2 Y2 [kN] (STRIAN)



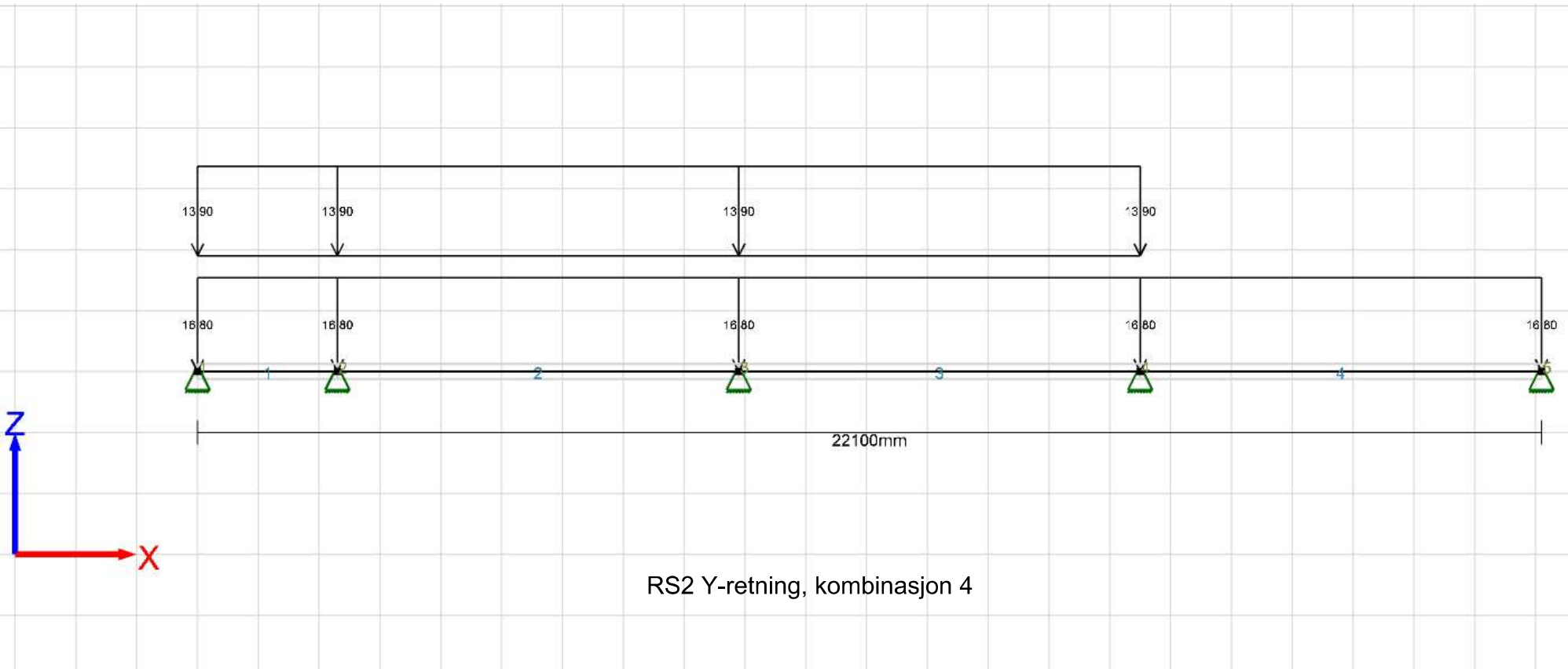
RS2 Y-retning, kombinasjon 3

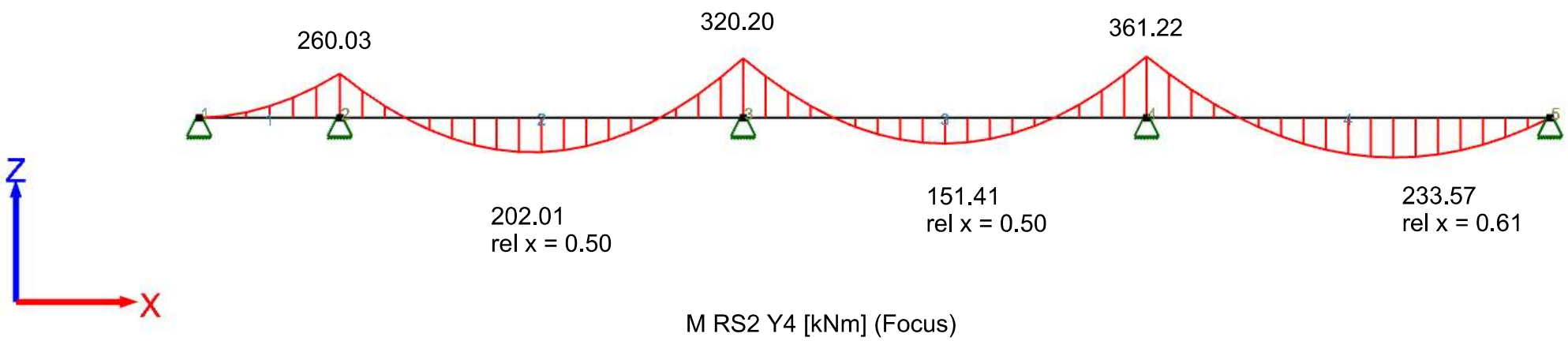


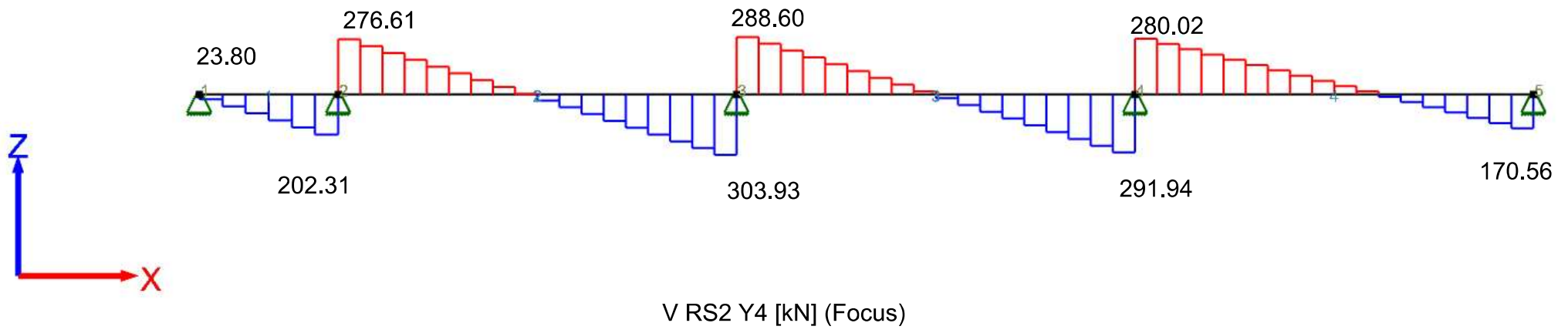


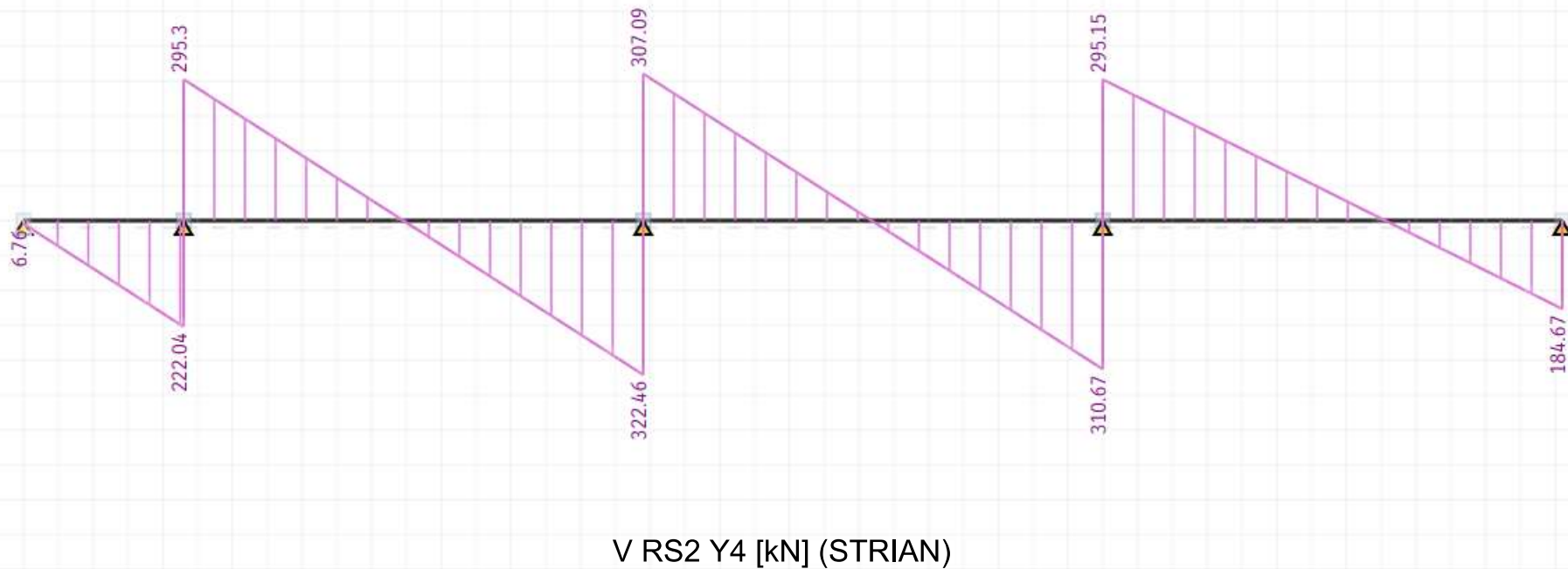


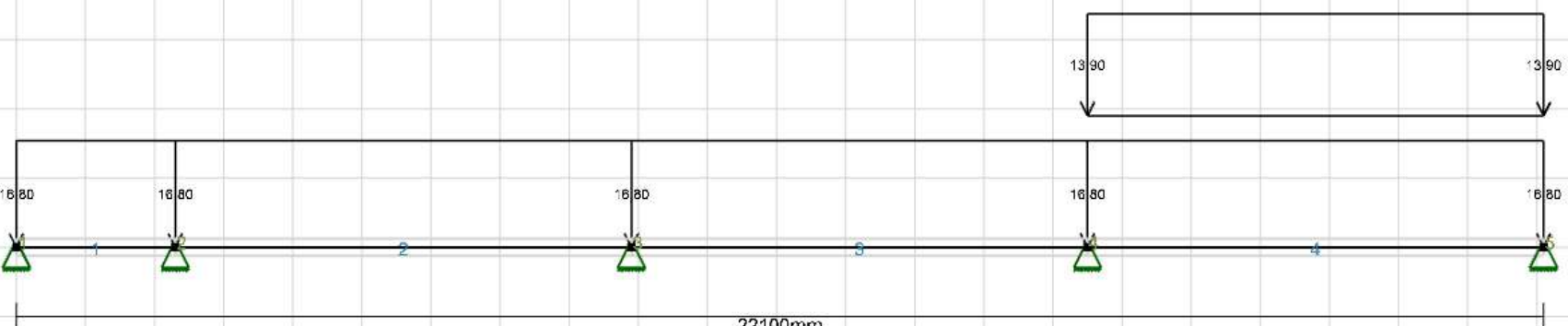
V RS2 Y3 [kN] (STRIAN)



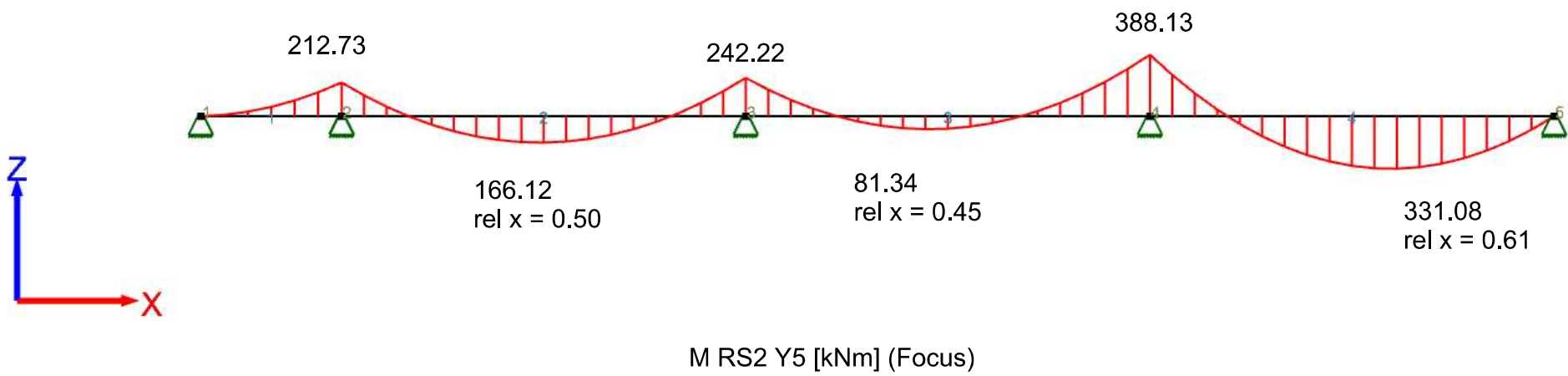


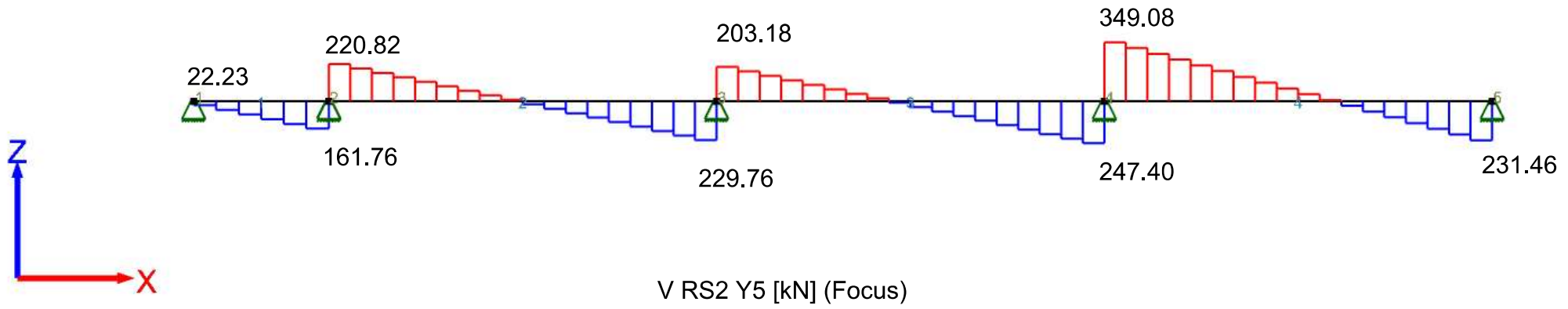


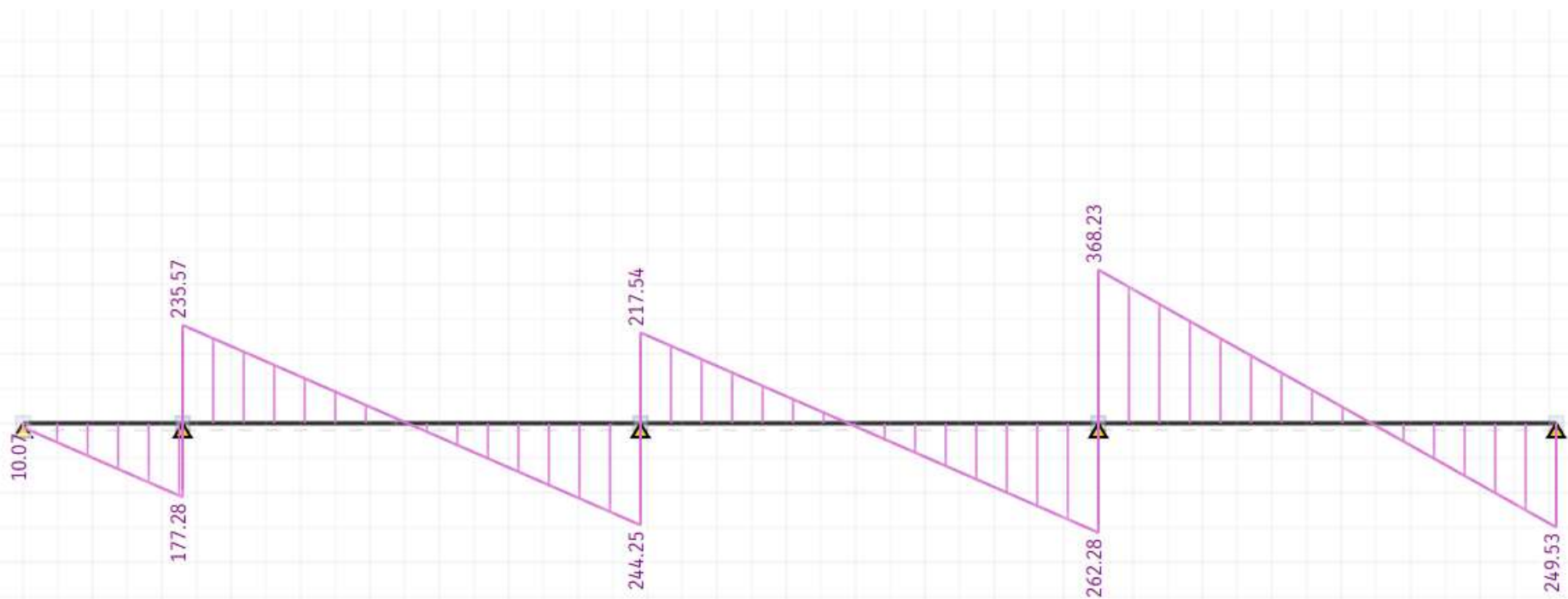




RS2 Y-retning, kombinasjon 5







V RS2 Y5 [kN] (STRIAN)

Y-retning

$$b_{max} = 6.95 \text{ m}$$

Største bredde blant alle ekvivalente rammer i y-retning, bruker kun denne for å spare tid

$$g_{yttervegg} = 0.8 \frac{kN}{m^2}$$

Ytterveggenes egenlaster tas med

--> I focus skrives inn:

$$g_k = \left(2.3 \frac{kN}{m^2} \cdot 6.95 \text{ m} \right) + 0.8 \frac{kN}{m} = 16.8 \frac{kN}{m}$$

$$p_k = 2 \frac{kN}{m^2} \cdot 6.95 \text{ m} = 13.9 \frac{kN}{m}$$

--> I STRIAN skrives inn:

$$g_{ED} = ((2.3 + 6.3) \cdot 6.95) + 0.8 \cdot 1.2 = 72.7 \frac{kN}{m}$$

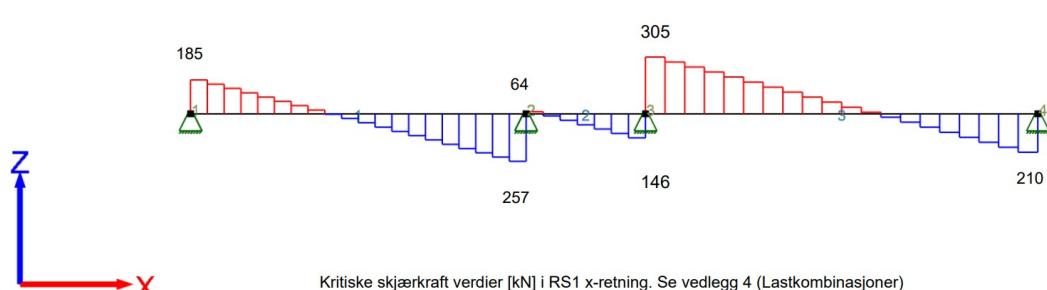
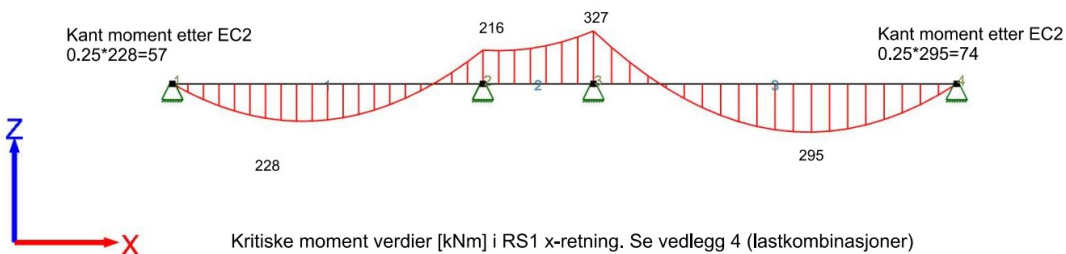
$$q_{ED} = \left(2.0 \frac{kN}{m^2} \cdot 6.95 \text{ m} \right) \cdot 1.5 = 20.9 \frac{kN}{m}$$

Denne siden er satt med vilje tom

Vedlegg 5: Kapasitetsberegninger og armering av flattdekkene 2- 4 ETG, sone RS1 i ULS

X-retning

Maksimale M- og V-verdier: (se vedlegg 4 for alle studerte kombinasjoner, de vesrste er tatt i diagrammene nedenfor)



Forutsetninger:

Materialer B35 $f_{cd} = \alpha_{cc} \cdot \frac{f_{ck}}{\gamma_c} = 0.85 \cdot \frac{35 \text{ MPa}}{1.5} = 19.8 \text{ MPa}$

$$E_{cm} = 34000 \text{ MPa} \quad f_{ctm} = 3.2 \text{ MPa} \quad f_{ctk.0.05} = 2.2 \text{ MPa}$$

$$\varepsilon_{c2} = 2.0 \% \quad \varepsilon_{cu2} = 3.5 \% \quad \text{Sement type N}$$

B500NC $f_{yd} = \frac{f_{yk}}{\gamma_s} = \frac{500 \text{ MPa}}{1.15} = 434 \text{ MPa}$

Overdekning Inne $C_{nom} = 25$ Se rapporten kapittel x

Balkong $C_{nom} = 35$ Se rapporten kapittel x

Armering	Benytter Ø16 som strekkarmering	Benytter Ø10 som svinnarmering og fordelsarmering der det trengs
Effektive høyder (d)	Dekke i balkong	$d = 200 - 35 - 8 = 157 \text{ mm}$
	Dekke inne	$d_x = 250 - 25 - 8 = 217 \text{ mm}$

Armering av balkongplatene

Det er 3 balkong typer (se tegninger) i RS1, de har ujevn geometri, og 2 ulike maksimal utstikkslengder. Disse er $l = 2 \text{ m}$ og 2.4 m . Velger å armere for balkongene med $l = 2.4 \text{ m}$ og gir samme armeringsmengder for de med $l = 2 \text{ m}$ for å unngå lang regnetid

Laster på balkongen i bruksgrensetilstand (per 1m bred stripe)

$$p_{k.balkong} = 4.0 \frac{kN}{m^2} \cdot 1 \text{ m} = 4.0 \frac{kN}{m}$$

$$g_{k.balkong} = 25 \frac{kN}{m^3} \cdot 0.2 \text{ m} = 5 \frac{kN}{m^2} \cdot 1 \text{ m} = 5 \frac{kN}{m}$$
NS-EN 1991-1-1

Laster på balkongene i bruddgrensetilstand (per 1m bred stripe)

$$p_{ED.balkong} = 4.0 \frac{kN}{m} \cdot 1.5 = 6 \frac{kN}{m}$$

$$g_{ED.balkong} = 5.0 \frac{kN}{m} \cdot 1.2 = 6 \frac{kN}{m}$$

$$q_{ED.balkong} = 12 \frac{kN}{m}$$

* Dimensjonrende moment og skjærkraft i balkongene blir:

$$M_{ED.balkong} = \frac{q_{ED.balkong} \cdot l_{balkong}^2}{2} = \frac{12 \frac{kN}{m} \cdot (2.4 \text{ m})^2}{2} = 35 \text{ kNm}$$

$$V_{ED.balkong} = q_{ED.balkong} \cdot l_{balkong} = 12 \frac{kN}{m} \cdot (2.4 \text{ m}) = \approx 29 \text{ kN}$$

$$M_{ED.balkong} = 35 \frac{\text{kNm}}{m}$$

Regner for 1m bred balkongdekke

$$M_{RD} = 0.275 \cdot f_{cd} \cdot b \cdot d^2 = 0.275 \cdot 19.8 \cdot 1000 \cdot 157^2 = 134 \text{ kNm} > M_{ED.balkong}$$

Delvis utnyttet trykksone! kan øke indremomentarmen z

$$z = \left(1 - 0.17 \cdot \frac{M_{ED}}{M_{RD}}\right) \cdot d = \left(1 - 0.17 \cdot \frac{35}{134}\right) \cdot 157 \approx 150 \text{ mm} > 0.95 \text{ d} = 149.5 \text{ mm}$$

$$A_s = \frac{M_{ED}}{f_{yd} \cdot z} = \frac{35 \cdot 10^6}{434 \cdot 149.5} = 539 \frac{\text{mm}^2}{\text{m}}$$

$$A_{smin} = 0.26 \cdot \frac{f_{ctm}}{f_{yk}} \cdot b_t \cdot d = 0.26 \cdot \frac{3.2}{500} \cdot 1000 \cdot 157 = 261 \frac{\text{mm}^2}{\text{m}}$$

$$n = \frac{539}{\pi \cdot 8^2} \approx 3 \frac{\text{stenger}}{\text{m}} \quad s = \frac{1000}{3} = 333.33 \frac{\text{mm}}{\text{m}} \approx 330 \frac{\text{mm}}{\text{m}}$$

Etter EC2-1-1 9.3.1.1(2), fordelsarmering må plasseres vinkelrett til hovedarmering av balkongene (benytter Ø10):

$$A_{s,fordel} = 0.20 \cdot A_s = 0.20 \cdot 578 \text{ mm} = 116 \text{ mm}^2$$

$$n = \frac{116}{\pi \cdot 5^2} \approx 2 \frac{\text{stenger}}{\text{m}}$$

Etter EC2-1-1 9.3.1.1(3), må armeringsplassering ikke overskirde:

$$s_{max;slab} = 3 \text{ h} = 750 \text{ mm} \leq 250 \text{ mm} = 250 \text{ mm} \quad \text{For hoved armering}$$

$$s_{max;slab} = 3 \text{ h} = 750 \text{ mm} \leq 400 \text{ mm} = 400 \text{ mm} \quad \text{For fordelsarmering}$$

--> Da velger hoved- og fordelsarmeringen **per 1 m bredde** slik:

$$A_s = \frac{5 \text{ Ø16}}{m}; s200mm$$

$$A_{s,fordel} = 5 \text{ Ø10}; s200mm$$

Skjærkapasitet av balkongplatene

* Benytter kravene i EC2-1-1 6.2

* Regner balkong platene uten behov for skjærarmering EC2-1-1 6.2.2 per 1m bredde

$$V_{ED} = 29 \frac{kN}{m}$$

$$A_s = 4 \text{ Ø16} = 256 \text{ } \pi$$

$$b_w = 1000 \text{ mm}$$

$$d = 157 \text{ mm}$$

$$\rho_l = \frac{A_s}{b_w d} = 0.0064$$

$$k = 1 + \sqrt{\frac{200}{d}} \leq 2.0 \quad \rightarrow \quad k = 2.0$$

$$C_{Rdc} = \frac{0.18}{\gamma_c} = \frac{0.18}{1.5} = 0.12$$

$$V_{Rdc} = C_{Rdc} \cdot k \cdot \sqrt[3]{100 \cdot \rho_l \cdot f_{ck}} \cdot b_w \cdot d = 106 \frac{kN}{m} > V_{ED} \quad \text{ok}$$

$$V_{min} = v_{min} \cdot b_w \cdot d = \left(0.035 \cdot k^{\frac{3}{2}} \cdot \sqrt{f_{ck}}\right) \cdot b_w \cdot d = 91.9 \text{ kN} < V_{Rd;c} \quad \text{ok}$$

$$V_{Rd,max} = 0.5 \cdot b_w \cdot d \cdot v \cdot f_{cd} = 0.5 \cdot b_w \cdot d \cdot \left(0.6 \cdot \left(1 - \frac{f_{ck}}{250}\right)\right) \cdot f_{cd} = 802 \frac{kN}{m} > V_{ED}$$

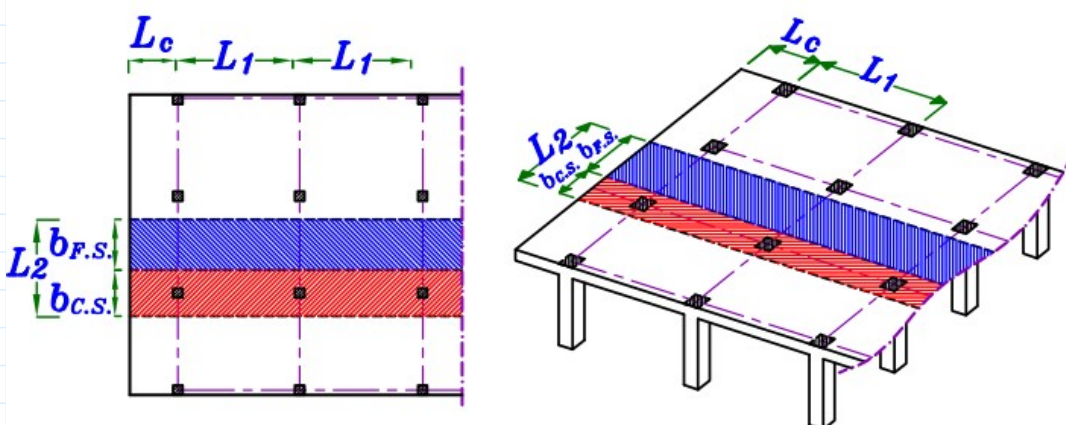
ok

Ingen behov for skjærarmering av platene, og skjærlapistet er tilstrekkelig i både skjærstrekks og skjærtrykk

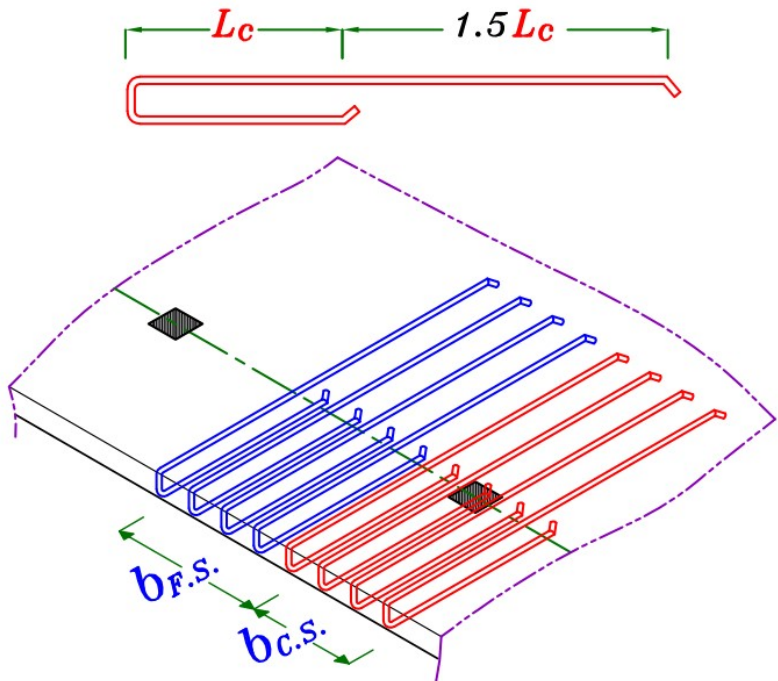
Forankring av lengde armering i balkongene

Etter EC2-1-1 8.4.3 gir krav for beregning av kraftinnføringslengde av hoved armering, men en annen kilde benytter en kraftinnføringslengde på 1.5 ganger lengden på utkragere.

siden balkongene er fastholdt til platene fra 1 side, benyttes her en kraft innføringslengde på 1.5 ganger balkongenes maksimal utstikkslengde



Created with K



Dette gir en forankringslengde lik:

$$l_{bd} = 1.5 \cdot l_{balkong} = 1.5 \cdot 2.4 \text{ m} = 3.6 \text{ m}$$
 Balkong type 1

og $l_{bd} = 1.5 \cdot 2 \text{ m} = 3 \text{ m}$

 Balkong type 2 & type 7

Armering av platene i etasjeskillere

$$b_{F.S} = 2800 \text{ mm} = b_{S.S}$$

Breddene av felt- og søylestripene i den ekvivalente bjelken som ble analysert i veddlegg 4

Valgt Momentfordeling etter EC2-1-1 TABELL I.1

Momentene som gir strekk O.K.: Feltstripe: 80% Feltstripe: 20%

Momentene som gir strekk U.K.: Feltstripe: 50% Feltstripe: 50%

Topparmering av de frie kantene langs akse A Krav etter EC2-1-1 9.3.1.2(2) & 9.3.1.4(1)

Feltstriper -Søylestriper(lik total momentfordeling 80%-20%)

$$d_x = 201 \text{ mm}$$

$$M_{kant,topp;F.S.} = 0.80 \cdot 57 \text{ kNm} = 46 \text{ kNm}$$

$$M_{kant,topp;S.S.} = 0.20 \cdot 74 \text{ kNm} = 14.8 \text{ kNm}$$

$$M_{Rd} = 0.275 \cdot 19.8 \cdot 2800 \cdot 201^2 = 616 \text{ kNm} > M_{ED}$$

$$z = \left(1 - 0.17 \cdot \frac{M_{ED}}{M_{RD}}\right) \cdot d = \left(1 - 0.17 \cdot \frac{46}{616}\right) \cdot 201 = 198.4 \text{ mm} > 0.95 \text{ d} = 190.95 \text{ mm}$$

$$A_s = \frac{M_{ED}}{f_{yd} \cdot z} = \frac{46 \cdot 10^6}{434 \cdot 190.95} = 555 \text{ mm}^2$$

$$A_{s,min} = 0.26 \cdot \frac{f_{ctm}}{f_{yk}} \cdot b_t \cdot d = 0.26 \cdot \frac{3.2}{500} \cdot 2800 \cdot 201 = 936 \text{ mm}^2$$

Benytter As,min!!

$$n = \frac{936}{\pi \cdot 8^2} \approx 5 \text{ jern} \quad s = \frac{2800 \text{ mm}}{5} = 560 \text{ mm}$$

* EC2-1-1 9.3.1.1(3)+N.A:

Avstanden mellom stenger må tilfredsstille kravet:

$$2 \cdot h \leq 250 \text{ mm} \rightarrow 3 \cdot 250 \text{ mm} = 750 \text{ mm} > 250 \text{ mm}$$

$$s_{max} = 250 \text{ mm}$$

Avstanden mellom stengene må ikke overskirde denne verdien for å holde riss og nedbøyninger under kontroll

Armeringen i de frie kantene langsakse A i søyle- og fletstripene blir:

$$A_s = \frac{12 \varnothing 16}{2800 \text{ mm}}$$

* Armeringen skal inn platen en avstand
0.2 x spennvidden etter EC2-1-1 9.3.1.2(2)

$$0.2 \cdot 5900 = 1180 \approx 1200 \text{ mm}$$

Topparmering av de frie kantene langs akse D Krav etter EC2-1-1 9.3.1.2(2) & 9.3.1.4(1)

Feltstriper -Søylestriper(lik total momentfordeling 80%-20%)

$$d_x = 201 \text{ mm}$$

$$M_{kant;topp;F.S.} = 0.80 \cdot 74 \text{ kNm} = 59.2 \text{ kNm}$$

$$M_{kant;topp;S.S.} = 0.20 \cdot 74 \text{ kNm} = 14.8 \text{ kNm}$$

I dekkets kant langs akse D både felt og søylestripene vil Asmin dominere, armeringen blir

$$A_s = \frac{12 \varnothing 16}{2800 \text{ mm}}$$

Armeringen skal inn platen en avstand 0.2 x spennvidden etter EC2-1-1 9.3.1.2(2)

$$0.2 \cdot 6900 \approx 1400 \text{ mm}$$

Armering av midtfelt mellom aksene A-B

Feltstriper & søylestriper (lik totalmomentfordeling 50%-50%)

$$d_x = 217 \text{ mm}$$

$$M_{Ed} = 0.5 \cdot M_{felt.tot} = 0.5 \cdot 228 \text{ kNm} = 114 \text{ kNm}$$

$$M_{Rd} = 0.275 \cdot 19.8 \cdot 2800 \cdot 217^2 \cdot 10^{-6} = 718 \text{ kNm} > M_{Ed}$$

$$z = \left(1 - 0.17 \cdot \frac{M_{ED}}{M_{RD}}\right) \cdot d = \left(1 - 0.17 \cdot \frac{114}{718}\right) \cdot 217 \text{ mm} \approx 211 \text{ mm} > 0.95 \text{ d} = 206 \text{ mm}$$

$$A_s = \frac{M_{ED}}{f_{yd} \cdot z} = \frac{114 \cdot 10^6}{434 \cdot 206} \approx 1275 \text{ mm}^2$$

$$A_{s,min} = 0.26 \cdot \frac{3.2}{500} \cdot 2800 \cdot 217 = 1011 \text{ mm}^2$$

$$n = \frac{1275}{\pi \cdot 8^2} \approx 17 \text{ jern}$$

$$s = \frac{2800}{7} = 400 \text{ mm}$$

Må akseptere etter EC2:

$$s_{max} = 250 \text{ mm}$$

$$n = \frac{2800}{250} \approx 12$$

Armering i søyle- og feltstripene:

$$A_s \frac{12 \varnothing 16}{2800 \text{ mm}}$$

Armering til støttemomentet i akseB

Feltet mellom aksene B & C har strekk O.K, dette medfører at topparmeringen over akse C skal løpe kontinuerlig over hele feltet siden momentet over akse C er større enn over akse B

Armering av midtfelt mellom aksene B-C

I bunnen av feltet mellom aksene B & C armeres det med minimumsarmering (for både felt- og søylestripene) siden det er ingen moment som gir strekk underkant!

$$d_x = 217 \text{ mm}$$

$$A_{s,min} = 0.26 \cdot \frac{3.2}{500} \cdot 2800 \cdot 217 = 1011 \text{ mm}^2$$

$$n = \frac{1011}{\pi \cdot 8^2} \approx 6 \text{ jern} \quad s = \frac{2800}{6} = 466 \text{ mm}$$

Må akseptere etter EC2:

$$s_{max} = 250 \text{ mm}$$

$$n = \frac{2800}{250} \approx 12$$

Armering i h.h.v. søyle og feltstripene:

$$A_s = \frac{12 \text{ Ø}16}{2800 \text{ mm}}$$

Armering til støttemomentet i akse C

Søylestriper (80% av totale M)

$$d_x = 201 \text{ mm}$$

$$M_{ED} = 0.8 \cdot M_{støtte,tot} = 0.8 \cdot 327 \text{ kNm} = 262 \text{ kNm}$$

$$M_{Rd} = 616 \text{ kNm} > M_{ED}$$

$$z = \left(1 - 0.17 \cdot \frac{M_{ED}}{M_{RD}}\right) \cdot d = \left(1 - 0.17 \cdot \frac{262}{616}\right) \cdot 201 \text{ mm} \approx 186.5 \text{ mm}$$

$$A_s = \frac{M_{ED}}{f_{yd} \cdot z} = \frac{262 \cdot 10^6}{434 \cdot 186.5} \approx 3237 \text{ mm}^2$$

$$A_{s,min} = 726 \text{ mm}^2$$

$$n = \frac{3237}{\pi \cdot 8^2} \approx 16 \text{ jern} \quad s = \frac{2800}{16} = 175 \text{ mm}$$

$$A_s = 16 \text{ Ø}16; s = 175 \text{ mm}$$

Utgår (se forankringslengder for søylestripene nedenfor)

Feltstriper (20% av totale M)

$$d_x = 201 \text{ mm}$$

$$M_{ED} = 0.2 \cdot M_{støtte.tot} = 0.2 \cdot 327 \text{ kNm} = 65.4 \text{ kNm}$$

$$M_{Rd} = 616 \text{ kNm} > M_{ED}$$

$$z = \left(1 - 0.17 \cdot \frac{M_{ED}}{M_{RD}}\right) \cdot d = \left(1 - 0.17 \cdot \frac{65.4}{616}\right) \cdot 201 \text{ mm} \approx 197.4 \text{ mm} > 0.95 \text{ d} = 190.95$$

$$A_s = \frac{M_{ED}}{f_{yd} \cdot z} = \frac{65.4 \cdot 10^6}{434 \cdot 190.95} \approx 789 \text{ mm}^2$$

$$A_{s,min} = 936 \text{ mm}^2$$

$$n = \frac{936}{\pi \cdot 8^2} \approx 5 \text{ jern}$$

$$s = \frac{2800}{5} = 560 \text{ mm}$$

Bruker maksimal avstand etter EC2

$$s = 250 \text{ mm}$$

Velger $A_s = \frac{12 \varnothing 16}{2800 \text{ mm}}$

Armering av midtfelt mellom aksene C-D

$$d_x = 217 \text{ mm}$$

$$M_{Ed} = 0.5 \cdot M_{felt.tot} = 0.5 \cdot 295 \text{ kNm} = 148 \text{ kNm}$$

$$M_{Rd} = 718 \text{ kNm} > M_{Ed}$$

$$z = \left(1 - 0.17 \cdot \frac{M_{ED}}{M_{RD}}\right) \cdot d = \left(1 - 0.17 \cdot \frac{148}{718}\right) \cdot 217 \text{ mm} \approx 209 \text{ mm} > 0.95 \text{ d} = 206 \text{ mm}$$

$$A_s = \frac{M_{ED}}{f_{yd} \cdot z} = \frac{148 \cdot 10^6}{434 \cdot 206} \approx 1655 \text{ mm}^2$$

$$A_{s,min} = 1011 \text{ mm}^2$$

$$n = \frac{1655}{\pi \cdot 8^2} \approx 9 \text{ jern}$$

$$s = \frac{2800}{9} \approx 311 \text{ mm}$$

Maksimal avstand etter EC2:

$$s_{max} = 250 \text{ mm}$$

$$n = \frac{2800}{250} \approx 12$$

Total armering søyle og feltstripene:

$$A_s = \frac{12 \varnothing 16}{2800 \text{ mm}}$$

Skjærkapasitet

Skjærkapasitetskontroll av platen er gjennomført for den største skjærkraften i hele platen, som er i sone RS2 (se vedlegg6) i akse G i x-retning. Det viser seg at kapasiteten er tisltrekkelig, og dermed skal ikke skjærkapasiteten kontrolleres her i RS1

Forankringslengder

Forankringslengder for armeringen over søylene regnes for det største momentet i x-retning (327kNm i akse C). Topparmeringen over alle søyler forankres etter moment nullpunktene til de maksimale momentene (216 i akse B) og (327kNm i akse C). Topparmeringen over alle andre søyle i x-retning får samme forankringslengder for å spare tid, siden momentnullpunktene er ikke så mye forskjellige over platen.

Opptredende total skjærkraft ved M=327 kNm

$$V_{ED} = 305 \text{ kN}$$

Momentnullpunktet til M=216kNm fra akse B mot akse A er funnet ved manuellbetraktnign av kombinasjon X3

$$l_0 = 1.0 \text{ m}$$

Momentnullpunktet til M=327kNm fra akse C mot akse D er funnet ved manuellbetraktnign av kombinasjon X4

$$l_0 = 1.3 \text{ m}$$

Forankringslengde i søylestripene

$$M_{ED} = 262 \text{ kNm}$$

$$V_{ED} = 0.8 \cdot 305 \text{ kN} = 244 \text{ kN}$$

$$A_s = 16 \text{ Ø}16$$

EC2-1-1 8.4.3 gir: $L_{b.rqd} = \frac{\phi}{4} \cdot \frac{\sigma_{sd}}{f_{bd}}$

$$\sigma_{sd} = \frac{\frac{M_{Ed}}{z} + \Delta F_{td}}{A_s} = \frac{\frac{262 \cdot 10^6}{186.5} + 244 \cdot 10^3}{16 \cdot \pi \cdot 8^2} = 512 \text{ MPa} > f_{yd}$$

Ikke akseptabelt, må øke armeringsarealet, prøver 20Ø16, s130mm

$$\sigma_{sd} = \frac{\frac{M_{Ed}}{z} + \Delta F_{td}}{A_s} = \frac{\frac{262 \cdot 10^6}{186.5} + 244 \cdot 10^3}{20 \cdot \pi \cdot 8^2} = 410 \text{ MPa} < f_{yd}$$

$$f_{bd} = 2.25 \cdot \eta_1 \cdot \eta_2 \cdot f_{ctd} = 2.25 \cdot \eta_1 \cdot \eta_2 \cdot \frac{f_{ctk0.05}}{\gamma_c} = 2.25 \cdot 1.0 \cdot 1.0 \cdot \frac{2.2 \text{ MPa}}{1.5} = 3.3 \text{ Mpa}$$

$$\Rightarrow L_{b.rqd} = \frac{16 \text{ mm}}{4} \cdot \frac{410 \text{ MPa}}{3.3 \text{ MPa}} = 497 \text{ mm}$$

Ny topparmering i søylestripene over akse C i x-retning:

$$A_s = \frac{20 \text{ Ø}16}{2800 \text{ mm}}$$

Ih.h.t. EC2-1-1 9.2.1.3 (2) & (3)(figur 9.2), skal denne armeringen forankres etter momentnullpunktet med avstand lik:

$$l_{b.rqd.tot} = l_0 + a_l + l_{bd}$$

For konstruksjoner uten behov for skjærarmering, blir: $a_l = d = 201$

Total forankringslengde av topparmering i **søylestripene** fra akse Fra akse **C mot D**:

$$l_{b.rqd.tot.1} = 1300 \text{ mm} + 201 \text{ mm} + 497 \text{ mm} \approx 2000 \text{ mm}$$

Topparmeringen løper kontinuerlig i feltet mellom aksene B &C

Total forankringslengde av topparmering i **søylestripene** Fra akse **B mot A**

$$l_{b.rqd.tot.2} = 1000 \text{ mm} + 201 \text{ mm} + 497 \text{ mm} \approx 1700 \text{ mm}$$

Forankringslengde i feltstripene

$$M_{ED} = 65.4 \text{ kNm}$$

$$V_{ED} = 0.2 \cdot 305 \text{ kN} = 61 \text{ kN}$$

$$A_s = \frac{12 \text{ Ø}16}{2800 \text{ mm}}$$

EC2-1-1 8.4.3 gir:

$$L_{b.rqd} = \frac{\phi}{4} \cdot \frac{\sigma_{sd}}{f_{bd}}$$

$$\sigma_{sd} = \frac{\frac{M_{Ed}}{z} + \Delta F_{td}}{A_s} = \frac{\frac{65.4 \cdot 10^6}{190.95} + 61 \cdot 10^3}{12 \cdot \pi \cdot 8^2} = 167 \text{ MPa} < f_{yd}$$

$$L_{b.rqd} = \frac{16 \text{ mm}}{4} \cdot \frac{167 \text{ MPa}}{3.3 \text{ MPa}} \approx 200 \text{ mm}$$

Total forankringslengde av topparmering i **søylestripene** fra akse **C mot D**:

$$l_{b.rqd.tot.1} = 1300 \text{ mm} + 201 \text{ mm} + 200 \text{ mm} \approx 1700 \text{ mm}$$

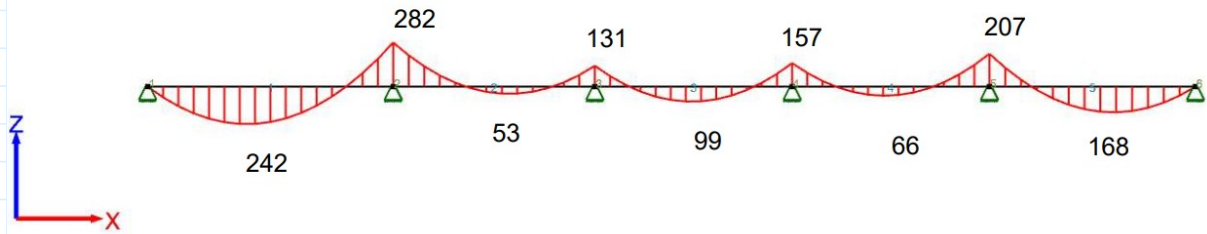
Topparmeringen løper kontinuerlig i feltet mellom aksene B & C

Total forankringslengde av topparmering i **feltstripene** Fra akse **B mot A**

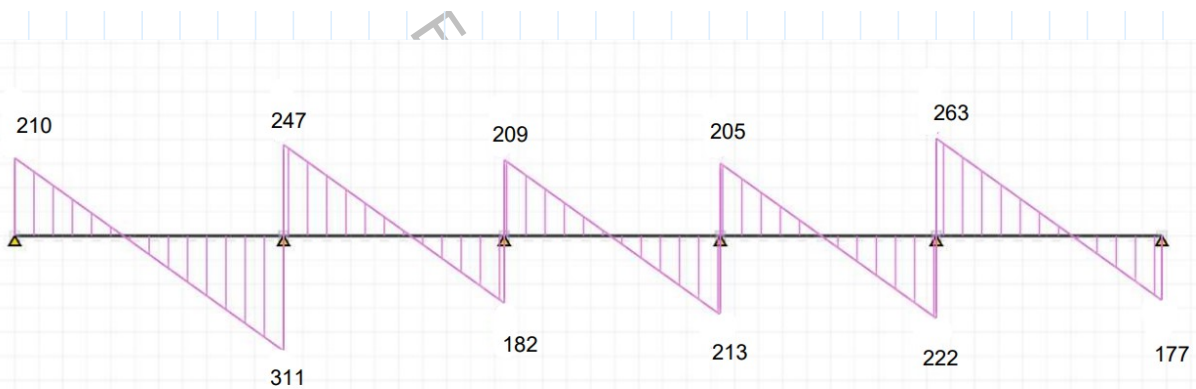
$$l_{b.rqd.tot.2} = 1000 \text{ mm} + 201 \text{ mm} + 200 \text{ mm} \approx 1400 \text{ mm}$$

Y-retning

Maksimale M- og V-verdier: (se vedlegg 4 for alle studerte kombinasjoner, de vesrste er tatt i diagrammene nedenfor)



Maksimale momentverdier [kNm] i RS1 Y-retning. Se vedlegg 4 (lastkombinasjoner)



Maksimale skjærkraftverdiene [kN] i RS1 Y-retning. Se vedlegg 4 (lastkombinasjoner)

Bredde på feltstipe:

$$b_{F.S.} = 4.1 \text{ m}$$

Bredde på søylestipe:

$$b_{S.S.} = 2.8 \text{ m}$$

Moment nullpunktene som brukes for å forankre topparmeringen over innersøyler:

Bruker nullpunktene maksimalmomentet ($M=282 \text{ kNm}$ i akse 2) for å forankre alle topparmeringen i felt- og søylestriper etter.

Momentnullpunktene er funnet ved manuell betrakting av lastkombinasjon Y3 for feltene mellom akse 1 og 2 & akse 2 og 3

Moment nullpunktet fra akse 2 mot akse 1

$$l_0 = 1.1 \text{ m}$$

Moment nullpunktet fra akse 2 mot akse 3

$$l_0 = 1.6 \text{ m}$$

Effektive høyder i y-retning:

(antaklesen er at x-retnings aremringen i bunnmatte bærer y-retnings armeringen i bunnmatte. Samme gjelder toppmatten)

$$d_{y,topp} = 217 \text{ mm}$$

$$d_{y,bunn} = 201 \text{ mm}$$

Moment kapasiteter og minimumsarmering

Midt-felts feltstiper:

$$M_{Rd} = 0.275 \cdot 19.8 \cdot 4100 \cdot 201^2 = 902 \text{ kNm}$$

$$A_{s,min} = 0.26 \cdot \frac{3.2}{500} \cdot 4100 \cdot 201 = 1371 \text{ mm}^2$$

Midt-felts søylestiper:

$$M_{Rd} = 0.275 \cdot 19.8 \cdot 2800 \cdot 201^2 = 616 \text{ kNm}$$

$$A_{s,min} = 0.26 \cdot \frac{3.2}{500} \cdot 2800 \cdot 201 = 936 \text{ mm}^2$$

feltstiper over midt-støtter:

$$M_{Rd} = 0.275 \cdot 19.8 \cdot 4100 \cdot 217^2 = 1051 \text{ kNm}$$

$$A_{s,min} = 0.26 \cdot \frac{3.2}{500} \cdot 4100 \cdot 217 = 1480 \text{ mm}^2$$

søylestiper over midt-støtter:

$$M_{Rd} = 0.275 \cdot 19.8 \cdot 2800 \cdot 217^2 = 718 \text{ kNm}$$

$$A_{s,min} = 0.26 \cdot \frac{3.2}{500} \cdot 2800 \cdot 217 = 1011 \text{ mm}^2$$

Armering av midtfelt mellom aksene 1-2

Søylestriper (50% av total moment)

$$M_{ED} = 0.50 \cdot 242 \text{ kNm} = 121 \text{ kNm}$$

$$M_{Rd} = 616 \text{ kNm}$$

$$d = 201 \text{ mm}$$

$$A_{s,min} = 936 \text{ mm}^2$$

$$z = 0.95 \quad d = 190.95$$

$$A_s = \frac{121 \cdot 10^6}{434 \cdot 190.95} = 1460 \text{ mm}^2$$

$$n = \frac{1460}{\pi \cdot 8^2} \approx 8 \text{jern}$$

$$s = \frac{2800}{8} = 350 \text{ mm}$$

Bruker maks avstand 250mm

$$A_s = \frac{12 \varnothing 16}{2800 \text{ mm}}$$

Feltstriper (50% av total moment)

$$M_{ED} = 0.50 \cdot 242 \text{ kNm} = 121 \text{ kNm}$$

$$M_{Rd} = 902 \text{ kNm}$$

$$d = 201 \text{ mm}$$

$$A_{s,min} = 1371 \text{ mm}^2$$

$$z = 0.95 \quad d = 190.95$$

$$A_s = \frac{121 \cdot 10^6}{434 \cdot 190.95} = 1460 \text{ mm}^2$$

$$n = \frac{1460}{\pi \cdot 8^2} \approx 8 \text{jern}$$

$$s = \frac{4100}{8} = 512.5 \text{ mm}$$

Bruker maksimal avstand=250mm

$$A_s = \frac{17 \varnothing 16}{4100 \text{ mm}}$$

NB! Alle midt-feltene i Y-retning får samme armering som feltet mellom aksene 1 og 2. Grunnen er at momentene er lave og minimums krav om senter til senter plassering av armeringen blir gjeldende ved regning. Beregningen er ikke presentert her for å få mindre skriving.

Armering til støttemomentet over akse 2

Søylestriper (80% av total moment)

$$M_{ED} = 0.80 \cdot 282 \text{ kNm} = 225.6 \text{ kNm}$$

$$M_{Rd} = 718 \text{ kNm}$$

$$d = 217 \text{ mm}$$

$$A_{s,min} = 1011 \text{ mm}^2$$

$$z = \left(1 - 0.17 \cdot \frac{M_{ED}}{M_{RD}}\right) \cdot d = \left(1 - 0.17 \cdot \frac{225.6}{717}\right) \cdot 217 = 205$$

$$A_s = \frac{225.6 \cdot 10^6}{434 \cdot 205} = 2536 \text{ mm}^2$$

$$A_{s,min} = 1011 \text{ mm}^2$$

$$n = \frac{2536}{\pi \cdot 8^2} \approx 13 \text{ jern}$$

$$s = \frac{2800}{13} = 215.38 \text{ mm}$$

Bruker avstand=200mm

$$A_s = \frac{14 \text{ Ø}16}{2800 \text{ mm}}$$

Utgår, se forankringslengder for
søylestripene nedenfor

Feltstriper (20% av total moment)

Pga. minimumsaremring er dominerende, velger:

$$A_s = \frac{17 \text{ Ø}16}{4100 \text{ mm}}$$

Alle andre støttemomenter (**aksene 3, 4, & 5**) får minimumsarmering pga
lave momenter og store stripebredder

Søylestriper:

$$A_s = \frac{14 \text{ Ø}16}{2800 \text{ mm}}$$

Feltstriper:

$$A_s = \frac{17 \text{ Ø}16}{4100 \text{ mm}}$$

Forankringslengder

Forankringslengder for armeringen over søylene regnes for det største momentet i y-retning (282kNm i akse 2). Topparmeringen over alle andre søyler i x-retning får samme forankringslengder for å spare tid, siden momentnullpunktene er ikke så mye forskjellige over platen.

Oppredende total skjærkraft ved M=282 kNm

$$V_{ED} = 247 \text{ kN}$$

Forankringslengder i søylestripene

$$M_{ED} = 225.6 \text{ kNm}$$

$$V_{ED} = 0.8 \cdot 247 \text{ kN} = 197.6 \text{ kN}$$

$$A_s = \frac{14 \varnothing 16}{2800 \text{ mm}}$$

EC2-1-1 8.4.3 gir:

$$L_{b.rqd} = \frac{\phi}{4} \cdot \frac{\sigma_{sd}}{f_{bd}}$$

$$\sigma_{sd} = \frac{\frac{M_{Ed}}{z} + \Delta F_{td}}{A_s} = \frac{\frac{225.6 \cdot 10^6}{205} + 197.6 \cdot 10^3}{14 \cdot \pi \cdot 8^2} = 461 \text{ MPa} > f_{yd}$$

Ikke akseptabelt, må øke armeringsarealet, prøver 16Ø16:

$$\sigma_{sd} = \frac{\frac{M_{Ed}}{z} + \Delta F_{td}}{A_s} = \frac{\frac{225.6 \cdot 10^6}{205} + 197.6 \cdot 10^3}{16 \cdot \pi \cdot 8^2} = 404 \text{ MPa} < f_{yd}$$

$$f_{bd} = 2.25 \cdot \eta_1 \cdot \eta_2 \cdot f_{ctd} = 2.25 \cdot \eta_1 \cdot \eta_2 \cdot \frac{f_{ctk0.05}}{\gamma_c} = 2.25 \cdot 1.0 \cdot 1.0 \cdot \frac{2.2 \text{ MPa}}{1.5} = 3.3 \text{ MPa}$$

$$\Rightarrow L_{b.rqd} = \frac{16 \text{ mm}}{4} \cdot \frac{404 \text{ MPa}}{3.3 \text{ MPa}} = 490 \text{ mm}$$

Ny topparmering i søylestripene over akse C i x-retning:

$$A_s = \frac{16 \varnothing 16}{2800 \text{ mm}}$$

Ih.h.t. EC2-1-1 9.2.1.3 (2) & (3)(figur 9.2), skal denne armeringen forankres etter momentnullpunktet med avstand lik:

$$l_{b.rqd.tot} = l_0 + a_l + l_{bd}$$

For konstruksjoner uten behov for skjærarmering, blir: $a_l = d = 201$

Total forankringslengde av topparmering i **søylestripene** fra akse **2 mot 1**:

$$l_{b.rqd.tot.1} = 1100 \text{ mm} + 217 \text{ mm} + 490 \text{ mm} \approx 1800 \text{ mm}$$

Total forankringslengde av topparmering i **søylestripene** Fra akse **2 mot 3**:

$$l_{b.rqd.tot.2} = 1600 \text{ mm} + 217 \text{ mm} + 490 \text{ mm} \approx 2300 \text{ mm}$$

Forankringslengder i **feltstripene**

$$M_{ED} = 56.4 \text{ kNm}$$

$$V_{ED} = 0.2 \cdot 247 \text{ kN} = 49.4 \text{ kN}$$

$$A_s = \frac{17 \text{ Ø}16}{4100 \text{ mm}}$$

EC2-1-1 8.4.3 gir: $L_{b.rqd} = \frac{\phi}{4} \cdot \frac{\sigma_{sd}}{f_{bd}}$

$$\sigma_{sd} = \frac{\frac{M_{Ed}}{z} + \Delta F_{td}}{A_s} = \frac{\frac{65.4 \cdot 10^6}{206} + 49.4 \cdot 10^3}{17 \cdot \pi \cdot 8^2} = 107 \text{ MPa} < f_{yd}$$

$$L_{b.rqd} = \frac{16 \text{ mm}}{4} \cdot \frac{107 \text{ MPa}}{3.3 \text{ MPa}} \approx 130 \text{ mm}$$

Total forankringslengde av topparmering i **feltstripene** Fra akse **2 mot 1**:

$$l_{b.rqd.tot.2} = 1100 \text{ mm} + 217 \text{ mm} + 130 \text{ mm} \approx 1500 \text{ mm}$$

Total forankringslengde av topparmering i **feltstripene** fra akse **2 mot 3**:

$$l_{b.rqd.tot.1} = 1600 \text{ mm} + 217 \text{ mm} + 130 \text{ mm} \approx 2000 \text{ mm}$$

Denne siden er satt med vilje tom

Vedlegg6: Kapasitetsberegninger og armering av flattdekkene 2- 4 ETG, sone RS2 i ULS

X-retning

Laster på balkongen i bruksgrensetilstand

$$p_{k.balkong} = 4.0 \frac{kN}{m^2} \cdot 1 = 4.0 \frac{kN}{m}$$

NS-EN 1991-1-1

$$g_{k.balkong} = 25 \frac{kN}{m^3} \cdot 0.2 m = 5 \frac{kN}{m^2} \cdot 1 m = 5 \frac{kN}{m}$$

Dimensjonerede verdiene blir:

$$p_{ED.balkong} = 4.0 \frac{kN}{m} \cdot 1.5 = 6 \frac{kN}{m}$$

$$q_{ED.balkong} = 12 \frac{kN}{m}$$

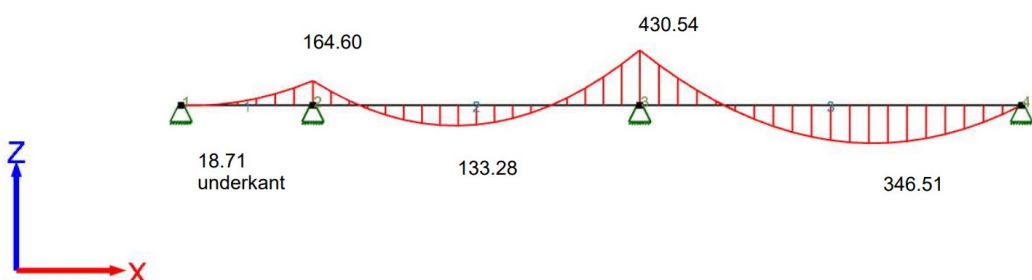
$$g_{ED.balkong} = 5.0 \frac{kN}{m} \cdot 1.2 = 6 \frac{kN}{m}$$

Dimensjonrende moment og skjærkraft i balkongene blir:

$$M_{ED.balkong} = \frac{q_{ED.balkong} \cdot l_{balkong}^2}{2} = \frac{12 \frac{kN}{m} \cdot (2.1 m)^2}{2} = 26.5 \text{ kNm}$$

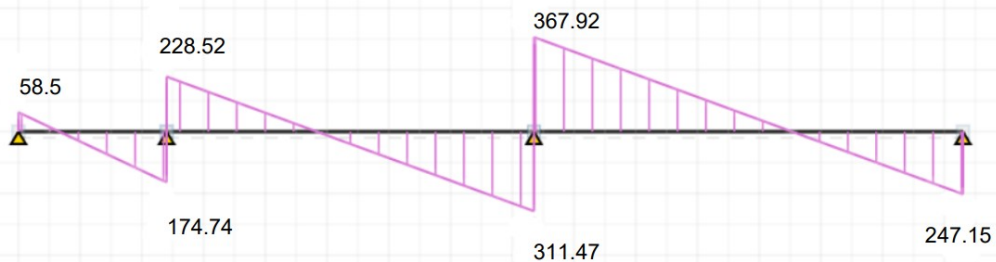
$$V_{ED.balkong} = q_{ED.balkong} \cdot l_{balkong} = 12 \frac{kN}{m} \cdot (2.1 m) = 25.2 \text{ kN}$$

Fra vedlegg 4 (lastkombinasjoner) blir de maksimale skjærkraft- og momentverdiene:



Maksimale moment verdiene i alle kritiske punkt i RS2 x-retning
se vedlegg 4 (Last kombinasjoner)

Created



Kritiske skjærkraftverdier [kN] i RS2 x-retning. Se vedlegg 4 (Last kombinasjoner)

Verdiene i diagrammene ovenfor er for en ekvivalent dekkestripe med bredde: $b = 6.6 \text{ m}$

Forutsetninger

Materialer $B35$ $f_{cd} = \alpha_{cc} \cdot \frac{f_{ck}}{\gamma_c} = 0.85 \cdot \frac{35 \text{ MPa}}{1.5} = 19.8 \text{ MPa}$

$$E_{cm} = 34000 \text{ MPa} \quad f_{ctm} = 3.2 \text{ MPa} \quad f_{ctk.0.05} = 2.2 \text{ MPa}$$

$$\varepsilon_{c2} = 2.0 \% \quad \varepsilon_{cu2} = 3.5 \% \quad \text{Sement type N}$$

$$B500NC \quad f_{yd} = \frac{f_{yk}}{\gamma_s} = \frac{500 \text{ MPa}}{1.15} = 434 \text{ MPa}$$

Overdekning Inne $C_{nom} = 25$ Se rapporten kapittel x

 Balkong $C_{nom} = 45$ Se rapporten kapittel x

Armering Benytter **Ø16** som strekkarmering Benytter **Ø10** som svinnarmering og fordelsarmering der det trengs

Effektive høyder (d) Dekke i balkong $d = 200 - 35 - 8 = 157 \text{ mm}$

 Dekke inne $d_x = 250 - 25 - 8 = 217 \text{ mm}$

Foutsetter normalt armert tversnitt i hele platen $\varepsilon_s = 2 \quad \varepsilon_{yk} = 5.0 \% \quad \alpha = \frac{\varepsilon_{cu}}{\varepsilon_{cu} + \varepsilon_s} = 0.412$

$$K = 0.8 \lambda \eta \alpha (1 - 0.5 \lambda \alpha) = 0.275$$

For betong $B \leq 50 \text{ MPa} \rightarrow \lambda = 0.8 \text{ og } \eta = 1.0$

Armering av balkongplatene

$$M_{ED.balkong} = 26.5 \frac{kNm}{m} \quad \text{Reger for 1m bred balkongdekke}$$

$$M_{RD} = 0.275 \cdot f_{cd} \cdot b \cdot d^2 = 0.275 \cdot 19.8 \cdot 1000 \cdot 157^2 = 134 \text{ kNm} > M_{ED.balkong}$$

Delvis utnyttet trykksone! kan øke indremomentarmen z

$$z = \left(1 - 0.17 \cdot \frac{M_{ED}}{M_{RD}}\right) \cdot d = \left(1 - 0.17 \cdot \frac{26.5}{134}\right) \cdot 157 \approx 151.7 \text{ mm} > 0.95 \text{ d} = 149.5 \text{ mm}$$

$$A_s = \frac{M_{ED}}{f_{yd} \cdot z} = \frac{26.5 \cdot 10^6}{434 \cdot 149.5} = \frac{408 \text{ mm}^2}{m}$$

$$A_{smin} = 0.26 \cdot \frac{f_{ctm}}{f_{yk}} \cdot b_t \cdot d = \frac{245 \text{ mm}^2}{m}$$

$$n = \frac{408}{\pi \cdot \left(\frac{16}{2}\right)^2} \approx 3 \text{ stenger}$$

$$s = \frac{1000}{3} = 333.33 \text{ mm} \approx 330 \text{ mm}$$

EC2-1-1 9.3.1.1(2): I tverrretningen, må det armeres minst 20% av hoved armeringen:

$$A_{s,tverr} = 0.20 \cdot A_s = 0.20 \cdot 432 \frac{\text{mm}^2}{m} = 86.4 \frac{\text{mm}^2}{m}$$

Benytter Ø10 i tverrretningen av balkongene

$$n = \frac{86.4}{\pi \cdot 5^2} = 1.1 \approx 2 \frac{\text{stenger}}{m}$$

Etter EC2-1-1 9.3.1.1(3), må armeringsplassering i plater ikke overskirde:

$$s_{max,slab} = 3 \text{ h} = 750 \text{ mm} \leq 250 \text{ mm} = 250 \text{ mm} \quad \text{For hoved armering}$$

$$s_{max,slab} = 3 \text{ h} = 750 \text{ mm} \leq 400 \text{ mm} = 400 \text{ mm} \quad \text{For fordelsarmering}$$

Velger s=200mm

$$A_s = \frac{5 \varnothing 16}{m}$$

$$A_{s;fordel} = \frac{5 \varnothing 10}{m}$$

Armeringen legges etter geometrien til balkongene, se armeringstegningene

Skjærkapasitet av balkongplatene

Benytter kravene i EC2-1-1 6.2

Regner balkong platene uten behov for skjærarmering EC2-1-1 6.2.2 per 1m bredde

$$V_{ED} = 25.2 \frac{kN}{m}$$

$$A_s = 4 \varnothing 16 = 256 \pi \approx 804.24 mm^2$$

$$b_w = 1000 mm$$

$$d = 147 mm$$

$$\rho_l = \frac{A_s}{b_w d} = 0.0051$$

$$k = 1 + \sqrt{\frac{200}{d}} \leq 2.0 \quad \rightarrow \quad k = 2.0$$

$$C_{Rdc} = \frac{0.18}{\gamma_c} = \frac{0.18}{1.5} = 0.12$$

$$V_{Rdc} = C_{Rdc} \cdot k \cdot \sqrt[3]{100 \cdot \rho_l \cdot f_{ck}} \cdot b_w \cdot d = 98.5 \frac{kN}{m} > V_{ED} \quad ok$$

$$V_{min} = v_{min} \cdot b_w \cdot d = \left(0.035 \cdot k^{\frac{3}{2}} \cdot \sqrt{f_{ck}} \right) \cdot b_w \cdot d = 91.9 kN < V_{Rdc} \quad ok$$

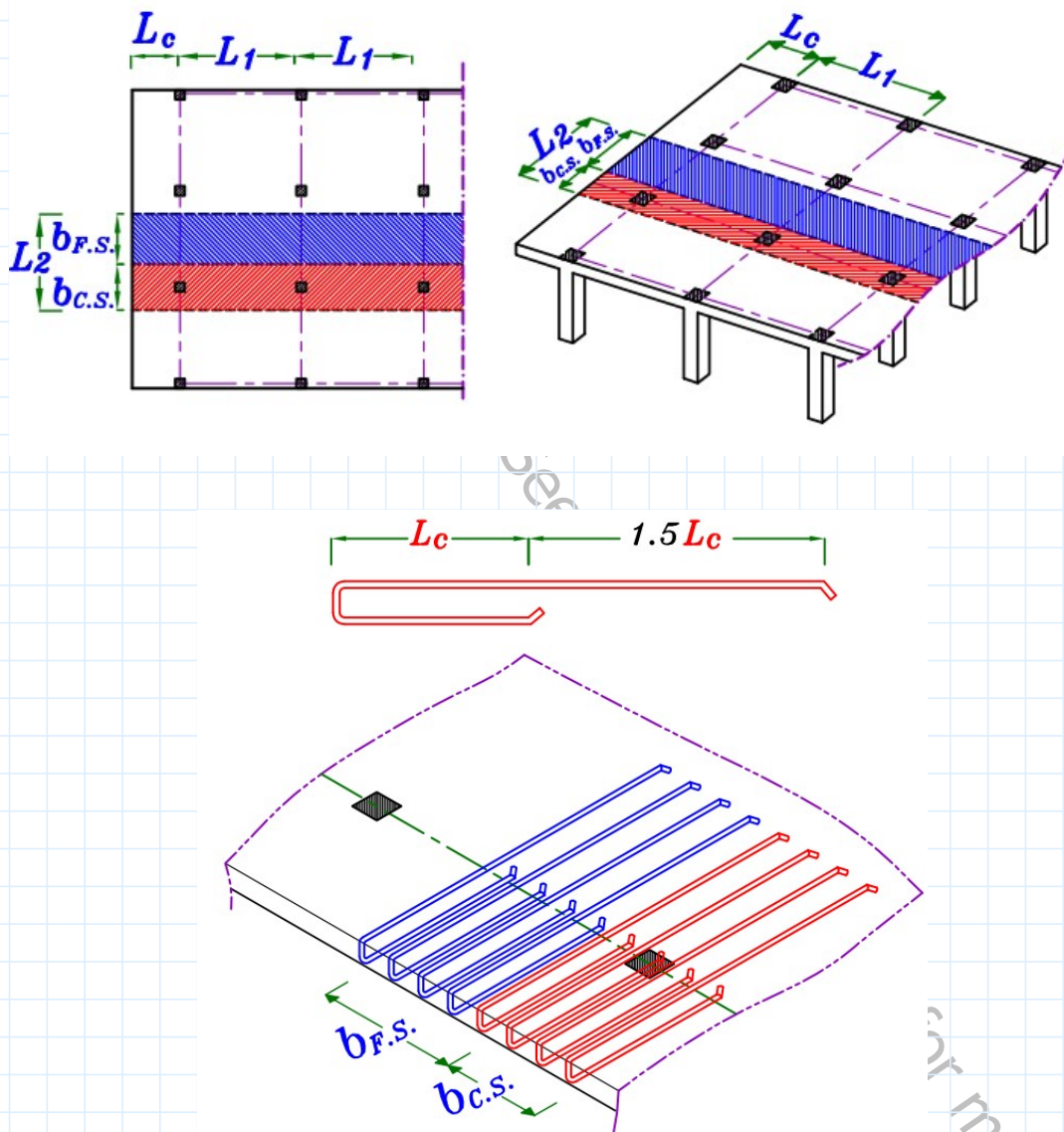
$$V_{Rd,max} = 0.5 \cdot b_w \cdot d \cdot v \cdot f_{cd} = 0.5 \cdot b_w \cdot d \cdot \left(0.6 \cdot \left(1 - \frac{f_{ck}}{250} \right) \right) \cdot f_{cd} = 802 \frac{kN}{m} > V_{ED} \quad ok$$

Ingen behov for skjærarmering av platene, og skjærlapistet er tilstrekkelig i både skjærstrekkskje og skjærtrykk

Forankring av lengde armering i balkongene

Etter EC2-1-1 8.4.3 gir krav for beregning av kraftinnføringslengde av hoved armering, men en annen kilde benytter en kraftinnføringslengde på 1.5 ganger lengden på utkragere.

siden balkongene er fastholdt til platene fra 1 side, benyttes her en kraftinnføringslengde på 1.5 ganger balkongenes maksimal utstikkslengde



Dette gir en forankringslengde lik:

$$l_{bd} = 1.5 \cdot l_{balkong} = 1.5 \cdot 2.1 \text{ m} = 3.15 \text{ m}$$

Armering av platene i etasjeskillere

$$b_{F,S} = 3.3 \text{ m} = b_{S,S}$$

Valgt Momentfordeling etter EC2-1-1 TABELL I.1

Momentene som gir strekk O.K Feltstripe: 80% Feltstripe: 20%

Momentene som gir strekk U.K Feltstripe: 50% Feltstripe: 50%

**Armering av de frie kantene langs akse E
Krav etter EC2-1-1 9.3.1.2(2) & 9.3.1.4(1)**

Feltstriper & Søylestriper (momentfordeling 80%-20%)

$$d_x = 201 \text{ mm}$$

$$M_{s.edge.topp} = 0.25 \cdot M_{s.adj.span} = 0.25 \cdot 0.80 \cdot 18.71 \approx 4 \text{ kNm}$$

$$M_{Rd} = 0.275 \cdot 19.8 \cdot 3300 \cdot 201^2 = 726 \text{ kNm} > M_{ED}$$

$$z = \left(1 - 0.17 \cdot \frac{M_{ED}}{M_{RD}}\right) \cdot d = \left(1 - 0.17 \cdot \frac{4}{726}\right) \cdot 201 = 201 > 0.95 \quad d = 190.95 \text{ mm}$$

$$A_s = \frac{M_{ED}}{f_{yd} \cdot z} = \frac{4 \cdot 10^6}{434 \cdot 190.95} = 48 \text{ mm}^2$$

$$A_{s,min} = 0.26 \cdot \frac{f_{ctm}}{f_{yk}} \cdot b_t \cdot d = 0.26 \cdot \frac{3.2}{500} \cdot 3300 \cdot 201 = 1104 \text{ mm}^2$$

Benytter As,min!

$$n = \frac{1104}{\pi \cdot 8^2} = 5.5 \approx 6 \text{ jern} \quad s = \frac{3300 \text{ mm}}{6} = 550 \text{ mm}$$

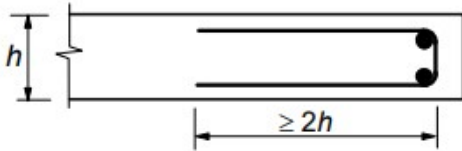
Velger s=200mm. Denne avstanden også er viktig å tilreditsstille kravet til risskontroll etter tabellene 7.2N & 7.3N, hvor rissviddene kan maksimalt bli 0.4 mm etter tabell 7.1N (XC1)

$$A_s = \frac{17 \text{ Ø}16}{3300 \text{ mm}}$$

Armeringen skal inn platen en avstand $0.2 \times$ nærmeste spennvidden etter EC2-1-1 9.3.1.2(2)

$$l_{bd,rqd} = 0.2 \cdot 2400 \text{ mm} \approx 500 \text{ mm}$$

* Benytter **2Ø10** i hjørnet som holdere til kantarmeringen



Armering av de frie kantene langs akse H Krav etter EC2-1-1 9.3.1.2(1) & (2)

Feltstriper & søylestriper (momentfordeling 80%-200%)

$$d_x = 201 \text{ mm}$$

$$M_{s.edge.topp} = 0.25 \cdot M_{s.adj.span} = 0.25 \cdot 0.8 \cdot 346.51 \text{ kNm} = 69 \text{ kNm}$$

$$M_{Rd} = 726 \text{ kNm} > M_{ED}$$

$$z = \left(1 - 0.17 \cdot \frac{M_{ED}}{M_{RD}}\right) \cdot d = \left(1 - 0.17 \cdot \frac{69}{726}\right) \cdot 201 \text{ mm} \approx 198 \text{ mm} > 0.95 \text{ d} = 190.95 \text{ mm}$$

$$A_s = \frac{M_{ED}}{f_{yd} \cdot z} = \frac{69 \cdot 10^6}{434 \cdot 190.95} \approx 833 \text{ mm}^2$$

$$A_{s,min} = 1104 \text{ mm}^2 \quad \text{Benytter A,min!}$$

$$n = \frac{1104}{\pi \cdot 8^2} = 5.49 \approx 6 \text{ jern}$$

$$s = \frac{3300 \text{ mm}}{6} = 550 \text{ mm}$$

Velger $A_s = \frac{16 \text{ Ø16}}{3300 \text{ mm}}$

Armeringen skal inn platen en avstand $0.2 \times$ spennvidden etter EC2-1-1 9.3.1.2(2)

$$0.2 \cdot 6950 \text{ mm} = 1390 \text{ mm}$$

NB! EC1-1-1 9.3.1.4(1) gir krav på å ta inn kant topparmeringen 2 x platetykkelsen. 9.3.1.2(2) krever minst 0.20 x spennviden. Den maksimale lengden er brukt i hver tilfelle.

Armering av midtfelt mellom aksene G-H

Feltstriper & søylestriper (lik totalmomentfordeling 50%-50%)

$$d_x = 217 \text{ mm}$$

$$M_{Ed} = 0.5 \cdot M_{felt.tot} = 0.5 \cdot 346.51 \text{ kNm} = 173.3 \text{ kNm}$$

$$M_{Rd} = 0.275 \cdot 19.8 \cdot 3300 \cdot 217^2 \cdot 10^{-6} = 846 \text{ kNm} > M_{Ed}$$

$$z = \left(1 - 0.17 \cdot \frac{M_{ED}}{M_{RD}}\right) \cdot d = \left(1 - 0.17 \cdot \frac{173.3}{846}\right) \cdot 217 \text{ mm} \approx 209 \text{ mm} > 0.95 \text{ } d = 206 \text{ mm}$$

$$A_s = \frac{M_{ED}}{f_{yd} \cdot z} = \frac{173.3 \cdot 10^6}{434 \cdot 206} \approx 1938 \text{ mm}^2$$

$$A_{s,min} = 0.26 \cdot \frac{3.2}{500} \cdot 3300 \cdot 217 = 1192 \text{ mm}^2$$

$$n = \frac{1938}{\pi \cdot 8^2} \approx 10 \text{ jern}$$

$$s = \frac{3300}{10} = 330 \text{ mm}$$

Velger

$$A_s = \frac{17 \text{ Ø}16}{3300 \text{ mm}}$$

Armering til støttemomentet i akse G

Søylestripes (80% av totale M)

$$d_x = 201 \text{ mm}$$

$$M_{ED} = 0.8 \cdot M_{støtte.tot} = 0.8 \cdot 430.54 \text{ kNm} = 344.432 \text{ kNm}$$

$$M_{Rd} = 726 \text{ kNm} > M_{ED}$$

$$z = \left(1 - 0.17 \cdot \frac{M_{ED}}{M_{RD}}\right) \cdot d = \left(1 - 0.17 \cdot \frac{344.432}{726}\right) \cdot 201 \text{ mm} \approx 189.5 \text{ mm}$$

$$A_s = \frac{M_{ED}}{f_{yd} \cdot z} = \frac{344.432 \cdot 10^6}{434 \cdot 189.5} \approx 4192 \text{ mm}^2$$

$$A_{s,min} = 1104 \text{ mm}^2$$

$$n = \frac{4192}{\pi \cdot 8^2} \approx 22 \varnothing 16$$

$$s = \frac{3300 \text{ mm}}{22} = 150 \text{ mm}$$

Velger

$$A_s = \frac{22 \varnothing 16}{3300 \text{ mm}}$$

Utgår, se forankringslengde av søylestripene nedenfor

**Regner skjærkapasiteten for platen og forankringslengde for armering
søylestripene over støttene langs akse G**

Opptrædende moment over b=3300mm $M_{ED} = 344.432 \text{ kNm}$

Opptrædende skjær over b = 3300 mm for et snitt mellom akse G og H nær akse G

$$V_{ED} = 0.8 \cdot 367.9 \text{ kN} = 294.32 \text{ kN}$$

Siden momentet og skjærkraften er maksimale over søylene i akse G,
blir forankringslengden for topparmeringen over akse F likt for å spare regnetid.

Skjærkapasitet

$$A_s = 22 \text{ Ø}16 = 1408 \text{ mm}^2 \quad b_w = 3300 \text{ mm}$$

$$d = 201 \text{ mm}$$

$$k = 1 + \sqrt{\frac{200}{d}} \leq 2.0 \quad \rightarrow \quad k = 2.0$$

$$\rho_l = \frac{A_s}{b_w d} = 0.0067$$

$$C_{Rdc} = \frac{0.18}{\gamma_c} = \frac{0.18}{1.5} = 0.12$$

$$V_{Rdc} = C_{Rdc} \cdot k \cdot \sqrt[3]{100 \cdot \rho_l \cdot f_{ck} \cdot b_w \cdot d} = 456 \text{ kN} > V_{ED} \quad \text{ok}$$

$$V_{Rdc,min} = v_{min} \cdot b_w \cdot d = \left(0.035 \cdot k^{\frac{3}{2}} \cdot \sqrt{f_{ck}}\right) \cdot b_w \cdot d = 388 \text{ kN} > V_{ED} \quad \text{ok}$$

$$V_{Rd,max} = 0.5 \cdot b_w \cdot d \cdot v \cdot f_{cd} = 0.5 \cdot b_w \cdot d \cdot \left(0.6 \cdot \left(1 - \frac{f_{ck}}{250}\right)\right) \cdot f_{cd} = 3388 \text{ kN} > V_{ED} \quad \text{ok}$$

NB! maksimalskjærkraft over søylestripene langs akse G er mindre enn sjærkapasiteten, alle andre tverrsnitt har tilstrekkelig kapasitet og dermed sjærkapasiteten kontrolleres ikke videre

Regner forankringslengde i søylestripene for topparmeringen over akse G

EC2-1-1 8.4.3 gir:

$$L_{b.rqd} = \frac{\phi}{4} \cdot \frac{\sigma_{sd}}{f_{bd}} \quad \text{Kontruksjoner uten skjærarmering: } \Delta F_{td} = V_{ED}$$

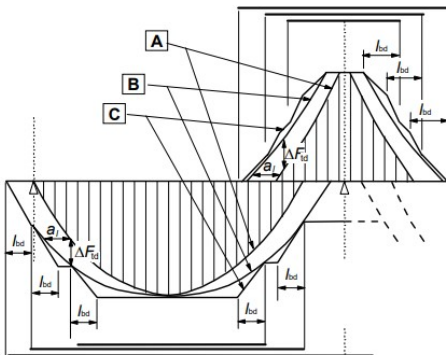
$$\sigma_{sd} = \frac{\frac{M_{Ed}}{z} + \Delta F_{td}}{A_s} = \frac{\frac{344.432 \cdot 10^6}{189.5} + 294.32 \cdot 10^3}{22 \cdot \pi \cdot 8^2} = 477 \text{ MPa} > f_{yd}$$

Ikke akseptabelt, må øke armeringsarealet, prøver 25Ø16, s130mm

$$\sigma_{sd} = \frac{\frac{M_{Ed}}{z} + \Delta F_{td}}{A_s} = \frac{\frac{344.432 \cdot 10^6}{189.5} + 294.32 \cdot 10^3}{25 \cdot \pi \cdot 8^2} = 420 \text{ MPa} < f_{yd} \quad \text{ok}$$

$$f_{bd} = 2.25 \cdot \eta_1 \cdot \eta_2 \cdot f_{ctd} = 2.25 \cdot \eta_1 \cdot \eta_2 \cdot \frac{f_{ctk0.05}}{\gamma_c} = 2.25 \cdot 1.0 \cdot 1.0 \cdot \frac{2.2 \text{ MPa}}{1.5} = 3.3 \text{ MPa}$$

$$\rightarrow L_{b,rqd} = \frac{16 \text{ mm}}{4} \cdot \frac{411.2 \text{ MPa}}{3.3 \text{ MPa}} = 498 \text{ mm}$$



Ih.h.t. EC2-1-1 9.2.1.3 (2) & (3)(figur 9.2), skal denne armeringen forankres etter momentnullpunktet med avstand lik:

$$l_{b,rqd,tot} = a_l + l_{bd,rqd} + l_0$$

Momentnullpunktene til $M = 430.54 \text{ kNm}$ er funnet ved manuell betrakting av feltene mellom akse F-G & G-H (kobinasjon X5):

$$l_{01} = 1.88 \text{ m}$$

Fra akse **G** mot **F**

$$l_0 = 1.41 \text{ m}$$

Fra akse **G** mot **H**

* For konstruksjoner uten behov for skjærarmering, blir: $a_l = d = 201$

* Total forankringslengde av topparmering i **søylestripene** fra akse **G**:

Fra akse **G** mot **F**

$$l_{b,rqd,tot,1} = 1880 \text{ mm} + 201 \text{ mm} + 498 \text{ mm} \approx 2600 \text{ mm}$$

Fra akse **G** mot **H**

$$l_{b,rqd,tot,2} = 1410 \text{ mm} + 201 \text{ mm} + 498 \text{ mm} \approx 2100 \text{ mm}$$

Ny armering i **søylestripene**:

$$A_s = \frac{25 \text{ Ø}16}{3300 \text{ mm}}$$

Feltstriper (20% av totale M)

$$d_x = 201 \text{ mm}$$

$$M_{ED} = 0.20 \cdot M_{støtte.tot} = 0.8 \cdot 430.54 \text{ kNm} = 86.108 \text{ kNm}$$

$$M_{Rd} = 726 \text{ kNm} > M_{ED}$$

$$z = 0.95 \text{ d} = 190.95$$

$$A_s = \frac{M_{ED}}{f_{yd} \cdot z} = \frac{86.108 \cdot 10^6}{434 \cdot 189.5} \approx 1047 \text{ mm}^2$$

$$A_{s,min} = 1104 \text{ mm}^2$$

$$n = \frac{A_{s,min} = 1104 \text{ mm}^2}{\pi \cdot 8^2} \approx 6 \text{ jern} \quad s = \frac{3300}{6} = 550 \text{ mm}$$

Velger:

$$A_s = \frac{17 \text{ Ø16}}{3300 \text{ mm}}$$

Regner forankringslengde i feltstripene for topparmeringen over akse G

* Maskimal Skjærkraft: $V_{ED} = 0.20 \cdot 367.9 \text{ kN} = 73.58 \text{ kN}$

$$L_{bd.rqd} = \frac{\phi}{4} \cdot \frac{\sigma_{sd}}{f_{bd}}$$

$$\sigma_{sd} = \frac{\frac{M_{Ed}}{z} + \Delta F_{td}}{A_s} = \frac{\frac{86.108 \cdot 10^6}{190.95} + 73.58 \cdot 10^3}{14 \cdot \pi \cdot 8^2} = 186 \text{ MPa} < f_{yd}$$

$$f_{bd} = 3.3 \text{ MPa}$$

$$\Rightarrow L_{bd.rqd} = \frac{16 \text{ mm}}{4} \cdot \frac{186 \text{ MPa}}{3.3 \text{ MPa}} = 225 \text{ mm}$$

* Total forankringslengde av topparmering i **Feltstripene** fra akse **G**:

Fra akse **G mot F**

$$l_{b.rqd.tot.1} = 1880 \text{ mm} + 201 \text{ mm} + 225 \text{ mm} \approx 2300 \text{ mm}$$

Fra akse **G mot H**

$$l_{b.rqd.tot.1} = 1410 \text{ mm} + 201 \text{ mm} + 225 \text{ mm} \approx 1800 \text{ mm}$$

Armering av midtfelt mellom aksene F-G

Feltstriper & søylestriper (lik total momentfordeling 50%-50%)

$$d_x = 217 \text{ mm}$$

$$M_{Ed} = 0.5 \cdot M_{felt.tot} = 0.5 \cdot 133.28 \text{ kNm} = 66.64 \text{ kNm}$$

$$M_{Rd} = 846 \text{ kNm} > M_{Ed}$$

$$z = \left(1 - 0.17 \cdot \frac{M_{ED}}{M_{RD}}\right) \cdot d = \left(1 - 0.17 \cdot \frac{66.64}{846}\right) \cdot 217 \text{ mm} \approx 214 \text{ mm} > 0.95 \text{ d} = 206 \text{ mm}$$

$$A_s = \frac{M_{ED}}{f_{yd} \cdot z} = \frac{66.64 \cdot 10^6}{434 \cdot 206} \approx 745 \text{ mm}^2$$

$$A_{s,min} = 1192 \text{ mm}^2$$

$$n = \frac{1192}{\pi \cdot 8^2} \approx 6 \text{ jern} \quad s = \frac{3300}{6} = 550 \text{ mm}$$

Velger $A_s = \frac{17 \text{ Ø}16}{3300 \text{ mm}}$

Armering av **støttemoment** over **akse F**

Søylestriper (80% av totale M)

$$d_x = 201 \text{ mm}$$

$$M_{ED} = 0.80 \cdot M_{støtte.tot} = 0.8 \cdot 164.6 \text{ kNm} = 131.68 \text{ kNm}$$

$$M_{Rd} = 726 \text{ kNm} > M_{ED}$$

$$z = 0.95 \quad d = 190.95$$

$$A_s = \frac{M_{ED}}{f_{yd} \cdot z} = \frac{128.48 \cdot 10^6}{434 \cdot 190.95} \approx 1590 \text{ mm}^2$$

$$A_{s,min} = 1104 \text{ mm}^2$$

$$n = \frac{1590 \text{ mm}^2}{\pi \cdot 8^2} \approx 8 \text{ jern}$$

$$s = \frac{3300}{8} = 412.5 \text{ mm}$$

Velger

$$A_s = \frac{17 \text{ Ø}16}{3300 \text{ mm}}$$

Feltstriper (20% av totale M)

$$d_x = 201 \text{ mm}$$

$$M_{ED} = 0.20 \cdot M_{støtte.tot} = 0.20 \cdot 164.6 \text{ kNm} = 32.92 \text{ kNm}$$

$$M_{Rd} = 726 \text{ kNm} > M_{ED}$$

$$z = 0.95 \quad d = 190.95$$

$$A_s = \frac{M_{ED}}{f_{yd} \cdot z} = \frac{39.92 \cdot 10^6}{434 \cdot 190.95} \approx 397 \text{ mm}^2$$

$$A_{s,min} = 1104 \text{ mm}^2$$

$$n = \frac{1104 \text{ mm}^2}{\pi \cdot 8^2} \approx 6 \text{ jern}$$

$$s = \frac{3300}{6} = 550 \text{ mm}$$

Velger

$$A_s = \frac{17 \text{ Ø}16}{3300 \text{ mm}}$$

Armering av **Feltmomentene mellom aksene E-F**

Feltstriper & søylestriper (lik total momentfordeling 50%-50%)

Minimums armering blir gjeldende

$$d_x = 217 \text{ mm}$$

$$A_{s,min} = 1192 \text{ mm}^2$$

$$n = \frac{1192 \text{ mm}^2}{\pi \cdot 8^2} \approx 6 \text{ jern}$$

$$s = \frac{3300}{6} = 550$$

Velger

$$A_s = \frac{17 \text{ Ø}16}{3300 \text{ mm}}$$

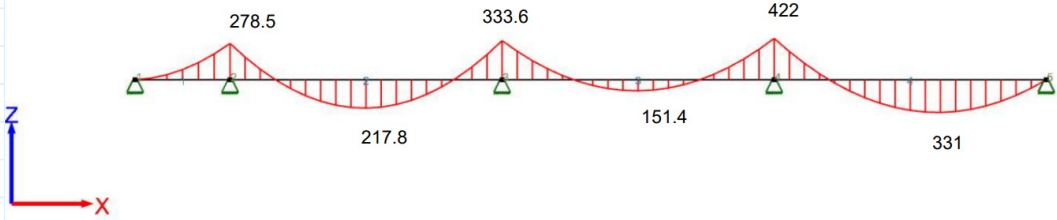
Y-retning

$$b_{max} = 6.95 \text{ m}$$

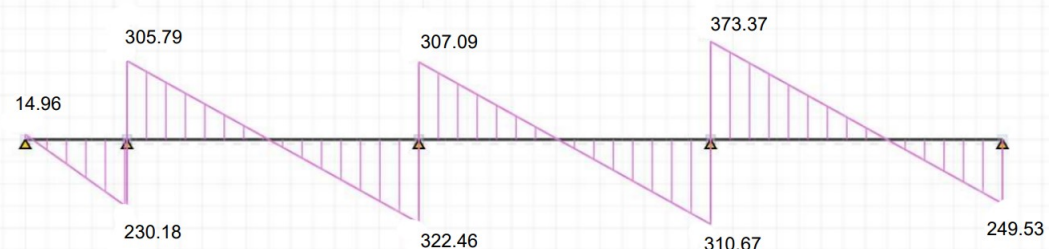
$$b_{S,S} = 3300 \text{ mm}$$

$$b_{F,S} = 3650 \text{ mm}$$

Kritiske M- og V-verdiene fra vedlegg 4:



Kritiske M-verdier [kNm] i RS2 y-retning. Se vedlegg 4 (Lastkombinasjoner).



Kritiske V-verdier [kN] i RS2 y-retning. Se vedlegg 4 (lastkombinasjoner).

Armering av midtfelt mellom aksene 15-16

Feltstriper & søylestriper (lik total momentfordeling 50%-50%)

$$d_y = d_x - \phi = 201 \text{ mm}$$

$$M_{ED} = 0.50 \cdot M_{ED;felt,tot} = 0.20 \cdot 0 = 0 \text{ kNm}$$

$$M_{Rd;S.S} = 0.275 \cdot 19.8 \cdot 3300 \cdot 201^2 \cdot 10^{-6} \geq 726 \text{ kNm} > M_{ED}$$

$$M_{Rd;F.S} = 0.275 \cdot 19.8 \cdot 3650 \cdot 201^2 \cdot 10^{-6} = 803 > M_{ED}$$

$$A_{s,min;S.S} = 1104 \text{ mm}^2$$

$$A_{s,min;F.S} = 1221 \text{ mm}^2$$

$$n_{S.S} = \frac{1104 \text{ mm}^2}{\pi \cdot 8^2} \approx 6 \text{ jern}$$

$$n_{F.S} = \frac{1221 \text{ mm}^2}{\pi \cdot 8^2} \approx 7 \text{ jern}$$

$$s_{S.S} = \frac{3300}{6} = 550 \text{ mm}$$

$$s_{F.S} = \frac{3650}{7} = 521 \text{ mm}$$

Velger

$$A_s = \frac{17 \text{ Ø}16}{3300 \text{ mm}} \quad \text{i søylestripene}$$

$$A_s = \frac{19 \text{ Ø}16}{3650 \text{ mm}} \quad \text{i feltstripene}$$

Armering over støtte i akse 16

$$d_y = 217 \text{ mm}$$

søylestriper (momentfordeling 80%)

$$M_{ED} = 0.80 \cdot M_{ED;støtte,tot} = 0.80 \cdot 278.5 = 222.8 \text{ kNm}$$

$$M_{Rd;S.S} = 0.275 \cdot 19.8 \cdot 3300 \cdot 217^2 \cdot 10^{-6} = 846 \text{ kNm} > M_{ED}$$

$$z = \left(1 - 0.17 \cdot \frac{M_{ED}}{M_{RD}}\right) \cdot d = \left(1 - 0.17 \cdot \frac{222.8}{846}\right) \cdot 217 \text{ mm} \approx 207.3 \text{ mm} > 0.95 \text{ d} = 206 \text{ mm}$$

$$A_s = \frac{M_{ED}}{f_{yd} \cdot z} = \frac{222.8 \cdot 10^6}{434 \cdot 206} \approx 2492 \text{ mm}^2$$

$$A_{s,min} = 1192 \text{ mm}^2$$

$$n = \frac{2492 \text{ mm}^2}{\pi \cdot 8^2} \approx 13 \text{ jern} \quad s = \frac{3300}{13} \approx 250 \text{ mm}$$

Velger

$$A_s = \frac{17 \text{ Ø}16}{3300 \text{ mm}}$$

Feltstriper (momentfordeling 20%)

$$d_y = 217 \text{ mm}$$

$$M_{ED} = 0.80 \cdot M_{ED;støtte,tot} = 0.20 \cdot 278.5 = 55.7 \text{ kNm}$$

$$M_{Rd;F.S} = 0.275 \cdot 19.8 \cdot 3650 \cdot 217^2 \cdot 10^{-6} = 936 \text{ kNm} > M_{ED}$$

$$z = \left(1 - 0.17 \cdot \frac{M_{ED}}{M_{RD}}\right) \cdot d = \left(1 - 0.17 \cdot \frac{55.7}{936}\right) \cdot 217 \text{ mm} \approx 214.8 \text{ mm} > 0.95 \text{ d} = 206 \text{ mm}$$

$$A_s = \frac{M_{ED}}{f_{yd} \cdot z} = \frac{55.7 \cdot 10^6}{434 \cdot 206} \approx 623 \text{ mm}^2$$

$$A_{s,min} = 1318 \text{ mm}^2$$

$$n = \frac{1318 \text{ mm}^2}{\pi \cdot 8^2} \approx 7 \text{ jern}$$

$$s = \frac{3650}{7} \approx 521.4 \text{ mm}$$

Velger

$$A_s = \frac{19 \text{ Ø}16}{3650}$$

Armering av midtfelt mellom aksene 16-17

Feltstriper & søylestriper (lik total momentfordeling 50%-50%)

$$d_y = d_x - \phi = 201 \text{ mm}$$

$$M_{ED} = 0.50 \cdot M_{ED;felt,tot} = 0.50 \cdot 217.8 = 108.9 \text{ kNm}$$

$$M_{Rd;S.S} = 726 \text{ kNm} > M_{ED}$$

$$M_{Rd;F.S} = 802 \text{ kNm} > M_{ED}$$

$$A_{s,min;S.S} = 1104 \text{ mm}^2 \quad A_{s,min;F.S} = 1221 \text{ mm}^2$$

$$z = 0.95 \quad d = 190.95$$

$$A_s = \frac{M_{ED}}{f_{yd} \cdot z} = \frac{108.9 \cdot 10^6}{434 \cdot 190.95} \approx 1314 \text{ mm}^2$$

$$n = \frac{1314 \text{ mm}^2}{\pi \cdot 8^2} \approx 7 \text{jern}$$

$$s_{S.S} = \frac{3300}{7} = 471.42 \text{ mm}$$

$$s_{F.S} = \frac{3650}{7} = 521 \text{ mm}$$

Velger

$$A_s = \frac{17 \text{ Ø16}}{3300 \text{ mm}} \quad \text{i søylestripene}$$

$$A_s = \frac{19 \text{ Ø16}}{3650 \text{ mm}} \quad \text{i feltstripene}$$

Armering over støtte i akse 17

$$d_y = 217 \text{ mm}$$

søylestriper (momentfordeling 80%)

$$M_{ED} = 0.80 \cdot M_{ED;støtte,tot} = 0.80 \cdot 333.6 = 266.88 \text{ kNm}$$

$$M_{Rd;S.S} = 0.275 \cdot 19.8 \cdot 3300 \cdot 217^2 \cdot 10^{-6} = 846 \text{ kNm} > M_{ED}$$

$$z = \left(1 - 0.17 \cdot \frac{M_{ED}}{M_{RD}}\right) \cdot d = \left(1 - 0.17 \cdot \frac{266.88}{846}\right) \cdot 217 \text{ mm} \approx 205.4 \text{ mm}$$

$$A_s = \frac{M_{ED}}{f_{yd} \cdot z} = \frac{266.88 \cdot 10^6}{434 \cdot 205.4} \approx 2985 \text{ mm}^2$$

$$A_{s,min} = 1192 \text{ mm}^2$$

$$n = \frac{2985 \text{ mm}^2}{\pi \cdot 8^2} \approx 15 \text{ jern}$$

$$s = \frac{3300}{15} \approx 220 \text{ mm}$$

Velger

$$A_s = \frac{17 \text{ Ø}16}{3300 \text{ mm}}$$

Feltstriper (momentfordeling 20%)

$$d_y = 217 \text{ mm}$$

$$M_{ED} = 0.80 \cdot M_{ED;støtte,tot} = 0.20 \cdot 333.6 = 66.72 \text{ kNm}$$

$$M_{Rd;F.S} = 935 \text{ kNm} > M_{ED}$$

$$z = \left(1 - 0.17 \cdot \frac{M_{ED}}{M_{RD}}\right) \cdot d = \left(1 - 0.17 \cdot \frac{66.72}{935}\right) \cdot 217 \text{ mm} \approx 214.4 \text{ mm} > 0.95 \text{ d} = 206 \text{ mm}$$

$$A_s = \frac{M_{ED}}{f_{yd} \cdot z} = \frac{66.72 \cdot 10^6}{434 \cdot 206} \approx 746 \text{ mm}^2$$

$$A_{s,min;F.S} = 1318 \text{ mm}^2$$

$$n = \frac{1318 \text{ mm}^2}{\pi \cdot 8^2} \approx 7 \text{ jern}$$

$$s = \frac{3650}{7} \approx 521.4 \text{ mm}$$

Velger

$$A_s = \frac{19 \text{ Ø}16}{3650 \text{ mm}}$$

Armering av midtfelt mellom aksene 17-18

Feltstriper & søylestriper (lik total momentfordeling 50%-50%)

$$d_y = d_x - \phi = 201 \text{ mm}$$

$$M_{ED} = 0.50 \cdot M_{ED;felt,tot} = 0.50 \cdot 151.4 = 75.7 \text{ kNm}$$

$$M_{Rd;S.S} = 726 \text{ kNm} > M_{ED}$$

$$M_{Rd;F.S} = 802 \text{ kNm} > M_{ED}$$

$$A_{s,min;S.S} = 1104 \text{ mm}^2$$

$$A_{s,min;F.S} = 1221 \text{ mm}^2$$

$$z = 0.95 \text{ d} = 190.95$$

$$A_s = \frac{M_{ED}}{f_{yd} \cdot z} = \frac{75.7 \cdot 10^6}{434 \cdot 190.95} \approx 913 \text{ mm}^2$$

$$n_{S.S} = \frac{1104 \text{ mm}^2}{\pi \cdot 8^2} \approx 6 \text{ jern}$$

$$n_{F.S} = \frac{1221 \text{ mm}^2}{\pi \cdot 8^2} \approx 7 \text{ jern}$$

$$s_{S.S} = \frac{3300}{6} = 550 \text{ mm}$$

$$s_{F.S} = \frac{3650}{7} = 521 \text{ mm}$$

Kan godkjenne etter EC2:

$$A_s = \frac{17 \text{ Ø16}}{3300 \text{ mm}} \quad \text{i søylestripene}$$

$$A_s = \frac{19 \text{ Ø16}}{3650 \text{ mm}} \quad \text{i feltstripene}$$

Armering over støtte i akse 18

søylestriper (momentfordeling 80%)

$$d_y = 217$$

$$M_{ED} = 0.80 \cdot M_{ED;støtte,tot} = 0.80 \cdot 422 = 337 \text{ kNm}$$

$$M_{Rd;S.S} = 0.275 \cdot 19.8 \cdot 3300 \cdot 217^2 \cdot 10^{-6} = 846 \text{ kNm} > M_{ED}$$

$$z = \left(1 - 0.17 \cdot \frac{M_{ED}}{M_{RD}}\right) \cdot d = \left(1 - 0.17 \cdot \frac{337}{846}\right) \cdot 217 \text{ mm} \approx 202.3 \text{ mm}$$

$$A_s = \frac{M_{ED}}{f_{yd} \cdot z} = \frac{337 \cdot 10^6}{434 \cdot 202.3} \approx 3838 \text{ mm}^2$$

$$A_{s,min} = 1192 \text{ mm}^2$$

$$n = \frac{3838 \text{ mm}^2}{\pi \cdot 8^2} \approx 20 \text{ jern}$$

$$s = \frac{3300}{20} \approx 165 \text{ mm}$$

Totalt gir dette:

20 Ø16;s160

Utgår, se forankringslengder for
søylestripene nedenfor

Forankringslengder til armering i søylestripene i akse 18:

Benytter maksimalmoment og skjærkraft (akse 18)

I Søylestripe aske 18 $M_{ED} = 337 \text{ kNm}$; $V_{ED} = 0.8 \cdot 373.37 = 298.7 \text{ kN}$

$$\sigma_{sd} = \frac{\frac{337 \cdot 10^6}{202.3} + 298.7 \cdot 10^3}{21 \cdot \pi \cdot 8^2} = 465.3 > f_{yd}$$

* Prøver 23Ø16:

$$\sigma_{sd} = \frac{\frac{337 \cdot 10^6}{202.3} + 298.7 \cdot 10^3}{23 \cdot \pi \cdot 8^2} = 425 < f_{yd}$$
ok

$$l_{bd;rqd} = \frac{16}{4} \cdot \frac{425}{3.3} = 515 \text{ mm}$$

I søylestripene over akse 18, velger

$$A_s = \frac{23 \text{ Ø16}}{3300 \text{ mm}}$$

Momentnullpunktene til $M = 422 \text{ kNm}$ over akse 18 (hentet fra manuell betrakting av feltene mellom akse 17-18 og 18-19).

$$l_{01} = 1.37 \text{ m}$$

Fra akse **18 mot 19**

$$l_{01} = 1.76 \text{ m}$$

Fra **akse 18 mot 17**

Topparmeringen i feltstripene skal ha forankringslengder:

$$l_{bd;rqd;tot} = 1370 + 217 + 515 \approx 2100 \text{ mm}$$

Fra **akse 18 mot 19**

$$l_{bd;rqd;tot} = 1760 + 217 + 515 \approx 2500 \text{ mm}$$

Fra **akse 18 mot 17**

Gjelder topparmeringen i andre søylestripes også

Feltstriper (momentfordeling 20%)

$$d_y = 217 \text{ mm}$$

$$M_{ED} = 0.80 \cdot M_{ED;støtte,tot} = 0.20 \cdot 422 = 84.4 \text{ kNm}$$

$$M_{Rd;F.S} = 935 \text{ kNm} > M_{ED}$$

$$z = \left(1 - 0.17 \cdot \frac{M_{ED}}{M_{RD}}\right) \cdot d = \left(1 - 0.17 \cdot \frac{84.4}{935}\right) \cdot 217 \text{ mm} \approx 214.4 \text{ mm} > 0.95 \text{ d} = 206 \text{ mm}$$

$$A_s = \frac{M_{ED}}{f_{yd} \cdot z} = \frac{84.4 \cdot 10^6}{434 \cdot 206} \approx 944 \text{ mm}^2 \quad A_{s,min;F.S} = 1318 \text{ mm}^2$$

$$n = \frac{1318 \text{ mm}^2}{\pi \cdot 8^2} \approx 7 \text{ jern} \quad s = \frac{3650}{7} \approx 521 \text{ mm}$$

Godkjenner dette

$$A_s = \frac{19 \text{ Ø}16}{3650 \text{ mm}}$$

Forankringslengder til armering i feltstripene over midtstøtter i akse 18:

$$\text{Feltstripe akse 18} \quad M_{ED} = 84.4 \text{ kNm} ; \quad V_{ED} = 0.2 \cdot 373.37 = 74.7 \text{ kN}$$

$$\sigma_{sd} = \frac{\frac{84.4 \cdot 10^6}{206} + 74.7 \cdot 10^3}{15 \cdot \pi \cdot 8^2} = 161 < f_{yd} \quad \text{ok}$$

$$l_{bd;rqd} = \frac{16}{4} \cdot \frac{161}{3.3} = 195 \text{ mm}$$

Topparmeringen i **feltstripene** skal ha forankringslengder:

$$l_{bd;rqd;tot} = 1370 + 217 + 195 \approx 1700 \text{ mm}$$

Fra **akse 18 mot 19**

$$l_{bd;rqd;tot} = 1760 + 217 + 195 \approx 2100 \text{ mm}$$

Fra **akse 18 mot 17**

Gjelder topparmeringen i andre feltstriper også

Armering av midtfelt mellom aksene 18-19

Feltstriper & søylestriper (lik total momentfordeling 50%-50%)

$$d_y = d_x - \phi = 201 \text{ mm}$$

$$M_{ED} = 0.50 \cdot M_{ED;felt,tot} = 0.50 \cdot 331 = 165.5 \text{ kNm}$$

$$M_{Rd;S.S} = 726 \text{ kNm} > M_{ED}$$

$$M_{Rd;F.S} = 802 \text{ kNm} > M_{ED}$$

$$A_{s,min;S.S} = 1104 \text{ mm}^2$$

$$A_{s,min;F.S} = 1221 \text{ mm}^2$$

$$z = 0.95 \quad d = 190.95$$

$$A_s = \frac{M_{ED}}{f_{yd} \cdot z} = \frac{165.5 \cdot 10^6}{434 \cdot 190.95} \approx 1997 \text{ mm}^2$$

$$n = \frac{1997 \text{ mm}^2}{\pi \cdot 8^2} \approx 10 \text{ jern}$$

$$s_S = \frac{3300}{10} = 330 \text{ mm}$$

$$s_{F.S} = \frac{3650}{10} = 365 \text{ mm}$$

Velger

$$A_s = \frac{17 \text{ Ø16}}{3300 \text{ mm}} \quad \text{i søylestripene}$$

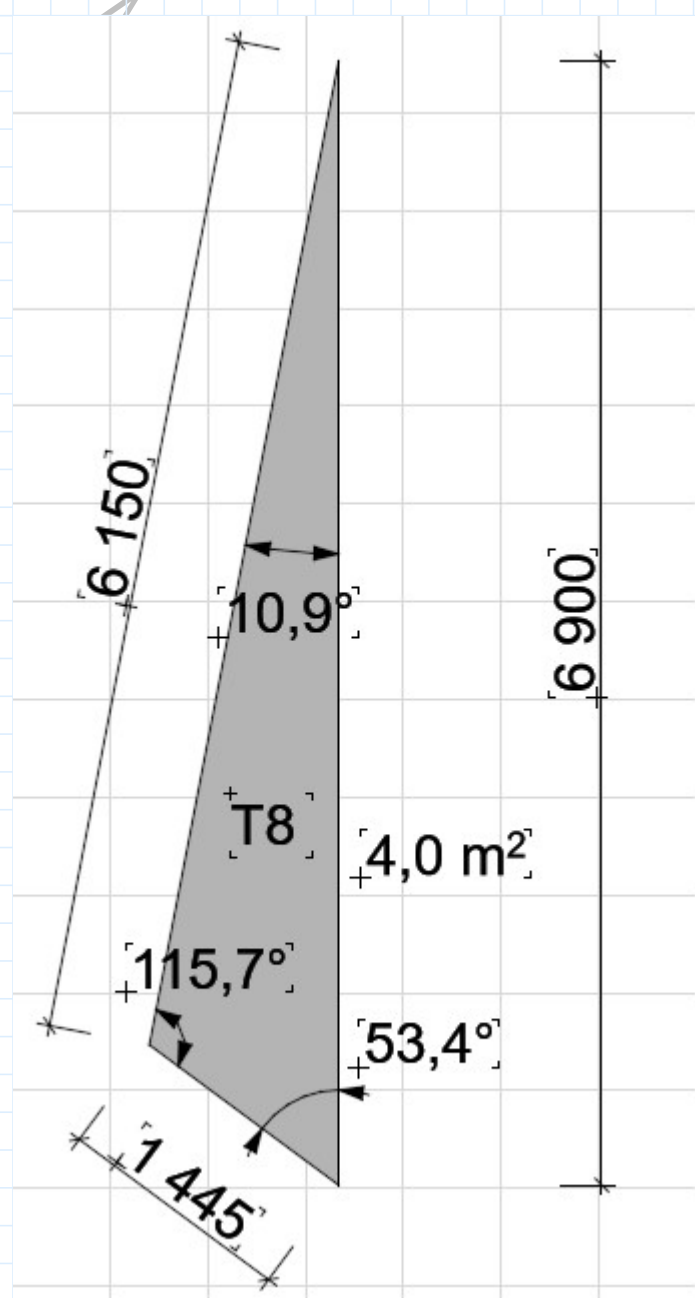
$$A_s = \frac{19 \text{ Ø16}}{3650 \text{ mm}} \quad \text{i feltstripene}$$

Denne siden er satt med vilje tom

Vedlegg 7: Flattdekke beregninger- soner med irregulær søyleplassering

IRS1

Steg 1: Velg trekanten med lengste sidekant:



Steg 2: Velg høyden på platen

$h = 250 \text{ mm}$

Allerede valgt siden geometri, armeringsdiameter, og overdekning var forhåndsbestemt i forprosjekten.

Steg 3: Dimensjonerende areal last og moment i ULS

$$Q_{Ed} = 13.32 \frac{kN}{m^2}$$

$$q_{Ed} = 13.32 \frac{kN}{m^2} \cdot 1 m = 13.32 \frac{kN}{m}$$

$$M_{Ed} = \frac{Q_{Ed} \cdot 1 m \cdot L^2}{8} = \frac{13.32 \cdot 6.9^2}{8} = 79 \frac{kNm}{m}$$

Velger $M_{Ed} = 100 \frac{kNm}{m}$

for å være mer sikker siden området er irregulært og beregningsmetoden er ikke 100% nøyaktig

Steg 4: Bestem nødvendig effektivhøyde (d)

I x-retning, er $d = 217 mm$ for bunnarmersingssatte. Den er allerede valgt pga. forhåndsvalet dekket tykkelse, armerrings diameter, og overdekning. Trenger ikke å beregne den

Steg 5: Beregn momentkapasiteten

$$M_{Rd} = 0.275 \cdot f_{cd} \cdot b \cdot d^2 = 0.275 \cdot 19.8 \cdot 1000 \cdot 217^2 \cdot 10^{-6} = 256 \frac{kNm}{m} > M_{Ed}$$
ok

Trykksonen er delvis utnyttet

$$z = \left(1 - 0.17 \cdot \frac{M_{Ed}}{M_{Rd}}\right) \cdot d = \left(1 - 0.17 \cdot \frac{100}{256}\right) \cdot 217 = 202.6 mm$$

Steg 6: Beregn nødvendig armering

$$A_s = \frac{M_{Ed}}{f_{yd} \cdot z} = \frac{100 \cdot 10^6}{434 \cdot 202.6} = 1137 mm^2$$

$$A_{s,min} = 0.26 \cdot \frac{f_{ctm}}{f_{yk}} \cdot b_t \cdot d = 0.26 \cdot \frac{3.2}{500} \cdot 1000 \cdot 217 = 361 mm^2$$

$$n = \frac{1137}{\pi \cdot 8^2} = 6$$

Bruker 6 Ø16 per meter platebredde

Steg 7: Kontroll av skjærkapasitet

Finner envies skjærkraft

$$V_{Ed1} = q_{Ed} \cdot \frac{L}{2} \Rightarrow V_{Ed1} = 13.32 \frac{kN}{m \cdot m} \cdot \frac{6.9}{2} m = 46 kN$$

Finner skjærkapasiteten

$$\rho = \frac{6 \cdot \pi \cdot 8^2}{1000 \cdot 217} = 0.0056$$

$$C_{Rd;c} = \frac{0.18}{1.5} = 0.12$$

$$k = 1 + \sqrt{\frac{200}{217}} = 1.96 < 2.0 \quad ok$$

$$V_{Rd;c} = C_{Rd;c} \cdot k \cdot (100 \cdot \rho \cdot f_{ck})^{\frac{1}{3}} \cdot b \cdot d = 138 \text{ kN} > V_{Ed1}$$

ok

$$V_{Rd;c,min} = 0.0035 \cdot k^{\frac{3}{2}} \cdot \sqrt{f_{ck}} \cdot b \cdot d = 123 \text{ kN} > V_{Ed1}$$

ok

Steg 8: Kontroll av gjennomlokking, se tegning 14 for arealene de ulike søylene i 2- og 3-ETG bærer

kantsøylene i IRS1 er belastet med arealet av trekant T2

$$A_{T2} = 4.8 \text{ m}^2$$

Arealet til søyle 02-1
er størst, bruker den
for alle andre
kantsøyler i IRS1
(konservativt)

$$\Rightarrow V_{Ed2} = q_{Ed} \cdot A = 13.32 \frac{\text{kN}}{\text{m}^2} \cdot 4.8 \text{ m}^2 = 64 \text{ kN}$$

Innersøylene B1 & C1 er belastet med arealene

$$A_{B1} = 14.7 \text{ m}^2$$

$$A_{C1} = 16.6 \text{ m}^2 \quad \text{Bruker denne (konseptivt)}$$

$$\Rightarrow V_{Ed2} = q_{Ed} \cdot A = 13.32 \frac{\text{kN}}{\text{m}^2} \cdot 16.6 \text{ m}^2 = 221 \text{ kN}$$

Midlere effektivhøyde for topparmeringen i x- og y-retning

$$d = \frac{d_x + d_y}{2} = \frac{217 + 201}{2} = 209 \text{ mm}$$

Skjærstrekke kapasitet

$$\rho_x = \frac{384 \pi}{1000 \cdot 217} = 0.0056$$

$$\rho_y = \frac{384 \pi}{1000 \cdot 201} = 0.006$$

$$\rho = \sqrt{\rho_x \cdot \rho_y} = 0.0058$$

$$v_{Rd;c} = C_{Rd;c} \cdot k \cdot (100 \cdot \rho \cdot f_{ck})^{\frac{1}{3}} = 0.12 \cdot 1.98 \cdot (100 \cdot 0.0056 \cdot 35)^{\frac{1}{3}} = 0.65 \text{ MPa}$$

Innersøylene B1 & C1

$$u_1 = 2 c_1 + 2 c_2 + 4 \pi d = (2 \cdot 400) + (2 \cdot 300) + (4 \cdot \pi \cdot 209) = 4026 \text{ mm}$$

$$v_{Ed} = \beta \cdot \frac{V_{Ed2}}{u_1 \cdot d} = 1.15 \cdot \frac{221 \cdot 10^3}{4026 \cdot 209} = 0.26 \text{ MPa} < v_{Rd;c} \quad \text{ok}$$

Kantsøylene

$$u_1 = 2 c_2 + c_1 + 2 \pi d = (2 \cdot 300) + 400 + (2 \cdot \pi \cdot 209) = 2313 \text{ mm}$$

$$v_{Ed} = \beta \cdot \frac{V_{Ed}}{u_1 \cdot d} = 1.40 \cdot \frac{64 \cdot 10^3}{2313 \cdot 209} = 0.18 \text{ MPa} < v_{Rd;c} \quad \text{ok}$$

Trenger ikke gjennlokkingsarmering i ISR1!

Skjærtrykk kapasitet

$$v_{Rd,max} = 0.4 \cdot v \cdot f_{cd} = 0.4 \cdot 0.6 \cdot \left(1 - \frac{f_{ck}}{250}\right) \cdot f_{cd} = 0.4 \cdot 0.6 \cdot \left(1 - \frac{35}{250}\right) \cdot 19.8 = 4.1 \text{ MPa} > v_{min}$$

Skjærtrykkkapasiteten kontrolleres ved
søylekanten, må det kontrolleres:

Hvor $u_0 = 2 c_1 + 2 c_2$ for en innersøyle

$u_0 = c_2 + 3 d \leq c_2 + 2 c_1$ for en kantsøyle

$u_0 = 3 d \leq c_2 + 2 c_1$ for en hjørnesøyle

Innersøyler $u_0 = (2 \cdot 400) + (2 \cdot 300) = 1400 \text{ mm}$

$$v_{Ed} = 1.15 \cdot \frac{221 \cdot 10^3}{1400 \cdot 209} = 0.87 \text{ MPa} < v_{Rd,max} \quad \text{ok}$$

Kantsøyler $u_0 = 300 + (3 \cdot 209) = 927 \text{ mm}$

$$v_{Ed} = 1.40 \cdot \frac{64 \cdot 10^3}{927 \cdot 209} = 0.46 \text{ MPa} < v_{Rd,max} \quad \text{ok}$$

Skjærtrykkkapasitet er på sikker side

Steg 9: Tilnærmet nedbøyningskontroll

$$g_k = 2.3 + 6.3 = 8.6 \frac{kN}{m^2}$$

$$p_k = 0.3 \cdot 2.0 = 0.6 \frac{kN}{m^2}$$

$$q_k = g_k + p_k = 9.2 \frac{kN}{m^2} \cdot 1 m = 9.2 \frac{kN}{m}$$

$$M = \frac{9.2 \cdot 6.9^2}{8} = 55 \text{ kNm}$$

$$I_c = \frac{bh^3}{12} = \frac{1000 \cdot 250^3}{12} = 13 \cdot 10^8 \text{ mm}^4$$

$$EI = 34000 \cdot 13 \cdot 10^8 = 4.42 \cdot 10^{13} \text{ Nmm}^2$$

$$\delta_{tillatt} = \frac{L}{250} = \frac{6900}{250} = 27.6 \text{ mm}$$

$$\delta = \frac{M}{8 EI} \cdot \left[(\sqrt{2 L^2}) - (2 b_{søyle}) \right]^2 = \frac{55 \cdot 10^6}{8 \cdot 4.42 \cdot 10^{13}} \cdot \left[(\sqrt{2 \cdot 6900^2}) - (2 \cdot 300) \right]^2 = 13 \text{ mm}$$

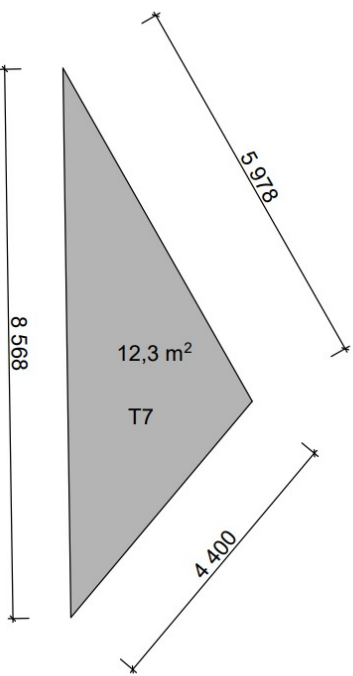
$$\delta < \delta_{tillatt}$$

ok

Steg 10: Detlajering og armeringstegning

Se vedlagte aremringetegninger

IRS2

Steg 1: Velg trekanten med lengste sidekant:

Steg 2: Velg høyden på platen

$$h = 250 \text{ mm}$$

Allerede valgt siden geometri, armeringsdiameter, og overdekning var forhåndsbestemt i forprosjektet

Steg 3: Dimensjonerende areal last og moment i ULS

$$Q_{Ed} = 13.32 \frac{kN}{m^2}$$

$$q_{Ed} = 13.32 \frac{kN}{m^2} \cdot 1 \text{ m} = 13.32 \frac{kN}{m}$$

$$M_{Ed} = \frac{Q_{Ed} \cdot 1 \text{ m} \cdot L^2}{8} = \frac{13.32 \cdot 8.6^2}{8} = 123 \frac{kNm}{m}$$

Velger

$$M_{Ed} = 150 \frac{kNm}{m}$$

for å være mer sikker siden området er irregulært og beregningsmetoden er ikke 100% nøyaktig

Steg 4: Bestem nødvendig effektivhøyde (d)

I x-retning, er $d = 217 \text{ mm}$

for bunnarmeringsmatte. Den er allerede valgt pga. forhåndsvalet dekket tykkelse, armerrings diamter, og overdekning. Trenger ikke å beregne den

Steg 5: Beregn momentkapasiteten

$$M_{Rd} = 0.275 \cdot f_{cd} \cdot b \cdot d^2 = 0.275 \cdot 19.8 \cdot 1000 \cdot 217^2 \cdot 10^{-6} = 256 \frac{kNm}{m} > M_{Ed} \quad \text{ok}$$

Trykksonen er delvis utnyttet

$$z = \left(1 - 0.17 \cdot \frac{M_{Ed}}{M_{Rd}}\right) \cdot d = \left(1 - 0.17 \cdot \frac{150}{256}\right) \cdot 217 = 195 \text{ mm}$$

Steg 6: Beregn nødvendig armering

$$A_s = \frac{M_{Ed}}{f_{yd} \cdot z} = \frac{150 \cdot 10^6}{434 \cdot 195} = 1772 \text{ mm}^2$$

$$A_{s,min} = 0.26 \cdot \frac{f_{ctm}}{f_{yk}} \cdot b_t \cdot d = 0.26 \cdot \frac{3.2}{500} \cdot 1000 \cdot 217 = 361 \text{ mm}^2$$

$$n = \frac{1772}{\pi \cdot 8^2} = 9$$

Bruker 9 Ø16 per meter platebredde

Steg 7: Kontroll av skjærkapasitet

Finner envies skjærkraft

$$V_{Ed1} = q_{Ed} \cdot \frac{L}{2} \Rightarrow V_{Ed1} = 13.32 \frac{kN}{m \cdot m} \cdot \frac{8.6}{2} m = 57 \frac{kN}{m}$$

Finner skjærkapasiteten

$$\rho = \frac{9 \cdot \pi \cdot 8^2}{1000 \cdot 217} = 0.0083$$

$$C_{Rd;c} = \frac{0.18}{1.5} = 0.12$$

$$k = 1 + \sqrt{\frac{200}{217}} = 1.96 < 2.0 \quad \text{ok}$$

$$V_{Rd;c} = C_{Rd;c} \cdot k \cdot (100 \cdot \rho \cdot f_{ck})^{\frac{1}{3}} \cdot b \cdot d = 156 \text{ kN} > V_{Ed1} \quad \text{ok}$$

$$V_{Rd;c,min} = 0.035 \cdot k^2 \cdot \sqrt{f_{ck}} \cdot b \cdot d = 123 \text{ kN} > V_{Ed1} \quad \text{ok}$$

Steg 8: Kontroll av gjennomlokking, se tegning nr. 14 for arealene som de ulike søylene bærer

Antar at alle kantsøylene i IRS2 er belastet med arealet av søyle 20-1-2 (konservativt)

$$A = 13.5 \text{ m}^2$$

Presenterer kapasitetskontroller på noen valgte søyler:

$$\Rightarrow V_{Ed2} = q_{Ed} \cdot A = 13.32 \frac{kN}{m^2} \cdot 13.5 \text{ m}^2 = 180 \text{ kN}$$

Innersøyle F19 er blastet med et areal $A = 27.8 \text{ m}^2$

$$\Rightarrow V_{Ed2} = q_{Ed} \cdot A = 13.32 \frac{kN}{m^2} \cdot 27.8 \text{ m}^2 = 370.3 \text{ kN}$$

Innersøyle G19 er blastet et areal $A = 39.8 \text{ m}^2$

$$\Rightarrow V_{Ed2} = q_{Ed} \cdot A = 13.32 \frac{kN}{m^2} \cdot 39.8 \text{ m}^2 = 530.14 \text{ kN}$$

Midlere effektivhøyde for topparmeringen i x- og y-retning

$$d = \frac{d_x + d_y}{2} = \frac{217 + 201}{2} = 209 \text{ mm}$$

Sjærstrekks kapasitet

$$C_{Rd,c} = 0.12 \quad k = 1 + \sqrt{\frac{200}{209}} = 1.98 \quad \rho_x = \frac{576 \pi}{1000 \cdot 217} = 0.0083 \quad \rho_y = \frac{576 \pi}{1000 \cdot 201} = 0.0090$$
$$\rho = \sqrt{\rho_x \cdot \rho_y} = 0.0086$$

$$v_{Rd;c} = C_{Rd;c} \cdot k \cdot (100 \cdot \rho \cdot f_{ck})^{\frac{1}{3}} = 0.12 \cdot 1.98 \cdot (100 \cdot 0.0086 \cdot 35)^{\frac{1}{3}} = 0.74 \text{ MPa}$$

$$v_{min} = 0.035 \cdot k^{\frac{3}{2}} \cdot \sqrt{f_{ck}} = 0.57 \text{ MPa}$$

$$v_{Rd;c} > v_{min}$$

ok

Innersøyle F19

$$u_1 = 2 c_1 + 2 c_2 + 4 \pi d = (2 \cdot 400) + (2 \cdot 300) + (4 \cdot \pi \cdot 209) = 4026 \text{ mm}$$

$$v_{Ed} = \beta \cdot \frac{V_{Ed2}}{u_1 \cdot d} = 1.15 \cdot \frac{370.3 \cdot 10^3}{4026 \cdot 209} = 0.50 \text{ MPa} < v_{Rd;c}$$

ok

Innersøyle G19

$$u_1 = 2 c_1 + 2 c_2 + 4 \pi d = (2 \cdot 400) + (2 \cdot 300) + (4 \cdot \pi \cdot 209) = 4026 \text{ mm}$$

$$v_{Ed} = \beta \cdot \frac{V_{Ed2}}{u_1 \cdot d} = 1.15 \cdot \frac{530.14 \cdot 10^3}{4026 \cdot 209} = 0.71 \text{ MPa} < v_{Rd;c}$$

ok

Kantsøylenes

$$u_1 = 2 c_2 + c_1 + 2 \pi d = (2 \cdot 300) + 400 + (2 \cdot \pi \cdot 209) = 2313 \text{ mm}$$

$$v_{Ed} = \beta \cdot \frac{V_{Ed2}}{u_1 \cdot d} = 1.40 \cdot \frac{180 \cdot 10^3}{2313 \cdot 209} = 0.52 \text{ MPa} < v_{Rd;c}$$

ok

Søylen H-20-1 (regnes som kant søyle) og E-20-2 (regnes som innersøyle) får en midlere effektiv høyde som er middelen av dekkets midlere effektiv høyde (209mm) og balkongens effektiv høyde (157mm), altså d=183mm. Søylen også er kontrollert for laster på balkongen i tillegg til areal andelene sine fra etasje dekket, og er på sikker side. Beregningene er ikke presentert her for å få med mindre skriving.

Trenger ikke gjennomlokkingsarmering over søylene i IRS2

Skjærtrykk kapasitet

$$v_{Rd,max} = 0.4 \cdot v \cdot f_{cd} = 0.4 \cdot 0.6 \cdot \left(1 - \frac{f_{ck}}{250}\right) \cdot f_{cd} = 0.4 \cdot 0.6 \cdot \left(1 - \frac{35}{250}\right) \cdot 19.8 = 4.1 \text{ MPa}$$

Skjærtrykk kapasiteten kontrolleres ved søylekanten, og det må kontrolleres at:

$$v_{Ed} = \beta \cdot \frac{V_{Ed2}}{u_0 \cdot d} \leq v_{Rd,max}$$

Hvor: $u_0 = 2 c_1 + 2 c_2$ for en innersøyle

$u_0 = c_2 + 3 d \leq c_2 + 2 c_1$ for en kantsøyle

$u_0 = 3 d \leq c_2 + 2 c_1$ for en hjørnesøyle

Innersøyle F19 $u_0 = (2 \cdot 400) + (2 \cdot 300) = 1400 \text{ mm}$

$$v_{Ed} = 1.15 \cdot \frac{370.3 \cdot 10^3}{1400 \cdot 209} = 1.45 \text{ MPa} < v_{Rd,max}$$

ok

Innersøyle G19 $u_0 = (2 \cdot 400) + (2 \cdot 300) = 1400 \text{ mm}$

$$v_{Ed} = 1.15 \cdot \frac{530.14 \cdot 10^3}{1400 \cdot 209} = 2.1 \text{ MPa} < v_{Rd,max}$$

ok

Kantsøylene $u_0 = 300 + (3 \cdot 209) = 927 \text{ mm}$

$$v_{Ed} = 1.40 \cdot \frac{180 \cdot 10^3}{927 \cdot 209} = 1.30 \text{ MPa} < v_{Rd,max}$$

ok

Skjærtrykkkapasitet er på sikker side

ok

Steg 9: Tilnærmet nedbøyningskontroll

$$g_k = 2.3 + 6.3 = 8.6 \frac{kN}{m^2}$$

$$p_k = 0.3 \cdot 2.0 = 0.6 \frac{kN}{m^2}$$

$$q_k = g_k + p_k = 9.2 \frac{kN}{m^2} \cdot 1 m = 9.2 \frac{kN}{m}$$

$$M = \frac{9.2 \cdot 8.6^2}{8} = 85 \text{ kNm}$$

$$I_c = \frac{bh^3}{12} = \frac{1000 \cdot 250^3}{12} = 13 \cdot 10^8 \text{ mm}^4$$

$$EI = 34000 \cdot 13 \cdot 10^8 = 4.42 \cdot 10^{13} \text{ Nmm}^2$$

$$\delta_{tillatt} = \frac{L}{250} = \frac{8600}{250} = 34.4 \text{ mm}$$

$$\delta = \frac{M}{8 EI} \cdot \left[(\sqrt{2 L^2}) - (2 b_{søyle}) \right]^2 = \frac{85 \cdot 10^6}{8 \cdot 4.42 \cdot 10^{13}} \cdot \left[(\sqrt{2 \cdot 8600^2}) - (2 \cdot 300) \right]^2 = 32 \text{ mm}$$

$$\delta < \delta_{tillatt}$$

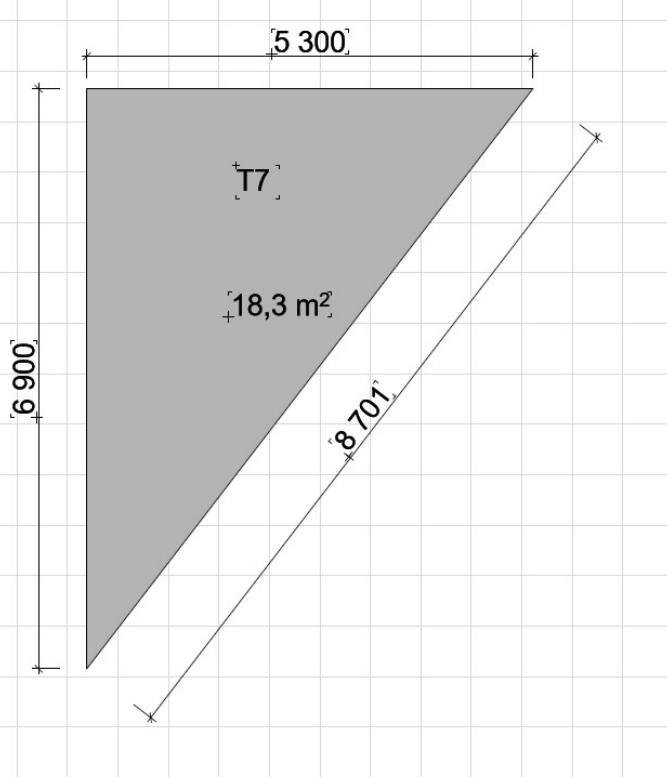
ok

Steg 10: Detlajering og armeringstegning

Se vedlagte aremringetegninger

IRS3

Velg trekanten med lengste sidekant:



Trenger ikke å gjenta beregninger siden armeringsmengde blir i x- og y-retnign den samme som IRS2

$$A_s = \frac{9 \varnothing 16}{m}$$

$$\rho_x = \frac{576 \pi}{1000 \cdot 217} = 0.0083 \quad \rho_y = \frac{576 \pi}{1000 \cdot 201} = 0.0090$$

Skjærkapasiteten og nedbøyninger blir også tilnærmet lik IRS2

Kontroll av gjennomlokking

NB! Alle søyler i IRS3 er sikre mot gjennomlokking. Både skjærstrekks- og skjærtrykkkapasiteten er på sikker side (beregningen er ikke presentert for å få mindre sider i rapporten).

Denne siden er satt med vilje tom

Vedlegg8: Gjennomlokkingskontroll over søyler i RS1 & RS2

Innledning:

Søyler som krever gjennomlokkingsarmering i sonene RS1 og RS2 er:

Kantsøyle D2 i RS1

Kantsøylene H16, H17, og H18 i RS2

Innersøylene G17 og G18 i RS2

Totalt er det 6 søyler som er gjennomlokkingsarmert i bygget

Kravene for gjennomlokking er gitt i **EC2-1-1 6.4** og **9.4.3**

Karakteristiske areallaster over dekket (alle etasjer) (**se vedlegg 1 &4**):

$$g_k = 8.6 \frac{kN}{m^2}$$

$$q_k = 2.0 \frac{kN}{m^2}$$

Dimensjonerede areallast

$$q_{ED} = 1.2 g_k + 1.5 q_k = 13.32 \frac{kN}{m^2}$$

Midlere effektivehøyde:

$$d = \frac{d_x + d_y}{2} = \frac{201 + 217}{2} = 209 \text{ mm}$$

Kontroll omkrets for innersøylene

$$u_1 = 2 c_1 + 2 c_2 + 4 \pi d = (2 \cdot 400) + (2 \cdot 300) + (4 \cdot \pi \cdot 209) = 4026 \text{ mm}$$

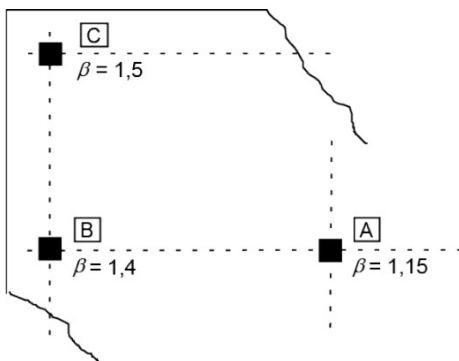
Kontroll omkrets for kantsøylene i RS1

$$u_1 = 2 c_1 + c_2 + 2 \pi d = (2 \cdot 300) + 400 + (2 \cdot \pi \cdot 209) = 2313 \text{ mm}$$

Kontroll omkrets for kantsøylene i RS2

$$u_1 = c_1 + 2 c_2 + 2 \pi d = 300 + (2 \cdot 400) + (2 \cdot \pi \cdot 209) = 2413 \text{ mm}$$

Ihht til EC2, vil skjærspenningene økes pga søyle-dekke momentene, men hvis horisontal stabilitet av bygget er ivaretatt av annet system enn rammeverkingen mellom søylene-platene, kan figur 6.21N benyttes for å finne økningsfaktoren (β) av skjærspenningene. I denne oppgaven, er vindavstivning tatt av vertikalskiver, så β -verdiene kan benyttes direkte fra figuren uten ekstra beregninger.



- | | |
|---|-----------------|
| A | internal column |
| B | edge column |
| C | corner column |

Figure NA.6.21N — Simplified values for β

RS1

Kantsøyle D2

Armeringsforhold til topparmeringen som går over søylen i x- og y- retning i en bredde lik søybens bredde +3d på hver side :

X-retning

$$b = 400 + 2 \cdot (3 \cdot 209) = 1654 \text{ mm}$$

$A_{sx;topp} = 12 \text{ Ø}16$ over en bredde lik søylestirpen = 2800mm

$$A_s = \frac{1654}{2800} \cdot 12 \cdot \pi \cdot 8^2 = 1425 \text{ mm}^2$$

$$\rho_{lx} = \frac{1425}{1654 \cdot 201} = 0.0043$$

Y-retning

$$b = 300 + 2 \cdot (3 \cdot 209) = 1554 \text{ mm}$$

$A_{sy;topp} = 16 \text{ Ø}16$ over en bredde lik søylestirpen = 2800mm

$$A_s = \frac{1554}{2800} \cdot 16 \cdot \pi \cdot 8^2 = 1785 \text{ mm}^2$$

$$\rho_{ly} = \frac{1785}{1554 \cdot 217} = 0.0053$$

\Rightarrow

$$\rho = \sqrt{\rho_{lx} \cdot \rho_{ly}} = 0.0048$$

Sjærstrekk kapasitet

$$C_{Rd;c} = 0.12$$

$$k = 1 + \sqrt{\frac{200}{209}} = 1.98$$

$$v_{Rd;c} = C_{Rd;c} \cdot k \cdot (100 \cdot \rho \cdot f_{ck})^{\frac{1}{3}} = 0.12 \cdot 1.98 \cdot (100 \cdot 0.0048 \cdot 35)^{\frac{1}{3}} = 0.61 \text{ MPa}$$

$$v_{min} = 0.035 \cdot k^{\frac{3}{2}} \cdot \sqrt{f_{ck}} = 0.57 \text{ MPa}$$

$$v_{Rd;c} > v_{min}$$

ok

Sjærtrykk kapasitet

$$v_{Rd,max} = 0.4 \cdot v \cdot f_{cd} = 0.4 \cdot 0.6 \cdot \left(1 - \frac{f_{ck}}{250}\right) \cdot f_{cd} = 0.4 \cdot 0.6 \cdot \left(1 - \frac{35}{250}\right) \cdot 19.8 = 4.1 \text{ MPa}$$

(se tegning 14 for areal fordeling over søylene)

Søyle D2 er belastet med areal fra dekket

$$A = 18.4 \text{ m}^2$$

Søyle D2 er belastet med areal fra en bakong

$$A = 2.8 \text{ m}^2$$

$$V_{Ed2} = \left(13.32 \frac{kN}{m^2} \cdot 18.4 \text{ m}^2\right) + \left(12 \frac{kN}{m^2} \cdot 2.8 \text{ m}^2\right) = 279 \text{ kN}$$

Skjærspenninger ved første kritisk kontroll omkrets:

$$v_{Ed} = \beta \cdot \frac{V_{Ed2}}{u_1 \cdot d} = 1.40 \cdot \frac{279 \cdot 10^3 \text{ N}}{2313 \text{ mm} \cdot 209 \text{ mm}} = 0.81 > v_{Rd,c}$$

ikkeok!

Skjærspenninger ved øylekant:

$$u_0 = c_2 + 3 \cdot d = 300 + (3 \cdot 209) = 927 \text{ mm}$$

$$v_{Ed} = \beta \cdot \frac{V_{Ed2}}{u_0 \cdot d} = 1.40 \cdot \frac{279 \cdot 10^3}{927 \cdot 209} = 2.0 \text{ MPa} < v_{Rd,max}$$

ok

Nødvendig armering

$$v_{Rd,c,max} = 1.96 \cdot 0.81 = 1.59 \text{ MPa} > v_{Ed} = 0.81 \text{ MPa}$$

DVS. at Peikko systemet kan benyttes

ok

Første omkrets hvor skjærarmering er ikke nødvendig

$$u_{out,eff} = \beta \cdot \frac{V_{Ed}}{v_{Rd,c} \cdot d}$$

$$\Rightarrow u_{out,eff} = 1.40 \cdot \frac{279 \cdot 10^3}{0.81 \cdot 209} = 2307.3 \text{ mm}$$

Regner avstanden fra kantsøylenes liv til den første omkretsen hvor skjærarmering er ikke nødvendig

$$u_{out;eff} = c_1 + 2 \cdot c_2 + 2 \cdot \pi \cdot d_{out}$$

$$\Rightarrow 2 \cdot d_{out} = \frac{u_{out;eff} - (c_1 + 2 \cdot c_2)}{\pi} = \frac{2307.3 - (400 + 2 \cdot 300)}{\pi} = 416 \text{ mm}$$

$$\Rightarrow 2 \cdot d_{out} = \frac{416 \text{ mm}}{d = 209 \text{ mm}} = 1.99 \cdot d$$

Regner høyden på armeringsenhetene

$$h_A = h - 2 \cdot c_{nom} = 250 - (2 \cdot 25) = 200 \text{ mm}$$

Avstander mellom skjærarmeringsenhetene

Radielle avstander

$$s_l \leq 0.75 \cdot d = 0.75 \cdot 156.75 \text{ mm}$$

Første stang plasseres fra søylen

$$\Rightarrow \text{velger } s_l = 150 \text{ mm}$$

$$s_0 \geq 0.35 \cdot d < 0.5 \cdot d$$

$$0.35 \cdot d = 73.15 \text{ mm} \quad 0.5 \cdot d = 104.5 \text{ mm}$$

$$\Rightarrow \text{velger } s_0 = 75 \text{ mm}$$

Skjærarmeringen plasseres innenfor avstand lik den effektive høyden fra omkretsen hvor skjærarmering er ikke nødvendig, dette medfører at hele armeringen skal plasseres over en avstand fra søylenes kanter lik:

$$l_{req} = 2 \cdot d_{out} - d = 416 - 209 = 207 \text{ mm}$$

Minste antallet PSB armeringstenger per 1 element

$$n_{req} = \frac{l_{req} - s_0}{s_l} + 1 = \frac{605 - 70}{150} + 1 = 1.88 \quad n_{prov} = 2$$

Aktuell lengde av et element

$$l_{s;prov} = s_0 + (n_{prov} - 1) \cdot s_l = 75 + (2 - 1) \cdot 150 = 225 \text{ mm}$$

Øker elementenes lengde med $s_0 = 75 \text{ mm}$ som tekniskhåndboken anbefaler; slik at:

$$l_{s,tot} = 370 + 75 = 300 \text{ mm}$$

Aktuell ytre kontroll omkrets

$$u_{out;prov} = c_1 + 2 c_2 + 2 \pi \cdot (l_{s;prov} + d) = 3727 \text{ mm}$$

Kontrollerer skjærspenningen ved den aktuelle ytre omkretsen

$$v_{Ed,out} = \beta \cdot \frac{V_{Ed}}{u_{out;prov} \cdot d} = 1.40 \cdot \frac{279 \cdot 10^3}{3727 \cdot 209} = 0.50 \text{ MPa} < v_{Rd;c,out} = 0.61 \text{ MPa}$$

ok

Antall armeringsenheter

1. Fasthetstilstand $m_{c;req} \geq \frac{\beta \cdot V_{Ed} \cdot \eta}{n_c \cdot A_{si} \cdot f_{yd}}$ $\eta = 1.0$ for $d \leq 200 \text{ mm}$
 $\eta = 1.0$ for $d \geq 800 \text{ mm}$

A_{si} armeringsarealet per stang
(Velger Ø10)

Linærinterpolering for mellomverdier

n_c Antallet stenger mellom
elemntene, er lik 2 $\Rightarrow \eta = 1.015$

$$\Rightarrow m_{c;req} \geq \frac{1.40 \cdot 279 \cdot 10^3 \cdot 1.015}{2 \cdot \pi \cdot 5^2 \cdot 434} \geq 5.81 \approx 6 \text{ elemnter}$$

Tangentielle avstander i følge Peikko og ETA avviker fra EC2-1-1. Dette er fordi EC2-1-1 gir krav for tradisjonell skjærarmering med bøyler eller kroker, mens Peikko leverer produkter som er testet i laboratorie og bruker kravene fra ETA

Innenfor 1d fra søylen: $s_t \leq 1.7 \text{ d}$

Utenfor 1d fra søylen og
ut mot ytre omkretsen
hvor armering er ikke
nødvendig:

$s_t \leq 3.5 \text{ d}$

Sjekker maksimal gjennomlokkingsmotstand av PSB Ø10 T-hodet armering

$$V_{Rd;sy} = m_c \cdot n_c \cdot \frac{d_A^2 \cdot \pi \cdot f_{yk}}{4 \cdot \gamma_s \cdot \eta} = 6 \cdot 2 \cdot \frac{10^2 \cdot \pi \cdot 500}{4 \cdot 1.15 \cdot 1.015} = 403 \text{ kN}$$

$$\beta \cdot V_{Ed} = 1.40 \cdot 279 \text{ kN} = 391 \text{ kN} < V_{Rd;sy}$$

ok

Konklusjon: Bruker **6 elementer** med **Ø10** stenger per element, **total lengde** av elementene er **300 mm** fra søyleneskanter. Se tegning10 for detaljer.

RS2

Kantsøylene H16, H17, & H18

H17 & H18 likt belastet fra platene, men H16 er litt mindre belastet. Siden H17 & H18 er mest kritisk, vil H16 få samme armeringsmengde som H17 & H18 for å spare tid.
Se tegning 14 for arealene de ulike søylene bærer.

$$A = 24.3 \text{ m}^2 \quad \text{Areal fra platen}$$

$$A = (3.6 + 5) = 8.6 \text{ m}^2 \quad \text{Areal fra balkonger}$$

Laster

Fra blakongene

$$Q_{Ed} = (25 \cdot 0.20) \cdot 1.2 + (4 \cdot 1.5) = 12 \frac{kN}{m^2}$$

Fra platen

$$Q_{Ed} = 13.32$$

2-veis skjærkraften fra søylene på platen

$$V_{Ed2} = (12 \cdot 8.6) + (13.32 \cdot 24.3) = 427 \text{ kN}$$

Armeringsforhold til topparmeringen som går over søylen i x- og y- retning i en bredde lik søybens bredde +3d på hver side :

X-retning

$$b = 300 + 2 \cdot (3 \cdot 209) = 1554 \text{ mm}$$

$A_{sx;topp} = 16 \text{ Ø}16$ over en bredde lik søylestirpen = 3300mm

$$A_s = \frac{1554}{3300} \cdot 16 \cdot \pi \cdot 8^2 = 1514 \text{ mm}^2$$

$$\rho_{lx} = \frac{1514}{1554 \cdot 201} = 0.0049$$

Y-retning

$$b = 400 + 2 \cdot (3 \cdot 209) = 1654 \text{ mm}$$

$A_{sy;topp} = 17 \text{ Ø}16$ over en bredde lik søylestirpen = 3300mm

$$A_s = \frac{1654}{3300} \cdot 17 \cdot \pi \cdot 8^2 = 1713 \text{ mm}^2$$

$$\rho_{ly} = \frac{1713}{1654 \cdot 217} = 0.0048$$

$$\Rightarrow \rho = \sqrt{\rho_{lx} \cdot \rho_{ly}} = 0.0048$$

Sjærstrekks kapasitet

$$C_{Rd;c} = 0.12$$

$$k = 1 + \sqrt{\frac{200}{209}} = 1.98$$

$$v_{Rd;c} = C_{Rd;c} \cdot k \cdot (100 \cdot \rho \cdot f_{ck})^{\frac{1}{3}} = 0.12 \cdot 1.98 \cdot (100 \cdot 0.0036 \cdot 35)^{\frac{1}{3}} = 0.61 \text{ MPa}$$

$$v_{min} = 0.035 \cdot k^{\frac{3}{2}} \cdot \sqrt{f_{ck}} = 0.57 \text{ MPa}$$

$v_{Rd;c} > v_{min}$

ok

Sjærtrykk kapasitet

$$v_{Rd,max} = 0.4 \cdot v \cdot f_{cd} = 0.4 \cdot 0.6 \cdot \left(1 - \frac{f_{ck}}{250}\right) \cdot f_{cd} = 0.4 \cdot 0.6 \cdot \left(1 - \frac{35}{250}\right) \cdot 19.8 = 4.1 \text{ MPa}$$

Skjærspenninger ved første kritisk kontroll omkrets:

$$v_{Ed} = \beta \cdot \frac{V_{Ed2}}{u_1 \cdot d} = 1.40 \cdot \frac{427 \cdot 10^3 \text{ N}}{2413 \text{ mm} \cdot 209 \text{ mm}} = 1.18 > v_{Rd;c}$$

ikkeok!

Skjærspenninger ved søylekant:

$$u_0 = c_2 + 3 \cdot d = 300 + (3 \cdot 209) = 927 \text{ mm}$$

$$v_{Ed} = \beta \cdot \frac{V_{Ed2}}{u_0 \cdot d} = 1.40 \cdot \frac{427 \cdot 10^3}{927 \cdot 209} = 3.08 \text{ MPa} < v_{Rd,max}$$

ok

Nødvendig armering

$$v_{Rd;c,max} = 1.96 \cdot 0.61 = 1.2 \text{ MPa} > v_{Ed} = 1.18 \text{ MPa}$$

DVS. at Peikko systemet kan benyttes

ok

Første omkrets hvor skjærarmering er ikke nødvendig

$$u_{out;eff} = \beta \cdot \frac{V_{Ed}}{v_{Rd;c} \cdot d}$$

$$\Rightarrow u_{out;eff} = 1.40 \cdot \frac{427 \cdot 10^3}{0.61 \cdot 209} = 4689 \text{ mm}$$

Regner avstanden fra kantsøylenes liv til den første omkretsen hvor skjærarmering er ikke nødvendig

$$u_{out;eff} = c_1 + 2 \cdot c_2 + 2 \cdot \pi \cdot d_{out}$$

$$\Rightarrow 2 \cdot d_{out} = \frac{u_{out;eff} - (2 \cdot c_1 + c_2)}{\pi} = \frac{4689 - (2 \cdot 400 + 300)}{\pi} = 1047 \text{ mm}$$

$$\Rightarrow 2 \cdot d_{out} = \frac{1047}{d = 209} = 5 \cdot d$$

Regner høyden på armeringsenhetene

$$h_A = h - 2 \cdot c_{nom} = 250 - (2 \cdot 25) = 200 \text{ mm}$$

Avstander mellom skjærarmeringenhetene

Radielle avstander

$$s_l \leq 0.75 \cdot d = 0.75 \cdot 209 = 156.75 \text{ mm}$$

$$\Rightarrow \text{velger } s_l = 150 \text{ mm}$$

Første stang plasseres fra søylen

$$s_0 \geq 0.35 \cdot d < 0.5 \cdot d$$

$$0.35 \cdot d = 73.15 \text{ mm} \quad 0.5 \cdot d = 104.5 \text{ mm}$$

$$\Rightarrow \text{velger } s_0 = 75 \text{ mm}$$

Skjærarmeringen plasseres innenfor avstand lik den effektive høyden fra omkretsen hvor skjærarmering er ikke nødvendig, dette medfører at hele armeringen skal plasseres over en avstand fra søylens kanter lik:

$$l_{req} = 2 \cdot d_{out} - d = 1047 - 209 = 838 \text{ mm}$$

Minste antallet PSB armeringstenger per 1 element

$$n_{req} = \frac{l_{req} - s_0}{s_l} + 1 = \frac{825 - 70}{150} + 1 = 6.08 \quad n_{prov} = 7$$

Aktuell lengde av et element

$$l_{s;prov} = s_0 + (n_{prov} - 1) \cdot s_l = 70 + (7 - 1) \cdot 150 = 975 \text{ mm}$$

Øker elementenes lengde med $s_0 = 75 \text{ mm}$ som tekniskhåndboken anbefaler; slik at:

$$l_{s,tot} = 970 + 75 = 1050 \text{ mm}$$

Aktuell ytre kontroll omkrets

$$u_{out;prov} = 2c_1 + c_2 + 2\pi \cdot (l_{s;prov} + d) = 8139 \text{ mm}$$

Kontrollerer skjærspenningen ved den aktuelle ytre omkretsen

$$v_{Ed,out} = \beta \cdot \frac{V_{Ed}}{u_{out;prov} \cdot d} = 1.40 \cdot \frac{427 \cdot 10^3}{8109 \cdot 209} = 0.35 \text{ MPa} < v_{Rd;c,out} = 0.61 \text{ MPa}$$

ok

Antall armeringsenheter

1. Fasthetstilstand $m_{c;req} \geq \frac{\beta \cdot V_{Ed} \cdot \eta}{n_c \cdot A_{si} \cdot f_{yd}}$ $\eta = 1.0$ for $d \leq 200 \text{ mm}$
 $\eta = 1.0$ for $d \geq 800 \text{ mm}$

A_{si} armeringsarealet per stang
(Velger Ø10)

Linærinterpolering for mellomverdier

n_c Antallet stenger mellom
 elemntene, er lik 2 $\Rightarrow \eta = 1.015$

$$\Rightarrow m_{c;req} \geq \frac{1.40 \cdot 427 \cdot 10^3 \cdot 1.015}{2 \cdot \pi \cdot 5^2 \cdot 434} \geq 8.9 \approx 9 \text{ elementer}$$

Tangentielle avstander i følge Peikko og ETA avviker fra EC2-1-1. Dette er fordi EC2-1-1 gir krav for tradisjonell skjærarmering med bøyler eller kroker, mens Peikko leverer produkter som er testet i laboratorie og bruker kravene fra ETA

Innenfor 1d fra søylen: $s_t \leq 1.7 \text{ d}$

Utenfor 1d fra søylen og
 ut mot ytre omkretsen
 hvor armering er ikke
 nødvendig:

$s_t \leq 3.5 \text{ d}$

Sjekker maksimal gjennomlokkingsmotstand av PSB Ø10 T-hodet armering

$$V_{Rd;sy} = m_c \cdot n_c \cdot \frac{d_A^2 \cdot \pi \cdot f_{yk}}{4 \cdot \gamma_s \cdot \eta} = 9 \cdot 2 \cdot \frac{10^2 \cdot \pi \cdot 500}{4 \cdot 1.15 \cdot 1.015} = 606 \text{ kN}$$

$$\beta \cdot V_{Ed} = 1.40 \cdot 597.8 \text{ kN} = 598 \text{ kN} < V_{Rd;sy}$$

ok

Konklusjon: Bruker **9 elementer** med **7Ø10** stenger per element, **total lengde** av elementene er **1050 mm** fra søyleneskanter. Se tegning 11 for detaljer.

NB! Dette gjelder kantsøylene **H16, H17, & H18**

Innersøylenes G17 & G18

Belastningsareal (tegning 14)

$$A = 6.45 \text{ m} \cdot 6.6 \text{ m} = 42.57 \text{ m}^2$$

2-veis skjærkraften fra søylene på platen

$$V_{Ed2} = 13.32 \frac{kN}{m^2} \cdot 42.57 \text{ m}^2 = 567 \text{ kN}$$

Armeringsforhold til topparmeringen som går over søylen i x- og y- retning i en bredde lik (søybensbredde + 3d) på hver side :

X-retning

$$b = 300 + 2 \cdot (3 \cdot 209) = 1554 \text{ mm}$$

$A_{sx;topp} = 22 \text{ Ø}16$ over en bredde lik søylestirpen = 3300mm

$$A_s = \frac{1554}{3300} \cdot 22 \cdot \pi \cdot 8^2 = 2083 \text{ mm}^2$$

$$\rho_{lx} = \frac{2083}{1554 \cdot 201} = 0.0067$$

Y-retning

$$b = 400 + 2 \cdot (3 \cdot 209) = 1654 \text{ mm}$$

$A_{sy;topp} = 15 \text{ Ø}16$ over en bredde lik søylestirpen = 3300mm

$$A_s = \frac{1654}{3300} \cdot 15 \cdot \pi \cdot 8^2 = 1512 \text{ mm}^2$$

$$\rho_{ly} = \frac{1512}{1654 \cdot 217} = 0.0042$$

$$\Rightarrow \rho = \sqrt{\rho_{lx} \cdot \rho_{ly}} = 0.0053$$

Sjærstrekk kapasitet

$$C_{Rd;c} = 0.12$$

$$k = 1 + \sqrt{\frac{200}{209}} = 1.98$$

$$v_{Rd;c} = C_{Rd;c} \cdot k \cdot (100 \cdot \rho \cdot f_{ck})^{\frac{1}{3}} = 0.12 \cdot 1.98 \cdot (100 \cdot 0.0053 \cdot 35)^{\frac{1}{3}} = 0.63 \text{ MPa}$$

$$v_{min} = 0.035 \cdot k^{\frac{3}{2}} \cdot \sqrt{f_{ck}} = 0.57 \text{ MPa}$$

$$v_{Rd;c} > v_{min}$$

ok

Sjærtrykk kapasitet

$$v_{Rd,max} = 0.4 \cdot v \cdot f_{cd} = 0.4 \cdot 0.6 \cdot \left(1 - \frac{f_{ck}}{250}\right) \cdot f_{cd} = 0.4 \cdot 0.6 \cdot \left(1 - \frac{35}{250}\right) \cdot 19.8 = 4.1 \text{ MPa}$$

Skjærspenninger ved første kritisk kontroll omkrets:

$$v_{Ed} = \beta \cdot \frac{V_{Ed2}}{u_1 \cdot d} = 1.15 \cdot \frac{567 \cdot 10^3 \text{ N}}{4026 \text{ mm} \cdot 209 \text{ mm}} = 0.77 > v_{Rd,c}$$

ikkeok!

Skjærspenninger ved søylekant:

$$u_0 = 2 c_1 + 2 c_2 = 1400 \text{ mm}$$

$$v_{Ed} = \beta \cdot \frac{V_{Ed2}}{u_0 \cdot d} = 1.15 \cdot \frac{357 \cdot 10^3}{1400 \cdot 209} = 1.4 \text{ MPa} < v_{Rd,max}$$

ok

Nødvendig armering

$$v_{Rd,c,max} = 1.96 \cdot 0.63 = 1.23 \text{ MPa} > v_{Ed} = 0.77 \text{ MPa}$$

DVS. at Peikko systemet kan benyttes

ok

Første omkrets hvor skjærarmering er ikke nødvendig

$$u_{out,eff} = \beta \cdot \frac{V_{Ed}}{v_{Rd,c} \cdot d}$$

$$\Rightarrow u_{out,eff} = 1.15 \cdot \frac{567 \cdot 10^3}{0.63 \cdot 209} = 4952 \text{ mm}$$

Regner avstanden fra kantsøylenes liv til den første omkretsen hvor skjærarmering er ikke nødvendig

$$u_{out,eff} = c_1 + 2 c_2 + 2 \cdot \pi \cdot d_{out}$$

$$\Rightarrow 2 d_{out} = \frac{u_{out,eff} - (2 c_1 + c_2)}{\pi} = \frac{4952 - (2 \cdot 400 + 2 \cdot 300)}{\pi} = 1131 \text{ mm}$$

$$\Rightarrow 2 d_{out} = \frac{1131}{d = 209} = 5.41 d$$

Regner høyden på armeringenhetene

$$h_A = h - 2 \cdot c_{nom} = 250 - (2 \cdot 25) = 200 \text{ mm}$$

Avstander mellom skjærarmeringenhetene

Radielle avstander

$$s_l \leq 0.75 \quad d = 0.75 \cdot 156.75 \text{ mm}$$

Første stang plasseres fra søylen

\Rightarrow velger $s_l = 150 \text{ mm}$

$$s_0 > 0.35 \quad d < 0.5 \quad d$$

$$0.35 \quad d = 73.15 \text{ mm}; \quad 0.5 \quad d = 104.5$$

\Rightarrow velger $s_0 = 75 \text{ mm}$

Skjærarmeringen plasseres innenfor avstand lik den effektive høyden fra omkretsen hvor skjærarmering er ikke nødvendig, dette medfører at hele armeringen skal plasseres over en avstand fra søybens kanter lik:

$$l_{req} = 2 \cdot d_{out} - d = 1131 - 209 = 922 \text{ mm}$$

Minste antallet PSB armeringstenger per 1 element

$$n_{req} = \frac{l_{req} - s_0}{s_l} + 1 = \frac{1102 - 70}{150} + 1 = 6.88 \quad n_{prov} = 7$$

Aktuell lengde av et element

$$l_{s;prov} = s_0 + (n_{prov} - 1) \cdot s_l = 75 + (7 - 1) \cdot 150 = 975 \text{ mm}$$

Øker elementenes lengde med $s_0 = 75 \text{ mm}$ som tekniskhåndboken anbefaler; slik at:

$$l_{s,tot} = 970 + 75 = 1050 \text{ mm}$$

Aktuell ytre kontroll omkrets

$$u_{out;prov} = 2 \cdot c_1 + 2 \cdot c_2 + 2 \cdot \pi \cdot (l_{s;prov} + d) = 8839 \text{ mm}$$

Kontrollerer skjærspenningen ved den aktuelle ytre omkretsen

$$v_{Ed,out} = \beta \cdot \frac{V_{Ed}}{u_{out;prov} \cdot d} = 1.15 \cdot \frac{567 \cdot 10^3}{9750 \cdot 209} = 0.32 \text{ MPa} < v_{Rd;c,out} = 0.63 \text{ MPa}$$

ok

Antall armeringsenheter

$$1. \text{ Fasthetstilstand} \quad m_{c;req} \geq \frac{\beta \cdot V_{Ed} \cdot \eta}{n_c \cdot A_{si} \cdot f_{yd}} \quad \eta = 1.0 \text{ for } d \leq 200 \text{ mm}$$

$$\eta = 1.0 \text{ for } d \geq 800 \text{ mm}$$

A_{si} armeringsarealet per stang
(Velger Ø10)

Linærinterpolering for mellomverdier

n_c Antallet stenger mellom
elemntene, er lik 2

$$\Rightarrow \eta = 1.015$$

$$\Rightarrow m_{c;req} \geq \frac{1.15 \cdot 567 \cdot 10^3 \cdot 1.015}{2 \cdot \pi \cdot 5^2 \cdot 434} \geq 9.7 \approx 10 \text{ elemnter}$$

Tangentielle avstander i følge Peikko og ETA avviker fra EC2-1-1. Dette er fordi EC2-1-1 gir krav for tradisjonell skjærarmering med bøyer eller kroker, mens Peikko leverer produkter som er testet i laboratorie og bruker kravene fra ETA

Innenfor 1d fraøylen: $s_t \leq 1.7 \text{ d}$

Utenfor 1d fraøylen og
ut mot ytre omkretsen
hvor armering er ikke
nødvendig:

$$s_t \leq 3.5 \text{ d}$$

Sjekker maksimal gjennomlokkingsmotstand av PSB Ø10 T-hodet armering

$$V_{Rd;sy} = m_c \cdot n_c \cdot \frac{d_A^2 \cdot \pi \cdot f_{yk}}{4 \cdot \gamma_s \cdot \eta} = 10 \cdot 2 \cdot \frac{10^2 \cdot \pi \cdot 500}{4 \cdot 1.15 \cdot 1.015} = 672.9 \text{ kN}$$

$$\beta \cdot V_{Ed} = 1.15 \cdot 567 \text{ kN} = 652 \text{ kN} < V_{Rd;sy}$$

ok

Konklusjon: Bruker **10 elementer** med **7Ø10** stenger per element, **total lengde** av elementene er **1050 mm** fra øyleneskanter. Se tegning 11 for detaljer.

NB! Dette gjelder innersøylene **G17 & G18**

NB!

Antallet armeringsenheter kan bli økt dersom kravet til tangentielle avstander er ikke tilfredsstilt ihht. teknisk håndbok fra Peikko. Se tegningene 10 & 11.

Denne siden er satt med vilje tom

TECHNICAL MANUAL

Vedlegg 9



PSB®

Reinforcement against punching failure of slabs

PSB®

Reinforcement against punching failure of slabs

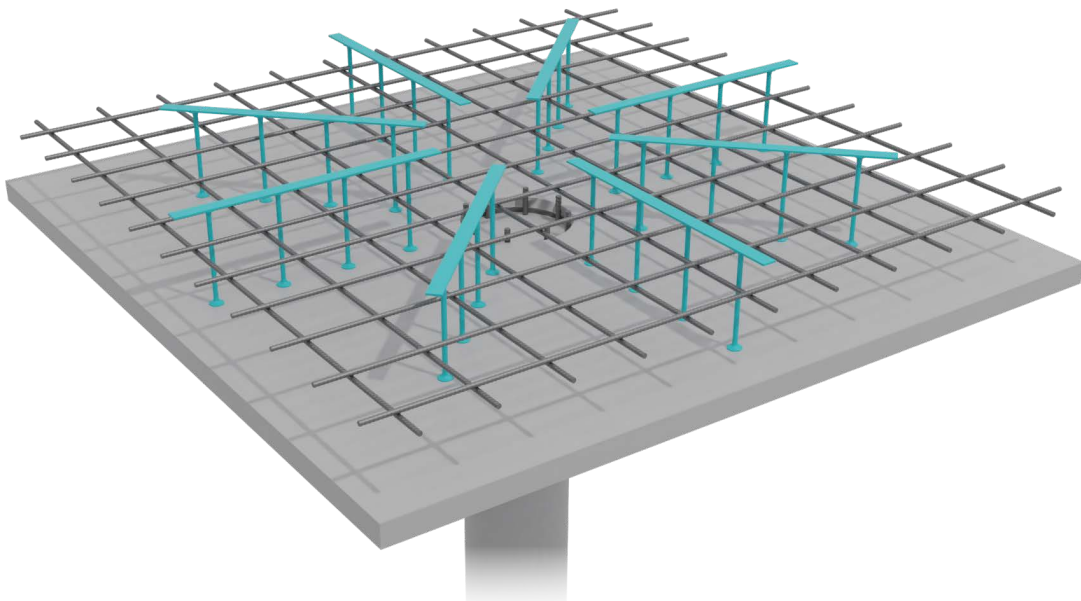
- Higher resistances than stirrups
- Simple and efficient installation
- Optimizing the construction height of the building
- Approved acc. to ETA-13/0151 for static and non-predominantly static loading
- Available in Peikko Designer®

PSB® is a building product mainly used as vertical reinforcement to increase the punching resistance of concrete flat slabs or ground slabs. The type, geometry and dimensions PSB® may be designed and the resistances of concrete members reinforced by PSB® elements may be verified using Peikko Designer®.

The properties of PSB® as well as the resistances of slabs reinforced by PSB® are approved within the European Technical Approval ETA-13/0151.

PSB® is manufactured and delivered in form of reinforcement elements that consist of double headed steel studs connected by an assembly profile. Since the product is designed and pre-fabricated by Peikko, the installation of the product is much simpler than it is for other traditional reinforcement elements (stirrups). This applies for the case when PSB® is used in cast-in situ or in pre-cast elements.

PSB® reinforcement is fully integrated in the concrete slab and is thus an ideal reinforcement system for monolithic slim-floor structures or flat concrete slabs in general. The double headed studs used in PSB® reinforcement elements enable the slab to develop a resistance that is up to 40% higher than the resistance of a slab reinforced by traditional reinforcement techniques such as stirrups.



www.peikko.com

CONTENTS

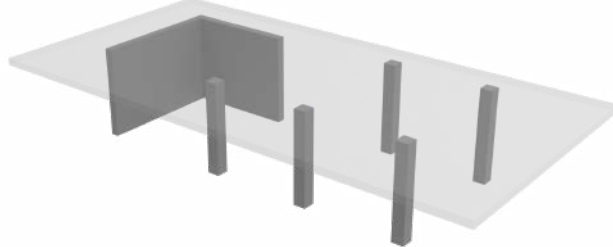
About PSB®	4
1. Product properties	4
1.1 Structural behavior.....	5
1.2 Limitations for application.....	7
1.3 Other properties.....	8
2. Resistances	8
Selecting PSB®	9
Installation of PSB®	15

About PSB®

1. Product properties

Reinforced concrete flat slabs are nowadays one of the most popular structural systems in residential, administrative, industrial and many other types of buildings. The system usually consists of slabs locally supported by columns or walls without down stand beams. Such configuration allows optimizing the space on the floor area and to perform saving with regards to the total height of the building.

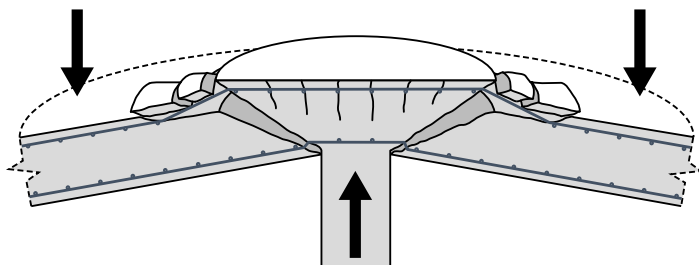
Figure 1. Flat slab supported on columns and walls.



Between supports, the slab is usually designed as a two-way slab to resist bending moments in two orthogonal directions. In support area, the bending moments are combined with transverse loads – reactions from supports. Such combined loading results in a state of stress may lead to failure of the slab by punching. The verification of the punching resistance of the slab is often decisive for the definition of the thickness of the concrete slab.

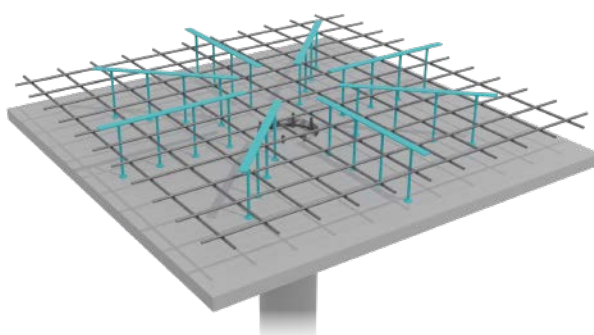
Punching usually occurs so that a concrete cone is separated from the slab, bending reinforcement is pulled away from concrete and the slab falls down due to gravity forces (*Figure 2*). Experience shows that failure by punching is particularly dangerous since it is a brittle phenomenon that happens suddenly without any previous signs of warning (extensive deformations, cracks...). Moreover, the failure of one column may impact on adjacent columns and lead to an in-chain failure of the whole reinforced concrete floor.

Figure 2. Failure of a slab by punching.



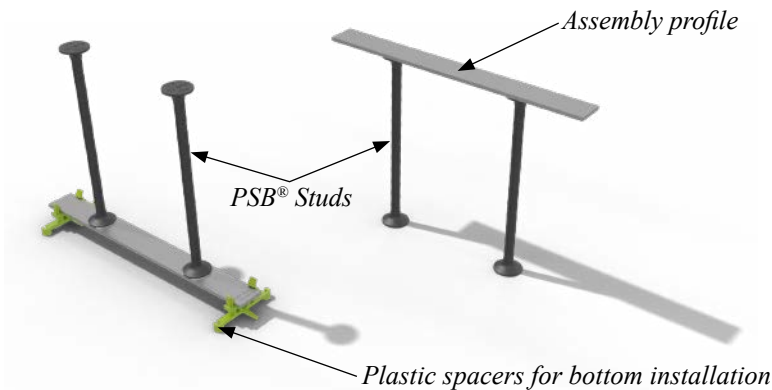
A slab without vertical reinforcement has only a very limited resistance against punching failure. This resistance may be increased by placing PSB® elements in the concrete slab in such a manner that they prevent the concrete cone to develop (*Figure 3*). Besides increasing the resistance of the slab, PSB® also increases its ductility. PSB® is also used in ground slabs in a similar manner as in flat slabs. Other applications (PSB® used as shear reinforcement in beams) are possible as well.

Figure 3. Flat slab reinforced with PSB®.



PSB® elements consist of steel double headed PSB® studs connected together by assembly profiles (Figure 4). The assembly bar has no load bearing function; it only guarantees the correct spacing and positioning of the studs during their installation to concrete.

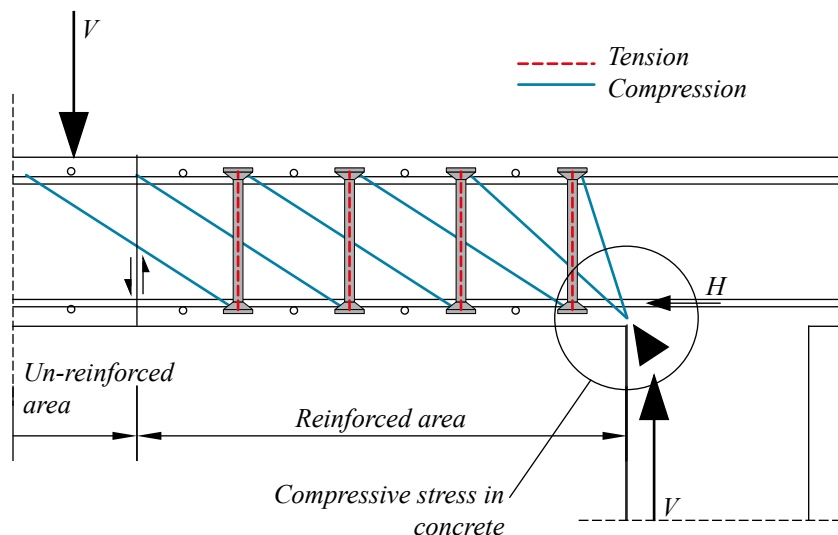
Figure 4. Available types of PSB® elements.



1.1 Structural behavior

PSB® studs are most typically used as vertical reinforcement in concrete slabs that is designed and detailed to prevent the development of inclined punching cracks. The structural behavior of a slab reinforced by PSB® studs may be interpreted by a system of struts and ties (Figure 5), where the PSB® studs act as vertical tensile components. The proper functioning of such mechanism is amongst other conditioned by the tensile resistance of the studs and their anchorage capacity in concrete.

Figure 5. Forces in a slab with PSB® punching reinforcement.



The excellent anchorage properties of PSB® studs enable the slabs reinforced with PSB® studs to develop resistances that are significantly higher than the resistances of slabs reinforced with traditional reinforcement (stirrups). The performance of concrete slabs reinforced by PSB® has been demonstrated by full scale laboratory tests performed at the Swiss Federal Institute of Technology (EPFL) in Lausanne during year 2012. The results of the tests have been used as the basis for the development of the European Technical Approval ETA-13/0151 that regulates the use and design of PSB® punching reinforcement. Comprehensive information about the test series and ETA-13/0151 may be found in reference [1].

ETA-13/0151 defines a set of rules to determine:

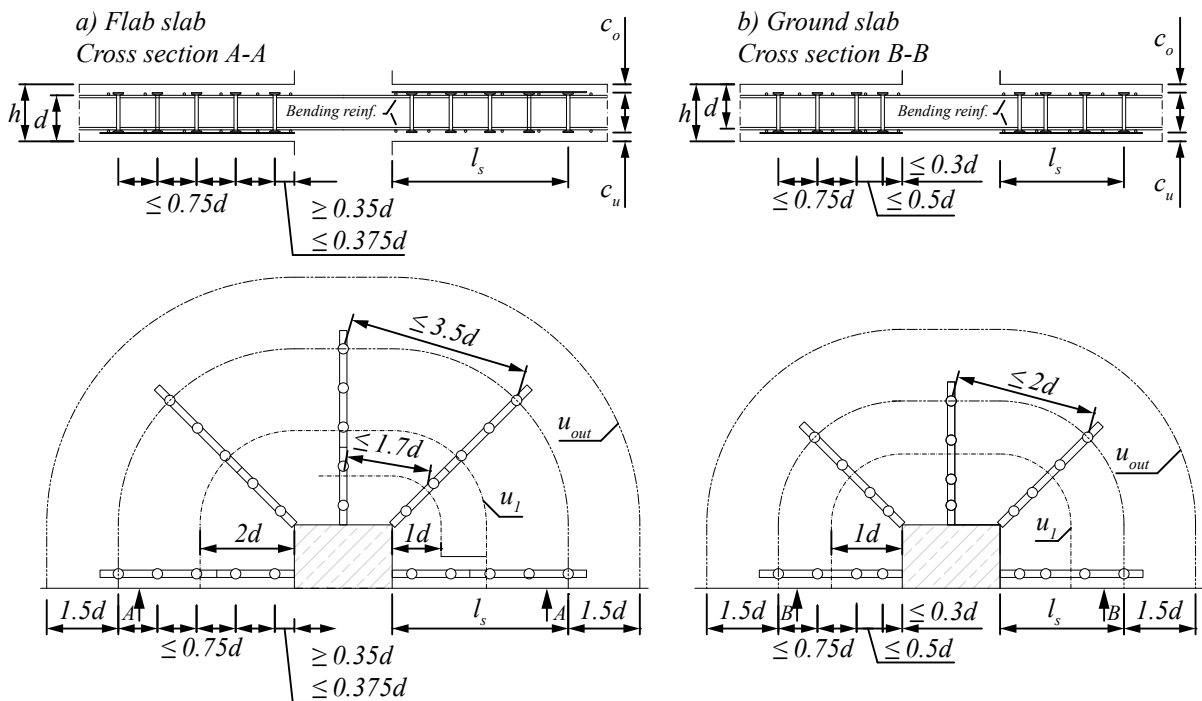
- The resistance of the slab without PSB® reinforcement $V_{Rd,c}$
- The resistance of the slab reinforced with PSB® $V_{Rd,s}$
- The maximum resistance of the slab reinforced with PSB® $V_{Rd,max}$.

[1] Muttoni, A. Bujnak, J. "Performance of slabs reinforced by Peikko PSB® studs demonstrated by full scale tests and validated by ETA approval starting April 2013" Concrete connection 01/2013, Customer magazine of Peikko Group.

INFORMATION

The section and top view of a slab reinforced with PSB® in accordance with recommendations of ETA-13/0151 is shown on *Figure 6*. Typically, PSB® elements are organized radially around the column. Alternative arrangements of PSB® elements are possible provided that requirements for the maximum spacing of PSB® studs are fulfilled.

Figure 6. Section and top view of a) flat slab b) ground slab or footing reinforced by PSB® studs.



The resistance of the slab without punching reinforcement at the basic control perimeter is determined according to Eq. (2.10) of EOTA TR 060 as:

$$v_{Rd,c} = C_{Rd,c} \cdot k \cdot (100 \cdot \rho \cdot f_{ck})^{1/3} + k_I \cdot \sigma_{cp} \geq (V_{min} + k_I \cdot \sigma_{cp})$$

The shear stress at the basic control perimeter is calculated according to Eq. (2.5) of EOTA TR 060:

$$v_{Ed} = \frac{\beta \cdot V_{Ed}}{u_I \cdot d}$$

where β is the load increase factor defined depending on the position of the column acc. to NA to EN 1992-1-1, u_I is the length of the basic control perimeter and d is the effective depth of the slab (see *Figure 6*). The slab has to be reinforced by PSB® if:

$$v_{Rd,c} \leq v_{Ed}$$

The minimum number of perimeters of PSB® studs to be placed around the column is determined to enlarge the control perimeter to a value u_{out} determined in accordance with Eq. (2.21) of EOTA TR 060:

$$u_{out} = \frac{\beta_{red} \cdot v_{Ed}}{v_{Rd,c} \cdot d}$$

where $v_{Rd,c}$ is calculated according Eq.(2.10) of EOTA TR 060.

The resistance of PSB® elements is verified by the Eq. (2.18) and Eq. (2.20) of EOTA TR 060 for flat slabs and ground slabs respectively.

1.2 Limitations for application

The minimum depth of a slabs reinforced with PSB® is 180 mm.

The maximum resistance of a slab reinforced by PSB® is verified in accordance with Eq. (2.17) and (2.19) of EOTA TR 060 and 3.1 of ETA-13/0151 as follows:

$$\text{Flat slabs} \quad v_{Rd,max} = 1.96 \cdot v_{Rd,c} \geq v_{Ed}$$

$$\text{Ground slabs and footings} \quad v_{Rd,max} = 1.62 \cdot v_{Rd,c} \geq v_{Ed}$$

For comparison, the maximum resistance of slabs reinforced by traditional types of reinforcement (stirrups) should be verified in accordance with Eq. (6.53) of EN 1992-1-1:2004+A1:2014 as:

$$v_{Rd,max} = 0.4 \cdot 0.6 \cdot \left[1 - \frac{f_{ck}}{250} \right] \cdot f_{cd} \geq \frac{\beta \cdot v_{Ed}}{u_0 \cdot d}$$

where u_0 is the length of column periphery. The verification in accordance with DIN EN 1992-1-1/NA:2012 for slabs reinforced by stirrups is:

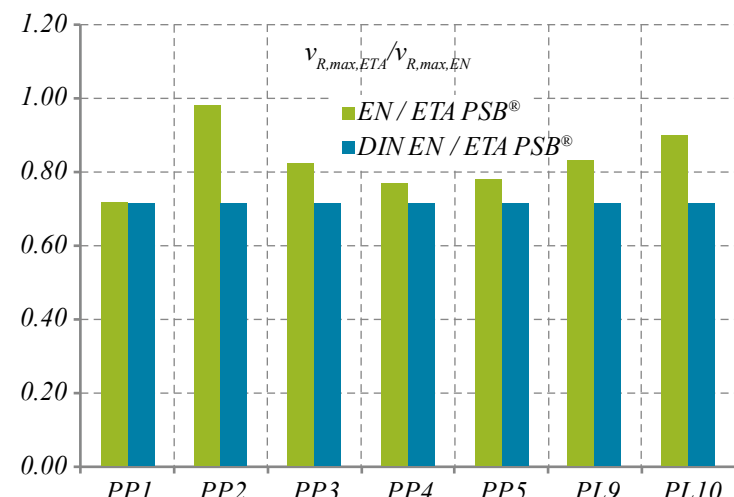
$$v_{Rd,max} = 1.4 \cdot v_{Rd,c} \geq v_{Ed}$$

In case the above verifications of maximum resistance of slab can't be fulfilled, a sufficient level of resistance can't be achieved in slabs reinforced by reinforcing them with vertical steel reinforcement (traditional reinforcement elements or PSB®).

At the same time, the comparison shown in *Figure 7* for slabs tested within Peikko's testing program (see reference [1]) shows that the maximum resistance of slabs reinforced by PSB® studs may be up to 40% higher than the resistance of slabs reinforced by traditional reinforcement elements determined acc. to EN 1992-1-1:2004+A1:2014 or DIN EN 1992-1-1/NA:2012.

Figure 7. Maximum characteristic values of resistances in slabs reinforced with PSB® and with standard types of reinforcement.

	$v_{R,max,ETA}$ [kN]	$v_{R,max,EN}$ [kN]	$v_{R,max,DIN EN}$ [kN]
PP1	774.9	554.9	553.5
PP2	1050.2	1027.7	750.1
PP3	4070.8	3346.2	2907.7
PP4	1856.0	1426.2	1325.7
PP5	1808.1	1408.7	1291.5
PL9	2923.9	2429.1	2088.5
PL10	4606.2	4150.0	3290.1



INFORMATION

.....

1.3 Other properties

ETA-13/0151 approves the use of PSB® elements with diameters 10, 12, 14, 16, 20 and 25 mm. Elements using studs with larger diameters (28mm and 32mm) may be produced as well but are not within the scope of ETA-13/0151. The diameter of the heads in all studs corresponds to 3x the diameters of the shafts of the stud.

The PSB® studs and assembly bar have the following material properties:

Assembly bar	S235JR	EN 10025-2
PSB® studs	B500B	EN 10080, DIN 488

The spacers used for bottom installation of PSB® elements are made of plastic material. Standard spacers provide concrete cover 15, 20, 25, 30, 35, 40 and 45 mm. The air temperature during installation of PSB® using plastic spacers should be in the range of -30°C to +35°C.

Peikko Group's production units are controlled externally and audited periodically on the basis of the production certifications and product approvals provided by various independent organizations.

2. Resistances

The characteristic values of resistances of individual PSB® studs in accordance with ETA-13/0151 are summarized in *Table 1*.

Table 1. Characteristic values of tensile resistances of PSB® studs.

Diameter	mm	10	12	14	16	20	25
Resistance	kN	39.3	56.5	77.0	100.5	157.1	245.4

The resistance of a concrete member reinforced by PSB® has to be verified case-by-case for each project. Peikko Designer® may be used to design PSB® and verify the resistances of concrete members reinforced by PSB® according to the requirements of ETA-13/0151.

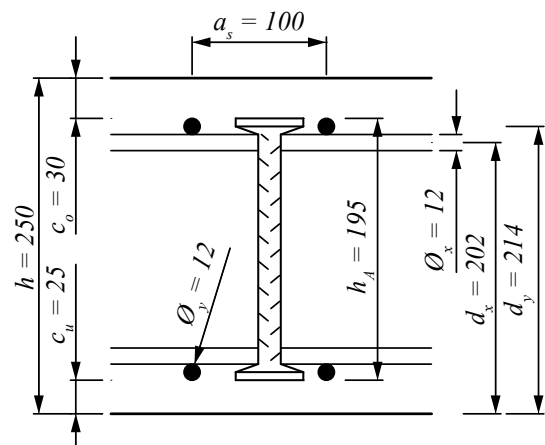
Selecting PSB®

It is recommended to select the appropriate reinforcement with PSB® using Peikko Designer® individually for each separate case. Peikko Designer® is a design software developed by Peikko, and it is freely available from www.peikko.com.

An example of the procedure used for the design and selection of PSB® in accordance with EOTA TR 060 and ETA-13/0151 used and implemented in Peikko Designer® is presented hereafter.

Input

Column dimension	$a = 300 \text{ mm}$	$b = 300 \text{ mm}$
Concrete grade	C30/37	
Height of slab	$h = 250 \text{ mm}$	
Concrete cover bottom	$c_u = 25 \text{ mm}$	
Concrete cover top	$c_o = 30 \text{ mm}$	
Diameter of bending	$\Phi_x = 12 \text{ mm}$	
Reinforcement	$\Phi_y = 12 \text{ mm}$	
Applied load	$V_{Ed} = 730 \text{ kN}$	
Position of column	Internal column	



Effective depth and bending reinforcement ratio

- Effective depth

$$\begin{aligned} d_y &= h - c_o - \Phi_y / 2 &= 214 \text{ mm} \\ d_x &= h - c_o - \Phi_y - \Phi_x / 2 &= 202 \text{ mm} \\ d &= \frac{d_x + d_y}{2} &= 208 \text{ mm} \end{aligned}$$

- Bending reinforcement ratio

$$\begin{aligned} \rho_x &= \frac{A_{s,x}}{a_{s,x} \cdot d_x} \cdot 100 &= 0.56\% \\ \rho_y &= \frac{A_{s,y}}{a_{s,y} \cdot d_y} \cdot 100 &= 0.528\% \\ \rho_l &= \sqrt{\rho_x \cdot \rho_y} &= 0.544\% \end{aligned}$$

Area of one reinforcement bar in x direction

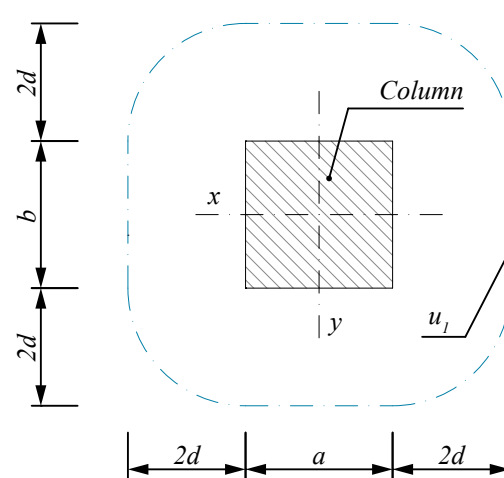
$$A_{s,x} = \frac{\pi \cdot \Phi_x^2}{4}$$

Area of one reinforcement bar in y direction

$$A_{s,y} = \frac{\pi \cdot \Phi_y^2}{4}$$

Basic control perimeter (u_l) and perimeter of column (u_o) (EN 1992-1-1 6.4.2)

$$\begin{aligned} u_l &= 2\pi \cdot 2 \cdot d + 2 \cdot a + 2 \cdot b &= 3813.8 \text{ mm} \\ u_o &= 2 \cdot (a + b) &= 1200 \text{ mm} \end{aligned}$$



Load increase factor β (EN 1992-1-1)

- Recommended value for internal column
 $\beta = 1.15$

Punching shear resistance of slab without punching reinforcement (EOTA TR 060)

$$v_{Rd,c} = \max \left\{ \frac{\left[C_{Rd,c} \cdot k_d \cdot (\rho_l \cdot f_{ck})^{1/3} \right]}{0.0525 \cdot k_d^{3/2} \cdot f_{ck}^{1/2}} \right\} = 0.603 \text{ MPa}$$

$$k_d = \min \left\{ \frac{2.0}{1 + \sqrt{\frac{200}{d}}} \right\} = 1.98$$

$$C_{Rd,c} = \frac{0.18}{\gamma_c} = 0.12$$

Maximum resistance of slab with punching reinforcement (EOTA TR 060)

$$v_{Rd,max} = k_{pu,sl} \cdot v_{Rd,c} = 1.182 \text{ MPa}$$

Design value of the shear stress (EOTA TR 060)

$$v_{Ed} = \frac{\beta \cdot V_{Ed}}{u_l \cdot d} = 1.058 \text{ MPa}$$

Load bearing capacity of the slab

$$\begin{aligned} v_{Rd,c} &< v_{Ed} & & \\ 0.603 &< 1.058 & & < 1.182 \end{aligned}$$

PSB® reinforcement can be used.

Dimension of stud (ETA-13/0151)

- Height of studs
 $h_A = h_d - c_u - c_o = 195 \text{ mm}$

- Spacing between elements
 $s_I = 150 \text{ mm}$
 $s_0 = 75 \text{ mm}$

- Check spacing

$$s_I = 150 \Rightarrow \frac{s_I}{d} = 0.72 < 0.75$$

$$s_0 = 75 \Rightarrow \frac{s_0}{d} = 0.37 \begin{cases} < 0.5 \\ > 0.35 \end{cases}$$

Position	β Values (EN 1992-1-1)
Internal column	1.15
Edge column	1.40
Corner column	1.50
End of wall	1.35
Corner of wall	1.20

$$C_{Rd,c} = \frac{0.18}{\gamma_c}$$

If: $u_0 / d < 4$

$$C_{Rd,c} = \frac{0.18}{\gamma_c} \cdot \left(0.1 \cdot \frac{u_0}{d} + 0.6 \right) \geq \frac{0.15}{\gamma_c}$$

(EOTA TR 060)

$$\gamma_c = 1.5$$

(EN 1992-1-1 2.4.2.4)

$$\text{Flat slab} \quad k_{pu,sl} = 1.96$$

$$\text{Ground slab} \quad k_{pu,fo} = 1.62$$

(ETA-13/0151)

No PSB® reinforcement is needed if:

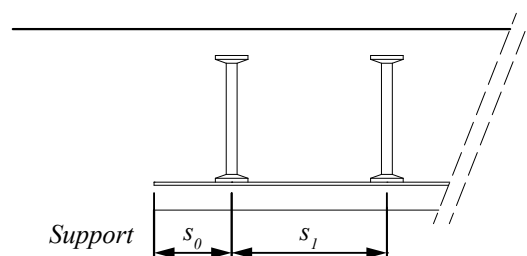
$$v_{Rd,c} \geq v_{Ed}$$

PSB® reinforcement can be used if:

$$v_{Rd,c} < v_{Ed} < v_{Rd,max}$$

Maximum resistance of slab exceeded if:

$$v_{Ed} > v_{Rd,max}$$



$$s_I \leq 0.75 \cdot d$$

$$0.35 \cdot d \leq s_0 \leq 0.5d$$

(ETA-13/0151)

Number of studs and length of reinforcement elements see Figure 8 (EOTA TR 060)

For internal column $\beta_{red} = 1.15$

- Required length of outer perimeter

$$u_{out,req} = \frac{\beta_{red} \cdot V_{Ed}}{v_{Rd,c,out} \cdot d} = 6695 \text{ mm}$$

- Punching shear resistance of slab on outer perimeter

$$v_{Rd,c,out} = \max \left\{ \begin{array}{l} \frac{0.18 \cdot k_d \cdot (\rho_l \cdot f_{ck})^{1/3}}{\gamma_c} \\ \frac{0.0525 \cdot k_d^{3/2} \cdot f_{ck}^{1/2}}{\gamma_c} \end{array} \right\} = 0.603 \text{ MPa}$$

- Required length of reinforcement element

$$l_{s,req} = \frac{u_{out,req} - 2 \cdot (a + b)}{\pi \cdot 2} - 1.5 \cdot d = 563 \text{ mm}$$

- Min. number of PSB® in one element

$$n_{req} = \frac{l_{s,req} - s_0}{s_I} + I = 4.25 \Rightarrow n_{prov} = 5$$

- Provided length of one element

$$l_{s,prov} = s_0 + (n_{prov} - I) \cdot s_I = 675 \text{ mm}$$

- Provided control perimeter

$$u_{out,prov} = 2\pi \cdot (l_{s,prov} + 1.5 \cdot d) + 2 \cdot a + 2 \cdot b = 7401.5 \text{ mm}$$

- Check outer control perimeter length

$$u_{out,req} \leq u_{out,prov} \quad l_{s,req} \leq l_{s,prov}$$

$$6695 < 7401.5 \quad 563 < 675$$

Resistance of the slab in outer perimeter (EOTA TR 060)

$$v_{Ed,out} = \frac{\beta_{red} \cdot V_{Ed}}{u_{out,prov} \cdot d} = 0.545 \text{ MPa} \quad v_{Ed,out} = \frac{\beta_{red} \cdot V_{Ed}}{u_{out,prov} \cdot d}$$

$$v_{Rd,c,out} \geq v_{Ed,out}$$

$$0.603 > 0.545$$

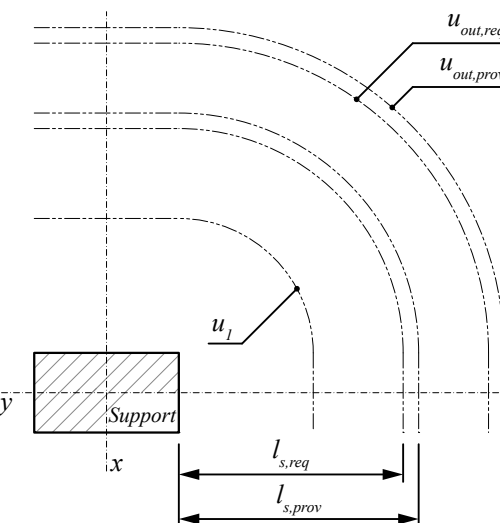
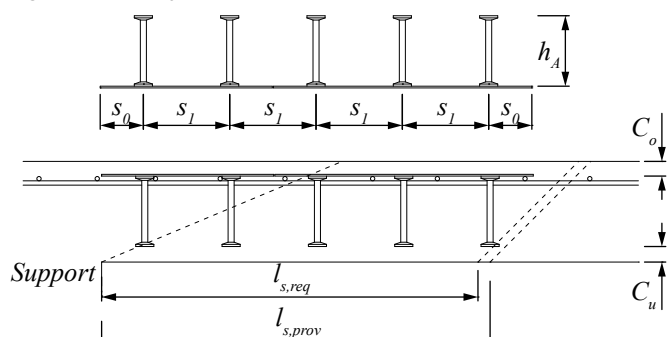


Figure 8. Layout of studs in slab reinforced with PSB®.



Number of reinforcement elements (EOTA TR 060)

1. Strength condition – $m_{c,req}$

$$m_{c,req} \geq \frac{\beta \cdot V_{Ed} \cdot \eta}{n_c A_{si} f_{yd}}$$

2. Spacing condition – m_{spac}

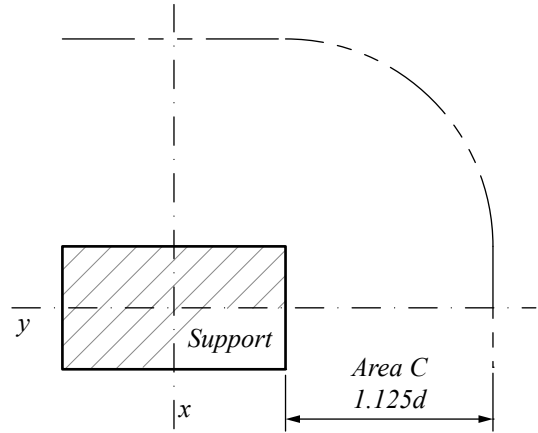
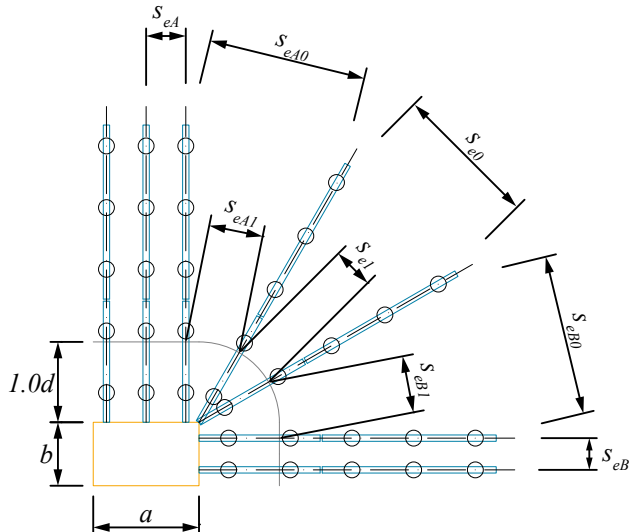
A_{si} – is the cross section area of one stud

$$\eta = \begin{cases} = 1.0 & \text{for } d \leq 200\text{mm} \\ = 1.6 & \text{for } d \geq 800\text{mm} \end{cases}$$

use linear interpolation for other values.

n_c = number of studs in area C

$$n_c = 2$$



(ETA-13/0151)

$$\max \begin{Bmatrix} s_{eA0} \\ s_{e0} \\ s_{eB0} \end{Bmatrix} \leq 3.5 \cdot d \quad \max \begin{Bmatrix} s_{eA} \\ s_{eA1} \\ s_{eI} \\ s_{eB1} \\ s_{eB} \end{Bmatrix} \leq 1.7 \cdot d$$

Diameter of studs	10	12	14	16	20	25
$m_{c,req}$	12	9	7	5	3	2
$m_{c,spac}$	8	8	8	8	8	8
$m_{c,prov} = \max \begin{Bmatrix} m_{c,req} \\ m_{c,spac} \end{Bmatrix}$	12	9	8	8	8	8

Total resistance of PSB® (EOTA TR 060)

$$V_{Rd,sy} = m_c \cdot n_c \cdot \frac{d_A^2 \cdot \pi \cdot f_{yk}}{4 \cdot \gamma_s \cdot \eta} = 1060.3 \text{ kN}$$

$$\begin{aligned} \beta \cdot V_{Ed} &\leq V_{Rd,sy} \\ 839.5 &< 1060.3 \end{aligned}$$

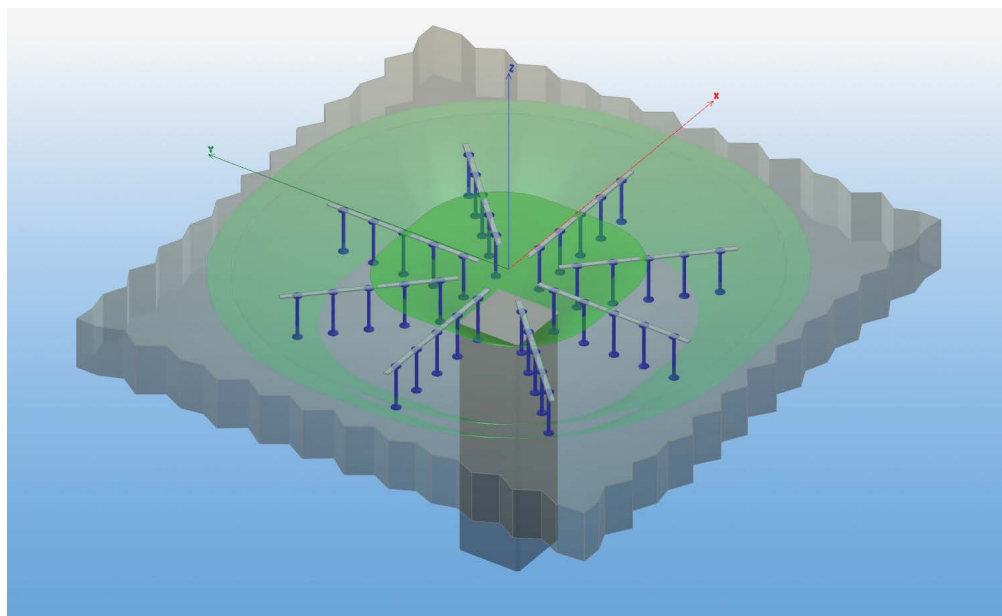
$$V_{Rd,sy} = m_c \cdot n_c \cdot \frac{d_A^2 \cdot \pi \cdot f_{yk}}{4 \cdot \gamma_s \cdot \eta}$$

m_c = number of elements
 d_A = shaft diameter of PSB®

8×PSB-14/195-2/300 (75/150/75) & 8×PSB-14/195-3/450 (75/150/150/75)

or

8×PSB-14/195-5/750 (75/4×150/75)

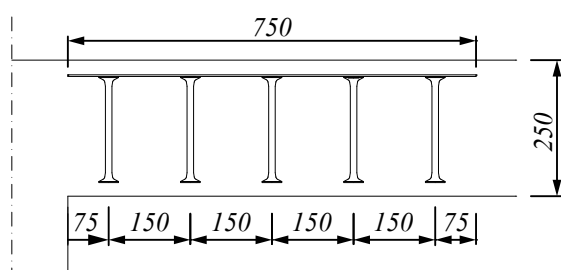


The resulting type and layout of the reinforcement proposed by Peikko Designer® is the most economical one. If needed, the diameter of studs and the number of PSB® elements may be modified manually by the user. The selected PSB® elements are described by a specific code. Plan and section drawings of the selected PSB® reinforcement are also available in the printed outputs of Peikko Designer® or may be exported to DXF files. The printed output of Peikko Designer® also includes a summary of input data and static verifications of resistances for each individual case within each single project. The list of recommended accessories for the installation of PSB® is also available in the printed output of Peikko Designer®.

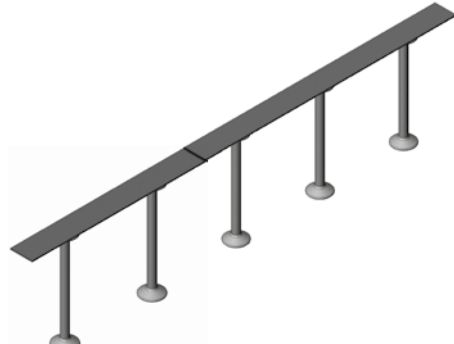
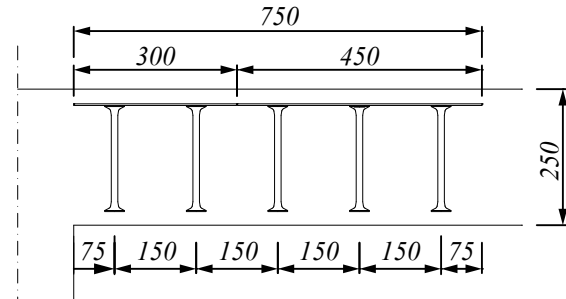
The reinforcement of flat slabs with PSB® may be provided as a combination of 2/3 stud elements or by complete elements where all studs are welded to one assembly profile. Equivalence between a solution with 2/3 stud elements and a complete element is shown on *Figure 9*.

Figure 9. Complete element and combination of 2/3 stud elements.

8×PSB-14/195-5/750 (75/4×150/75)



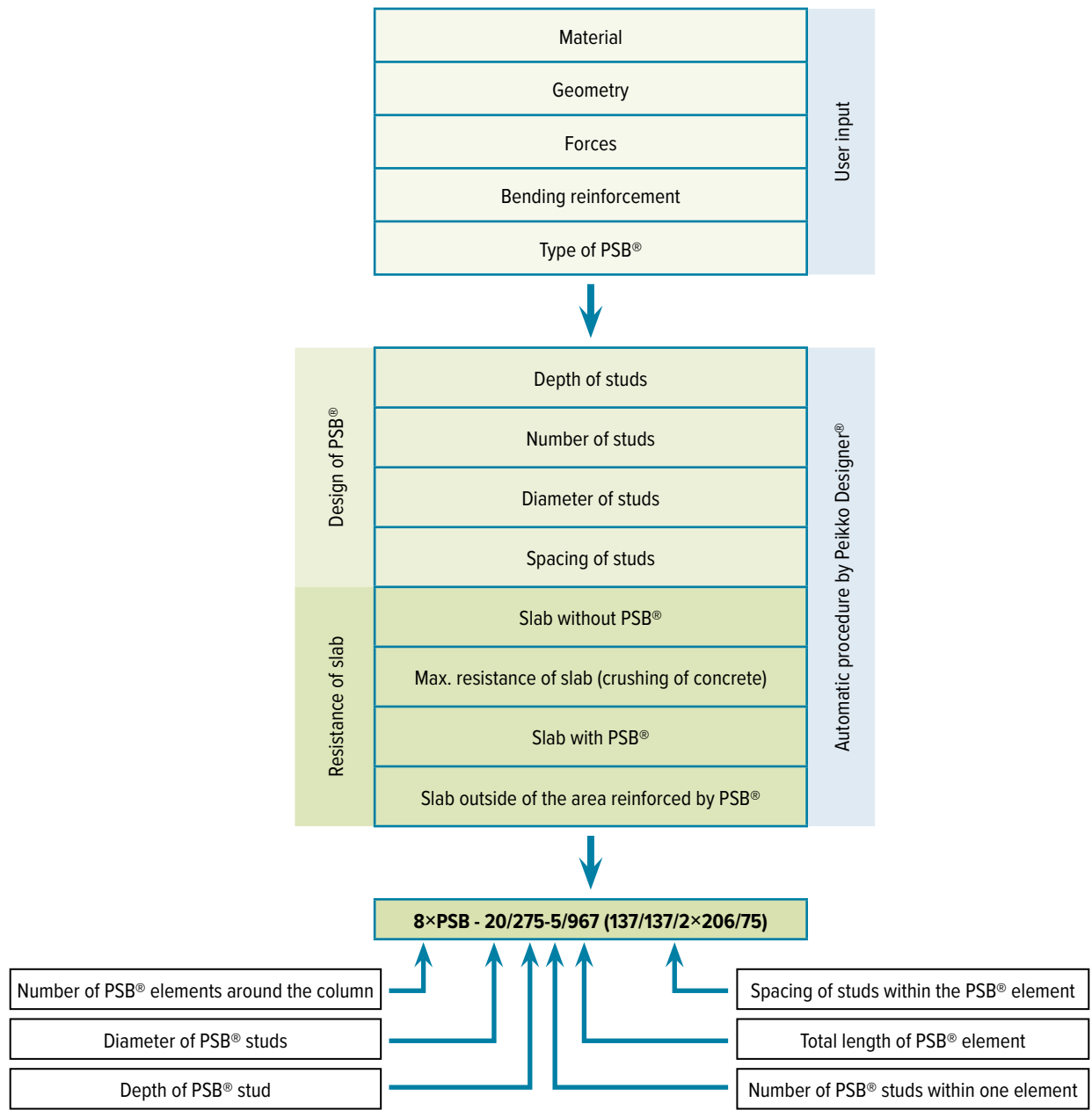
**8×PSB-14/195-2/300(75/150/75)
& 8×PSB-14/195-3/450(75/150/150/75)**



SELECTING

The typical procedure to select the appropriate type of PSB® using Peikko Designer® is summarized on the diagram in *Figure 10*.

Figure 10. Procedure to select PSB® reinforcement.



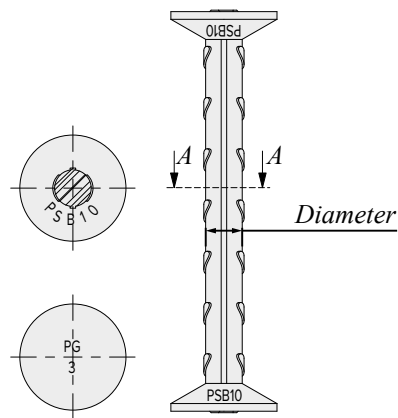
Installation of PSB®

Install the product

PSB® reinforcement is installed in the mould according to design plans. Each PSB® element is identified by a code that is printed on a sticker at the assembly profile.

Double headed PSB® studs are marked with symbol PG or PEIKKO; the symbol PSB® with corresponding diameter of the stud is marked on the opposite side of the head.

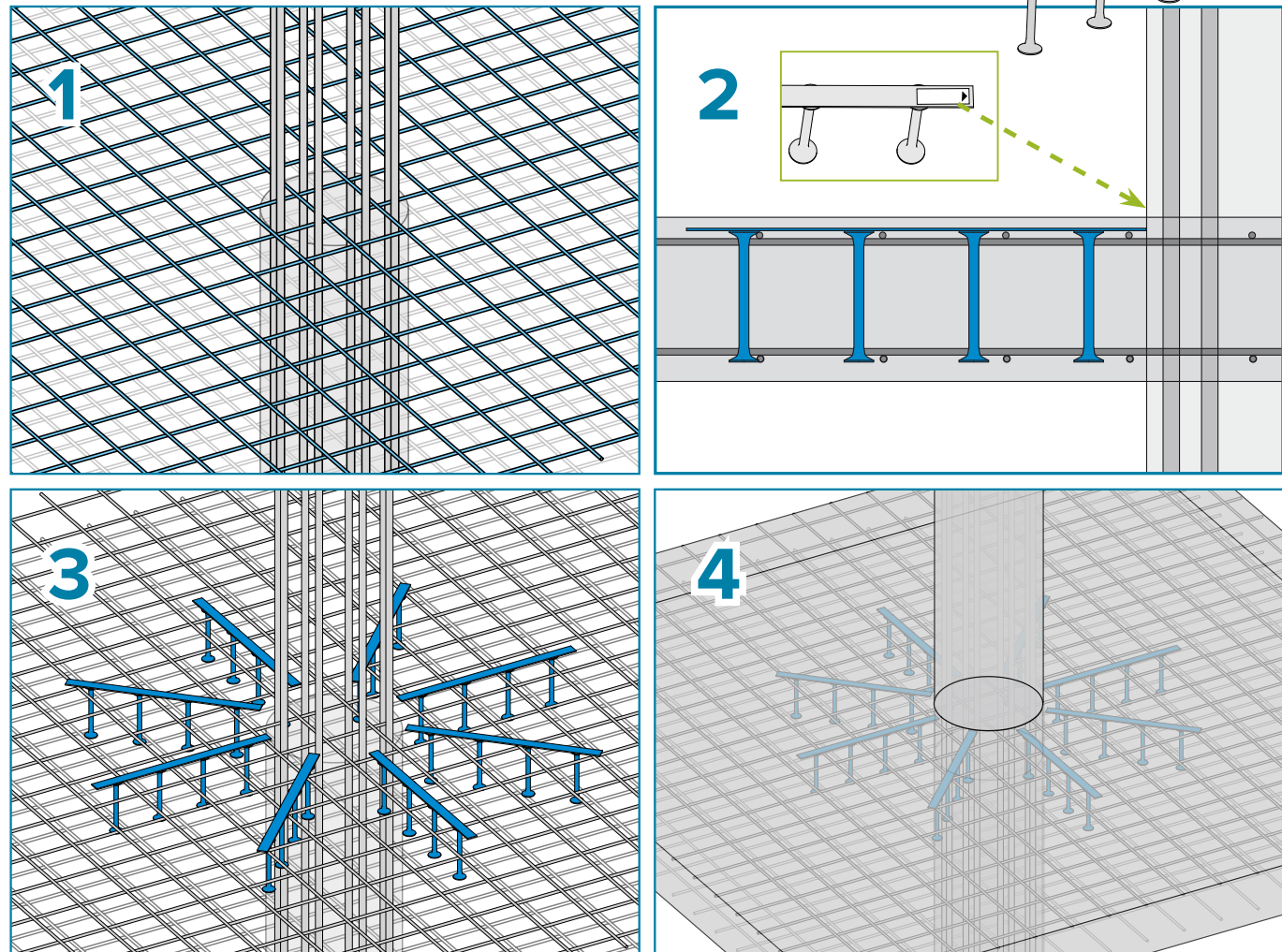
Typical shape of a PSB® stud.



Cast in-situ monolithic slabs and footings

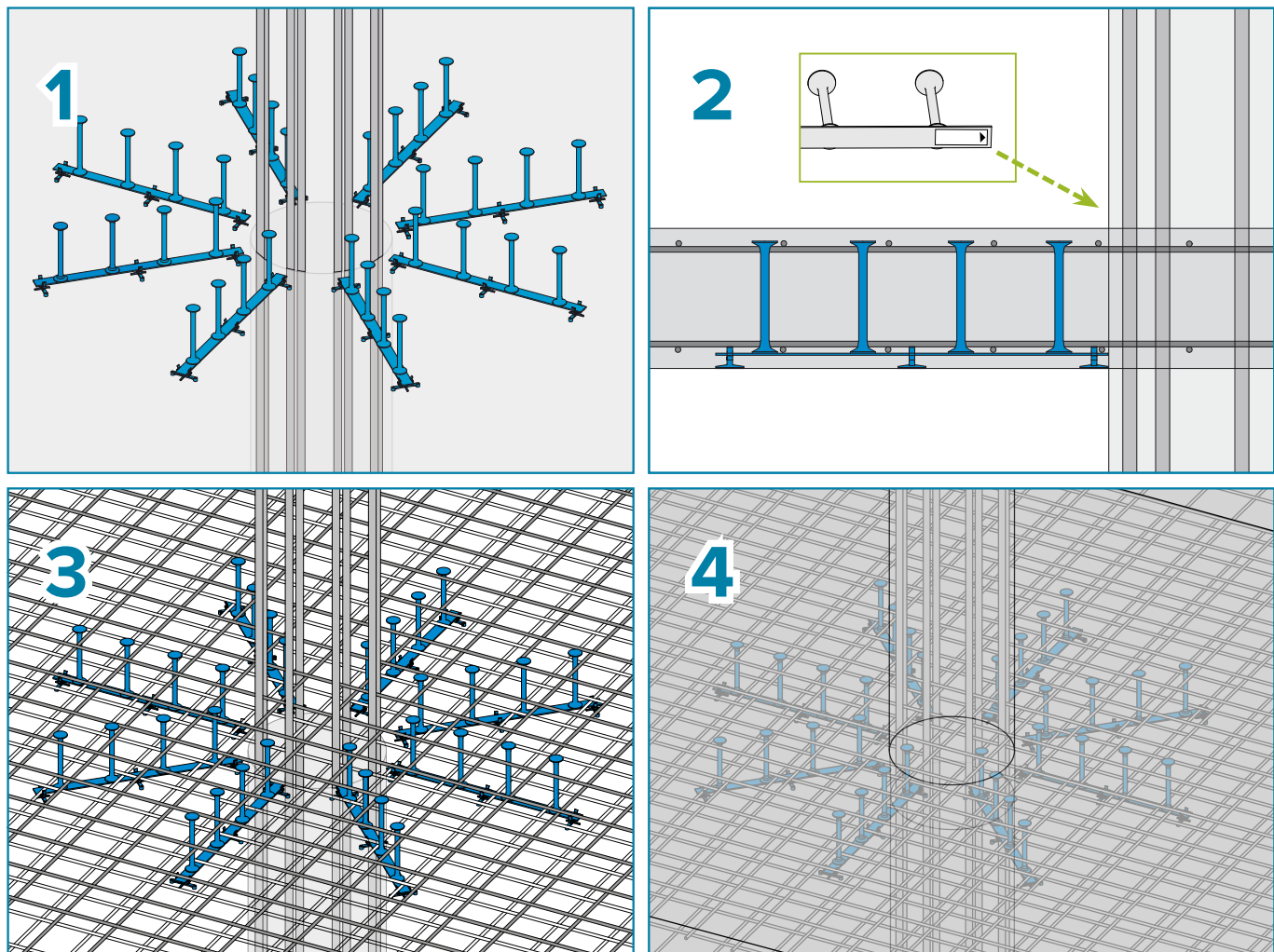
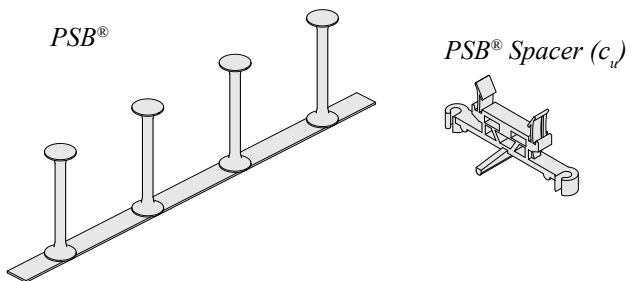
PSB® elements may be installed to cast in-situ monolithic slabs:

- Top installation:** The PSB® elements are hanged to the main reinforcement of the *PSB®* slab. The whole bending reinforcement is installed to the mould prior to PSB®.



INSTALLING

- **Bottom installation:** PSB® elements are placed to the mould of the slab from bottom prior to the installation of the bending reinforcement. In order to achieve sufficient concrete cover of the headed studs, PSB® plastic spacers are mounted to the assembly profile of the PSB® elements. The spacers have to be ordered separately from the PSB® elements.



The type and number of recommended accessories (spacers, cross connectors) for both types of installation are available in the printed outputs of Peikko Designer®.

NOTES

.....

Revisions

Version: PEIKKO GROUP 10/2020. Revision: 005

- Removed PSB-F.

Version: PEIKKO GROUP 06/2013. Revision: 004*

- New cover design for 2018 added.

Resources

DESIGN TOOLS

Use our powerful software every day to make your work faster, easier, and more reliable. Peikko design tools include design software, 3D components for modeling programs, installation instructions, technical manuals, and product approvals of Peikko's products.

peikko.com/design-tools

TECHNICAL SUPPORT

Our technical support teams around the world are available to assist you with all of your questions regarding design, installation etc.

peikko.com/technical-support

APPROVALS

Approvals, certificates, and documents related to CE-marking (DoP, DoC) can be found on our websites under each products' product page.

peikko.com/products

EPDS AND MANAGEMENT SYSTEM CERTIFICATES

Environmental Product Declarations and management system certificates can be found at the quality section of our websites.

peikko.com/qehs

COMPANY WITH
MANAGEMENT SYSTEM
CERTIFIED BY DNV
ISO 9001 • ISO 14001
ISO 45001

Denne siden er satt med vilje tom

Vedlegg 10:

Flattdekke beregninger i bruksgrensetilstand

Innledning:

. Her vil nedbøyninger, og rissvidder kontrolleres bare for 1 felt i bare sone RS1

. Det kontrolleres midtfelt sonen i mellom aksene C-D i x-retning og 1-2 i y-retning i RS1.

. I tillegg kontrolleres 1 balkong (type 1) i RS1, l=2.4m

* Først, vi må skalere momentene med en faktor lik forholdet mellom dimensjonerende laster i ULS og karakteristiske laster i SLS
[Sørensen]:

$$\psi_2 = 0.3$$

* Andelen av nyttelastene i følge EC0 TABELL A1.1 & tillegg A1 A1.4.1 tas med i SLS beregninger ved å multiplisere de karakteristiske nyttelastene med kombinasjonsfaktoren:

* Karakteristiske areal laster(**vedlegg 1**):

$$q_k = g_k + p_k = \left((2.3 + 6.3) \frac{kN}{m^2} \right) + \left(0.3 \cdot 2.0 \frac{kN}{m^2} \right) = 9.2 \frac{kN}{m^2}$$

Dimensjonerede areal laster:

$$q_{ED} = g_{ED} + p_{ED} = \left((2.3 + 6.3) \frac{kN}{m^2} \right) \cdot 1.2 + \left(2.0 \frac{kN}{m^2} \right) \cdot 1.5 = 13.32 \frac{kN}{m^2}$$

* Skaleringsfaktor for momentene fra ULS til SLS

$$\text{faktor} = \frac{9.2}{13.32} = 0.69$$

Kan nedbøyningskontroll bli utekommelig?

* Ja, hvis visse faktorer er tilfredsstilt i følge EC2-1-1 7.4.2

* EC2-1-1 7.4.2(2) gir 2 formler som kan brukes for å sjekke om nedbøyningskontroll kan uteslås:

$$(7.16 \text{ a}) \frac{L}{d} = K \cdot \left[11 + 1.5 \cdot \sqrt{f_{ck}} \cdot \frac{\rho_0}{\rho} + 3.2 \cdot \sqrt{f_{ck}} \cdot \left(\frac{\rho_0}{\rho} - 1 \right)^{\frac{3}{2}} \right] \quad \rho \leq \rho_0$$

$$(7.16 \text{ a}) \frac{L}{d} = K \cdot \left[11 + 1.5 \cdot \sqrt{f_{ck}} \cdot \frac{\rho_0}{\rho - \rho'} + 3.2 \cdot \sqrt{f_{ck}} + \frac{1}{2} \cdot \sqrt{f_{ck}} \cdot \sqrt{\frac{\rho'}{\rho_0}} \right] \quad \rho > \rho_0$$

* Faktoren K finnes fra tabell NA.7.4N og er avhengig av statisk system

$K = 1.2$ For flattdekker, basert på lengstespenn

$K = 0.4$ Utkrager (bjelker, plater)

$$\rho_0 = 10^{-3} \cdot \sqrt{f_{ck}} = 10^{-3} \cdot \sqrt{35} = 0.00592$$

* For **RS2** i retning av **lengste spenn** i en søylestripe (mellan **aksen G-H**):

$$b = 3300 \text{ mm} \quad l = 6950 \text{ mm} \quad A_s = 14 \text{ Ø}16;s250$$

$$d = 217 \text{ mm} \quad \rho = \frac{A_s}{b_w d} = 0.00393 < \rho_0$$

$$\frac{L}{d} (\text{tillatt}) = 1.2 \cdot \left[11 + 1.5 \cdot \sqrt{35} \cdot \frac{0.00592}{0.00393} + 3.2 \cdot \sqrt{35} \cdot \left(\frac{0.00592}{0.00393} - 1 \right)^{\frac{3}{2}} \right] = 37.4$$

$$\frac{L}{D} (\text{aktuell}) = \frac{6950}{217} = 32$$

$$\frac{L}{D} (\text{aktuell}) < \frac{L}{d} (\text{tillatt}) \quad \text{ok}$$

Nedbøylingskontroll kan uteslås, men skal gjennomføres i et felt i RS1 for vise at EC2 er korrekt når den tilatter at det sees bort fra nedbøyningsberegning

* For en **balkong** av **type 1** i **RS1**, $l = 2.4\text{m}$:

$$b = 1000 \text{ mm}$$

$$l = 2400 \text{ mm}$$

$$A_s = A'_s = 4 \text{ Ø}16; s250$$

$$d = 147 \text{ mm}$$

$$\rho = \rho' = \frac{A_s}{b_w d} = 0.00550 < \rho_0$$

$$\frac{L}{d} (\text{tillat}) = 0.4 \cdot \left[11 + 1.5 \cdot \sqrt{35} \cdot \frac{0.00592}{0.00550} + 3.2 \cdot \sqrt{35} \cdot \left(\frac{0.00592}{0.00550} - 1 \right)^{\frac{3}{2}} \right] = 8.4$$

$$\frac{L}{D} (\text{aktuell}) = \frac{2400}{147} = 16.3$$

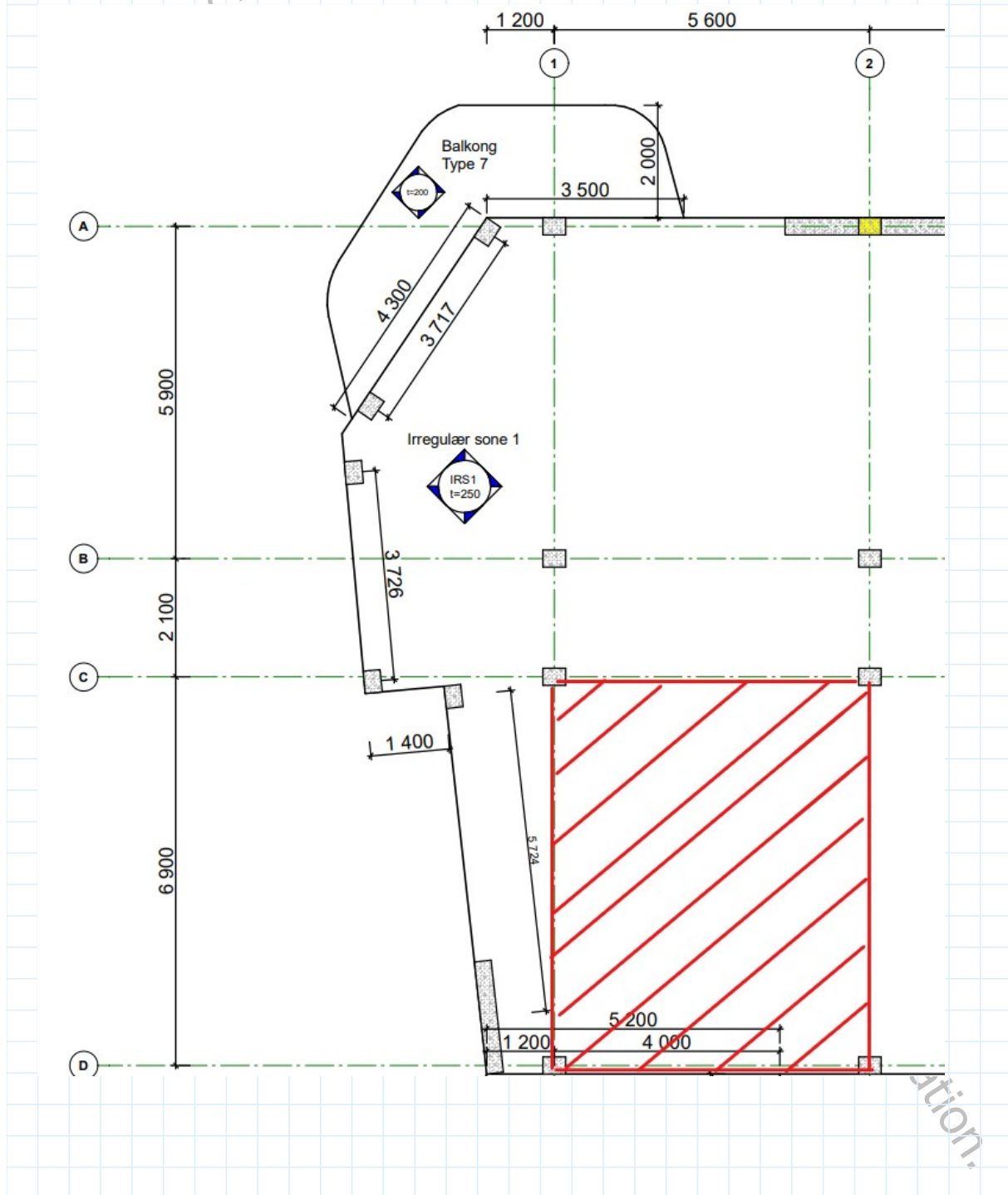
$$\frac{L}{D} (\text{aktuell}) > \frac{L}{d} (\text{tillat}) \quad \text{ikkeok}$$

Nedbøylingskontroll må gjennomføres!!

Nedbøyningsberegninger i RS1 i SLS

Nedbøyningsberegning av flattdekke i etasjeskillere

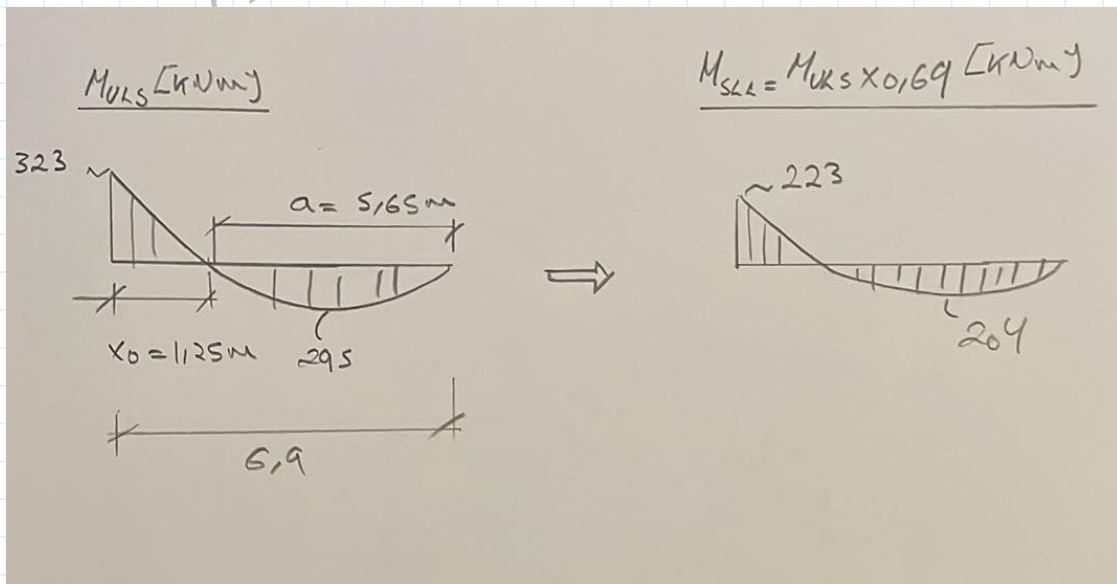
Kontrollerer et dekke panel mellom aksene C & D i x-retning, og aksene 1 & 2 i y-retning pga største sepnnvidder og momenter



Regner nedbøyningen for hele platen i X- og Y-retning, Den totale nedbøyningen blir hvis nedbøyningene er forskjellige :

$$\delta_{tot} = \frac{\delta_x + \delta_y}{2}$$

* Momenter i **x-retning** skalert ned til SLS (for 5.6m bred stripe):



$$b_{SS} = b_{FS} = 2.8 \text{ m}$$

Topparmering ved akse C (søylen):

$$A_s = 20 \text{ Ø}16 \quad i \text{ søylestripen}$$

$$A_s = 12 \text{ Ø}16 \quad i \text{ feltstripen}$$

$$d = 201 \text{ mm}$$

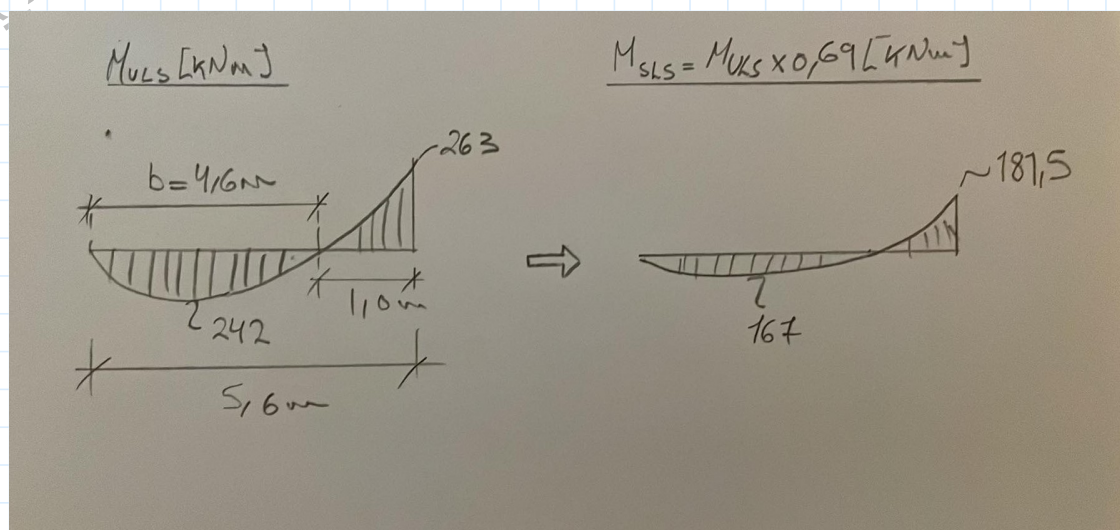
Bunnarmering i midt-felt mellomm
aksene C-D:

$$A_s = 12 \text{ Ø}16 \quad i \text{ søylestripen}$$

$$A_s = 12 \text{ Ø}16 \quad i \text{ feltstripen}$$

$$d = 217 \text{ mm}$$

* Momenter i **y-retning** skalert ned til SLS (for 6.9m bred stripe):



$$b_{SS} = 2.8 \text{ m} \quad b_{FS} = 4.1 \text{ m}$$

Topparmering ved akse 2 (søylen): $A_s = 16 \text{ Ø}16$ i øylestripen

$A_s = 17 \text{ Ø}16$ i feltstripen

$$d = 217 \text{ mm}$$

Bunnarmering i midt-felt mellom aksene 1-2: $A_s = 12 \text{ Ø}16$ i øylestripen

$A_s = 17 \text{ Ø}16$ i feltstripen

$$d = 201 \text{ mm}$$

lastene per 1 meter bred platestripe

$$g_k = (2.3 + 6.3) \frac{kN}{m^2} \cdot 1 \text{ m} = 8.6 \frac{kN}{m} \quad t_0 = 30 \text{ d}$$

$$p_k = \psi_2 \cdot p_{k;permanent} \cdot 1 \text{ m} = 0.3 \cdot 2 \frac{kN}{m^2} \cdot 1 \text{ m} = 0.6 \frac{kN}{m} \quad t_0 \geq 100 \text{ d}$$

* Sement type: **CEM N**

$$E_{cm} = 34000 \text{ MPa}$$

$$h_{0;x} = \frac{2 A_c}{U} = \frac{2 \cdot 5600 \cdot 250}{(2 \cdot 5600) + (2 \cdot 250)} = 239 \text{ mm}$$

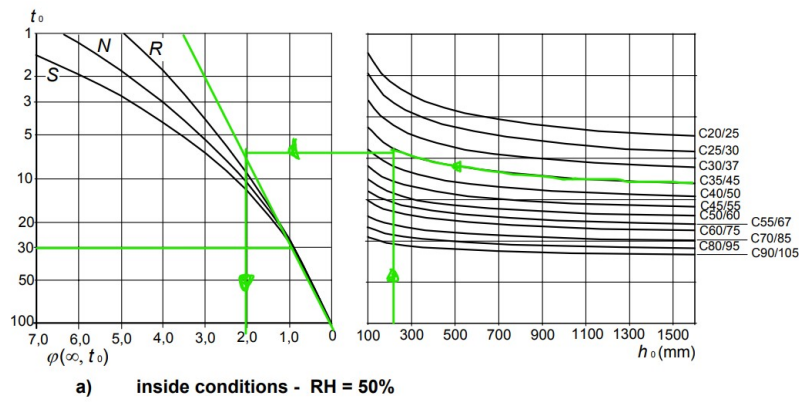
$$h_{0;y} = \frac{2 A_c}{U} = \frac{2 \cdot 6900 \cdot 250}{(2 \cdot 6900) + (2 \cdot 250)} = 241 \text{ mm}$$

$$h_{middel} = \frac{239 + 241}{2} = 240 \text{ mm}$$

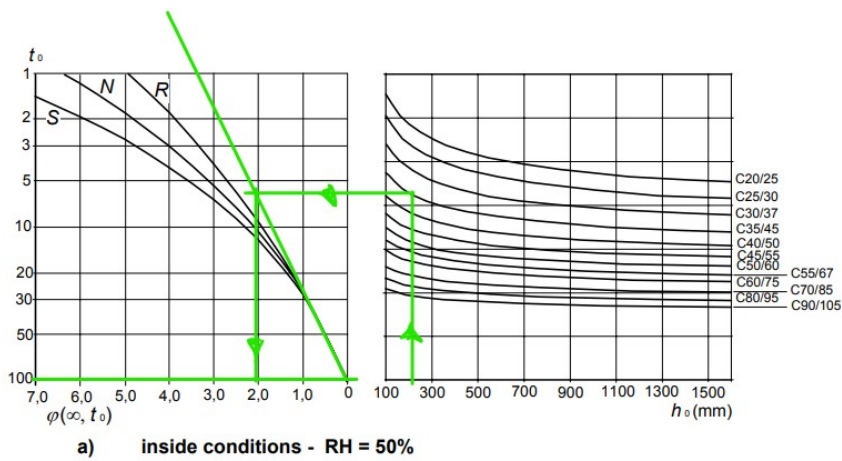
* Kryptall etter EC2 figur 3.1a) for innvedige relativfuktighetsforhold

$$\varphi_g(\infty, t_0 = 30 \text{ d}) \approx 2.0$$

EN 1992-1-1:2004 (E)



$$\varphi_p(\infty, t_0 \geq 100 \text{ d}) \approx 2.0$$



* Samme kryptall for egen- og nyttelaster, da blir midlere elastisitetsmodulen:

$$E_{c;middel} = E_{cL} = \frac{E_{cm}}{1 + \varphi_p(\infty, t_0)} = \frac{34000 \text{ MPa}}{1 + 2} = 11333.33 \text{ MPa}$$

$$\eta = \frac{E_s}{E_{cL}} = \frac{2 \cdot 10^5 \text{ MPa}}{11333.33 \text{ MPa}} = 17.65$$

* Etter sorensen, det beregnes en midlere bøyestivhet for områdene med strekk overkant og underkant for å regne nedbøyningen

$$EI_{x;middle} = \beta_u \cdot EI_{x;U.K.} + (1 - \beta_u) \cdot EI_{x;O.K.} \quad \beta_u = \frac{a}{L_x}$$

$$EI_{y;middle} = \gamma_u \cdot EI_{y;U.K.} + (1 - \gamma_u) \cdot EI_{y;O.K.} \quad \gamma_u = \frac{b}{L_y}$$

* a , og b er avstandene mellom momentnullpunktene u h.h.v. x- og y-retning

* I x-retning er avstanden mellom momentnulpunktene (a) funnet manuelt og ikke presentert her(se M-diagrammet):

$$\beta_u = \frac{5.65}{6.9} = 0.82$$

* I x-retning er avstanden mellom momentnulpunktene (b) funnet manuelt og ikke presentert her(se M-diagrammet):

$$\gamma_u = \frac{4.6}{5.6} = 0.82$$

* X-retning, overkant ved akse C

$$\rho = \frac{32 \cdot \pi \cdot 8^2}{5600 \cdot 201} = 0.00572 \quad \eta\rho = 0.10$$

$$\alpha = \sqrt{(\eta\rho)^2 + 2 (\eta\rho)} - (\eta\rho) = 0.36$$

$$I_{c;x;O.K.} = \frac{1}{2} \cdot \alpha^2 \cdot \left(1 - \frac{\alpha}{3}\right) \cdot b \cdot d^3 = 25.93 \cdot 10^8 \text{ mm}^4$$

$$EI_{x;O.K.} = E_{c;middle} \cdot I_{c;x;O.K.} = 11333.33 \text{ MPa} \cdot 25.93 \cdot 10^8 \text{ mm}^4 = 2.93 \cdot 10^{13} \text{ Nmm}^2$$

* X-retning, underkant i midtfelt mellom aksene C-D

$$\rho = \frac{24 \cdot \pi \cdot 8^2}{5600 \cdot 217} = 0.00397 \quad \eta\rho = 0.070$$

$$\alpha = \sqrt{(\eta\rho)^2 + 2 (\eta\rho)} - (\eta\rho) = 0.31$$

$$I_{c;x;U.K} = \frac{1}{2} \cdot \alpha^2 \cdot \left(1 - \frac{\alpha}{3}\right) \cdot b \cdot d^3 = 24.65 \cdot 10^8 \text{ mm}^4$$

$$EI_{x;U.K.} = E_{c;middel} \cdot I_{c;x;O.K.} = 11333.33 \text{ MPa} \cdot 24.65 \cdot 10^8 \text{ mm}^4 = 2.79 \cdot 10^{13} \text{ Nmm}^2$$

* Midelere bøyestivhet x-retning

$$EI_{x;middel} = [0.82 \cdot 2.79 \cdot 10^{13}] + [(1 - 0.82) \cdot 2.93 \cdot 10^{13}] = 2.82 \cdot 10^{13} \text{ Nmm}^2$$

* Benytter virtuelarbeid og hurtigintegrasjonsmetoden (formelsamling til betongkonstruksjoner 2 faget):

$$\delta_x = \frac{1}{EI_{x;middel}} \cdot \left[\left(\frac{1}{2} \cdot M_{xs} \cdot \frac{L_x}{4} \cdot L_x \right) + \left(\frac{5}{12} \cdot M_{xf} \cdot \frac{L_x}{4} \cdot L_x \right) \right] = 28 \text{ mm}$$

$$M_{xs} = -223 \text{ kNm} \quad M_{xf} = (223 + 204) = 427 \text{ kNm} \quad L_x = 6.9 \text{ m}$$

Nedbøyning pga. svinn i x-retning

$$h_{0;x} = 239 \text{ mm} \quad CEM-N \quad A_s = 24 \text{ Ø16} = 1536 \text{ } \pi$$

$$\varepsilon_{cs}(\infty) = \varepsilon_{cd}(\infty) + \varepsilon_{ca}(\infty)$$

$$\varepsilon_{cd}(\infty) = \beta_{ds}(t; t_s) \cdot k_h \cdot \varepsilon_{cd,0} \quad t \rightarrow \infty ; \quad \beta_{ds}(t; t_s) \rightarrow 1.0$$

Tabell 3.2 i EC2: ved linærinterpolasjon finnes: $\varepsilon_{cd,0} = 0.46\%$

Tabell 3.3 i EC2: ved linærinterpolasjon finnes: $k_h = 0.811$

$$\varepsilon_{cd}(\infty) = 1.0 \cdot 0.811 \cdot 0.46\% = 0.37\%$$

$$\varepsilon_{ca}(\infty) = 2.5 \cdot (f_{ck} - 10) \cdot 10^{-6} = 0.062\%$$

$$\varepsilon_{cs}(\infty) = 0.37\% + 0.062\% = 0.43\%$$

$$N_s = E_s \cdot \varepsilon_{cs}(\infty) \cdot A_s = 2 \cdot 10^5 \text{ MPa} \cdot 0.43 \cdot 10^{-3} \cdot 1536 \text{ } \pi = 415 \text{ kN}$$

* Forutsetter at svinnkrumningen fører ikke til opprissing og regner tverrsnittsparametre for uopprisett tversnitt (sørensen kapittel 5.24), men bruker langtids E-modul siden svinn foregår over langtid:

$$\alpha d = \frac{A_c \cdot \frac{1}{2} h + \eta \cdot A_s \cdot d}{A_c + \eta \cdot A_s} = \frac{(5600 \cdot 250 \cdot 125) + (17.65 \cdot 1536 \pi \cdot 217)}{(5600 \cdot 250) + (17.65 \cdot 1536 \pi)} = 130.3 \text{ mm}$$

$$e = d - \alpha d = 86.7 \text{ mm}$$

$$I_{transformert} = \left(\frac{bh^3}{12} + bh \cdot \left(ad - \frac{h}{2} \right)^2 \right) + \left(\eta \cdot A_s \cdot (d - \alpha d)^2 \right) = 79.7 \cdot 10^8 \text{ mm}^4$$

* EC2 7.4.3(6) gir et uttrykk for beregning av svinnkrumningen:

$$\kappa_s = \frac{1}{r_{cs}} = \varepsilon_{cs} \cdot \eta \cdot \frac{S}{I} = \varepsilon_{cs} \cdot \eta \cdot \frac{A_s \cdot e}{I} = 0.43 \cdot 10^{-3} \cdot 17.65 \cdot \frac{1536 \pi \cdot \text{mm}^2 \cdot 86.7 \text{ mm}}{79.7 \cdot 10^8 \text{ mm}^4}$$

$$\kappa_s = 3.98 \cdot 10^{-7} \frac{1}{\text{mm}}$$

$$\delta_{x;svinn} = \frac{\kappa_s \cdot L_x^2}{8} = \frac{3.98 \cdot 10^{-7} \cdot 6900^2}{8} = 2.4 \text{ mm}$$

$$\delta_{x,tot} = \delta_x + \delta_{x;svinn} = 28 \text{ mm} + 2.4 \approx 30 \text{ mm}$$

* Y-retning, overkant ved akse 2

$$\rho = \frac{33 \cdot \pi \cdot 8^2}{6900 \cdot 217} = 0.0044 \quad \eta\rho = 0.078$$

$$\alpha = \sqrt{(\eta\rho)^2 + 2(\eta\rho)} - (\eta\rho) = 0.32$$

$$I_{c;y;O.K.} = \frac{1}{2} \cdot \alpha^2 \cdot \left(1 - \frac{\alpha}{3}\right) \cdot b \cdot d^3 = 32.24 \cdot 10^8 \text{ mm}^4$$

$$EI_{y;O.K.} = E_{c;middel} \cdot I_{c;y;O.K.} = 11333.33 \text{ MPa} \cdot 32.24 \cdot 10^8 \text{ mm}^4 = 3.65 \cdot 10^{13} \text{ Nmm}^2$$

* Y-retning, underkant i midtfelt mellom aksene 1-2

$$\rho = \frac{29 \cdot \pi \cdot 8^2}{6900 \cdot 201} = 0.0042 \quad \eta\rho = 0.074$$

$$\alpha = \sqrt{(\eta\rho)^2 + 2(\eta\rho)} - (\eta\rho) = 0.32$$

$$I_{c;y;U.K.} = \frac{1}{2} \cdot \alpha^2 \cdot \left(1 - \frac{\alpha}{3}\right) \cdot b \cdot d^3 = 25.63 \cdot 10^8 \text{ mm}^4$$

$$EI_{y;U.K.} = E_{c;middel} \cdot I_{c;y;U.K.} = 11333.33 \text{ MPa} \cdot 25.63 \cdot 10^8 \text{ mm}^4 = 2.90 \cdot 10^{13} \text{ Nmm}^2$$

$$EI_{y;middel} = [0.82 \cdot 2.9 \cdot 10^{13}] + [(1 - 0.82) \cdot 3.65 \cdot 10^{13}] = 3.04 \cdot 10^{13} \text{ Nmm}^2$$

$$\delta_y = \frac{1}{EI_{x;middel}} \cdot \left[\left(\frac{1}{2} \cdot M_{ys} \cdot \frac{L_x}{4} \cdot L_x \right) + \left(\frac{5}{12} \cdot M_{yf} \cdot \frac{L_x}{4} \cdot L_x \right) \right] = 14 \text{ mm}$$

$$M_{xs} = -181 \text{ kNm} \quad M_{xf} = (181.5 + 167) = 348.5 \text{ kNm} \quad L_y = 5.6 \text{ m}$$

Nedbøyning pga. svinn i y-retning

$$h_{0,y} = 241 \text{ mm}$$

$$CEM-N \quad A_{s;U.K} = 29 \quad \varnothing 16 = 1856 \text{ } \pi$$

$$\varepsilon_{cs}(\infty) = \varepsilon_{cd}(\infty) + \varepsilon_{ca}(\infty)$$

$$\varepsilon_{cd}(\infty) = \beta_{ds}(t; t_s) \cdot k_h \cdot \varepsilon_{cd;0} \quad t \rightarrow \infty ; \quad \beta_{ds}(t; t_s)$$

Tabell 3.2 i EC2: ved linærinterpolasjon finnes: $\varepsilon_{cd;0} = 0.46 \text{ \%}$

Tabell 3.3 i EC2: ved linærinterpolasjon finnes: $k_h = 0.809$

$$\varepsilon_{cd}(\infty) = 1.0 \cdot 0.809 \cdot 0.46 \text{ \%} = 0.37 \text{ \%}$$

$$\varepsilon_{ca}(\infty) = 2.5 \cdot (f_{ck} - 10) \cdot 10^{-6} = 0.062 \cdot \%$$

$$\varepsilon_{cs}(\infty) = 0.37 \text{ \%} + 0.062 \cdot \% = 0.43 \text{ \%}$$

$$N_s = E_s \cdot \varepsilon_{cs}(\infty) \cdot A_s = 2 \cdot 10^5 \text{ MPa} \cdot 0.43 \cdot 10^{-3} \cdot 1856 \text{ } \pi = 501 \text{ kN}$$

* Svinnkrumningen fører ikke til opprissing og regner tverrsnittsparametre for uoppriiset tversnitt(sørensen kapittel 5.24), men bruker langtids E-modul siden svinn foregår over langtid:

$$\alpha d = \frac{A_c \cdot \frac{1}{2} h + \eta \cdot A_s \cdot d}{A_c + \eta \cdot A_s} = \frac{(6900 \cdot 250 \cdot 125) + (17.65 \cdot 1856 \text{ } \pi \cdot 201)}{(6900 \cdot 250) + (17.65 \cdot 1856 \text{ } \pi)} = 129.3 \text{ mm}$$

$$e = d - \alpha d = 71.7 \text{ mm}$$

$$I_{transformert} = \left(\frac{bh^3}{12} + bh \cdot \left(\alpha d - \frac{h}{2} \right)^2 \right) + (\eta \cdot A_s \cdot (d - \alpha d)^2) = 95.5 \cdot 10^8 \text{ mm}^4$$

* EC2 7.4.3(6) gir et uttrykk for beregning av svinnkrumningen:

$$\kappa_s = \frac{1}{r_{cs}} = \varepsilon_{cs} \cdot \eta \cdot \frac{S}{I} = \varepsilon_{cs} \cdot \eta \cdot \frac{A_s \cdot e}{I} = 0.43 \cdot 10^{-3} \cdot 17.65 \cdot \frac{1856 \text{ } \pi \cdot mm^2 \cdot 71.7 \text{ mm}}{95.5 \cdot 10^8 \text{ mm}^4}$$

$$\kappa_s = 3.3 \cdot 10^{-7} \frac{1}{mm}$$

$$\delta_{y;svinn} = \frac{\kappa_s \cdot L_x^2}{8} = \frac{3.3 \cdot 10^{-7} \cdot 5600^2}{8} = 1.3 \text{ mm}$$

$$\delta_{y,tot} = \delta_y + \delta_{y;svinn} = 14 \text{ mm} + 1.3 = 15.3$$

* Den totale nedbøyningen i x- og y-retningen blir:

$$\delta_{tot} = \frac{\delta_x + \delta_y}{2} = \frac{30 + 15.3}{2} = 22.7 \text{ mm}$$

* Den tillatte nedbøyningen i x- og y-retningen etter EC2 7.4.1(4) blir:

$$\delta_{tillatt} = \frac{L = L_{min}}{250} = \frac{5600}{250} = 22.4 \text{ mm}$$

ok

Konklusjon nedbøyninger i etasjeskillere:

Nedbøyningen akkurat tilfredsstiller kravet, men dette er etter lang tid (50 år), og her er Tension Stiffening ignert, hvor risset betong i strekksonen tar opp fortsatt en del av strekkspenningene og bidrar til bøyestivheten. I tillegg er det armering i trykksonen pga kryssende armering i x- og y-retninger som øker bøyestivheten og var ignorert her. Disse faktorene vil redusere den ekstra "0.3mm" som kom fram hvis beregningen er gjenntatt med å ta hensyn til dem.

Det er vist også at hvis kravene i EC2 7.4.2 er tilfredsstilt, trenger man ikke å regne nedbøyninger som i dette tilfellet.

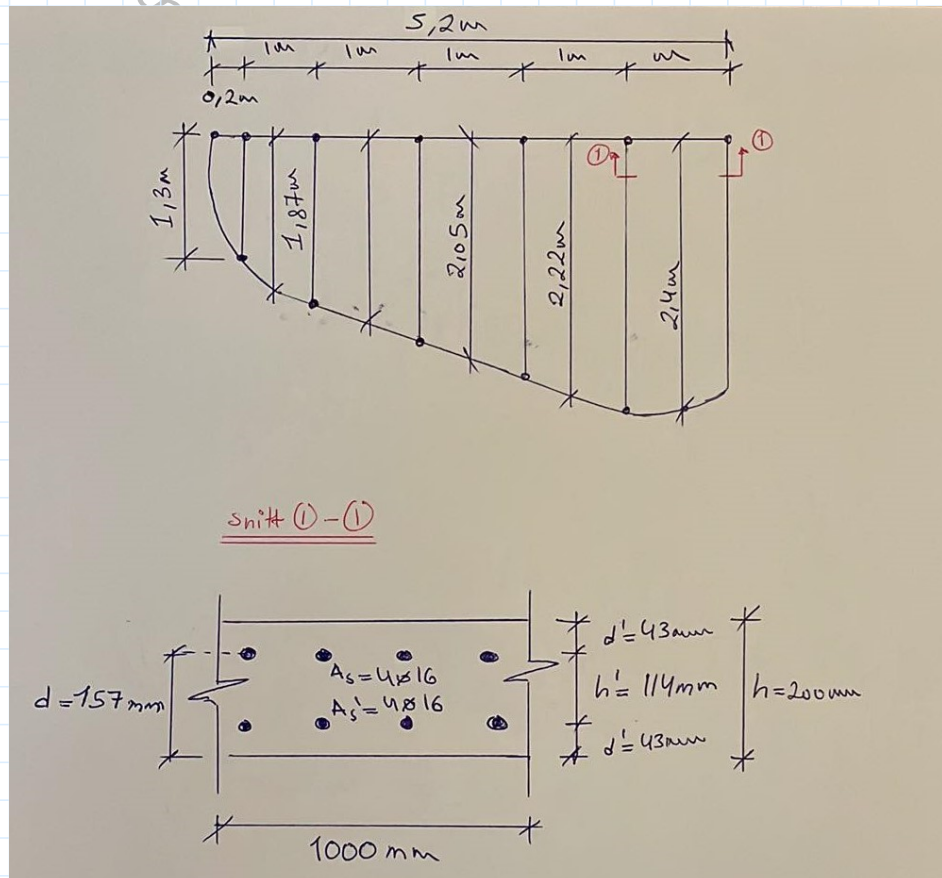
Det trenges ikke å kontrollere nedbøyninga i andre steder i dekket siden nedbøyningen er regnet for feltet med største momenter og spennvidder.

Nedbøyningsberegning av utkargerplater i balkonger

Siden kravet i EC2 7.4.2(2) er ikke tilfredsstilt, må det gjennomføres en nedbøyningskontroll i balkongene

Kontrollerer den lengste balkongen i sone RS1

$$L_{max} = 2.4 \text{ m}$$



Opptredende laster på balkongen per 1m bred stripe:

$$p_{k.balkong;permanent} = 0.3 \cdot 4.0 \frac{kN}{m} = 1.2 \quad t_0 \geq 100 \text{ d}$$

$$g_{k.balkong} = 5 \frac{kN}{m} \quad t_0 = 30 \text{ d}$$

Armeringsareal:

$$A_s = 5 \cdot \pi \cdot 8^2 = 320 \text{ } \pi = A_s'$$

Ignorer trykkarmeringens areal (konservativt)

NB! Etter å sjekke nedbøyningskravet første gangen, var den ikke tilfredsstilt. Armeringen ble økt til 5Ø16/m
Bildet ovenfor er tegnet før endringen.

Lastvirkninger ved innspenningen i SLS

$$M = \frac{6.2 \cdot 2.4^2}{2} = 17.9 \text{ kNm} \quad M_g = 14.4 \text{ kNm} \quad M_p = 3.5 \text{ kNm}$$

$$V = 6.2 \cdot 2.4 = 15 \text{ kN}$$

Urisset tversnitt (stadium 1) (korttid)

$$\eta = \frac{E_s}{E_{cm}} = \frac{200000}{34000} = 5.88$$

$$\alpha d = \frac{A_c \cdot \frac{1}{2} h + \eta \cdot A_s \cdot d}{A_c + \eta \cdot A_s} = \frac{(1000 \cdot 200 \cdot 100) + (5.88 \cdot 256 \pi \cdot 157)}{(1000 \cdot 200) + (5.88 \cdot 320 \pi)} = 102 \text{ mm}$$

$$I_{c1} = \frac{bh^3}{12} + bh \cdot \left(\alpha d - \frac{h}{2} \right)^2 = 6.7 \cdot 10^8 \text{ mm}^4$$

$$I_{s1} = A_s \cdot (d - \alpha d)^2 = 0.03 \cdot 10^8 \text{ mm}^4$$

$$M_{cr} = \frac{I_{c1} + \eta \cdot I_{s1}}{h - \alpha d} \cdot f_{ctm} = 22 \text{ kNm} > M = 17.9 \text{ kNm}$$

Tverrsnittet er ved å sette på lastene umiddelbart **Uopprisett !!!** Velger likevel at balkongens plate behandles videre via stadium 2 formler for å sikre mot eventuell oppripping som kan skje pga. ekstra brukslaster.

Risset tversnitt (stadium 2) (langtid)

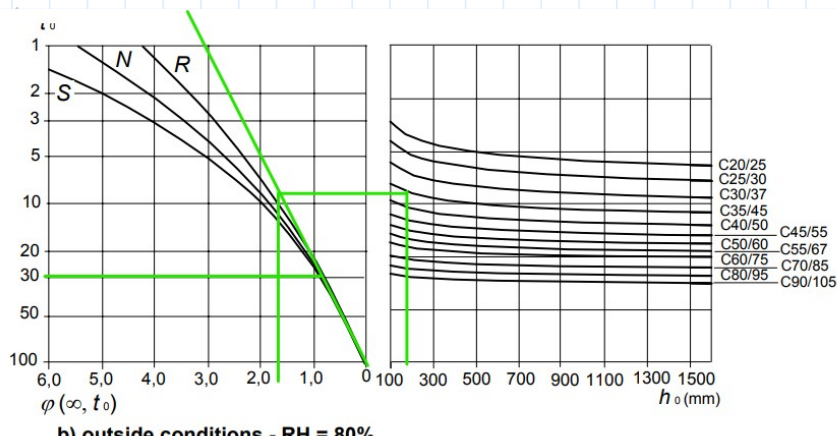
$$h_o = \frac{2 A_c}{U} = \frac{2 \cdot 1000 \cdot 200}{(2 \cdot 1000) + (2 \cdot 200)} \approx 167 \text{ mm}$$

Sement type N

Kryppkoeffiseinter fra nomogram i figur 3.1 i EC2 (Utvendig relativ fuktighetsforhold):

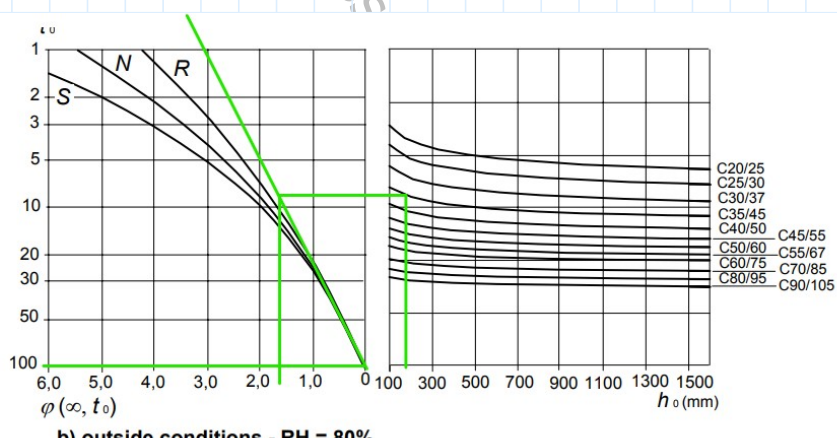
Egenlast

$$\varphi_g(\infty, t_0 = 30 \text{ d}) \approx 1.7$$



Nytelast

$$\varphi_p(\infty, t_0 = 100 \text{ d}) \approx 1.7$$



$$E_{cL} = \frac{34000 \text{ MPa}}{1 + 1.7} = 12593 \text{ MPa}$$

$$E_{c,middel} = \frac{\sum M_i}{\sum \frac{M_i}{E_{cL,i}}} = 12593 \text{ MPa}$$

$$\eta = \frac{E_s}{E_{c,middel}} = \frac{200000}{12593} = 15.9$$

$$\rho = \frac{320 \pi}{1000 \cdot 157} = 0.0064$$

$$\eta\rho = 0.10$$

$$\alpha = \sqrt{(\eta\rho)^2 + 2(\eta\rho)} - (\eta\rho) = 0.36$$

$$I_{c2} = \frac{1}{2} \cdot \alpha^2 \cdot \left(1 - \frac{\alpha}{3}\right) \cdot b \cdot d^3 = 2.2 \cdot 10^8$$

$$EI_2 = E_{c; \text{middel}} \cdot I_{c2} = 2.8 \cdot 10^{12} \text{ Nmm}^2$$

$$\delta_{max} = \frac{pL^4}{8 \cdot EI_2} = \frac{6.2 \frac{N}{mm} \cdot (2400 \text{ mm})^4}{8 \cdot 2.8 \cdot 10^{12} \text{ Nmm}^2} = 9.2 \text{ mm}$$

$$\delta_{tillat} = \frac{L}{250} = \frac{2400}{250} = 9.6 \text{ mm} < \delta_{max}$$

ok

* Nedbøyningen er mindre enn det som er tillatt i EC2 7.4.1(4), men er ikke tillatt

* Det er ikke tatt hensyn til nedbøyning pga. svinn siden betongen ligger i utvendige forhold med fukt pga. regn og snøvær (fører til mindre svinnnedbøyning enn i tørt miljø), men Tension Stiffening motvirker denne liten nedbøyningen pga. eventuell svinn (ikke presentert her for å begrense antall sider i rapporten)

Riss kontroll

Risskontrollen utføres etter reglene i EC2 7.3.3 (uten regning) basert på armeringsspenninger. Tabellene 7.2N og 7.3N er brukt.

Platen (Felt mellom aksene C-D & 1-2)

Eksponeringsklasse XC1. EC2 7.3.1(5) NA. i tabell NA.7.1N tillater en maksimalrissvidde på:

$$w_{cr,max} = 0.30 \cdot k_c \quad k_c = \frac{c_{nom}}{c_{min;dur}} \leq 1.3$$

$$\Rightarrow k_c = \frac{25 \text{ mm}}{15 \text{ mm}} = 1.7 \Rightarrow k_c = 1.3$$

$$\Rightarrow w_{cr,max} = 0.30 \cdot 1.30 = 0.39 \approx 0.40 \text{ mm}$$

Øvest i dette vedlegget har vi funnet:

$$EI_{x,middel} = 2.82 \cdot 10^{13} \text{ Nmm}^2$$

$$M_{x;U.K} = 204 \text{ kNm} \quad A_{s;x;U.K} = 24 \text{ Ø}16 = 1536 \pi \quad d_{x;U.K} = 217 \text{ mm}$$

$$M_{x;O.K} = 223 \text{ kNm} \quad A_{s;x;O.K} = 32 \text{ Ø}16 = 2048 \pi \quad d_{x;O.K} = 201 \text{ mm}$$

Armeringsspenning x-retning underkant

$$\alpha = 0.32 \quad I_{s2} = A_s \cdot (1 - \alpha) \cdot \left(1 - \frac{\alpha}{3}\right) \cdot d^2 = 13.8 \cdot 10^7 \text{ mm}^4$$

$$\sigma_{s;x;U.K} = \frac{M_{x;U.K}}{I_{s2}} \cdot (1 - \alpha) \cdot d = \frac{204}{138} \cdot (1 - 0.32) \cdot 217 = 218 \text{ MPa}$$

Sjekker minste armeringsareal for å sikre heft og hindre opprissingen etter EC2 7.3.2(2)

$$A_{s,min} \cdot \sigma_s = k_c \cdot k \cdot f_{ct;eff} \cdot A_{ct}$$

A_{ct} er arealet av strekksonen i uopprisett tversnitt

Fra svinn beregninger, fant vi at $\alpha d = 130.3 \text{ mm}$

$$A_{ct} = (h - \alpha d) \cdot b = (250 - 130.3) \cdot 5600 = 670320 \text{ mm}^2$$

$$k_c = 0.4$$

$$k = 1.0$$

$$f_{ct;eff} = f_{ctm} = 3.2 \text{ MPa}$$

$$A_{s,min} = \frac{k_c \cdot k \cdot f_{ct;eff} \cdot A_{ct}}{\sigma_s} = \frac{0.4 \cdot 1.0 \cdot 3.2 \cdot 670320}{218} = 3936 \text{ mm}^2$$

$$A_{s;x;U.K} = 1536 \text{ } \pi = 4825 \text{ mm}^2 > A_{s,min}$$

ok

* Tabellene 7.2 N OG 7.3N:

Table 7.2N Maximum bar diameters ϕ_s^* for crack control¹

Steel stress ² [MPa]	w _k = 0,4 mm	w _k = 0,3 mm	w _k = 0,2 mm
160	40	32	25
200	32	25	16
240	20	16	12
280	16	12	8
320	12	10	6
360	10	8	5
400	8	6	4
450	6	5	-

Det kan benyttes maksimalt Ø25 for en spenning på 218MPa (funnet ved linær interpolasjon)

ok

Table 7.3N Maximum bar spacing for crack control¹

Steel stress ² [MPa]	w _k = 0,4 mm	w _k = 0,3 mm	w _k = 0,2 mm
160	300	300	200
200	300	250	150
240	250	200	100
280	200	150	50
320	150	100	-
360	100	50	-

Det kan benyttes maksimalt s277 for en spenning på 218MPa (funnet ved linær interpolasjon). Armeringen er plassert maskimalt med s250mm.

ok

Armeringsspenning x-retning Overkant

$$\alpha = 0.32 \quad I_{s2} = A_s \cdot (1 - \alpha) \cdot \left(1 - \frac{\alpha}{3}\right) \cdot d^2 = 157.9 \cdot 10^6 \text{ mm}^4$$

$$\sigma_{s;x;O.K} = \frac{M_{x;O.K}}{I_{s2}} \cdot (1 - \alpha) \cdot d = \frac{223}{157.9} \cdot (1 - 0.32) \cdot 201 = 193 \text{ MPa}$$

Ved å kontrollere As,min og tabellene 7.2N og 7.3N, er spenningen og armeringsplassering akseptable

ok

* Forlater armeringsspennning i y-retning siden momente er mindre enn i x-retning og dermed vil armeringsspenningene være mindre

Konklusjon SLS beregninger

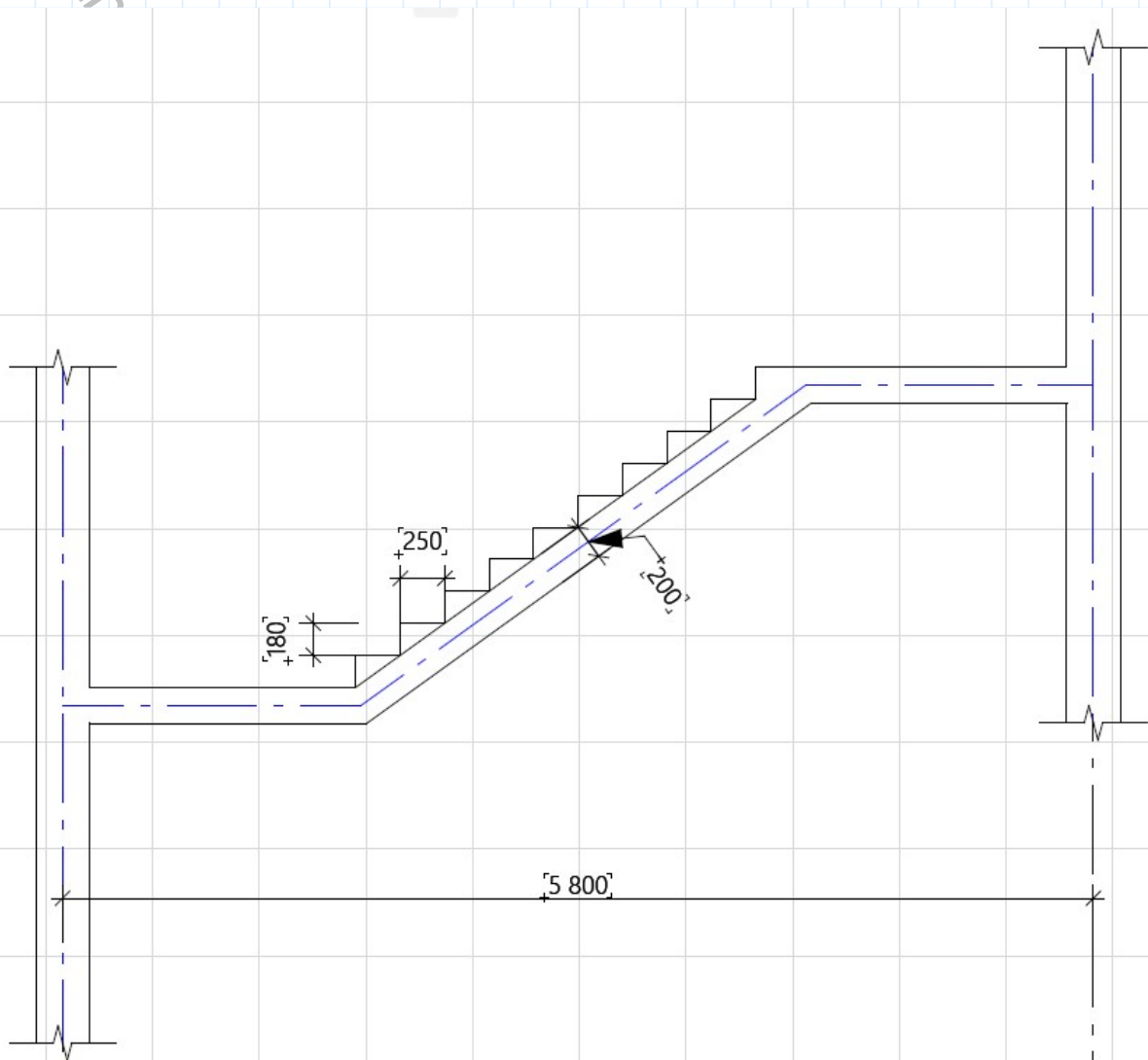
* Etasjeskillere tilfredsstiller kravene til vanlig bruk hvis ikke ekstra laster er innført

Denne siden er satt med vilje tom

Vedlegg11: Dimensjonering av trapp

Fra AchiCad modellen, er geometrien til trappa slik:

Kun ett løp er vist siden de andre løpene er lik og symmetrisk i alle etasjene



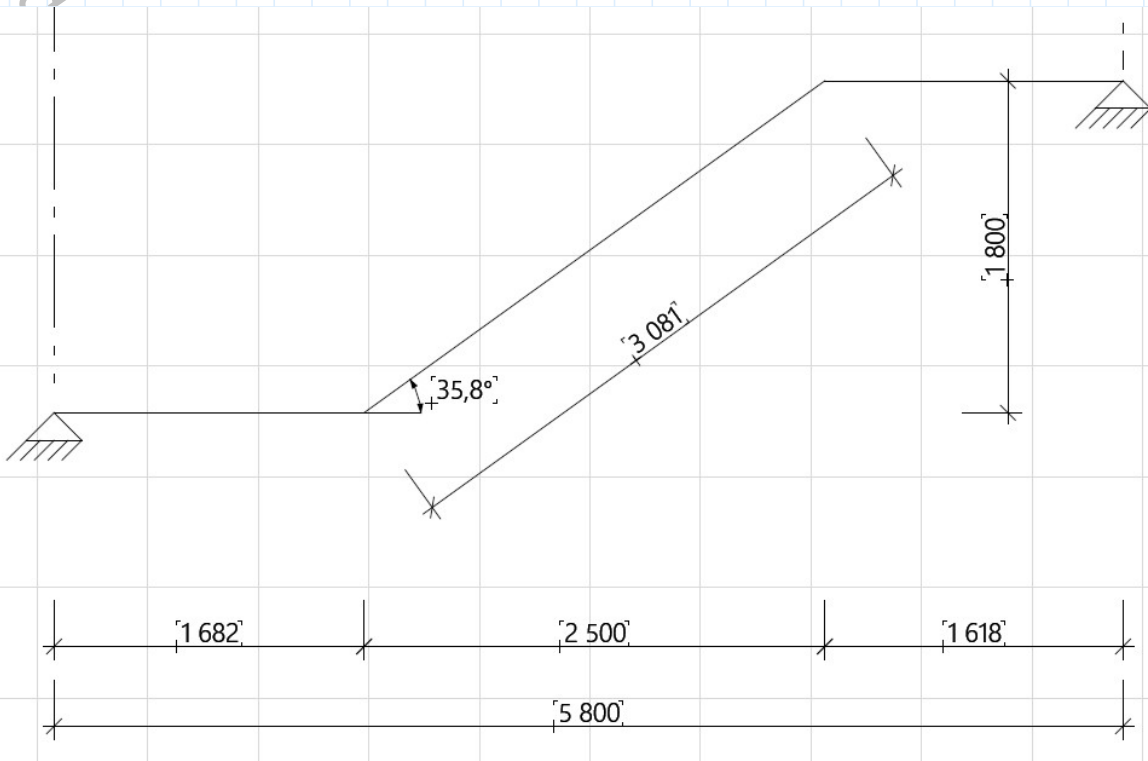
Trappen er frittopplagt enveisplate som ligger over veggskivene i aksene 11 & 14. I knutepunktene mellom reposene, er det antatt ingen moment overførelse til veggskivene om sine svake akser, men EC2 9.3.1.2(2) likevel krever at det armeres med overkant armering for et lite moment som gir strekk O.K. pga delvis innspenning pga. monotont forbindelse pga. støping av veggene og reposene sammen. Dette momentet skal brukes for kontrollere kapasiteten av veggskivene om sine svak aksene.

EC2 9.3.1.2(2) krever at

$$M_{edge;topp} = 0.25 \cdot M_{max;adjacentspan}$$

Armeringen for dette momentet skal inn minst $0.20 \cdot L$ målt fra veggene kant

Statikken til trappa ser slik ut (linjene representerer senterlinjen til reposene og trappeplaten)



Laster

Karakteristisk nyttelast (Kategori A etter NS-EN 1991-1-1)

$$p_k = 4.0 \frac{kN}{m^2}$$

Karakteristisk Egenlast trappeplate

$$g_k = 25 \frac{kN}{m^3} \cdot 0.20 m = 5 \frac{kN}{m^2}$$

Trappetrinn:

Lengden av hypotenusen dannet av inn- og opptrinnene:

$$h = \sqrt{G^2 + R^2} = \sqrt{250^2 + 180^2} = 10 \cdot \sqrt{949} \text{ mm}$$

Antall trappetrinn per 1m lang stripe av trappens skrå del:

$$n = \frac{1000 \text{ mm}}{10 \cdot \sqrt{949} \text{ mm}} = 3.2 \text{ trinn}$$

Egenlasten av trinnene per 1 m er da:

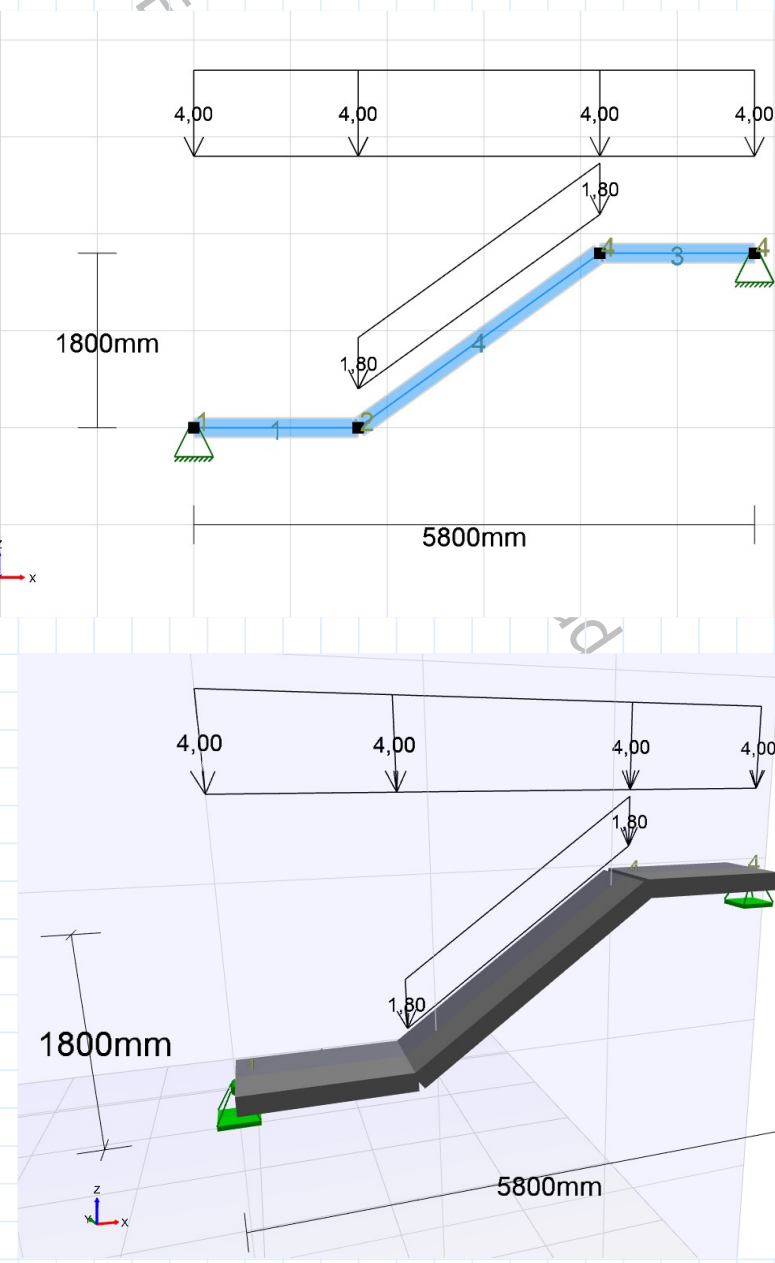
$$g_{k;trinn} = 25 \frac{kN}{m^3} \cdot \frac{1}{2} \cdot 0.180 \text{ m} \cdot 0.250 \text{ m} \cdot 3.2 = 1.8 \frac{kN}{m}$$

Lastkombinasjoner, modellering, og lastvirkninger

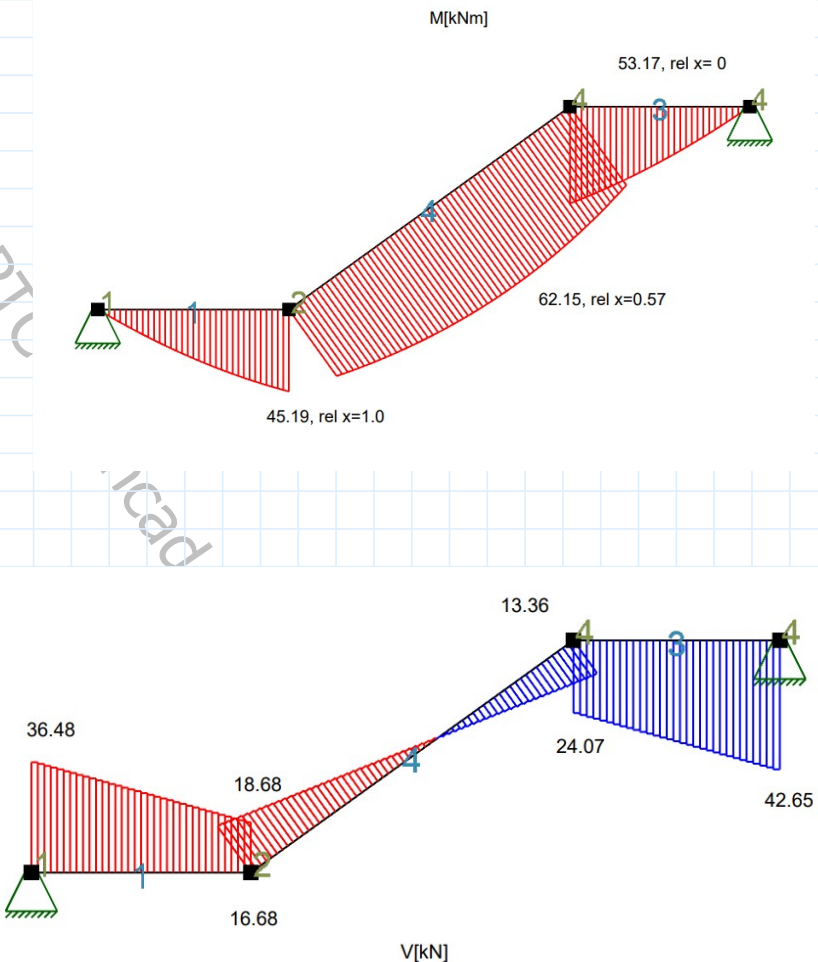
Modellering er gjennomført i Focus Konstruksjon, hvor:

- * Betongplate med bredde 1m og tykkelse 200 mm var benyttet og modellert som bjelkesegmenter
- * Antall elementer var satt til 200 elementer (fineste inndeling som gir størst V)
- * Kun 1 lastkombinasjon gir de ugunsitgste lastvirkningene siden trappa er ett fritt opplagt system
- * Lastene var innført i Focus som karkateristiske veridier, og en kombinasjon i ULS med partial faktor 1.2 for egenlaster og 1.5 for nytelaster ble definert i programmet for å få dimensjonerende lastvirkningsverdiene i konstruksjonen. Kun egen lasten på trinnene og nytelasten er innført manuelt i programmet

Bilde av modell med dimensjonerende lastkombinasjon



M- & V- diagrammene



Kapasitets- og armeringsberegninger

Betong: B35

Armering: B500NC ;

Benytter følgende mål i armeringen:

Ø12 hovedarmering

Ø 10 fordelsarmering

Ø 6 i trinnene

Ø 8 i hjørne av hver trinn

Overdekning: $c_{nom} = 25 \text{ mm}$

Antar normaltarmert tversnitt

$$\varepsilon_s = 2 \quad \varepsilon_{yk} = 5.0 \text{ \%}$$

$$\alpha = \frac{\varepsilon_{cu2}}{\varepsilon_{cu2} + 2 \varepsilon_{yk}} = \frac{3.5}{3.5 + 5.0} = 0.412$$

$$B \leq 50 \text{ MPa} \rightarrow \eta = 1.0 \text{ og } \lambda = 0.8$$

$$K = \lambda \eta \alpha (1 - 0.5 \cdot \lambda \alpha) = 0.275$$

Moment kapasisteten i ULS blir da

$$M_{Rd} = 0.275 \cdot f_{cd} \cdot b \cdot d^2$$

Effektiv høyde for bunnarmeringen

$$d = 200 - 25 - \frac{12}{2} = 169 \text{ mm}$$

Armering i Øvre repos (segment 3)

$$M_{Rd} = 0.275 \cdot 19.8 \cdot 1000 \cdot 169^2 \cdot 10^{-6} = 155.5 \text{ kNm} > M_{Ed} = 53.17 \text{ kNm}$$

ok

$$z = \left(1 - 0.17 \cdot \frac{M_{Ed}}{M_{Rd}}\right) \cdot d = \left(1 - 0.17 \cdot \frac{53.17}{155.5}\right) \cdot 169 = 159.2 \text{ mm}$$

$$A_{s;\text{øvre,repos}} = \frac{M_{Ed}}{f_{yd} \cdot z} = \frac{53.17 \cdot 10^6}{434 \cdot 159.2} = \approx 770 \text{ mm}^2$$

$$n = \frac{770}{\pi \cdot 6^2} = 6.8 \approx 7 \quad s = \frac{1000}{7} \approx 143 \text{ mm}$$

Bruker $\frac{7 \text{ Ø}12}{m}$ som **hoved armering**

Fordelsarmering etter EC2 9.3.1.1(2)

$$A_{s;\text{fordel}} = 0.20 \cdot A_s = 0.20 \cdot 770 \text{ mm}^2 \approx 154 \text{ mm}^2$$

Sammenligner med mimums armeringsareal og bruker den største (konservativt valg)

$$A_{s;\text{min}} = 0.26 \cdot \frac{f_{ctm}}{f_{yk}} \cdot b_t \cdot d = 0.26 \cdot \frac{3.2}{500} \cdot 1000 \cdot 169 = 281.2 \text{ mm}^2$$

Bruker As,min som fordels armering!!!

$$n = \frac{281.2}{\pi \cdot 5^2} = 3.6 \approx 4$$

$$s = \frac{1000}{4} = 250 \text{ mm}$$

Bruker $\frac{4 \text{ Ø}10}{m}$ som **fordelsarmering**

Benytter samme armering i nedre repos siden momentene er større i øvre repos (konservativt valg)

Armering i trappens skrå plate (segment 4)

$$M_{Rd} = 0.275 \cdot 19.8 \cdot 1000 \cdot 169^2 \cdot 10^{-6} = 155.5 \text{ kNm} > M_{Ed} = 62.15 \text{ kNm} \quad \text{ok}$$

$$z = \left(1 - 0.17 \cdot \frac{M_{Ed}}{M_{Rd}}\right) \cdot d = \left(1 - 0.17 \cdot \frac{62.15}{155.5}\right) \cdot 169 = 157.5 \text{ mm}$$

$$A_{s;skrål} = \frac{M_{Ed}}{f_{yd} \cdot z} = \frac{62.15 \cdot 10^6}{434 \cdot 157.5} = 909 \text{ mm}^2$$

$$n = \frac{909}{\pi \cdot 6^2} = 8.03 \approx 9 \quad s = \frac{1000}{9} \approx 111$$

Bruker $\frac{9 \varnothing 12}{m}$ som **hoved armering**

Fordelsarmering etter EC2 9.3.1.1(2)

$$A_{s;fordel} = 0.20 \cdot A_s = 0.20 \cdot 909 \text{ mm}^2 \approx 182 \text{ mm}^2$$

Sammenligner med mimums armeringsareal og bruker den største (konservativt valg)

$$A_{s,min} = 0.26 \cdot \frac{f_{ctm}}{f_{yk}} \cdot b_t \cdot d = 0.26 \cdot \frac{3.2}{500} \cdot 1000 \cdot 169 = 281.2 \text{ mm}^2$$

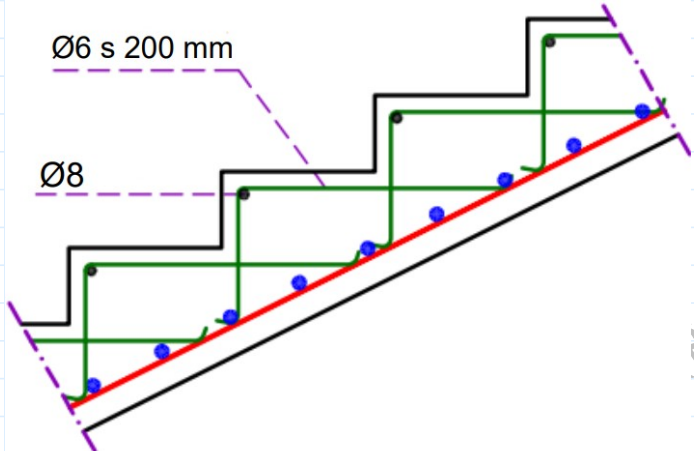
Bruker $A_{s,min}$ som fordels armering!!!

$$n = \frac{281.2}{\pi \cdot 5^2} = 3.6 \approx 4$$

$$s = \frac{1000}{4} = 250 \text{ mm}$$

Bruker $\frac{4 \varnothing 10}{m}$ som **fordelsarmering**

Armering i trinnene



Armering for støtte momentene ved opplegg etter EC2 9.3.1.2(2)

$$M_{edge,topp} = 0.25 \cdot M_{max;adjacentspan} = 0.25 \cdot 62.15 \text{ kNm} = 15.5 \text{ kNm}$$

$$z = \left(1 - 0.17 \cdot \frac{M_{Ed}}{M_{Rd}}\right) \cdot d = \left(1 - 0.17 \cdot \frac{15.5}{155.5}\right) \cdot 169 = 166 \text{ mm}$$

Bruker maksimalt $z=0.95d=160.55\text{mm}$

$$A_{s;kant,topp} = \frac{M_{Ed}}{f_{yd} \cdot z} = \frac{15.5 \cdot 10^6}{434 \cdot 166} \approx 215 \text{ mm}^2 < A_{s,min}$$

Benytter A_s,min som topparmering ved støttene (veggskivene)

$$\frac{4 \varnothing 10}{m}$$

Dette skal inn i platen en avstand minst: $0.20 \cdot L = 0.20 \cdot (1.7 + 1.6 + 3) = 1.26 \text{ m}$

Skjærkapasitet

Er ikke prentert her, men er på sikker side

ok

Forankring av armering

Ved opplegg (veggskivene) for øvre repos:

$$M_{Ed} = 0 \quad V_{Ed} \approx 43 \text{ kN}$$

$$f_{ctk;0.05} = 2.2 \text{ MPa} \quad \text{Tabell 3.1}$$

$$f_{bd} = 2.25 \cdot \eta_1 \cdot \eta_2 \cdot f_{ctd} = 2.25 \cdot \eta_1 \cdot \eta_2 \cdot \alpha_{ct} \cdot \frac{f_{ctk;0.05}}{\gamma_c} = 2.81 \text{ MPa} \quad \text{EC2-1-1 8.4.2(2)}$$

$$\sigma_{sd} = \frac{M_{Ed} + \Delta F_{td}}{A_s} \quad \text{For konstruksjoner uten skjærarmering} \quad \Delta F_{td} = V_{Ed}$$

$$\sigma_{sd} = \frac{0 + 43 \cdot 10^3 \text{ N}}{7 \cdot \pi \cdot 6^2} = 54.3 \text{ MPa}$$

$$l_{b,rqd} = \frac{1}{4} \cdot \varnothing \cdot \frac{\sigma_{sd}}{f_{bd}} = \frac{1}{4} \cdot 12 \cdot \frac{54.3}{2.81} = 58 \text{ mm}$$

EC2-1-1 8.4.4(1)

For foankringer i strekk, er minsteforankringslengde

$$L_{b,min} = \max [0.3 l_{b,rqd}; 10\varnothing; 100mm]$$

--> $l_{b,rqd} = L_{b,min} = 10 \varnothing = 10 \cdot 12 = 120 mm$

Gjelder både topp og bunn armering ved veggskivene!

Ved overgang mellom reposene og skrå platen:

For å være konservativt, bruker en forankringslengde mellom stengene ved overgangen mellom reposene og skrå platen lik

$$l_{bd} = 50 \varnothing = 50 \cdot 12 = 600 mm$$

Man får lavere verdi ved å regne kraftinnføringslengde etter EC2. Men lengden $50\varnothing$ er lengde som er ofte benyttet og er praktisk. Dette er for å bli sikker at det oppstår ikke noe heftsvikt, eller store riss i disse sonene siden de er svake punkter i trappen

Denne siden er satt med vilje tom

Vedlegg12: Søyleberegninger

Se kapittelet om søyler i rapporten for forutsetningene bak øyle beregningene

Foutsetninger og viktige detaljeringsrelger av øyler ihht. EC2

EC2-1-1 9.5.2(1) + NA. $\varnothing_{min} = 10 \text{ mm}$

EC2-1-1 9.5.2(2) + NA. $A_{s,min} = \left(0.20 \cdot \frac{A_c \cdot f_{cd}}{f_{yd}} \leq 0.5 \frac{N_{ED}}{f_{yd}} \right) \geq 0.01 A_c$

EC2-1-1 9.5.2(3) + NA. $A_{s,max} = 0.04 A_c$ Utenfor skjøtepunkter

$A_{s,max} = 0.08 A_c$ Innenfor skjøtepunkter

EC2-1-1 9.5.3(1) $\varnothing_{bøyle,min} = 6 \text{ mm}$

EC2-1-1 9.5.3(3) + NA. $s_{clt,max} = \min [15 \varnothing; \min(b, h); 400\text{mm}]$

EC2-1-1 9.5.3(6) Ingen jern kan være plassert i en avstand større enn 150 mm fra en jern som er fastholdt med bøyler

Materialer og dimensjoner

Betong 35 MPa

Stål B500NC

Tverrsnitt = b x h = 300 x 400mm

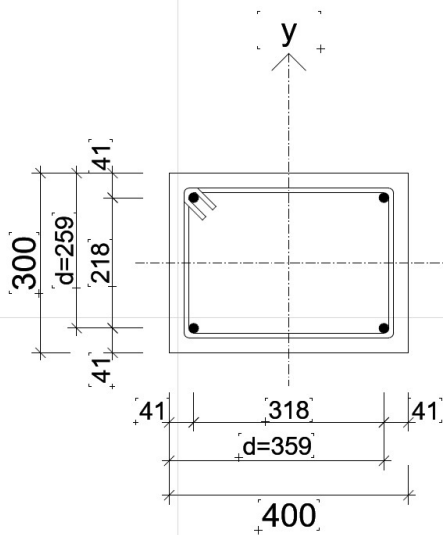
$\varnothing_{lengde} = 16 \text{ mm}$

$\varnothing_{bøyler} = 8 \text{ mm}$

$c_{com} = 25 \text{ mm}$

Armering skjøtes kun ved etasjeovergang, siden lengde på armeringsprodukter i markedet tilfredsstiller etasjenes høyder med forankringslengder

Søyleskisse med mål (før armeringsmengden er beregnet)



Kantsøyle H-18

Lastene som er påført i rammemodellen i Focus konstuksjon i x-retning ($b=6.6m$)

Egenlast over etasjedekke påføres som karakteristisk: $g = 2.3 \frac{kN}{m^2} \cdot 6.6 m = 15.2 \frac{kN}{m}$

Nytelast dekke påføres som karakteristisk: $q = 2 \frac{kN}{m^2} \cdot 6.6 m = 13.2 \frac{kN}{m}$

Nytelast balkong påføres som karakteristisk: $q = 4 \frac{kN}{m^2} \cdot 6.6 m = 26.4 \frac{kN}{m}$

Lastene som er påført modellen i Focus konstuksjon i y-retning ($b=3.475m$)

Egenlast over etasjedekke påføres som karakteristisk: $g = 2.3 \frac{kN}{m^2} \cdot 3.475 m \approx 8 \frac{kN}{m}$

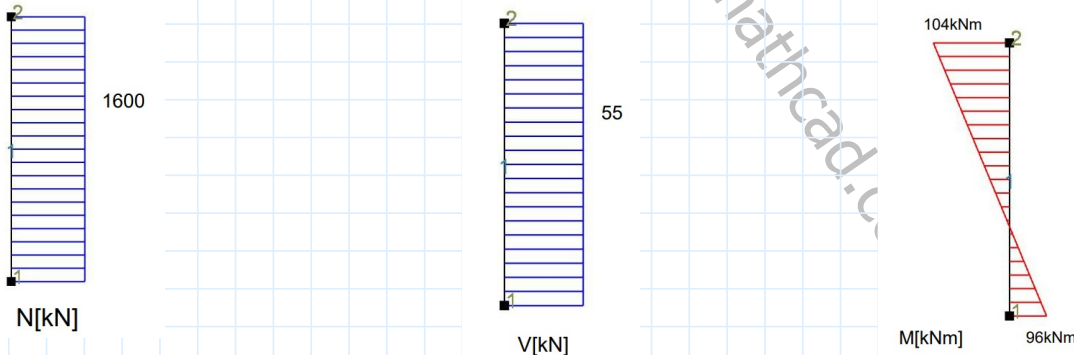
Nytelast dekke påføres som karakteristisk: $q = 2 \frac{kN}{m^2} \cdot 3.475 m \approx 7 \frac{kN}{m}$

I focus er det innført lastfaktorer 1.2 for egenlaster og 1.5 for nytte laster
Focus regner egenlaster for den modellerte rammen automatisk

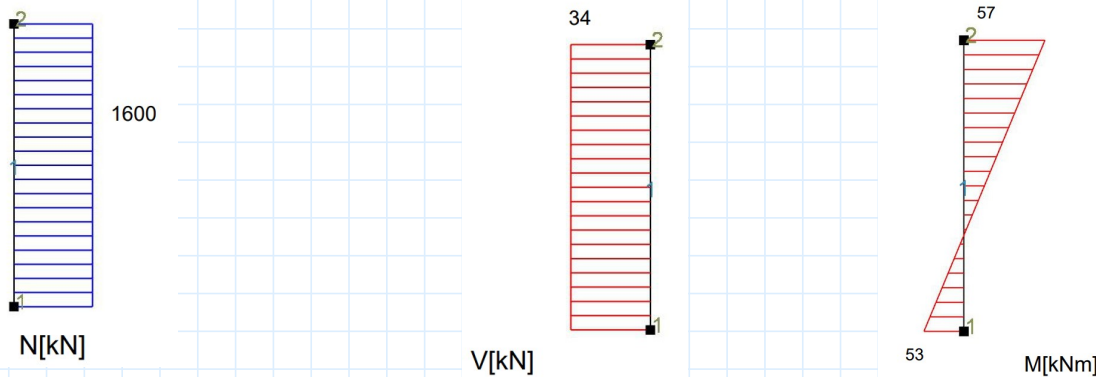
Dimensjonerende Lastvirkninger fra statisk analyse i Focus

Se kapittel X i rapporten for antakleser og hele ramme modellen med mål

X-retning (bøyning om lokal y-akse(sterk akse))



Y-retning (bøyning om lokal z-akse(svakt akse))



Beregning i x-retning

Beregning som kort søyle

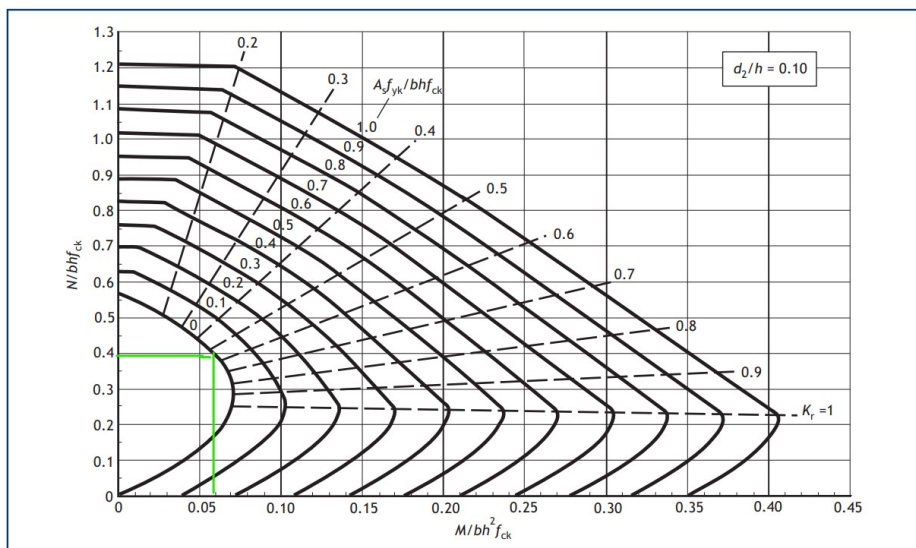
$$n = \frac{N_{ED}}{f_{ck} \cdot b \cdot h} = \frac{1600 \cdot 10^3}{35 \cdot 300 \cdot 400} = 0.38$$

$$\frac{d_2}{h} = \frac{41}{400} \approx 0.10$$

$$m = \frac{M_{ED}}{f_{ck} \cdot b \cdot h^2} = \frac{104 \cdot 10^6}{35 \cdot 300 \cdot 400^2} \approx 0.062$$

Benytter M-N diagram:

m-n diagram



Avlest $w = 0$; Dvs. at søyla krever bare minimumsarmering

$$A_{s,min} = \left(0.20 \cdot \frac{400 \cdot 300 \cdot 19.8}{434} = 1200 \text{ mm}^2 \right) \leq \left(0.5 \cdot \frac{1600}{434} = 1843 \text{ mm}^2 \right) \geq \left(0.01 \cdot A_c = 1200 \text{ mm}^2 \right)$$

$$A_{s,min} = 1200 \text{ mm}^2$$

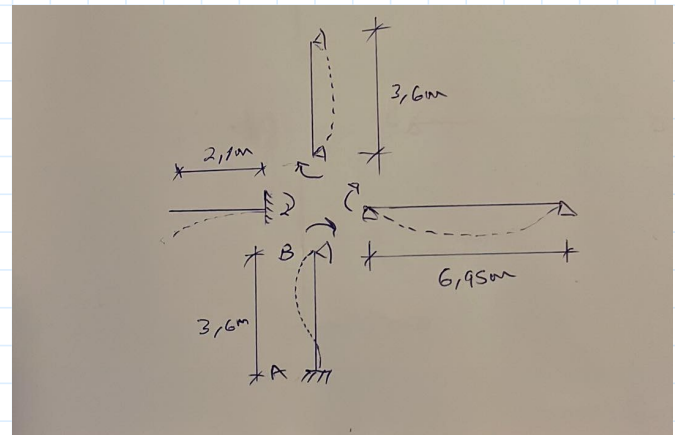
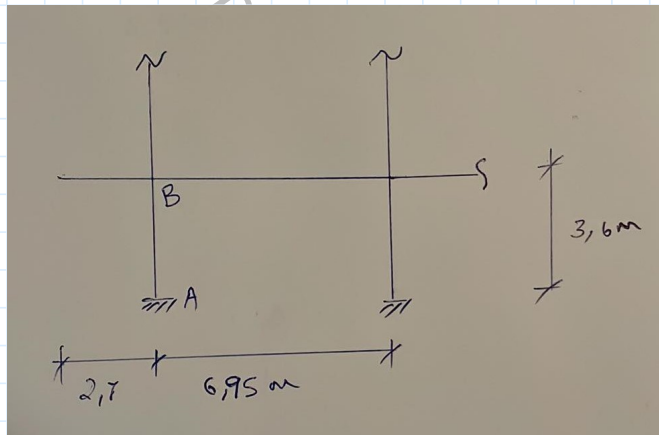
$$n_{jern} = \frac{1200}{\pi \cdot 8^2} = 5.97 \approx 6$$

$$A_s = 384 \text{ } \pi = 1206 \text{ mm}^2$$

Knekklengde og slankhet

For å finne slankheten til søyla ved bøyning om y-aksen, må den effektive lengden finnes først. Benytter metoden gitt i EC2-1-1 5.8.3.2 (rotasjonsfleksibilitets metode)

For å kunne bestemme de fleksibilitetskoeffiseintene, må søylen og alle tilknyttede komponenter betraktes. Dette er gjort i figuren under.



Figur: Delramme hvor kantsøylen H18 er involvert i x-retning, bredde av platen er 6.6m ut av papirplanet. Det benyttes kun halve platebredden, dvs.b=3.3m i beregningen.(anbefalt av The Concrete Centre)

De fleksibilitetskoeffisientene finnes basert på stivhetskoeffisientene. Regner komponentenes rotasjonsstivheter og 2.arealmomenter først:

2.arealmomenter:

$$I_{søyle} = \frac{bh^3}{12} = \frac{300 \cdot 400^3}{12} = 1.6 \cdot 10^9 \text{ mm}^4$$

$$I_{balkong} = \frac{3300 \cdot 200^3}{12} = 2.2 \cdot 10^9 \text{ mm}^4$$

$$I_{dekk} = \frac{3300 \cdot 250^3}{12} = 4.3 \cdot 10^9 \text{ mm}^4$$

Rotasjonsstivheter i knutepunkt B:

$$k_{\varphi;søyle;1ETG} = \frac{EI_{søyle}}{L_{søyle}}$$

$$k_{\varphi;søyle;2ETG} = 3 \frac{EI_{søyle}}{L_{søyle}}$$

$$k_{\varphi;dekk} = 3 \frac{EI_{dekk}}{L_{dekk}}$$

For en balkong som er fastinnsspent og utsatt for jevnfordelte laster, kan nedbøyningsuttrykket for en slik elementær bjelke tilfelle løses for lasten uttrykt av nedbøyningen:

$$w = \frac{pL^4}{8EI} \quad \rightarrow \quad p = 8 \frac{EI}{L^4} \cdot w \quad \rightarrow \quad k_{balkong} = 8 \frac{EI_{balkong}}{L_{balkong}^4}$$

$$E_{søyle} = E_{dekk} = E_{balkong} = E_{cm} = 34000 \text{ MPa}$$

Fleksibilitetskoeffisienter

EC2-1-1 5.8.3.2(3)

$$k_i = \left(\frac{\theta}{M}\right) \cdot \left(\frac{EI}{L}\right) = \frac{K_{søyle}}{\sum K_{tilknyttet}}$$

$$k_A = 0$$

(full innspenning i fundament øylebunnen, ingen fleksibilitet)

$$k_B = \frac{\left(\frac{EI_{søyle}}{L_{søyle}}\right)}{\left(3 \frac{EI_{søyle}}{L_{søyle}}\right) + \left(3 \frac{EI_{dekke}}{L_{dekke}}\right) + \left(8 \frac{EI_{balkong}}{L_{balkong}}\right)} = 0.139$$

EC2-1-1 5.8.3.2(3) (uforskyelig øyle)

$$\beta_0 = 0.5 \cdot \sqrt{\left(1 + \frac{k_A}{0.45 + k_A}\right) \cdot \left(1 + \frac{k_B}{0.45 + k_B}\right)} = 0.56$$

$$l_0 = \beta_0 \cdot l = 0.56 \cdot 3600 \text{ mm} = 2016 \text{ mm}$$

Slankhet, benytter metoden for nominell krumming etter EC25.8.8.2

For bøyning om y-aksen, har øylen følgende armeringsareal

$$A_{sy} = 4 \cdot \varnothing 16 = 256 \pi$$

$$n = \frac{N_{ED}}{f_{cd} \cdot A_c} = \frac{1600 \cdot 10^3}{19.8 \cdot 300 \cdot 400} = 0.67$$

$$\omega = \frac{f_{yd} \cdot A_s}{f_{cd} \cdot A_c} = \frac{434 \cdot 256 \pi}{19.8 \cdot 300 \cdot 400} = 0.15$$

$$i_c = \frac{h}{\sqrt{12}} = \frac{400}{\sqrt{12}} = 115.5$$

$$i_s = \frac{h'}{2} = \frac{318}{2} = 159$$

$$K_a = \left(\frac{i_s}{i_c}\right)^2 = 1.90$$

$$\text{Geometrisk slankhet } \lambda = \frac{l_0}{i_c} = \frac{2016 \text{ mm}}{115.5 \text{ mm}} = 17.5$$

$$\text{Normalisert slankhet } \lambda_n = \lambda \cdot \sqrt{\frac{n}{1 + 2 K_a \omega}} = 11.43$$

EC2-1-1 5.8.3.1(1), uforskyelig øyle: $\lambda_{n;lim} = 13 \cdot (2 - r_m) \cdot A_\varphi$

$$r_m = \frac{M_{01}}{M_{02}} = \frac{96}{104} = \frac{12}{13}$$

Settes inn som negativt pga. dobbeltkrummet øyle

$$A_\varphi = \frac{1}{1 + 0.20 \cdot \varphi_{ef}} = \frac{1.25}{1 + 0.20 \cdot 1} = 1.04 \approx 1.0 \quad (\text{Antar effektive krypkoeffisient lik 1.0})$$

$$\rightarrow \lambda_{n,lim} = 13 \cdot \left(2 - \left(-\frac{12}{13} \right) \right) = 38$$

$\rightarrow \lambda_{n,lim} > \lambda_n$ **Søylen er ikke slank, trenger ikke å regne 2.ordens momenter på søyla**

Beregning i y-retning

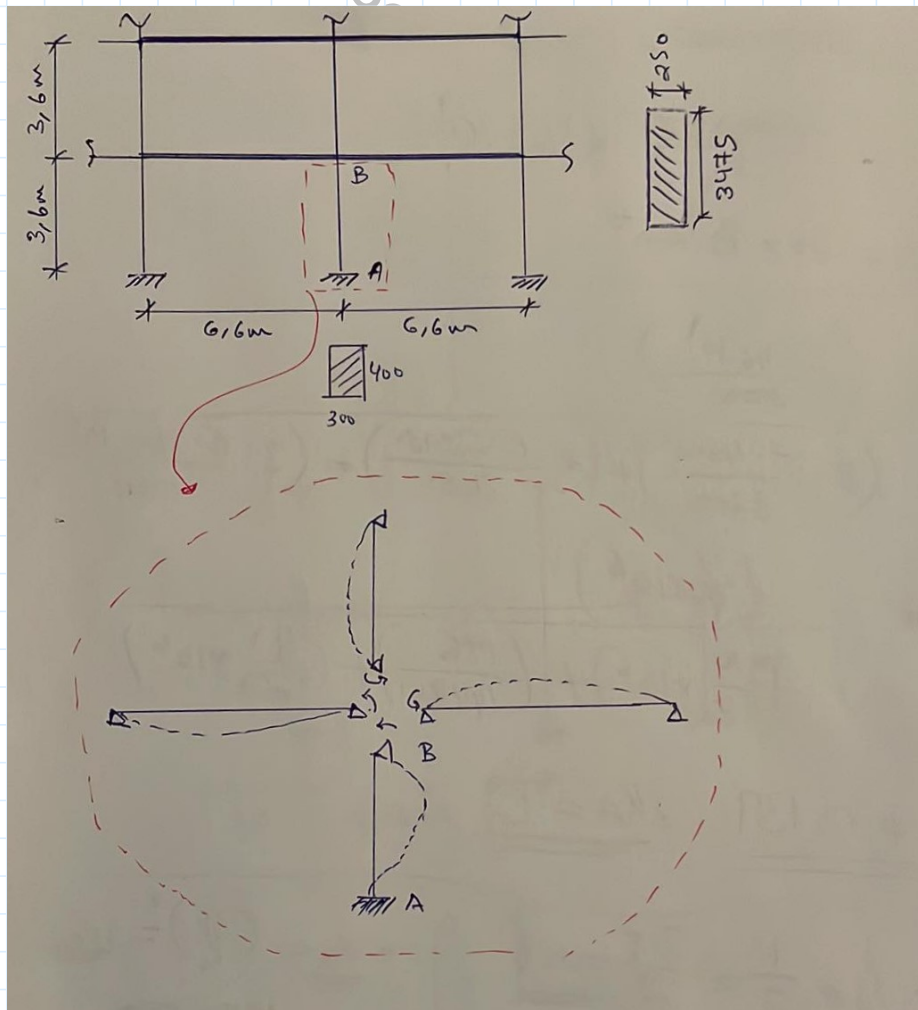
Beregning som kort søyle

Igjen, det er bare minimumsarming som kreves basert på dimensjonsløs kraft og moment. Ved å benytte M-N diagram med $d^2/h = 41/300 = 0.14 \approx 0.15$, blir det mekaniske armeringsforholdet (w) lik null

$$A_s = 6 \text{ Ø}16 = 384 \text{ mm}^2$$

Knekkelgende og slankhet

Ekvivalent delramme i y-retning hvor søylen H18 er involvert (se rapporten kapittel x for å se hele rammen)



Ved å benytte samme fremgangsmåten som i x-retning, finnes: $k_A = 0$ og $k_B = 0.60$

Knekklengdefaktor (uforskyelig søyle): $\beta_0 = 0.60$

Knekklengde: $l_0 = 0.60 \cdot 3600 = 2160 \text{ mm}$

Kontroll av slankhet (ikke presentert her, samme prinsipp som i x-retning) viser at:

$$\lambda = 25 \quad \lambda_n = 17.4$$

$$\lambda_{n,lim} = 38$$

$\lambda < \lambda_{n,lim}$ **Søylen er ikke slank, trenger ikke å beregne 2.ordens momenter**

Kontroll på biaksiell momentkapasitet etter EC2 5.8.9

Resultat fra dimensjonering av søylen om hver akse separat:

Om y-akse(sterk aske)

$$N_{Ed} = 1600 \text{ kN} \quad n = 0.38 \quad M_{Ed;y} = M_{02y} = 104 \text{ kNm} \quad A_{sy} = 256 \pi$$
$$\omega = \frac{f_{yk} \cdot A_s}{f_{ck} \cdot b \cdot h} = \frac{500 \cdot 256 \pi}{35 \cdot 300 \cdot 400} = 0.096 \rightarrow d/h = 0.10 \text{ M-N diagram} \rightarrow m \approx 0.09$$
$$M_{RD} = m \cdot f_{ck} \cdot b \cdot h^2 = 151 \text{ kNm}$$

Om z-akse(svak aske)

$$N_{Ed} = 1600 \text{ kN} \quad n = 0.38 \quad M_{Ed;y} = M_{02y} = 57 \text{ kNm} \quad A_{sy} = 384 \pi$$
$$\omega = \frac{f_{yk} \cdot A_s}{f_{ck} \cdot b \cdot h} = \frac{500 \cdot 384 \pi}{35 \cdot 300 \cdot 400} = 0.14 \rightarrow d/h = 0.15 \text{ M-N diagram} \rightarrow m \approx 0.10$$
$$M_{RD} = m \cdot f_{ck} \cdot b \cdot h^2 = 126 \text{ kNm}$$

$$N_{RD} = f_{cd}A_c + f_{yd}A_s = (19.8 \cdot 400 \cdot 300) + (434 \cdot 512 \pi) = 3074 \text{ kN}$$

$$\frac{N_{Ed}}{N_{Rd}} = \frac{1600}{3074} = 0.52$$

Tabellen i EC2-1-1 5.8.9(4)

N_{Ed}/N_{Rd}	0,1	0,7	1,0
a =	1,0	1,5	2,0

Linær interpolering mellom 0.1 og 0.7 gir

$$y(x) = \frac{5}{6}x + 0.92$$

$$x = N_{Ed}/N_{Rd}$$
$$y = a$$

Vi har $N_{Ed}/N_{Rd} = 0.52$, altså $x = 0.52 \rightarrow$

$$y(0.52) = 1.35 = a$$

Kapasitetskontroll med likning 5.39

$$\left(\frac{M_{Ed;z}}{M_{Rd;z}}\right)^a + \left(\frac{M_{Ed;y}}{M_{Rd;y}}\right)^a \leq 1.0$$

$$\rightarrow \left(\frac{57}{126}\right)^{1.35} + \left(\frac{104}{151}\right)^{1.35} = 0.94 \leq 1.0 \quad \text{ok}$$

Skjærkapasitet

I z-retning

$$V_{Ed;z} = 55 \text{ kN} \quad A_s = 2 \text{ Ø}16 = 128 \text{ } \pi \quad b = 300 \quad d = 359$$

$$\rho = \frac{A_s}{bd} = 0.0037$$

I y-retning

$$V_{Ed;z} = 34 \text{ kN} \quad A_s = 3 \text{ Ø}16 = 192 \text{ } \pi \quad b = 400 \quad d = 259$$

$$\rho = \frac{A_s}{bd} = 0.0058$$

Etter NA. 6.2.2(1), skal dimensjonerende skjærkraften summeres via pythagoras setningen hvis forholdet mellom minste og største skjærkraften er større enn 0.5

$$\frac{V_{Ed;z}}{V_{Ed;y}} = 0.62 \rightarrow V_{Ed} = \sqrt{V_{Ed;y}^2 + V_{Ed;z}^2} = \sqrt{55^2 + 34^2} \approx 65 \text{ kN}$$

Denne verdien brukes for å sjekke kapasiteten i begge retninger

$$\text{Kapasitet z-retning} \quad C_{Rd;c} = \frac{0.18}{1.5} = 0.12 \quad k = 1 + \sqrt{\frac{200}{359}} = 1.74 \quad k_1 = 0.15$$

$$\sigma_{cp} = \frac{N_{Ed}}{bh} = \frac{1600 \cdot 10^3}{300 \cdot 400} = 13.33 = 13.33 \text{ MPa} \leq 0.20 \quad f_{cd} = 3.96 \text{ MPa}$$

$$V_{Rd;c} = \left(C_{Rd;c} \cdot k \cdot (100 \cdot \rho \cdot f_{ck})^{\frac{1}{3}} + (k_1 \cdot \sigma_{cp}) \right) b_w \cdot d = 116.8 \text{ kN} < V_{Ed}$$

Sjekker skjærtrykk kapasitet

$$V_{Rd;y,max} = 0.5 \cdot 0.6 \left(1 - \frac{f_{ck}}{250} \right) \cdot f_{cd} \cdot b_w \cdot d = 550 \text{ kN} > V_{Ed} \quad \text{ok}$$

$$\text{Kapasitet y-retning} \quad C_{Rd;c} = \frac{0.18}{1.5} = 0.12 \quad k = 1 + \sqrt{\frac{200}{259}} = 1.88 \quad k_1 = 0.15$$

$$\sigma_{cp} = 3.96 \text{ MPa}$$

$$V_{Rd;c} = \left(C_{Rd;c} \cdot k \cdot (100 \cdot \rho \cdot f_{ck})^{\frac{1}{3}} + (k_1 \cdot \sigma_{cp}) \right) b_w \cdot d = 116.4 \text{ kN}$$

$$V_{Rd;c;z,min} = 0.035 \cdot k^{\frac{3}{2}} \cdot \sqrt{f_{ck}} \cdot b_w \cdot d = 55.3 \text{ kN}$$

$$V_{Rd;c;z} > V_{Rd;c;z,min} > V_{Ed}$$

Sjekker skjærtrykk kapasitet

$$V_{Rd;y,max} = 0.5 \cdot 0.6 \left(1 - \frac{f_{ck}}{250} \right) \cdot f_{cd} \cdot b_w \cdot d = 529 \text{ kN} > V_{Ed}$$

ok

Trenger ikke skjærarmering, kun minimumsskjærarmering for skjær i retning av y- og z-aksene

EC2-1-1 9.2.2(5) + NA. krever minimumsskjærarmering

$$\rightarrow \rho_w = \frac{A_{sw}}{s \cdot b_w \cdot \sin\alpha} ; \quad \rho_{w,min} = 0.10 \cdot \frac{\sqrt{f_{ck}}}{f_{yk}} = 0.10 \cdot \frac{\sqrt{35}}{5000} = 0.0012$$

$$\rightarrow \frac{A_{sw,min}}{s_{min}} = 0.0012 \cdot b_w \cdot \sin\alpha = 0.32 \frac{mm^2}{mm}$$

$$\rightarrow s = \frac{A_{s,w}}{\left(\frac{A_{sw,min}}{s_{min}} \right)} = \frac{32 \pi}{0.32} = 314 \text{ mm}$$

--> Velger c/c bøyler 300mm

Men siden søylen egentlig fungerer som en bjelkesøyle, skal man sjekke minste krav for avstand mellom bøylene ved å se øyle og bjelke kravene i EC2, hvor de strengeste brukes for sikkerhetsskyld

$$\text{EC2-1-1 9.2.(6) + NA.: } s_{l,max} = 0.6 \cdot h' (1 + \cot\alpha) = 0.6 \cdot 318 \cdot \left(1 + \frac{\cos(90^\circ)}{\sin(90^\circ)} \right) = 190.8 \text{ mm}$$

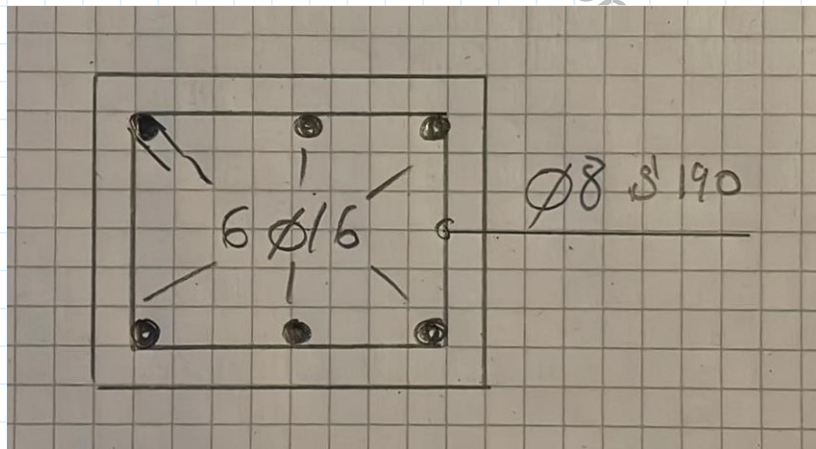
$$\text{EC2-1-1 9.2.(6) + NA.: } sc_{l,t,max} = [15 \varnothing_{min}; \min(b, h); 400 \text{ mm}]$$

$$15 \varnothing = 15 \cdot 16 \text{ mm} = 240 \text{ mm}$$

$$\min(b, h) = \min(300, 400) = 300 \text{ mm}$$

--> **Velger Ø8 bøyler s 190mm**

Konklusjon kantsøyler:

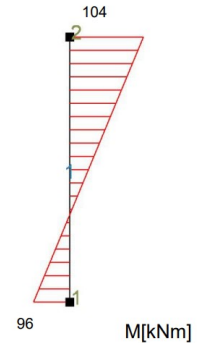
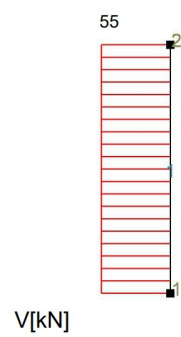
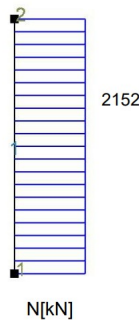


Innersøyle G-18

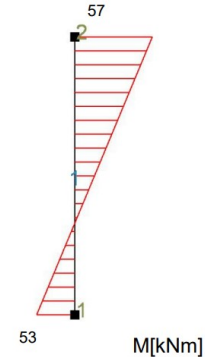
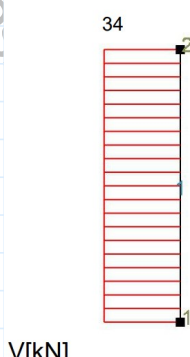
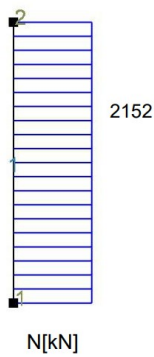
Dimensjonerende Lastvirkninger fra statisk analyse i Focus

Se kapittel X i rapporten for antakleser og hele ramme modellen med mål

X-retning (bøyning om lokal y-akse(sterk akse))



X-retning (bøyning om lokal y-akse(sterk akse))



Disse er de største virkningene som oppstår i alle etasjer, kombinert i en søyle i 1-ETG som ble dimensjonert siden samme armering og detaljer skal være benyttet i alle etasjer. For innersøyler ser vi at den eneste forskjellen er at aksial lastene i 1-ETG er større enn kantsøylene. Selv om dette er en veldig konsekutiv forenkling, men likevel ble innersøylene kontrollert av minimumsarmering, og er ikke slanke.

--> Armeringsdetalj blir likt som kantsøylene: 6Ø16 lengdearmering, og Ø8 bøyler s190
Se tegning 16 for armerings detaljer av søylene

Forankringslengder for søylearmering i etasjeskjøtene

Forankringslengder for armeringen i søylene fra flattdekkenes overkant blir:

$$l_{bd} = 50 \cdot \varnothing = 50 \cdot 16 \text{ mm} = 800 \text{ mm}$$

Skjærfrisksjonskapasitet for søylene i etasjeskjøtene

Krav for skjærkapasitet mellom kalde fuger står i EC2-1-1 6.2.5

$$v_{Rd;i} = c f_{ctd} + \mu \sigma_n + \rho f_{yd} (\mu \sin \alpha + \cos \alpha) \leq 0.5 v f_{cd} > v_{Ed} ; \quad \rho = \frac{A_s}{A_i} ; \quad v = 0.6 \left(1 - \frac{f_{ck}}{250} \right) ;$$

$$\sigma_n = \frac{N_{Ed}}{A_i} ; \quad f_{ctd} = \alpha_{ct} \cdot \frac{f_{ctk;0.05}}{\gamma_c} = 0.85 \cdot \frac{2.2}{1.50} = 1.25 \text{ MPa}$$

$$v_{Ed} = \beta \cdot \frac{V_{Ed}}{b_i \cdot z} ; \quad \text{Full overførsel av skjærkraften, altså} \quad \beta = 1.0$$

Vetikale stenger i søylene $\alpha = 90^\circ$

Ru søyleflate er valgt, entreprenøren må ikke avrette overfaltene mellom søylene etter støping for å oppnå størst mulig kapasitet

$$\mu = 0.70 \quad \text{og} \quad c = 0.45$$

De største lastvirkningene (N & V) er i innersøylene (x-retning er kritisk)

$$N_{Ed} = 2152 \text{ kN} \quad V_{Ed} = 55 \text{ kN}$$

Armering som går gjennom fugen $A_s = 6 \varnothing 16 = 384 \pi$

Regner de nødvendige størrelsene:

$$\rightarrow v_{Ed} = \frac{55 \cdot 10^3}{400 \cdot 300} = 0.46 \text{ MPa}$$

$$\rightarrow \rho = \frac{384 \pi}{400 \cdot 300} = 0.010$$

$$\rightarrow \sigma_n = \frac{2152 \cdot 10^3}{400 \cdot 300} = 17.9 \text{ MPa}$$

$$\rightarrow v = 0.6 \left(1 - \frac{35}{250} \right) = 0.516 \text{ MPa}$$

$$\rightarrow v_{Rd;i} = (0.45 \cdot 1.25) + (0.70 \cdot 7.9) + 0.01434 (0.70 \cdot \sin 90 + \cos 90) = 38.6 \text{ MPa}$$

$$0.5 v f_{cd} = 0.5 \cdot 0.516 \cdot 19.8 \text{ MPa} = 5.1 \text{ MPa}$$

$$\rightarrow v_{Ed} = 0.46 \text{ MPa} < 5.1 \text{ MPa}$$

ok

Nok skjærfrisksjonskapasitet

Søyletopp til HEB280 primærretak bjelkene

Største aksialkraften fra HEB280 bjelkene i søyletoppen er i bjelke H18, over innersøyle G18 i RS2 (se tegningene)

$$MpN_{ED} = 350 \text{ kN}$$

BEB B18.4 figur B18.10: stål mot stål uten noe mellomlegg

$$a_1 = 50 + 3 t_u$$

$$b_1 = (0.8 b' + 3 t_u) \leq b'$$

Tykkelsen på stål platen er valgt til 15 mm

b' er bredden av den minste stålplaten i bjelken eller på søylen. I dette tilfelle er det ingen stålplate enn den som ligger på søylen, og da brukes b' lik HEB-280 tversnittets flensbredde, altså b'=280mm

$$a_{1u} = 50 + 3 \cdot 15 = 95 \text{ mm}$$

$$b_{1u} = 0.8 \cdot 280 + 3 \cdot 15 = 269 \text{ mm}$$

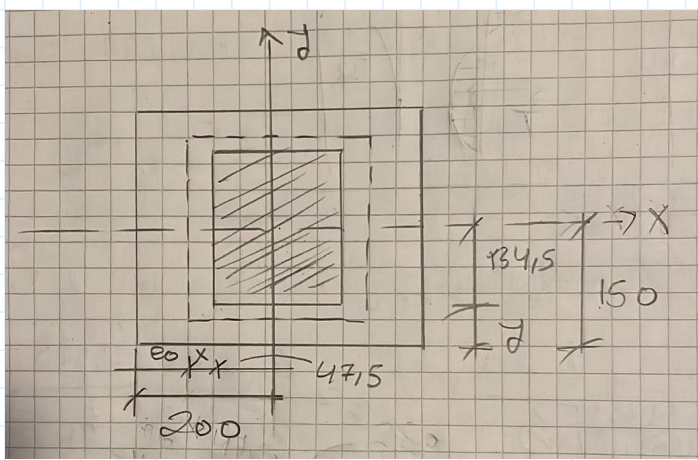
$$A_{c0} = a_1 \cdot b_1 = 95 \cdot 269 = 25555 \text{ mm}^2$$

For å finne fordelingsarealet for trykkspenninger (Ac1) må vi påføre eksentrisitet i både x- og y-retning. Deretter finnes dimensjonene for Ac1, og den laveste verdien benyttes for å være konservativ. Bruker minsteeksentrisitet etter EC2-1-1 6.1(4)

$$e_0 = \max \left[\frac{h}{30} = \frac{400}{30} = 13.33 ; 20 \text{ mm} \right] = 20 \text{ mm}$$

Det antas også at Ac1 er en teoretisk mellomlegg av stål med dimensjoner 95*269mm siden stål bjelken ligger over hele søylensbrdde i x-retning(h=400mm) og er 10mm fra søylenskantene i y-retning (b=300mm)

Påfører eksentrisiteten i x-retning



$$x = 200 - 47.5 - e_0 = 132.5 \text{ mm}$$

$$y = 150 - 134.5 = 15.5 \text{ mm}$$

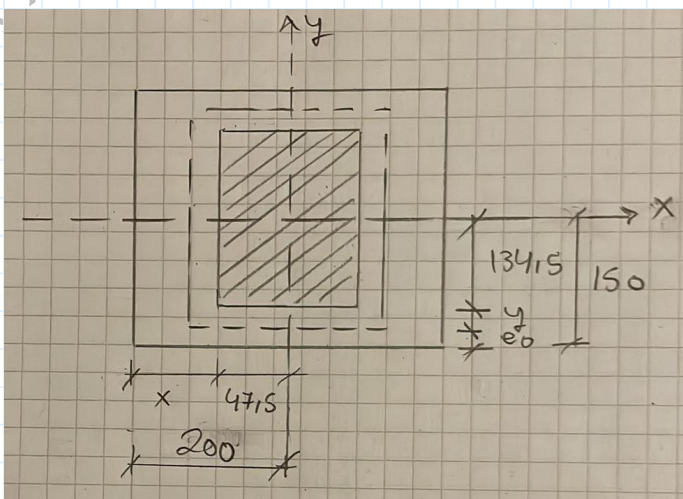
Benytter y-verdien for å regne Ac1 (konservativt)

$$(a_1 + 2 y) = 95 + (15.5 \cdot 2) = 126 \text{ mm}$$

$$(b_1 + 2 y) = 269 + (15.5 \cdot 2) = 300 \text{ mm}$$

$$A_{c1} = (a_1 + 2 y) \cdot (b_1 + 2 y) = 37800 \text{ mm}^2$$

Påfører eksentrisiteten i y-retning



$$x = 200 - 47.5 = 152.2 \text{ mm}$$

$$y = 150 - 134.5 - 20 = -4.5 \text{ mm}$$

y-verdien benyttes ikke,
negativ verdi!

$$(a_1 + 2x) = 95 + (152.2 \cdot 2) = 126 \text{ mm}$$

$$(b_1 + 2x) = 269 + (152.2 \cdot 2) = 573 \text{ mm}$$

Kan ikke benytte disse dimensjonene
siden 573 mm ligger utenfor
tversnittet!

$$A_{c1} = 37800 \text{ mm}^2$$

$$\text{EC2-1-1 6.7(2)} \quad F_{Rdu} = A_{c0} \cdot f_{cd} \cdot \sqrt{\frac{A_{c1}}{A_{c0}}} \leq 3.0 \cdot f_{cd} \cdot A_{c0}$$

$$\rightarrow F_{Rdu} = 25555 \cdot 19.8 \cdot \sqrt{\frac{37800}{25555} \cdot 10^{-3}} = 615 \text{ kN} < 3.0 \cdot 19.8 \cdot 25555 \cdot 10^{-3} = 1518 \text{ kN}$$

$$\rightarrow F_{Rdu} = 615 \text{ kN} \quad F_{Rdu} > N_{Ed} \quad \text{ok}$$

Etter BEB figur C 7.30, Høyden som bøylene skal fødeles over blir lik den minste dimensjonen av fordelingsarealet Ac1

$$h = 126 \text{ mm}$$

Velger å regne spaltestrekkskraften i x-retning, siden horisontalekrefter pga. tempertur eller vind virker i denne retningen sammen med aksialkraften:

$$\text{EC2-1-1 6.5.3(3): for delvis diskontinuerlige regioner, blir } T = \frac{1}{4} \cdot \frac{b-a}{b} \cdot F \quad ; \quad \text{hvor:}$$

$$b = a_2 = 126 \text{ mm} \quad ; \quad a = a_1 = 95 \text{ mm} \quad ; \quad F = N_{Ed} = 350 \text{ kN}$$

$$\rightarrow T \approx 22 \text{ kN}$$

BEB C 6.2.5 krever minimums horisontal kraft som tas med lik:

$$H_{min} = 0.15 \cdot N_{Ed} = 0.15 \cdot 350 \approx 53 \text{ kN}$$

$$BEB\ B\ 17.3\ krever\ å\ armere\ for\ en\ kraft\ fra\ utilsiktet\ eksentrisitet\ Z_{s2} = \frac{0.015 \cdot N_{Ed}}{1 - \sqrt{\frac{2e}{a}}} \geq 0.02 N_{Ed}$$

$$e = \frac{95}{2} \approx 48\text{mm} \quad \text{Effektiv oppleggs dimensjonen i x-retning ligger i midten av tverrsnittet}$$

$$a = 400\text{ mm} \quad \text{Søylens bredde i retning hvor armeringen beregnes}$$

$$Z_{s2} = \frac{0.015 \cdot 350}{1 - \sqrt{\frac{2 \cdot 0.048}{0.4}}} \approx 10\text{kN}$$

$$\text{Den totale spaltestrekk-kraften blir: } T_{tot} = T + H_{min} + Z_{s2} = 22 + 53 + 10 = 85\text{ kN}$$

$$\text{Armeringsmengden blir } A_{sh} = \frac{T_{tot}}{f_{yd}} = \frac{85 \cdot 10^3}{434} \approx 196\text{mm}^2$$

$$\text{Benytter Ø8 dobbeltsnitede bøyler } n = \frac{196}{2 \cdot \pi \cdot 4^2} = 1.94 \cdot 2 \approx 2\text{bøyler}$$

$$s = \frac{126}{2} = 63\text{ mm}$$

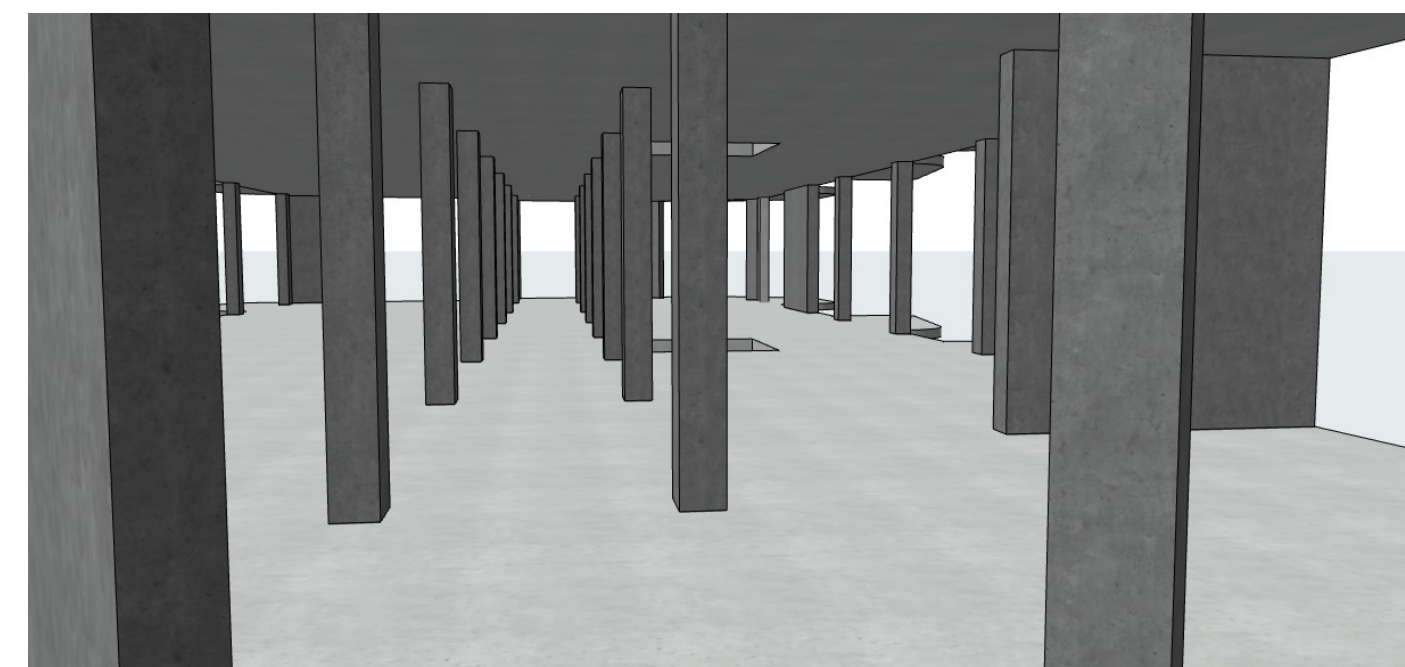
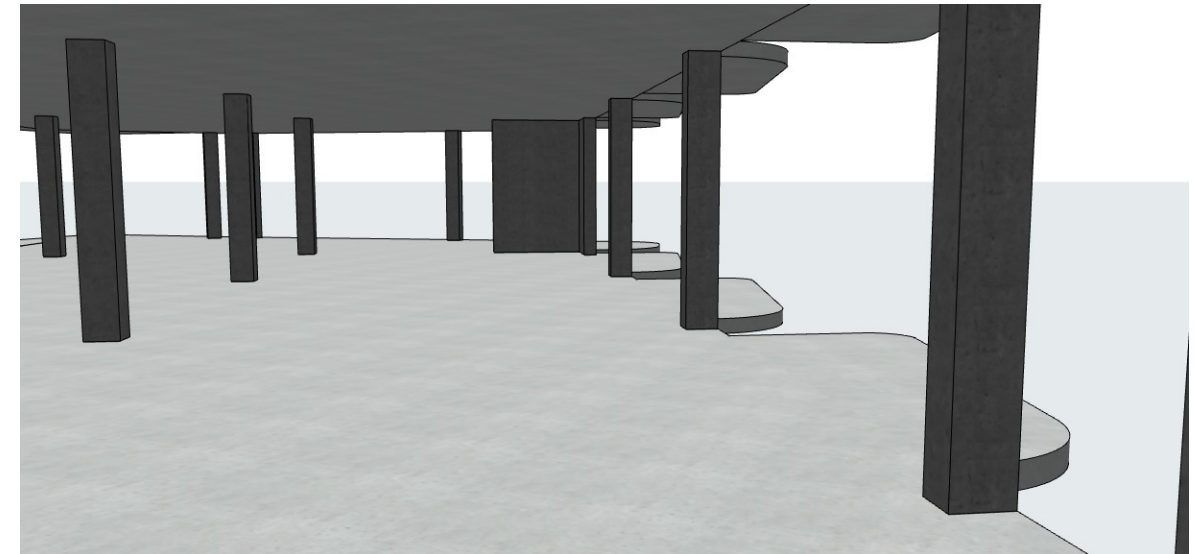
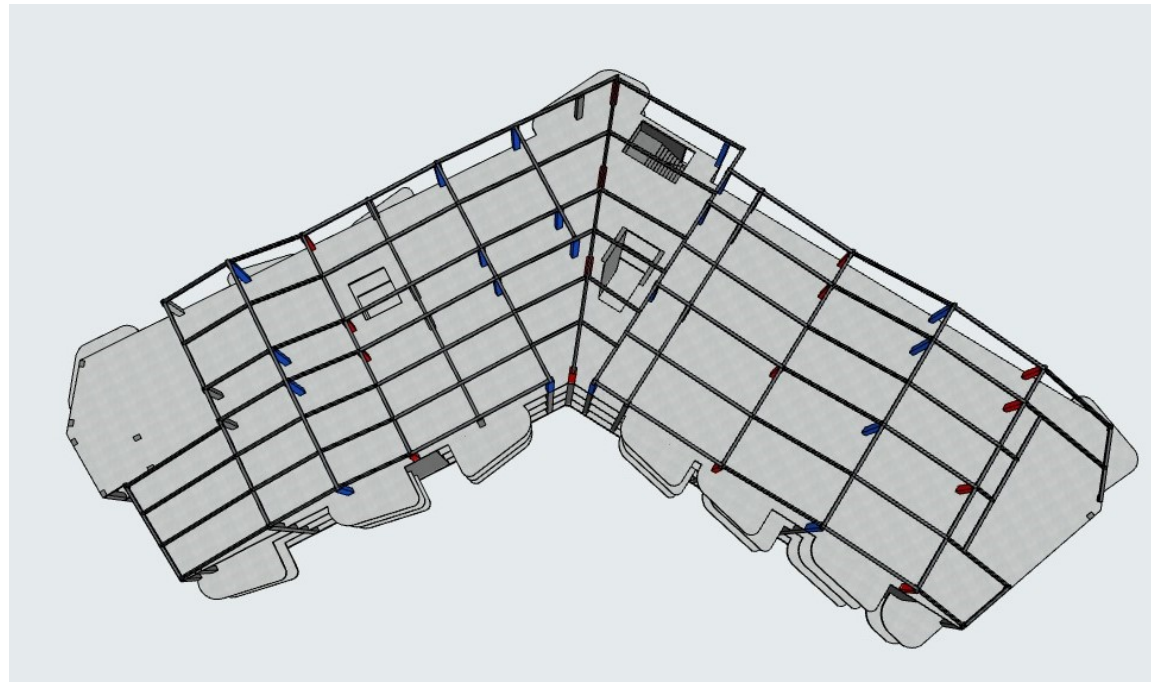
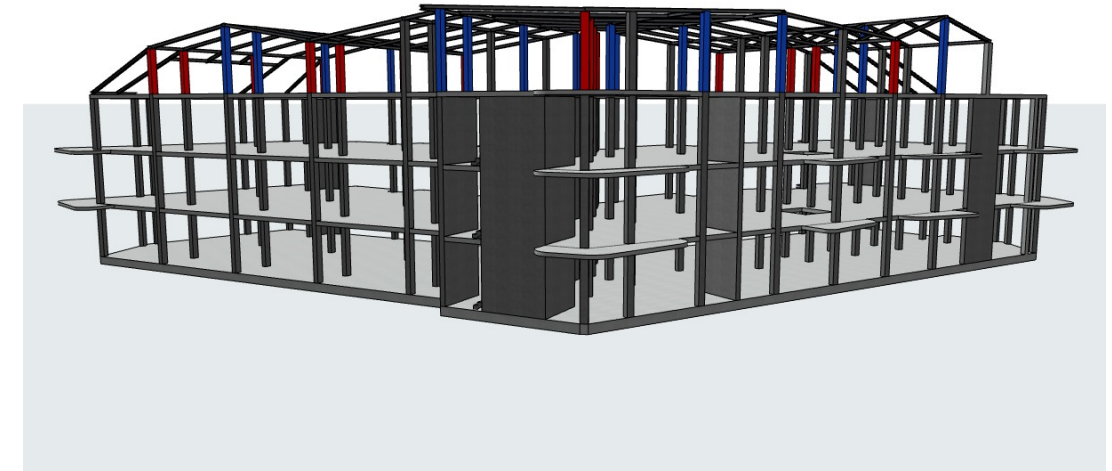
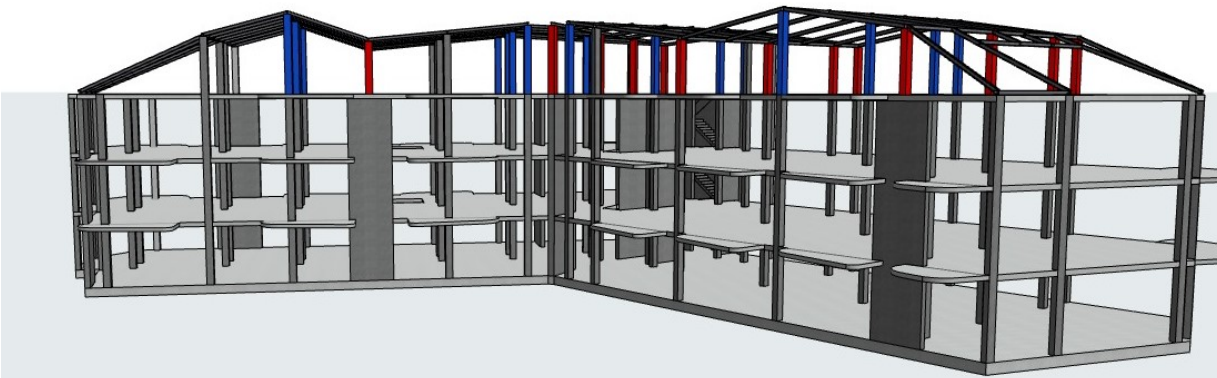
--> **Benytter 2Ø8 s63 i alle øyletopp i bygget.** Siden Zs2 var inkludert i beregningen må disse plasseres nærmest toppen, men dette ivaretas av lengdearmeringen som blir bøyd som kryssende kroker i øyletoppen
Se tegning 16 for resultatene

Denne siden er satt med vilje tom

Tegninger

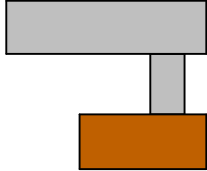
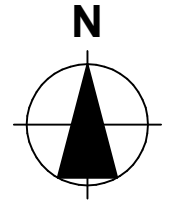
Denne siden er satt med vilje tom

TEGNING 1



Merknader:

Lokalisering:



Prosjekteringsgruppen

● ARK : Skibnes Arkitekter Dronningens gate 66
7012 Trondheim
Tlf.: 735 15 830
arkitekt@skibnes.no

● RIB : K.K, A.R, & M.A NTNU, Institutt for
konstruksjonsteknikk

● Veileder Jan Arve Øverli NTNU, Institutt for
konstruksjonsteknikk

Fase
Detaljprosjektering

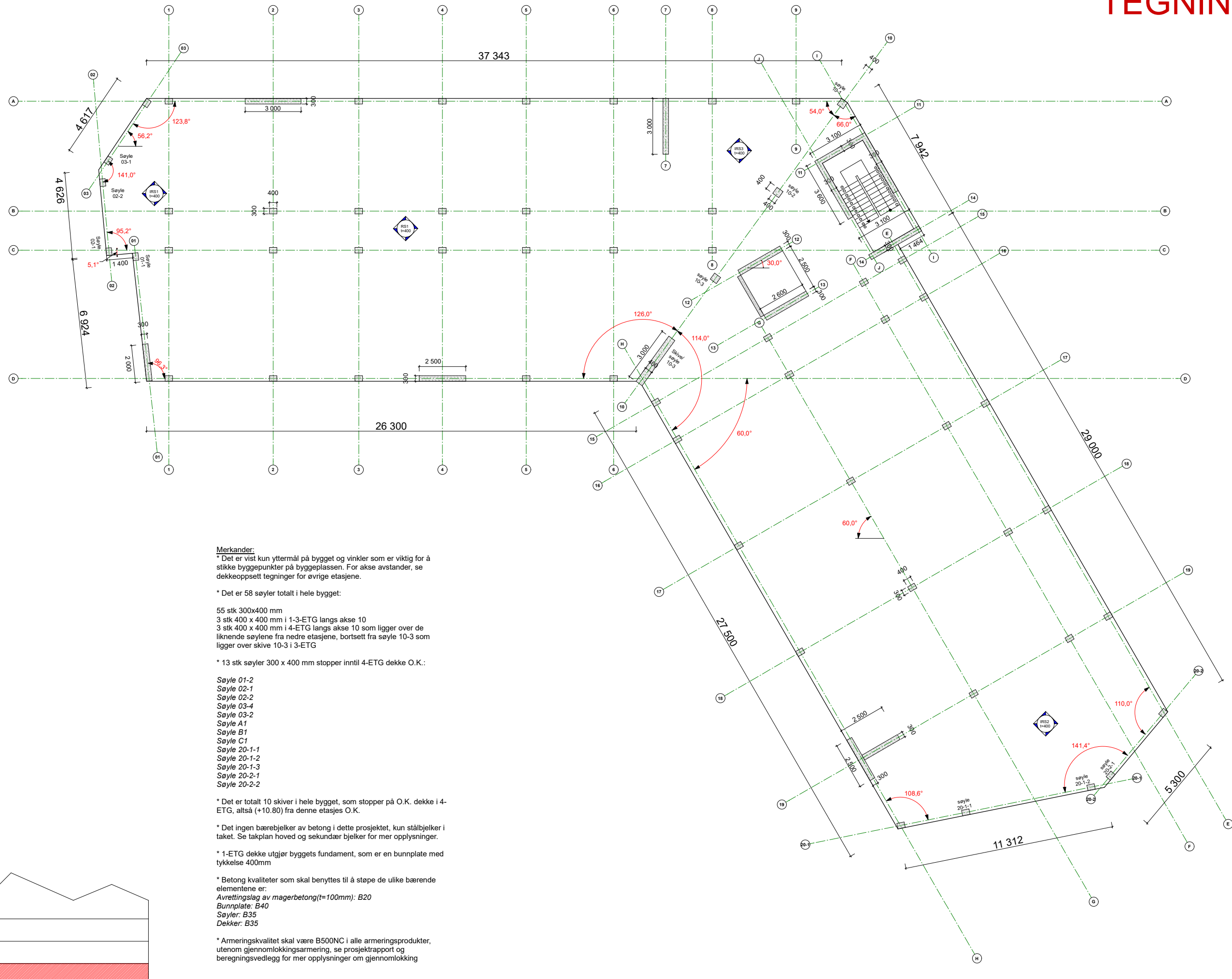
Tiltakshavere
Arijus Ruzgys, Konstantin Koval, & Musab Ahmad

Prosjekt
Bachelor oppgave Lade Alle
Lade Alle 84
7041 Trondheim

Prosjektnr.:	Gruppe9
Dato:	26.04.2023

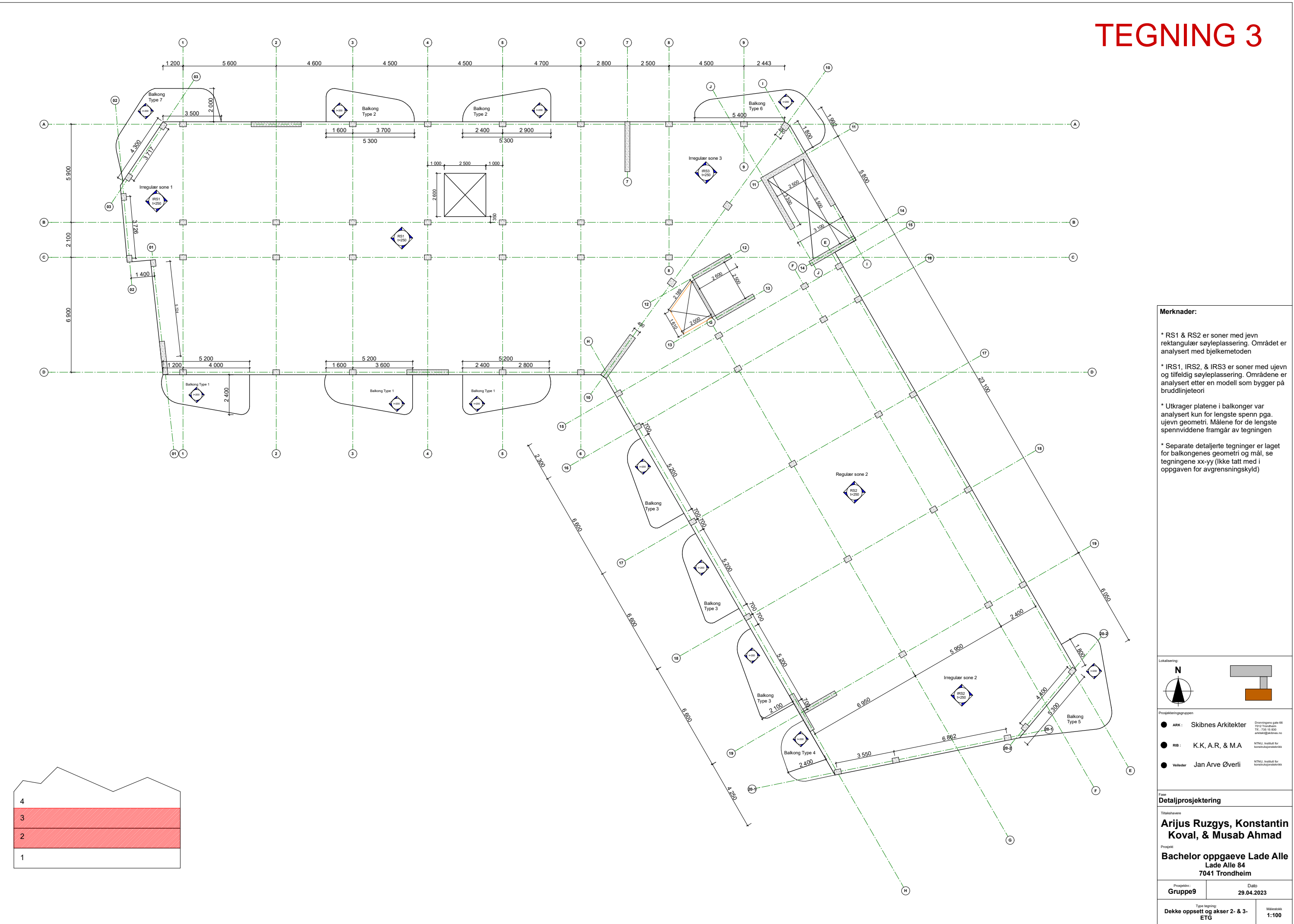
Type tegning: 3D visninger fra konstruksjonsmodellen	Målestokk
--	-----------

TEGNING 2

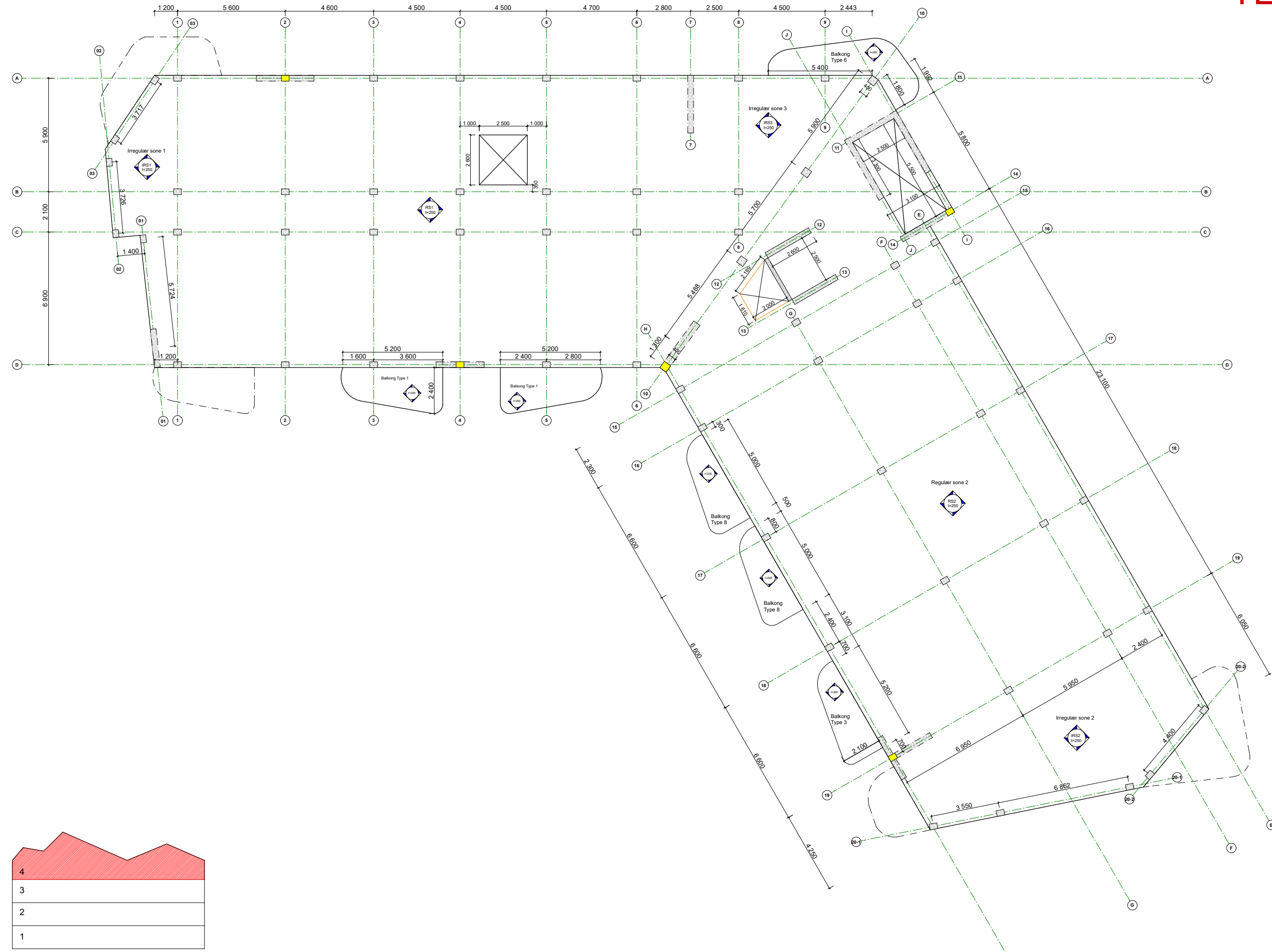


Lokalisering:	
N	
Rosettegruppen	<ul style="list-style-type: none"> ● ARK: Skibnes Arkitekter ● RIB: K.K. A.R. & M.A ● Veileder: Jan Arve Øverli
Prosjektrapporten	
Titakshavere	
Arijus Ruzgys, Konstantin Koval, & Musab Ahmad	
Prosjektet	
Bachelor oppgave Lade Alle	
Lade Alle 84	
7041 Trondheim	
Prosjektnr:	Gruppe9
Dato:	29.04.2023
Type tegning:	Etagje oppsett, mål, søyler og vegg typer 1-ETG
Målestokk:	1:100

TEGNING 3

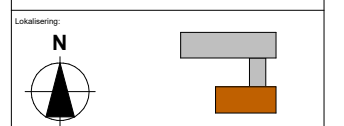


TEGNING 4



Merknader:

- * RS1 & RS2 er soner med jevn rektangulær søyleplassering. Området er analysert med bjelkemetoden
- * IRS1, IRS2, & IRS3 er soner med ujevn og tilfeldig søyleplassering. Områdene er analysert etter en modell som bygger på bruddlinjeteorologi
- * Utkrager platene i balkonger var analysert kun for lengste spenn pga. ujevn geometri. Målene for de lengste spennvidlene framgår av tegningen
- * 6 balkonger fra 2- & 3-ETG forsvinner i denne etasje. Disse er:
 - Type 1: 1 stk
 - Type 2: 2 stk
 - Type 4: 1 stk
 - Type 5: 1 stk
 - Type 7: 1 stk
- * Separate detaljerte tegninger er laget for balkongenes geometri og mål, se tegningene xx-yy
- * Alle vertikale betongskiver fra 3-ETG skal stoppes ved dekk O.K (+10.80m) i denne etasje
- * Søyene markert med gul er søyler plantet over veggskiver i 3-ETG



Prosjekteringsgruppen

- ARK: Skibnes Arkitekter Dronningens gate 66
7012 Trondheim Tlf.: 738 15 880 archibones.no
- RIB: K.K. A.R. & M.A. NTNU, Institutt for konstruksjonsteknikk
- Veileder: Jan Arve Øverli NTNU, Institutt for konstruksjonsteknikk

Fase: Detaljprosjektering

Tilskuhavere

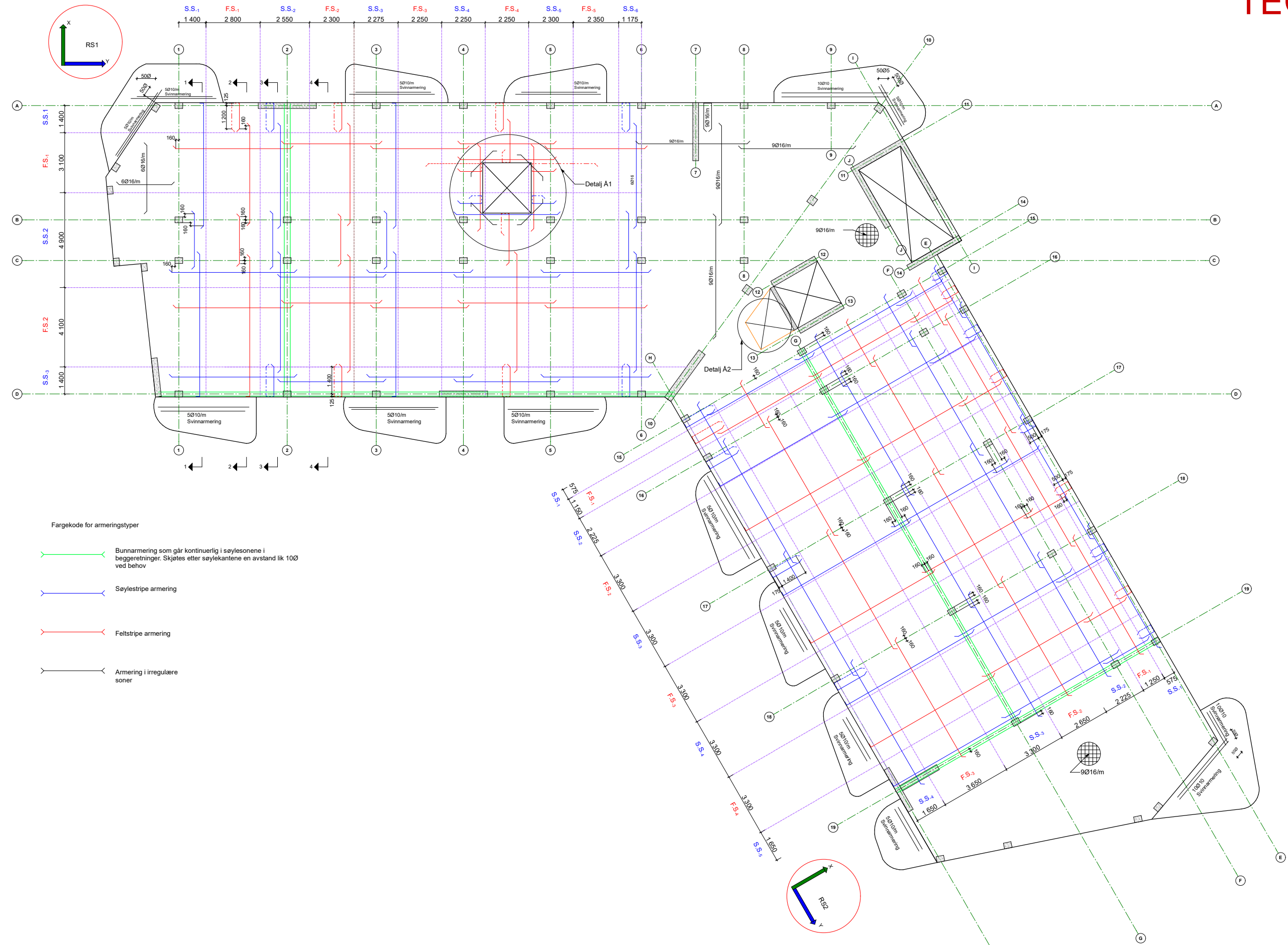
Arijus Ruzgys, Konstantin Koval, & Musab Ahmad

Prosjektet: Bachelor oppgave Lade Alle Lade Alle 84 7041 Trondheim

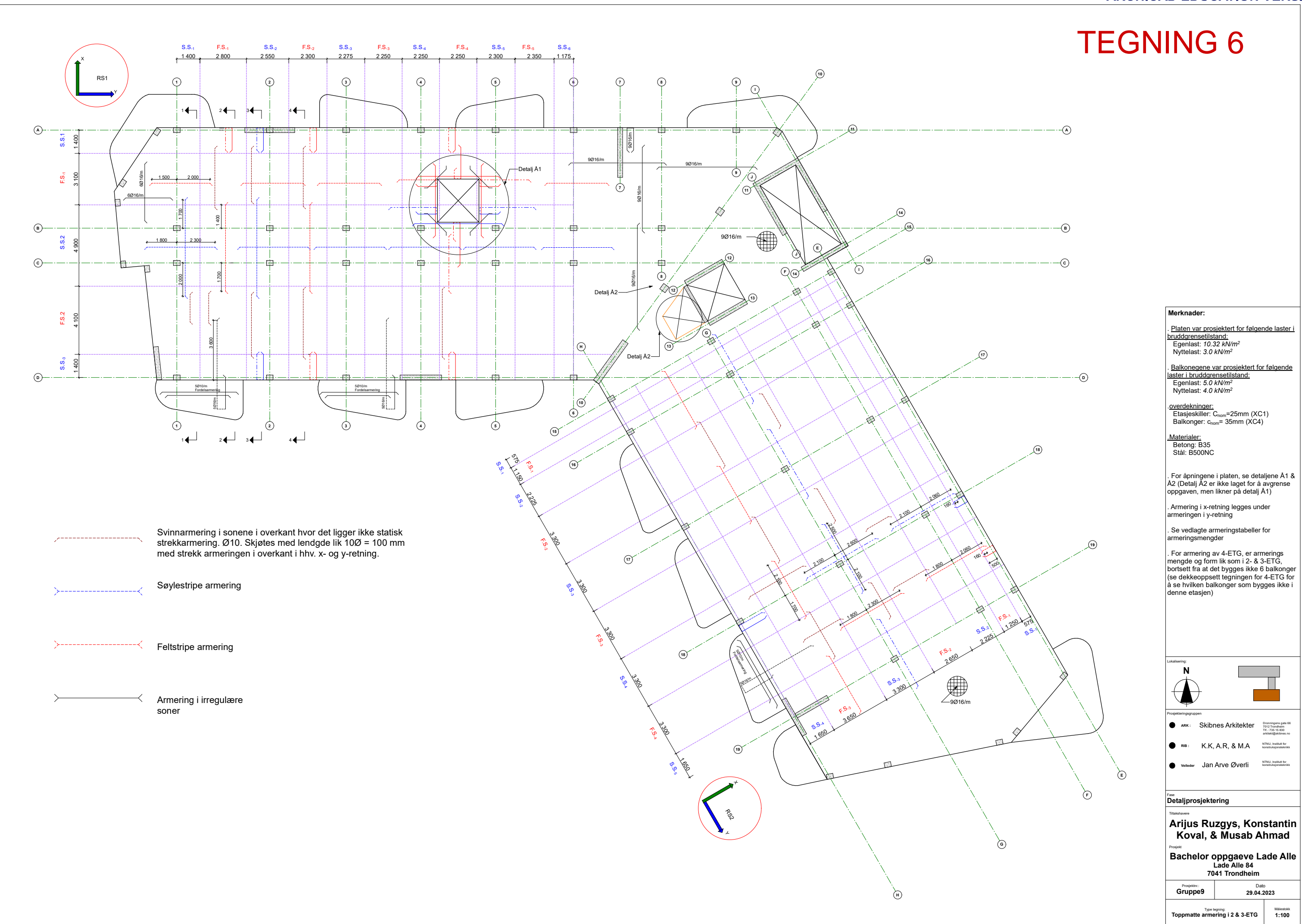
Prosjektnr.: Gruppe 9	Dato: 29.04.2023
-----------------------	------------------

Type legging: Dekke oppsett og aksenet 4-ETG	Målestokk: 1:100
--	------------------

TEGNING 5

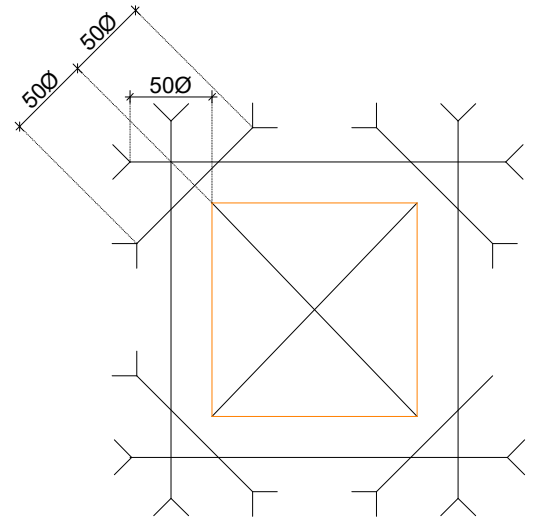
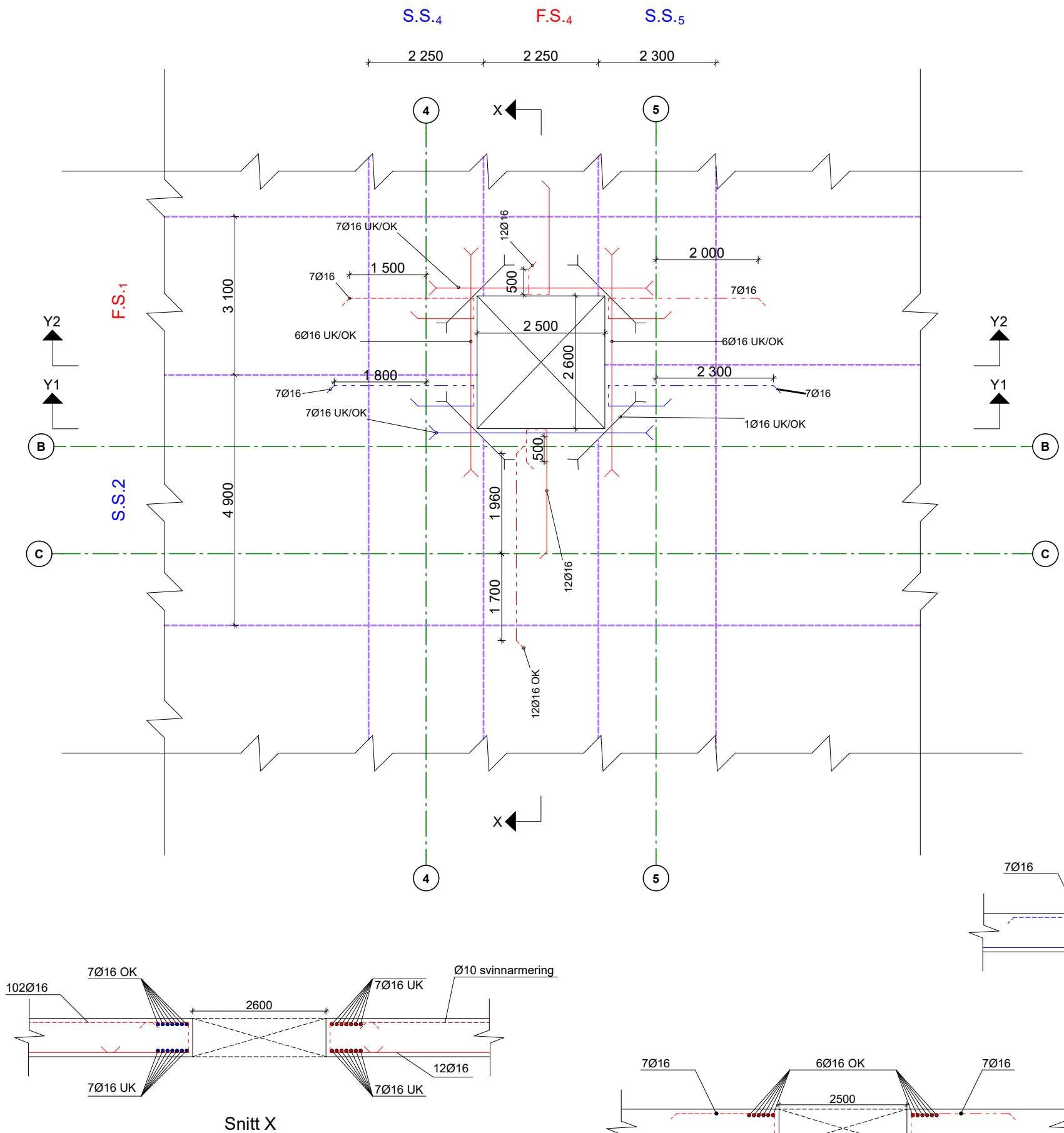


TEGNING 6

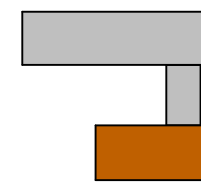
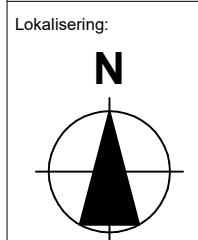


Merknader:

TEGNING 7



Forankring av lengdearmering rundt
utsparingen er satt til 50Ø
fra kantene og ut i dekke i alle retninger og for
både bunn- og topparmeringen



Lokalisering:

Prosjekteringsgruppen

● ARK : Skibnes Arkitekter Dronningens gate 66
7012 Trondheim Tlf.: 735 15 830
arkitekt@skibnes.no

● RIB : K.K, A.R, & M.A NTNU, Institutt for
konstruksjonsteknikk

● Veileder Jan Arve Øverli NTNU, Institutt for
konstruksjonsteknikk

Fase Detaljprosjektering

Tiltakshavere
Arijus Ruzgys, Konstantin Koval, & Musab Ahmad

Prosjekt
Bachelor oppgave Lade Alle
Lade Alle 84
7041 Trondheim

Prosjektnr.: Gruppe9	Dato 26.04.2023
--------------------------------	---------------------------

Type tegning:
Detalj Å1 i flattdekket

Målestokk
1:100

Armeringsmengder i bunnmatte

RS1												
Akser (x-retning)	Mengder fra analyse		Mengder fordelt over alle stripene					Form og lengder				
	Søylestripes	Feltstripes	S.S. ₁	F.S. ₁	S.S. ₂	S.S. ₃ - S.S ₅ & F.S. ₂ - F.S. ₅	S.S. ₆	Søylestripes u/balkong i enden	Feltstripes u/balkong i enden	Søylestripes m/balkong i enden	Feltstripes m/balkong i enden	
A - B	12Ø16/2.8m	12Ø16/2.8m	7Ø16	14Ø16	13Ø16	12Ø16	6Ø16	+ 5170 *	+ 5020 *	+ 6335 R=80 *	+ 6180 R=80 *	
B - C	12Ø16/2.8m	12Ø16/2.8m	7Ø16	14Ø16	13Ø16	12Ø16	6Ø16	+ 2720 *	+ 2420 *			
C - D	12Ø16/2.8m	12Ø16/2.8m	7Ø16	14Ø16	13Ø16	12Ø16	6Ø16	+ 5970 *	+ 5820 *	+ 7335 R=80 *	+ 7180 R=80 *	

Akser (y-retning)	Mengder fra analyse		Mengder fordelt over alle stripene					Form og lengder	
	Søylestripes	Feltstripes	S.S. ₁	F.S. ₁	S.S. ₂	F.S. ₂	S.S. ₃	Søylestripes	Feltstripes
1 - 2	12Ø16/2.8m	17Ø16/4.1m	7Ø16	16Ø16	25Ø16	21Ø16	7Ø16	+ 6320 *	+ 5920 *
2 - 3	12Ø16/2.8m	17Ø16/4.1m	7Ø16	16Ø16	25Ø16	21Ø16	7Ø16	+ 5320 *	+ 4920 *
3 - 4	12Ø16/2.8m	17Ø16/4.1m	7Ø16	16Ø16	25Ø16	21Ø16	7Ø16	+ 5220 *	+ 4820 *
4 - 5	12Ø16/2.8m	17Ø16/4.1m	7Ø16	16Ø16	25Ø16	21Ø16	7Ø16	+ 5220 *	+ 4820 *
5 - 6	12Ø16/2.8m	17Ø16/4.1m	7Ø16	16Ø16	25Ø16	21Ø16	7Ø16	+ 5420 *	+ 5020 *

TEGNING 8

RS2												
Akser (x-retning)	Mengder fra analyse		Mengder fordelt over alle stripene					Form og lengder				
	Søylestripes	Feltstripes	S.S. ₁	F.S. ₁	S.S. ₂	S.S. ₃ - S.S ₄ & F.S. ₂ - F.S. ₄	S.S. ₅	Søylestripes u/balkong i enden	Feltstripes u/balkong i enden	Søylestripes m/balkong i enden	Feltstripes m/balkong i enden	
E - F	17Ø16/3.3m	17Ø16/3.3m	4Ø16	8Ø16	14Ø16	20Ø16	10Ø16	+ 2420 *	+ 2220 *			
F - G	17Ø16/3.3m	17Ø16/3.3m	4Ø16	14Ø16	13Ø16	12Ø16	10Ø16	+ 6670 *	+ 6270 *			
G - H	17Ø16/3.3m	17Ø16/3.3m	4Ø16	14Ø16	13Ø16	20Ø16	10Ø16	+ 6070 *	+ 5876 *	+ 7485 R=80 *	+ 7285 R=80 *	

Akser (y-retning)	Mengder fra analyse		Mengder fordelt over alle stripene					Form og lengder		
	Søylestripes	Feltstripes	S.S. ₁	F.S. ₁	S.S. ₂	F.S. ₂	S.S. ₃	F.S. ₃	Søylestripes	Feltstripes
15 - 16	17Ø16/3.3m	19Ø16/3.65m	4Ø16	8Ø16	14Ø16	16Ø16	20Ø16	22Ø16	10Ø16	+ 2920 *
16 - 17	17Ø16/3.3m	19Ø16/3.65m	4Ø16	8Ø16	14Ø16	16Ø16	20Ø16	22Ø16	10Ø16	+ 7220 *
17-18	17Ø16/3.3m	19Ø16/3.65m	4Ø16	8Ø16	14Ø16	16Ø16	20Ø16	22Ø16	10Ø16	+ 7220 *
18-19	17Ø16/3.3m	19Ø16/3.65m	4Ø16	8Ø16	14Ø16	16Ø16	20Ø16	22Ø16	10Ø16	+ 7220 *

Tegning
Armeringsmengder for bunnmatt 2 & 3-
ETG
Bacheloroppgave
Lade Alle 7041 Trondheim

Prosjektnr..
Gruppe 9

Dato opprettet
24.04.2023

Armeringsmengder i toppmatte

RS1

Akser (x-retning)	Mengder fra analyse		Mengder fordelt over alle stripene							
	Søylestriper	Feltstriper	S.S. ₁	S.S. ₂	S.S. ₃	S.S. ₄	S.S. ₅	S.S. ₆	F.S. ₁	F.S. ₂ - F.S. ₅
B	20Ø16/2.8m	12Ø16/2.8m	12Ø16	21Ø16	19Ø16	18Ø16	19Ø16	10Ø16	14Ø16	12Ø16
C	12Ø16/2.8m	12Ø16/2.8m	7Ø16	13Ø16	12Ø16	12Ø16	12Ø16	6Ø16	14Ø16	12Ø16

Akser (y-retning)	Mengder fra analyse		Mengder fordelt over alle stripene					
	Søylestriper	Feltstriper	S.S. ₁	F.S. ₁	S.S. ₂	F.S. ₂	S.S. ₃	
2	16Ø16/2.8m	17Ø16/4.1m	9Ø16	16Ø16	30Ø16	21Ø16	9Ø16	
3,4,& 5	14Ø16/2.8m	17Ø16/4.1m	7Ø16	16Ø16	25Ø16	21Ø16	7Ø16	

RS2

Akser (x-retning)	Mengder fra analyse		Mengder fordelt over alle stripene								
	Søylestriper	Feltstriper	S.S. ₁	F.S. ₁	S.S. ₂	F.S. ₂	S.S. ₃	F.S. ₃	S.S. ₄	F.S. ₄	S.S. ₅
F	17Ø16/3.3m	17Ø16/3.3m	4Ø16	7Ø16	14Ø16	20Ø16	20Ø16	20Ø16	20Ø16	20Ø16	9Ø16
G	25Ø16/3.3m	17Ø16/3.3m	5Ø16	7Ø16	18Ø16	20Ø16	27Ø16	20Ø16	27Ø16	20Ø16	14Ø16

Akser (y-retning)	Mengder fra analyse		Mengder fordelt over alle stripene							
	Søylestriper	Feltstriper	S.S. ₁	F.S. ₁	S.S. ₂	F.S. ₂	S.S. ₃	F.S. ₃	S.S. ₄	
16	17Ø16/3.3m	19Ø16/3.65m	4Ø16	8Ø16	14Ø16	16Ø16	20Ø16	22Ø16	10Ø16	
17	17Ø16/3.3m	19Ø16/3.65m	4Ø16	8Ø16	14Ø16	16Ø16	20Ø16	22Ø16	10Ø16	
18	23Ø16/3.3m	19Ø16/3.65m	4Ø16	8Ø16	16Ø16	16Ø16	24Ø16	22Ø16	12Ø16	

Tegning
Armeringsmengder for toppmatte 2 & 3-ETG
Bacheloroppgave
Lade Alle 7041 Trondheim

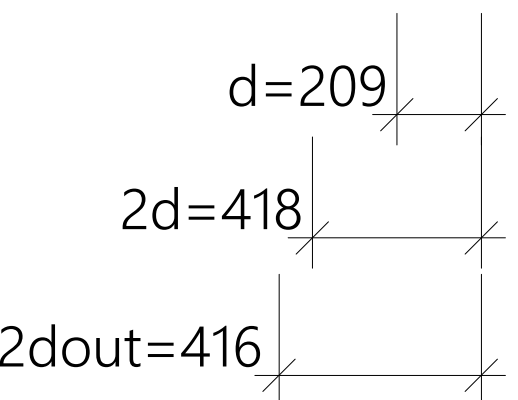
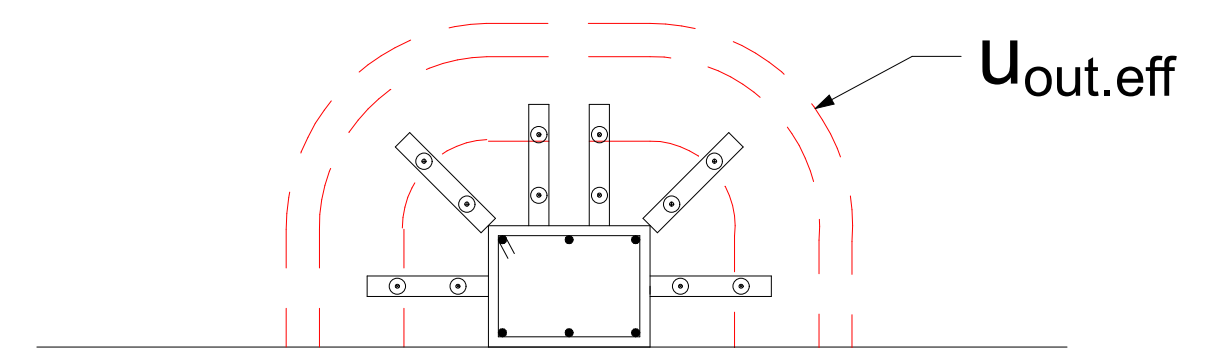
Prosjektnr..
Gruppe 9

Dato opprettet
24.04.2023

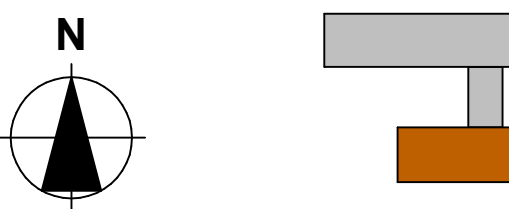
TEGNING 9

TEGNING 10

RS1
Kantsøyle D2
6 elementer 2Ø10, lengde av hver element = 300mm

**Merknader:**

- . Totalt er det 6 søyler som krever skjærarmering(gjøres i alle etasjer):
 - Kantsøyle D2 i sone RS1
 - Kantsøylene H16, H17, & H18 i sone RS2
 - Innersøylene G17 & G18 i sone RS2
- . Valgt plassering av armering:
 - $s_0 = 75\text{mm}$ (fra søyleneskant til senteret av første stang)
 - $s_i = 150 \text{ mm}$ (c/c mellom stengene)
 - $s_{t,max} = 1.7d = 353.6\text{mm}$ (innenfor omkrets med $r = 1d$ fra søylen)
 - $s_{t,max} = 3.5d = 731.5$ (utenfor omrøtes med $r=1d$ fra søylen)
- . Armeringsprodukt er godkjent etter ETA-13/0151

Lokalisering:**Prosjekteringsgruppen**

- **ARK :** Skibnes Arkitekter Dronningens gate 66
7012 Trondheim
Tlf.: 735 15 830
arkitekt@skibnes.no
- **RIB :** K.K, A.R, & M.A NTNU, Institutt for
konstruksjonsteknikk
- **Veileder** Jan Arve Øverli NTNU, Institutt for
konstruksjonsteknikk

Fase**Detaljprosjektering**

- Tiltakshavere
Arijus Ruzgys, Konstantin Koval, & Musab Ahmad
- Prosjekt
Bachelor oppgave Lade Alle
Lade Alle 84
7041 Trondheim

Prosjektnr.:	Dato
Gruppe9	26.04.2023

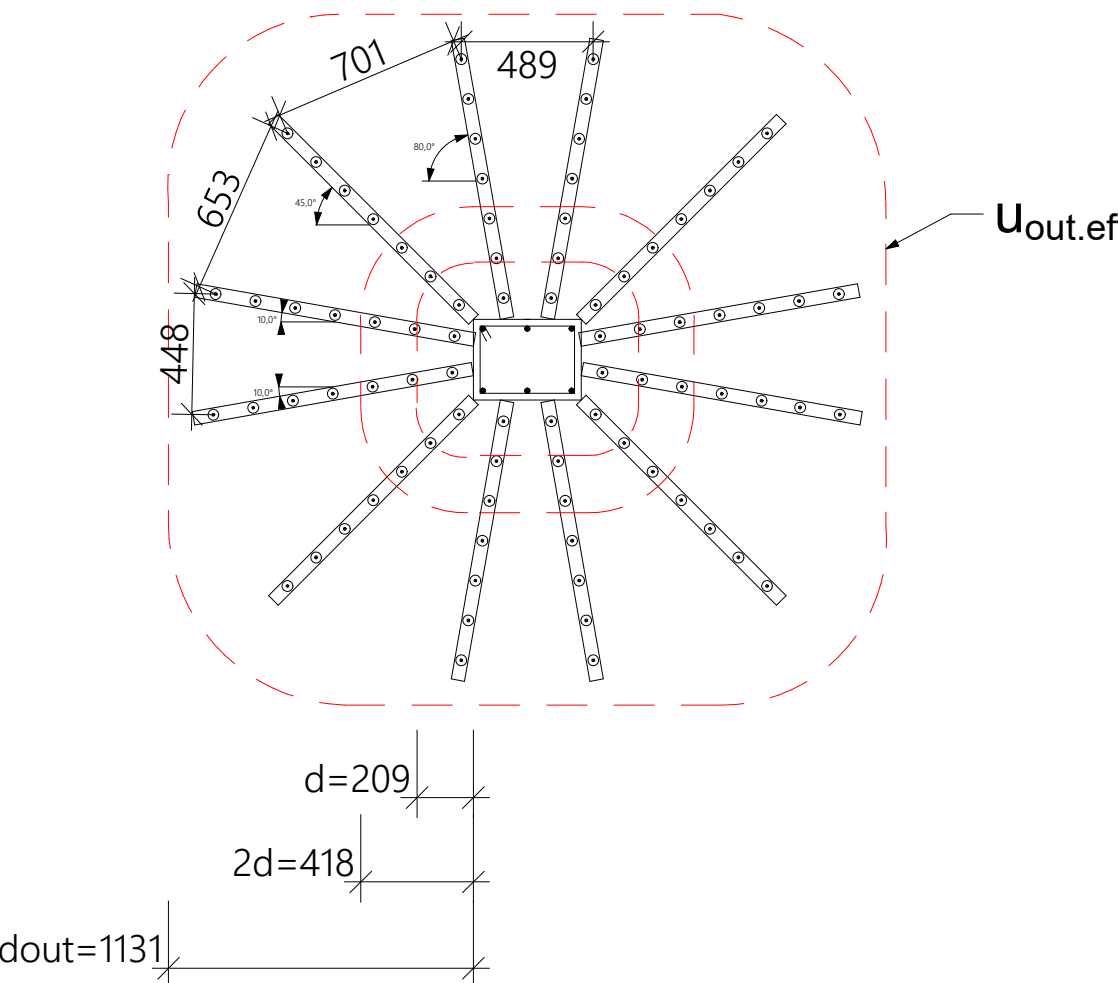
Type tegning:
Gjenomlokkingsarmering 1

Målestokk

TEGNING 11

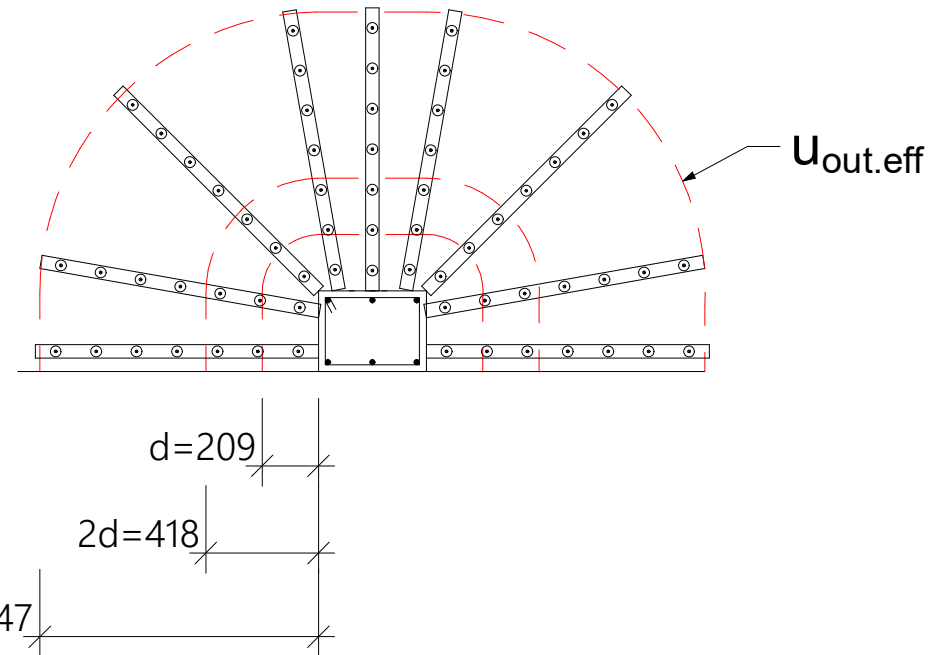
Sone: RS2
Innersøylene G17 og G18

12 elementer 7Ø10, lengde av hver element = 1050mm



Sone: RS2
Kantsøylene H16, H17 og H18

9 elementer 7Ø10, lengde av hver element = 1050mm



Merknader:

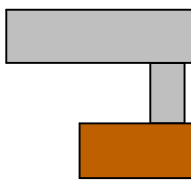
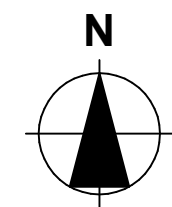
- . Totalt er det 6 søyler som krever skjærarmering(gjøres i alle etasjer):
 - Kantsøyle D2 i sone RS1
 - Kantsøylene H16, H17, & H18 i sone RS2
 - Innersøylene G17 & G18 i sone RS2

. Valgt plassering av armering:

- $s_0=75\text{mm}$ (fra søyleneskant til senteret av første stang)
- $s_i= 150 \text{ mm} (\text{c/c mellom stengene})$
- $s_{t,max}=1.7d=353.6\text{mm}$ (innenfor omkrets med $r = 1d$ fra søylen)
- $s_{t,max}= 3.5d= 731.5$ (utenfor omrøtes med $r=1d$ fra søylen)

- . Armeringsprodukt er godkjent etter ETA-13/0151

Lokalisering:



Prosjekteringsgruppen

- | | | |
|--|--------------------------|--|
| | ARK : Skibnes Arkitekter | Dronningens gate 66
7012 Trondheim
Tlf.: 735 15 830
arkitekt@skibnes.no |
| | RIB : K.K, A.R, & M.A | NTNU, Institutt for konstruksjonsteknikk |
| | Veileder Jan Arve Øverli | NTNU, Institutt for konstruksjonsteknikk |

Fase Detaljprosjektering

- Tiltakshavere
Arijus Ruzgys, Konstantin Koval, & Musab Ahmad
- Prosjekt
Bachelor oppgave Lade Alle
Lade Alle 84
7041 Trondheim

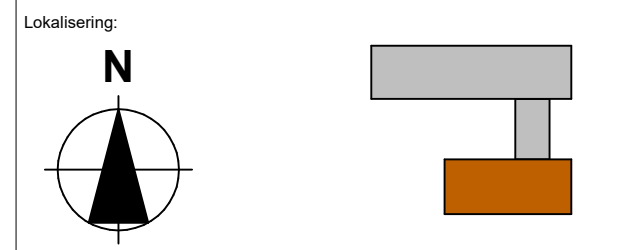
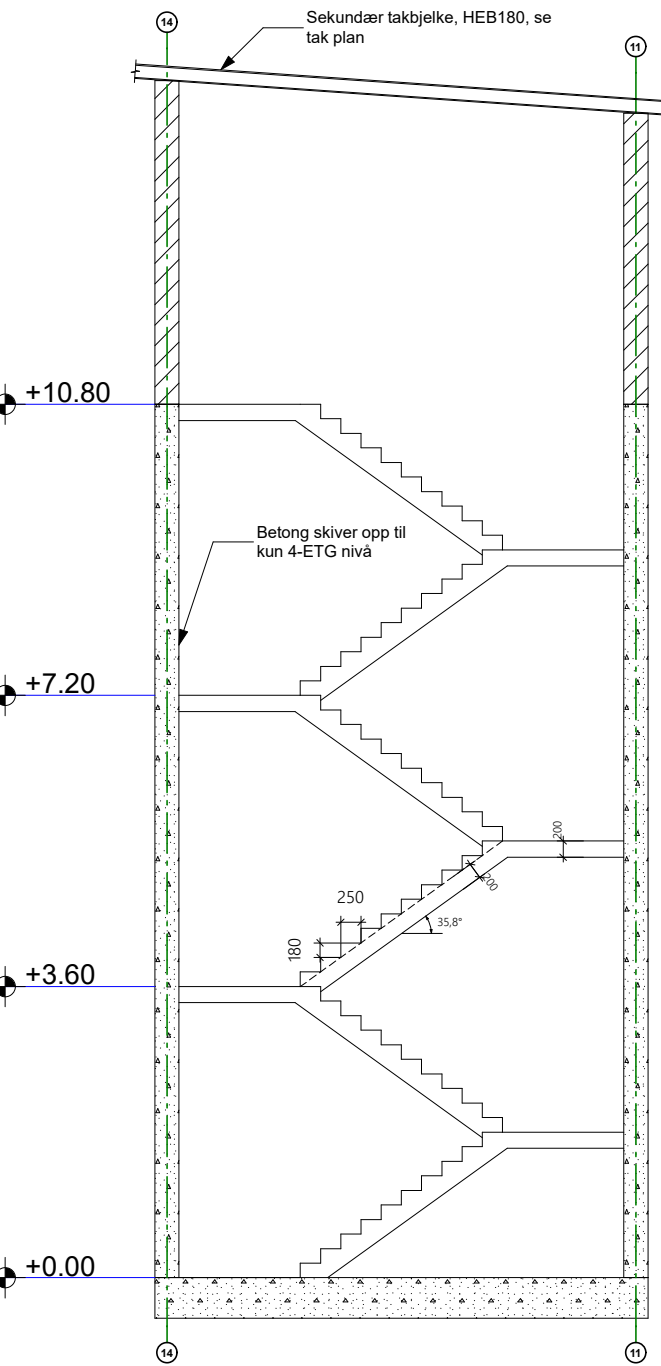
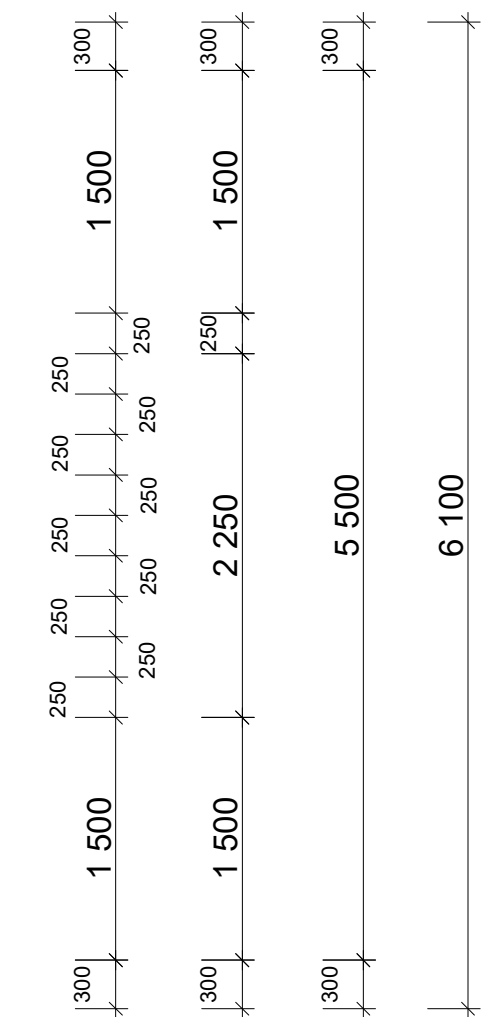
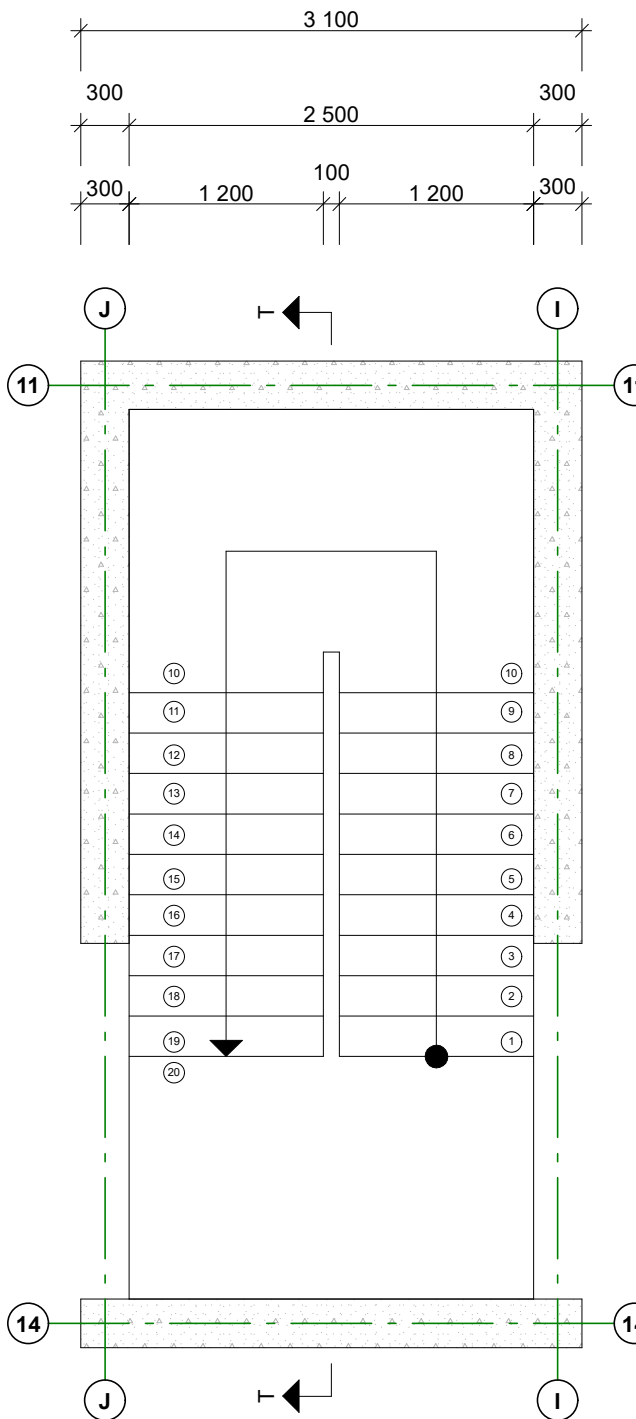
Prosjektnr.:	Dato
Gruppe9	26.04.2023

Type tegning:
Gjenomlokkingsarmering 2

Målestokk

Merknader:

TEGNING 12



Prosjekteringsgruppen		Dronningens gate 66 7012 Trondheim Tlf.: 735 15 830 arkitekt@skibnes.no
RIB :	K.K, A.R, & M.A	NTNU, Institutt for konstruksjonsteknikk
Veileder	Jan Arve Øverli	NTNU, Institutt for konstruksjonsteknikk

Fase
Detaljprosjektering

Tiltakshavere
Arijus Ruzgys, Konstantin Koval, & Musab Ahmad

Prosjekt
**Bachelor oppgave Lade Alle
Lade Alle 84
7041 Trondheim**

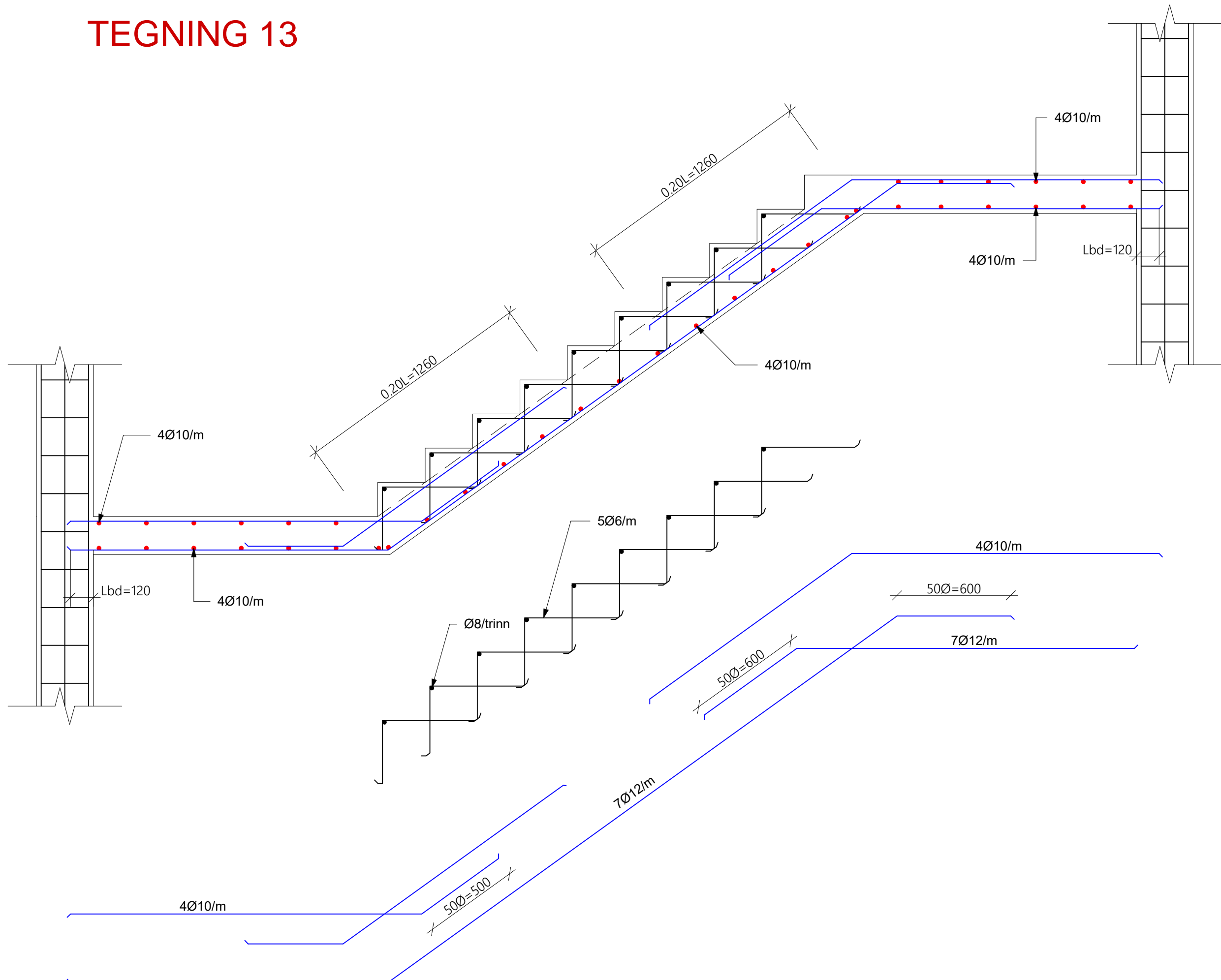
Prosjektnr.:
Gruppe9

Dato
26.04.2023

Type tegning:
Trapp: plan & snitt

Målestokk

TEGNING 13


Merknader:

Trappa var prosjektert for følgende laster:

- Egenlast trappeplate: 5.0 kN/m^2
- Egenlast trappetrinn: 1.8 kN/m^2
- Nytelast: 4.0 kN/m^2
- Saksformet utførelse av armeringen som vist på tegningen er viktig for å unngå store trykkspenningskonsentrasjoner som medfører sprø lokal trykkbrudd i betongen

Materialer:

Beton: B35
Stål: B500NC

Lokalisering:

Prosjekteringsgruppen:

- ARK: Skibnes Arkitekter
- RIB: K.K. A.R. & M.A
- Veileder: Jan Arve Øverli

Fase:
Detaljprosjektering

Tilakshavere

Arijus Ruzgys, Konstantin Koval, & Musab Ahmad

Projekt

Bachelor oppgave Lade Alle

Lade Alle 84

7041 Trondheim

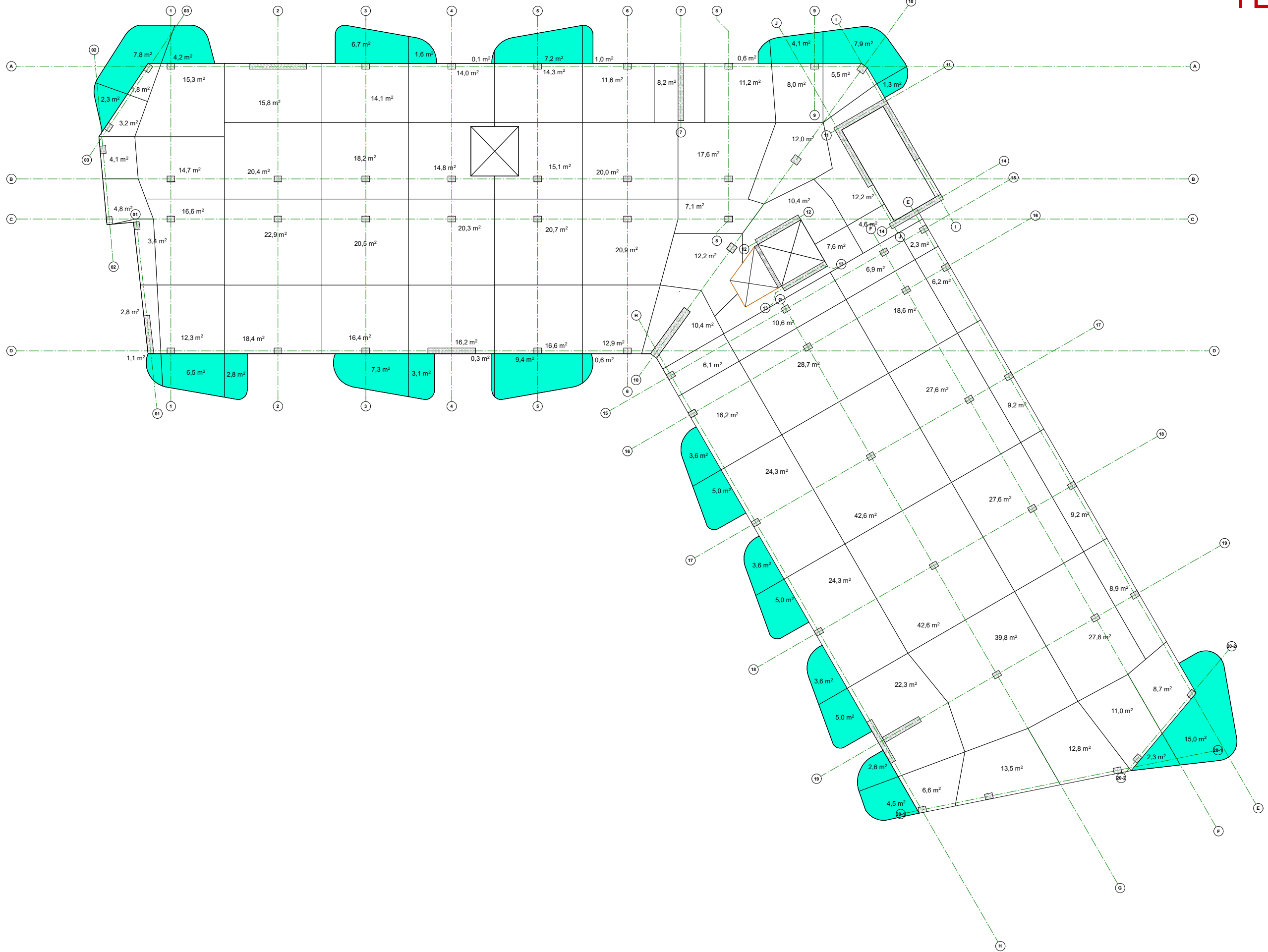
Prosjektnr.: Gruppe9

Dato: 29.04.2023

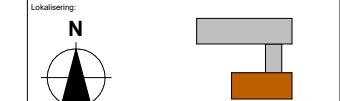
Type tegning: Detalj trappearmering

Målestokk: 1:10

TEGNING 14



Merknader:



Prosjekteringsgruppen:

ARK: Skibnes Arkitekter

Dronningens gate 66
7012 Trondheim
Tlf.: 739 15 880
ark@skibnes.no

RIB: K.K. A.R. & M.A

NTNU, Institutt for
kontrollsystemteknikk

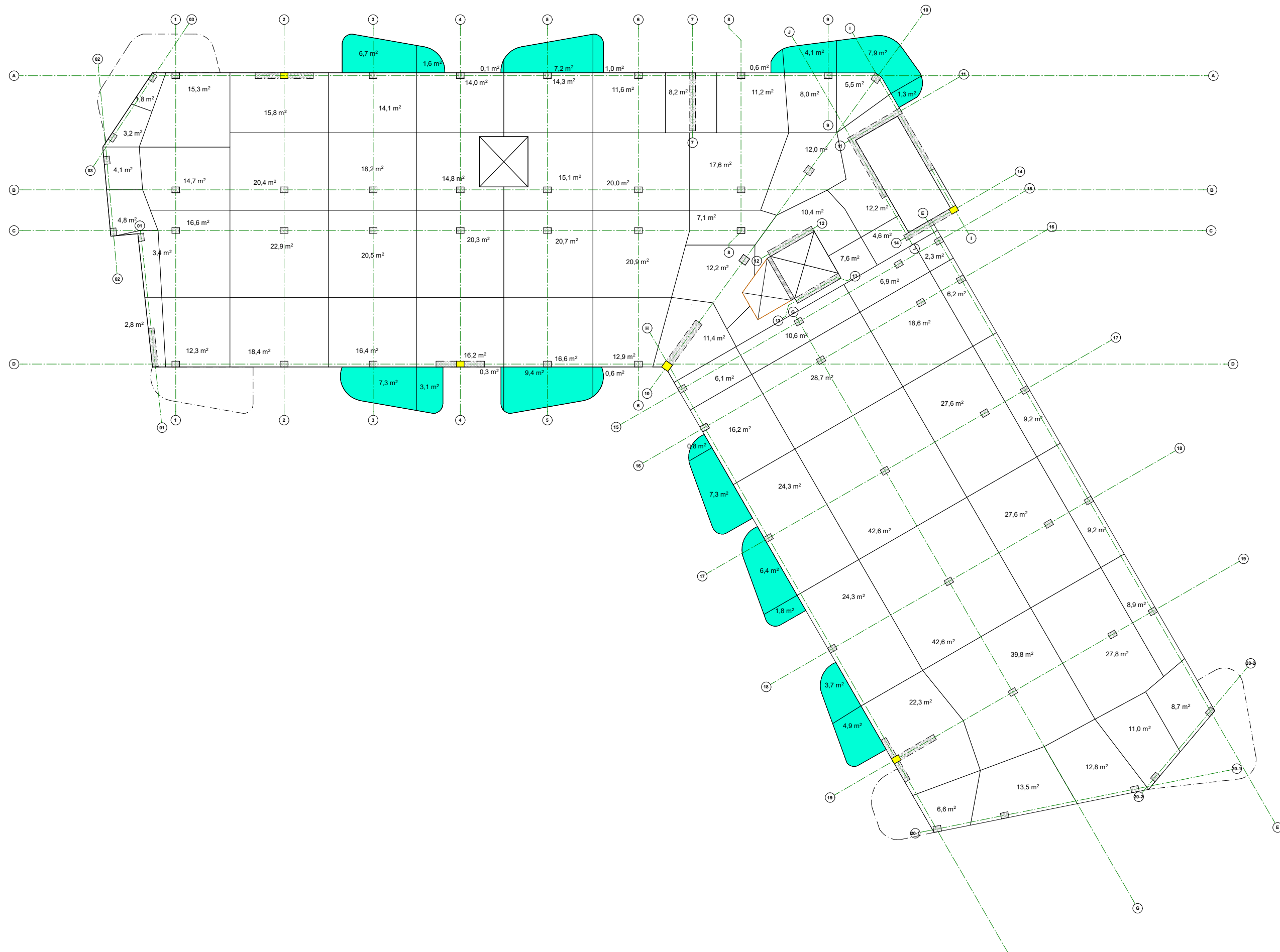
Veileder: Jan Arve Øverli

NTNU, Institutt for
kontrollsystemteknikk

Tilakshavere:

Arijus Ruzgys, Konstantin
Koval, & Musab AhmadProsjekt:
Bachelor oppgave Lade Alle
Lade Alle 84
7041 TrondheimProsjektnr.: Gruppe 9
Dato: 29.04.2023Type tegning: Søyle bæreearealer 2- & 3-ETG
Målestokk: 1:100

TEGNING 15


Merknader:

- . 6 balkonger forsvinner i denne etasjen (stippled linjene)(se plantagningene for dekkene)
- . Balkongene i RS2 i 4-ETG forskyves relativt til de balkongene som ligger i 3-ETG, noe som gir forskjellig aksialkrefter i søylene nærmest balkongene enn i 3-ETG(se plan tegningene for dekke i 4-ETG)
- . ALLE de vertikale veggskivene stopper inntil nivået O.K. 4-ETG nivå (+10.80m) fra nivået O.K i 1-ETG
- . De gul fargeide søylene er søyler plantet over veggskivene som stoppes inntil O.K 4-ETG
- . Sonen mellom bunnen av disse søylene og toppen av skivene er D-regioner. Det plasseres ekstra bøyer der for å ta opp spaltestrekk krefter som oppstår av diskontinuiteten.

Lokalisering:

Prosjekteringsgruppen:

● ARK: Skibnes Arkitekter

Dronningens gate 66
7012 Trondheim
Tlf.: 739 15 880
ark@skibnes.no

● RIB: K.K. A.R. & M.A

NTNU, Institutt for
konstruksjonsteknikk

● Veileder: Jan Arve Øverli

NTNU, Institutt for
konstruksjonsteknikk

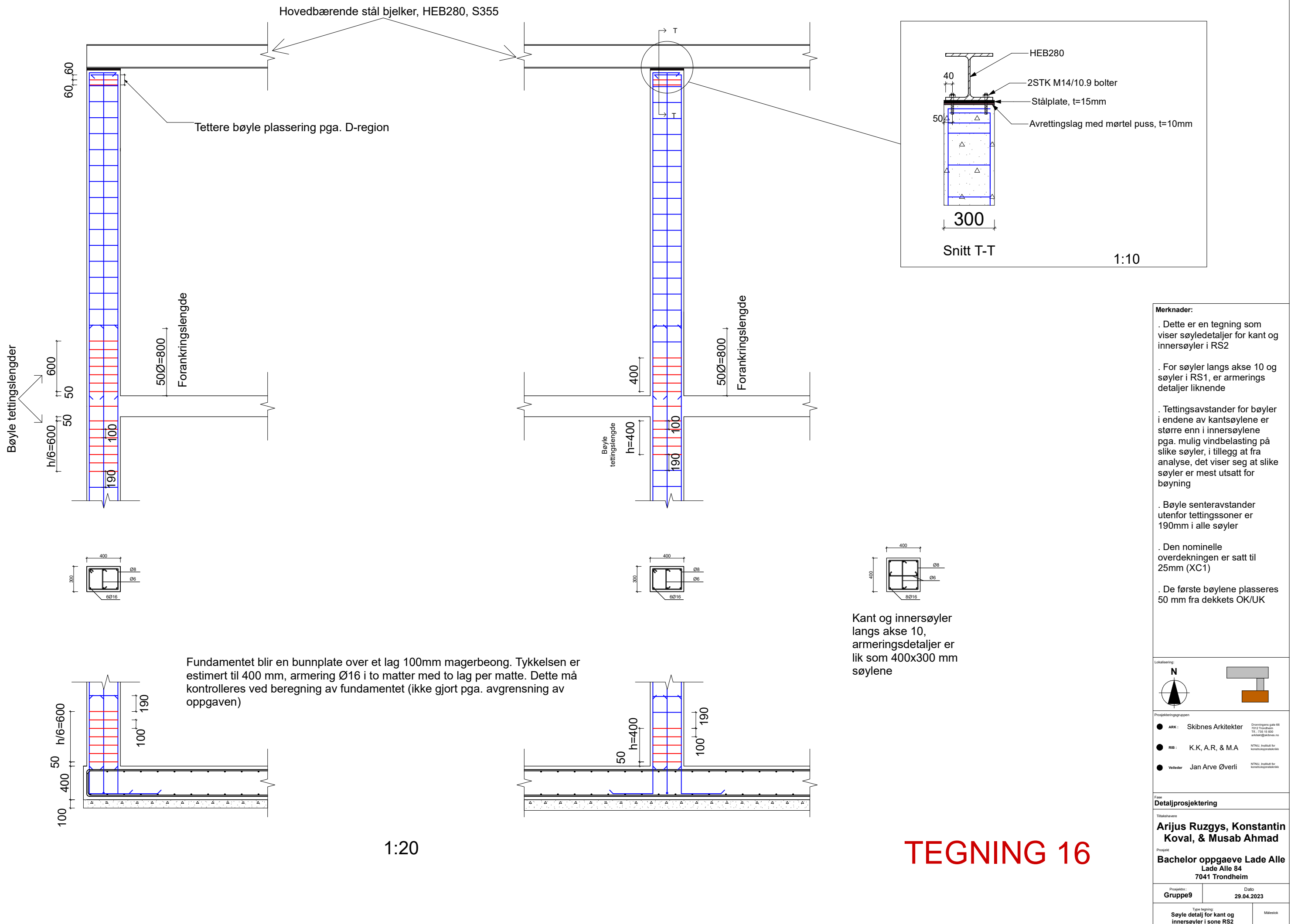
Fase:
Detaljprosjektering
Tilakkahavere:

Arijus Ruzgys, Konstantin Koval, & Musab Ahmad

Projekt:
Bachelor oppgave Lade Alle
Lade Alle 84
7041 Trondheim

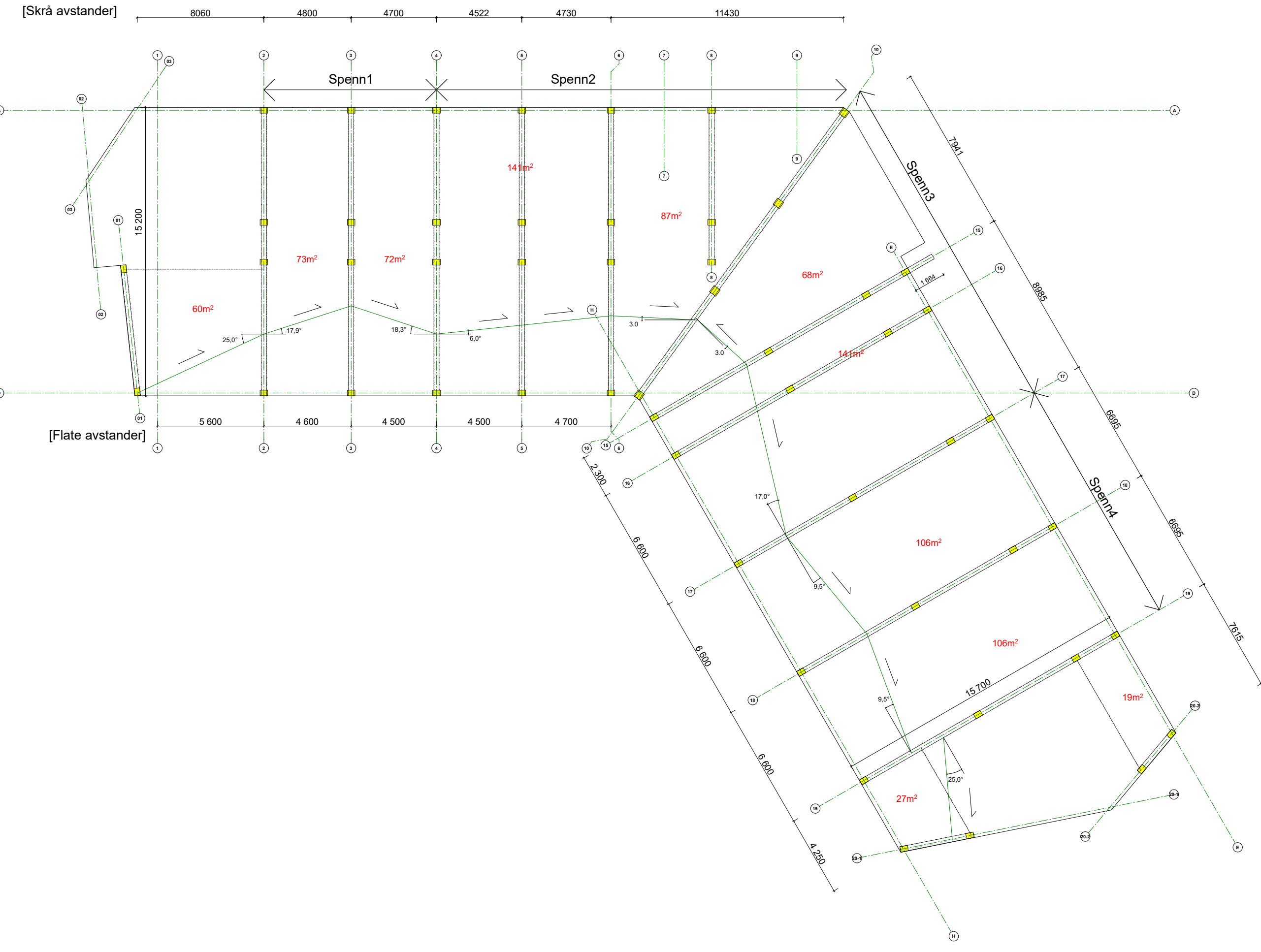
Prosjektnr.: Gruppe9	Dato: 29.04.2023
----------------------	------------------

Type teknikk: Søyle bærendealer 4-ETG	Målestokk: 1:100
---------------------------------------	------------------



TEGNING 16

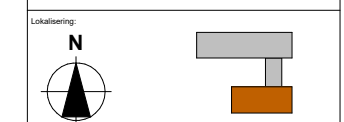
TEGNING 17



Merknader:
Taket ble dimensjonert for følgende laster:

Egenlast: 1.39 kN/m^2
Snølast: 5.4 kN/m^2
Vindlast: 0.12 kN/m^2
Total last: 6.91 kN/m^2

Hovedbjelkene er av stål
kvalitet S355 (materiale etter
EN 10025-2), og tverrbjelkene
er HEB-280



Prosjekteringsgruppen

- ARK: Skibnes Arkitekter
- RIB: K.K. A.R. & M.A
- Veileder: Jan Arve Øverli

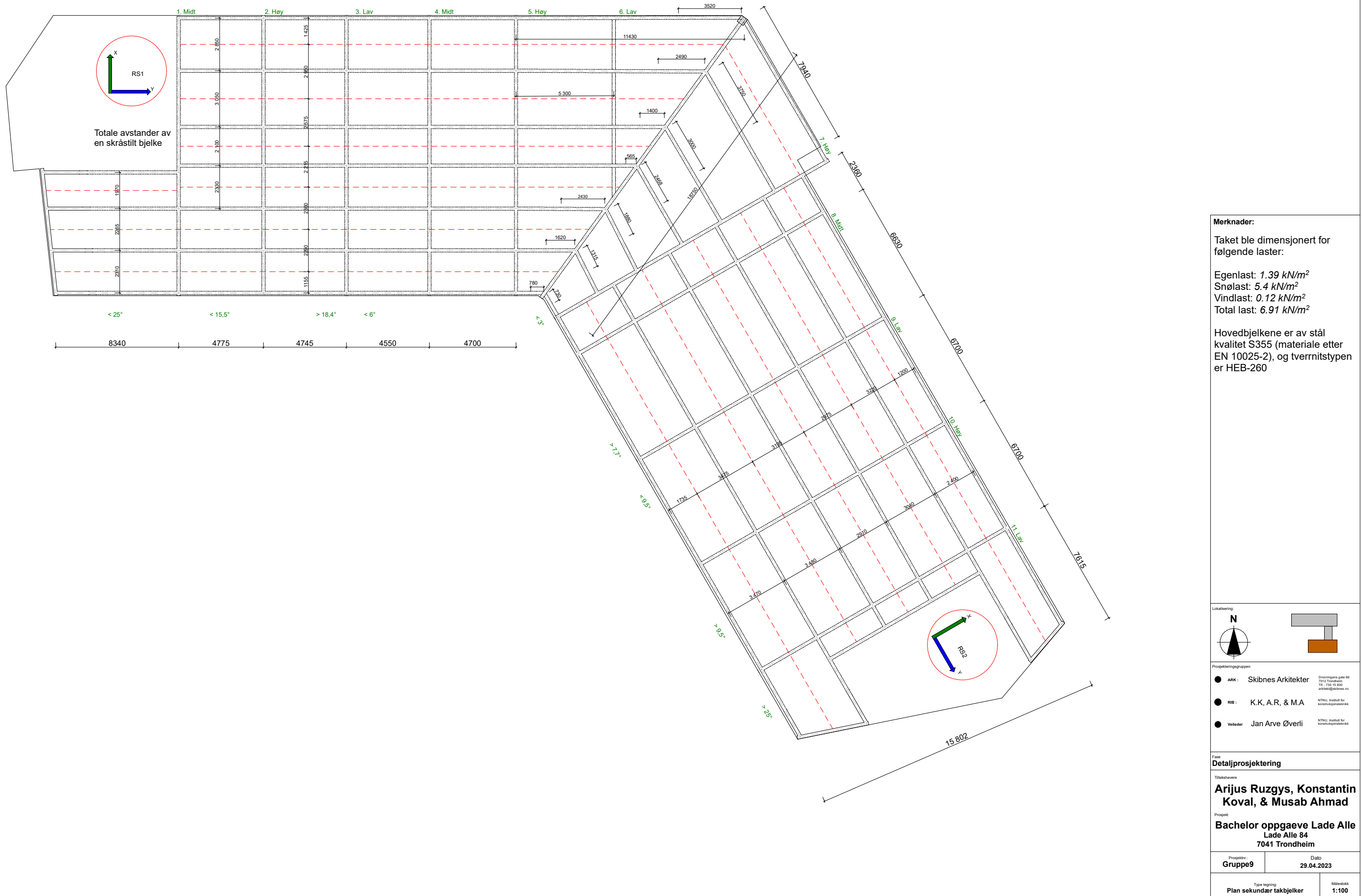
Fase: Detaljprosjektering

Titakshavere: Arius Ruzgys, Konstantin Koval, & Musab Ahmad

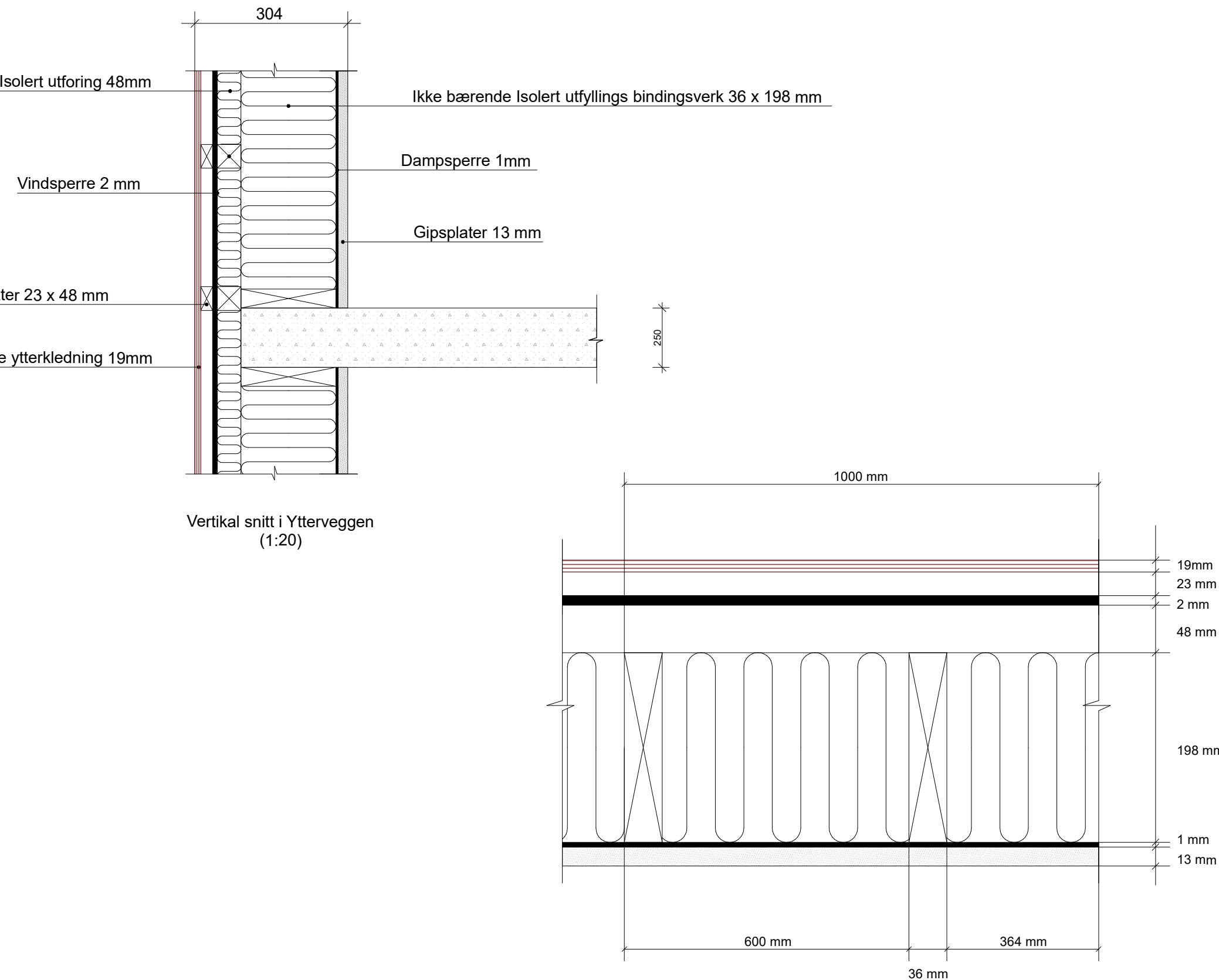
Prosjektet: Bachelor oppgave Lade Alle
Lade Alle 84
7041 Trondheim

Prosjektnr: Gruppe9	Dato: 29.04.2023
Type tegning: Plan hoved takbjelker	
Målestokk: 1:100	

TEGNING 18



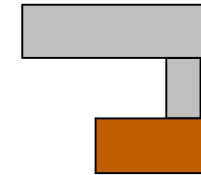
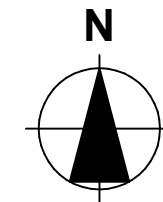
TEGNING 19



Horisontal snitt i ytterveggen
(1:10)

Merknader:

Lokalisering:



Prosjekteringsgruppen

- ARK : Skibnes Arkitekter Dronningens gate 66
7012 Trondheim
Tlf.: 735 15 830
arkitekt@skibnes.no
- RIB : K.K, A.R, & M.A NTNU, Institutt for
konstruksjonsteknikk
- Veileder Jan Arve Øverli NTNU, Institutt for
konstruksjonsteknikk

Fase
Detaljprosjektering

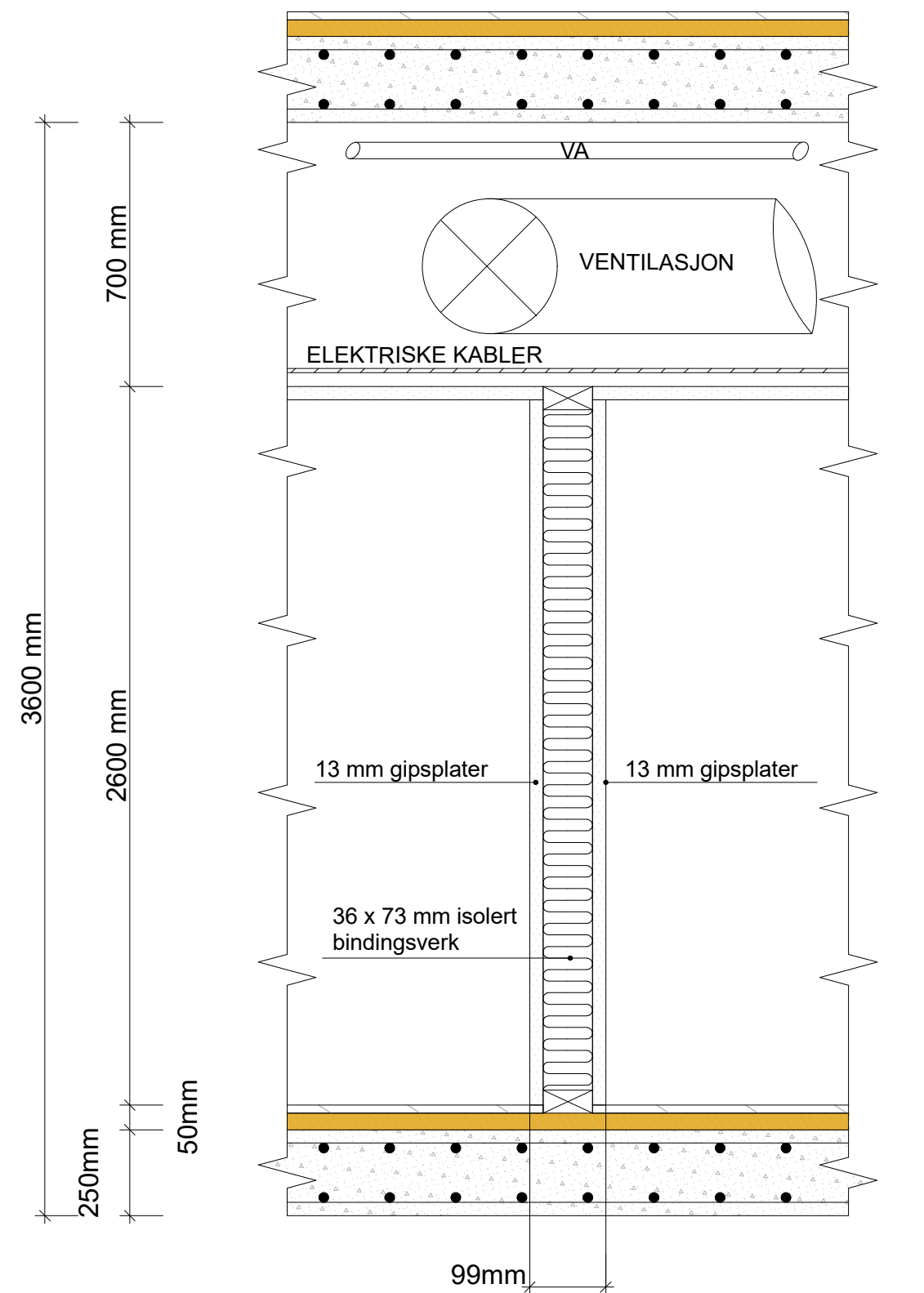
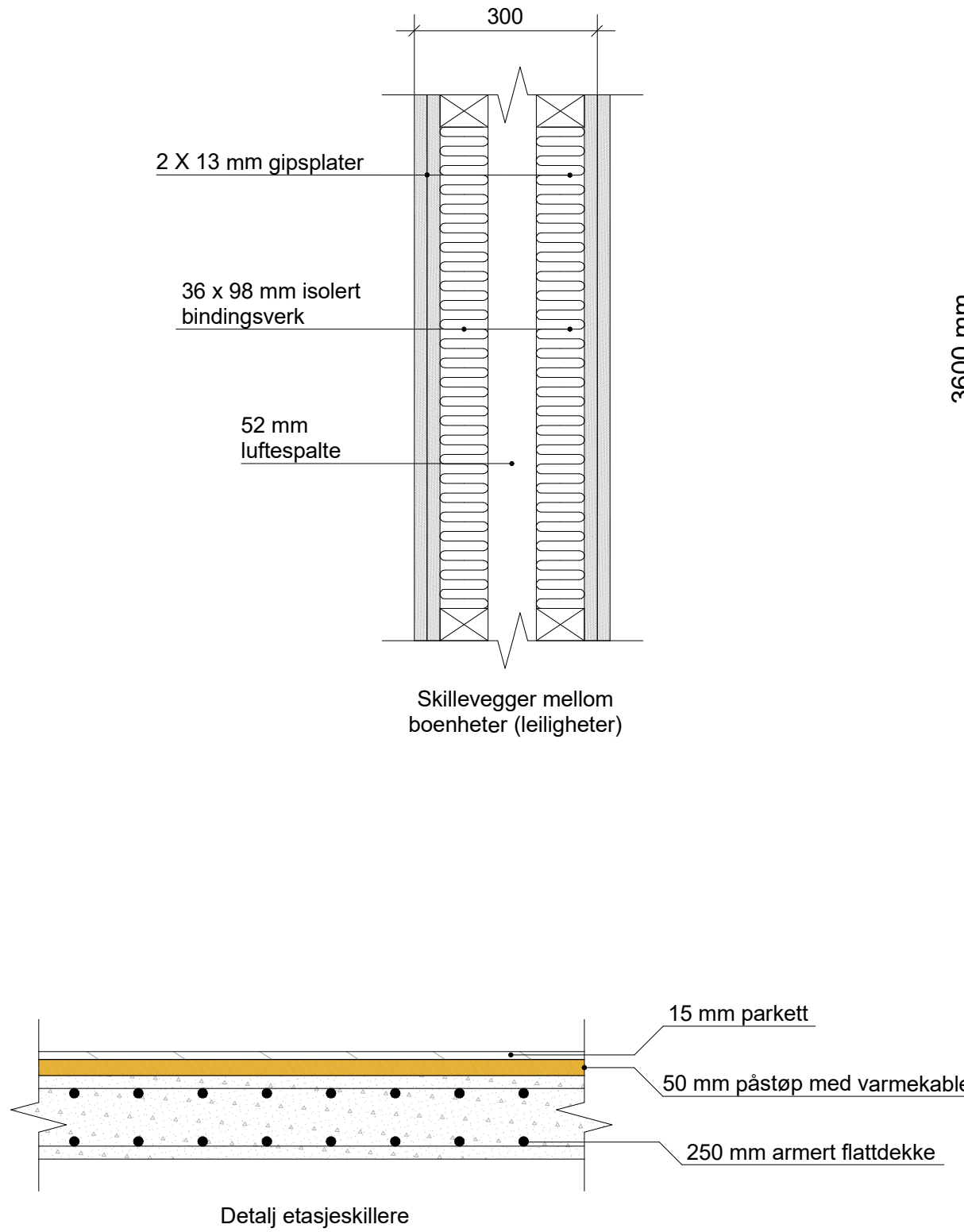
- Tiltakshavere
Arijus Ruzgys, Konstantin Koval, & Musab Ahmad
- Prosjekt
Bachelor oppgave Lade Alle
Lade Alle 84
7041 Trondheim

Prosjektnr.: Gruppe9	Dato 26.04.2023
--------------------------------	---------------------------

Type tegning:
Detalj Yttervegger

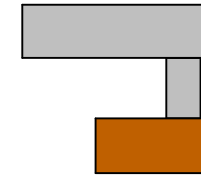
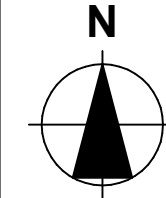
Målestokk

TEGNING 20



Merknader:

Lokalisering:



Prosjekteringsgruppen

- ARK : Skibnes Arkitekter Dronningens gate 66
7012 Trondheim
Tlf.: 735 15 830
arkitekt@skibnes.no
- RIB : K.K, A.R, & M.A NTNU, Institutt for
konstruksjonsteknikk
- Veileder Jan Arve Øverli NTNU, Institutt for
konstruksjonsteknikk

Fase

Detaljprosjektering

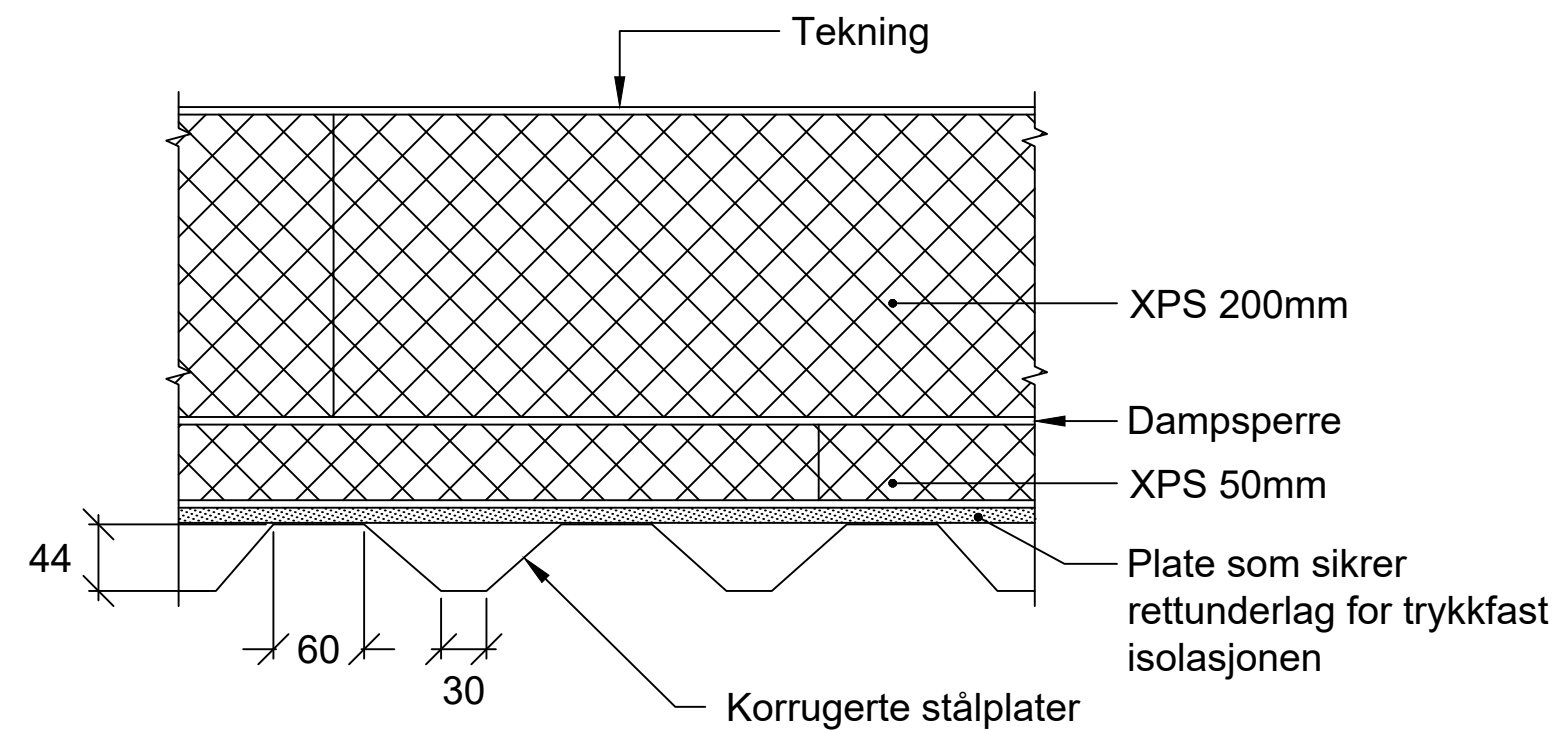
- Tiltakshavere
Arijus Ruzgys, Konstantin Koval, & Musab Ahmad
- Prosjekt
Bachelor oppgave Lade Alle
Lade Alle 84
7041 Trondheim

Prosjektnr.: Gruppe9	Dato 26.04.2023
--------------------------------	---------------------------

Type tegning:
**Detalj skillevegger og
etasjeskillere**

Målestokk
1:20

TEGNING 21



Bacheloroppgave, Gruppe 9	Tegn.: M.A	Tegn.kontroll: K.K&A.R	Målestokk:	
Lade Alle 84, 7041 Trondheim	Godkjent: GODK	Dato: 22.04.2023	1:5	
Tegningstype: Oppbygning og detalj av takkonstruksjonen Komiske tak på bærende korrigerte stålplater				

Denne siden er satt med vilje tom